

1. OBSAH

1. Obsah	1
2. Identifikačné údaje mosta	5
2.1 Stavba	5
2.2 Stavebník	5
2.3 Zhotoviteľ stavby	5
2.4 Stavebný dozor	5
2.5 Generálny projektant	5
2.6 Projektant stavebného objektu	6
2.7 Budúci správca mosta	6
3. Základné údaje o moste (Podľa STN 73 6200)	6
3.1 Charakteristika mosta	6
3.2 Základné parametre mosta	6
4. Úod	7
4.1 Charakteristika mosta	7
4.2 Použité normy a predpisy	10
4.3 Technické podmienky	11
4.4 Použité programy	11
5. Použité materiály	12
5.1 Betón	12
5.2 Predpínacia výstuž	12
5.2.1 Maximálne napätie ocele pri predpínaní	13
5.2.2 Maximálne napätie ocele po napínaní/transfere	13
5.2.3 Krytie predpínacej výstuže	13
5.3 Betonárská výstuž	13
6. Model nosnej konštrukcie	14
6.1 Modelovanie predpäťia	17
6.2 Časová analýza	17
7. Výpočet zaťaženia	18
7.1 Stále zaťaženia	18
7.1.1 Vlastná tiaž	18
7.1.2 Ostatné stále zaťaženie - zvršok	18
7.1.3 Účinky predpäťia	20
7.1.4 Sadanie podpier	20
7.2 Premenné zaťaženia	20
7.2.1 Zaťaženie cestnou dopravou	20

7.2.2	Zaťaženie od teploty.....	26
7.2.3	Zaťaženie vetrom	27
7.3	Trenie v ložiskách	29
7.3.1	Lavý most.....	29
7.3.2	Pravý most	29
7.4	Seismické zaťaženie	30
7.5	Zaťaženie počas výstavby.....	30
8.	Návrhové kritéria	33
8.1	Medzné stavy používateľnosti (MSP)	33
8.1.1	Medzné stavy používateľnosti – kontrola napätí.....	33
8.1.2	Medzné stavy používateľnosti – kontrola trhlín v betóne	33
8.2	Medzné stavy únosnosti (MSÚ).....	33
9.	Kombinácie zaťažení.....	33
9.1	Kombináčné pravidlá	33
9.1.1	STN EN 1990.....	33
9.1.2	STN EN 1998-2.....	33
9.1.3	Hodnoty súčiniteľov ψ	34
9.2	Kombinácie zaťažení pre MSP	34
9.3	Mimoriadne návrhové situácie	35
9.4	Kombinácie zaťažení pre MSU	36
10.	Medzné stavy používateľnosti - nosná konštrukcia	36
10.1	Kontrola napätí v predpínacej výstuži nosnej konštrukcie.....	36
10.1.1	Stredná hodnota napätia v predpínacích jednotkách	36
10.2	Kontrola tlakových napätí v betóne.....	37
11.	Medzné stavy únosnosti	38
11.1	Ohybová únosnosť	38
11.1.1	Maximálne ohybové momenty.....	38
11.1.2	Minimálne ohybové momenty	40
11.1.3	Priečne predpätie	41
12.	Posúdenie spodnej stavby – pilóty	43
12.1	Reakcie v drieku piliera	43
12.2	Posúdenie pilót.....	45
13.	Posúdenie spodnej stavby	96
13.1	Posúdenie základových pätek	96
13.2	Posúdenie pilierov	102
13.2.1	Rez –nad PŠ	108
13.3	Posúdenie opory	115
13.3.1	Zaťaženie opory – počas výstavby	115

13.3.2 Zaťaženie opory - konečné užívanie	116
13.3.3 Posúdenie pilót pod oporou.....	123
13.3.4 Posúdenie prierezov na opore.....	129
14. Posúdenie na účinky seizmicity	165
14.1 Spektrá.....	165
14.1.1 Spektrum horizontálnej odozvy	165
14.1.2 Spektrum vertikálnej odozvy.....	165
14.2 Zaťaženie a kombinácie zaťažení	165
14.3 Vlastné tvary	166
14.3.1 Prvý vlastný tvar.....	166
14.3.2 Druhý vlastný tvar	166
14.3.3 Tretí vlastný tvar.....	167
14.3.4 Štvrtý vlastný tvar.....	167
14.3.5 Piaty vlastný tvar	167
14.4 Účinky zaťaženia.....	169
14.4.1 Obálka osových síl – podpera č.10.....	169
14.4.2 Obálka ohybových momentov my – podpera č.10	169
14.4.3 Obálka ohybových momentov mz – podpera č.10	169
14.5 Posúdenie na účinky seismického zaťaženia v drieku piliera.....	170
15. Návrh ložísk a mostných záverov	174
15.1 Návrh ložísk	174
15.2 Mostné závery	175
15.2.1 LM opora č.1	175
15.2.2 LM opora č.19	176
15.2.3 PM opora č.2.....	177
15.2.4 PM opora č.22.....	179
16. Návrh odvodnenia.....	181
17. Ľavý most	181
17.1 I. Úsek, DN 150, dĺžka 40m.....	181
17.2 II. Úsek, DN 200, dĺžka 60m.....	183
17.3 III. Úsek, DN 250, dĺžka 180m.....	185
17.4 IV. Úsek, DN 300, dĺžka 80m	187
17.5 V. Úsek, DN 350, dĺžka 50m	189
18. Pravý most.....	191
18.1 I. Úsek, DN 150, dĺžka 40m.....	191
18.2 II. Úsek, DN 200, dĺžka 60m.....	193
18.3 III. Úsek, DN 250, dĺžka 120m.....	195
18.4 IV. Úsek, DN 300, dĺžka 120m	197

18.5	V. Úsek, DN 350, dĺžka 120m	199
18.6	Poznámka.....	200
19.	Záver	200

2. IDENTIFIKAČNÉ ÚDAJE MOSTA

2.1 Stavba

Názov stavby:	Diaľnica D3 Čadca, Bukov – Svrčinovec
Názov objektu:	209-00 Most na diaľnici v km 41,065 D3 „Furmanec“
Kraj:	Žilinský
Okres:	Čadca
Katastrálne územie:	Čadca, Svrčinovec
Druh stavby:	novostavba
Stupeň dokumentácie:	Dokumentácia na realizáciu stavby (DRS)

2.2 Stavebník

Názov a adresa:	Národná diaľničná spoločnosť, a.s. Dúbravská cesta 14, 841 04 Bratislava
Nadriadený orgán:	Ministerstvo dopravy a výstavby SR Námestie slobody 6, 810 05 Bratislava

2.3 Zhotoviteľ stavby

Názov a adresa:	Združenie D3 Čadca, Bukov STRABAG – PORR – HOCHTIEF Mlynské Nivy 61/A, 825 18 Bratislava Vedúci združenia: STRABAG, s.r.o. areál „JOKO Čadca“, Podzávoz 302, 022 01 Čadca
Riaditeľ stavby:	Ján Ozoroczy

2.4 Stavebný dozor

Názov a adresa:	Inžinierske združenie BUNG – Infram Vedúci združenia: BUNG Slovensko s.r.o. Ružová dolina 6, 821 08 Bratislava Vedúci tímu STD: Ing. Miroslav Kasanický
-----------------	--

2.5 Generálny projektant

Názov a adresa:	Amberg Engineering Slovakia, s.r.o. Somolického 1/B 811 06 Bratislava IČO: 35860073 IČ DPH: SK 2020289953 Tel. +421 2 5930 8261 Fax. +421 2 5930 8260
Riaditeľ projektu:	Ing. Ivan Brigant
Hlavný inžinier projektu:	Ing. Martin Svetlánsky

2.6 Projektant stavebného objektu

Názov a adresa:	Amberg Engineering Slovakia, s.r.o. Somolického 1/B 811 06 Bratislava IČO: 35860073 IČ DPH: SK 2020289953 Tel. +421 2 5930 8261 Fax. +421 2 5930 8260
Zodpovedný projektant:	Ing. Konštantín Kundrát, CSc.
Vypracovali:	Ing. Konštantín Kundrát, CSc. Ing. Ľubomír Kožlej

2.7 Budúci správca mosta

Názov a adresa:	Národná diaľničná spoločnosť, a.s. Dúbravská cesta 14, 841 04 Bratislava
-----------------	---

3. ZÁKLADNÉ ÚDAJE O MOSTE (PODĽA STN 73 6200)

3.1 Charakteristika mosta

Charakteristika mosta v zmysle STN 73 6200, čl. 15:

- a) podľa druhu prevádzanej komunikácie: most na pozemnej komunikácii
- b) podľa pridružiteľnosti k iným prevádzkovým zariadeniam: -
- c) podľa prekračovanej prekážky: most na diaľnici D3 nad údolím a nad potokom
- d) podľa počtu mostných otvorov: most s viacerými otvormi: 9 polí – LM; 10 polí – PM
- e) podľa počtu mostovkových podlaží: jednopodlažný
- f) podľa výškovej polohy mostovky: s hornou mostovkou
- g) podľa možnosti zmeny polohy nosnej konštrukcie: nepohyblivý
- h) podľa plánovanej doby trvania mosta: trvalý
- i) podľa priebehu trasy na moste: smerovo aj výškovo v priamej
- j) podľa situačného usporiadania mosta: kolmý
- k) podľa projektovanej zaťažiteľnosti: s normovou zaťažiteľnosťou
- l) podľa hmotnej podstaty nosnej konštrukcie: masívny
- m) podľa členitosti nosnej konštrukcie: plnostenný
- n) podľa statickej funkcie nosnej konštrukcie: trámový, dvojtrámový
- o) podľa usporiadania priečneho rezu: otvorené usporiadanie
- p) podľa obmedzenia voľnej výšky: s neobmedzenou voľnou výškou.

3.2 Základné parametre mosta

Poloha a orientácia mosta:

- bod kríženia s údolím: staničenie na diaľnici D3 km 41,065 000
- úložný uhol, uhol uloženia: 100°
- výška mosta SO 209-00: asi 24,50 m

Poloha a orientácia mosta:

- bod kríženia s bezmenným potokom: staničenie na diaľnici D3 km 41,200 000, meandruje
- uhol uloženia: -
- výška priechodového prierezu: -

Pozdĺžny smer:

- celková dĺžka mosta v osi NK: 395,70 m – ĽM; asi 452,56 m – PM
- celková dĺžka nosnej konštrukcie v osi NK: 378,70 m – ĽM; 435,56 m – PM
- dĺžka premostenia v osi NK: 375,50 m – ĽM; 432,36 m – PM
- rozpäťia polí nosnej konštrukcie v osi D3: 32,0+7x45,0+33,0 m – ĽM; 37,0+8x45,0+33,0 m – PM

Priečny smer:

- šírka mosta: 13,65 m – ĽM; 15,75 až 13,75 m – PM
- šírka nosnej konštrukcie: 13,15 m – ĽM; 15,15 až 13,15 m – PM
- plocha nosnej konštrukcie: $13,15 \times 378,70 = 4979,91 \text{ m}^2$ – ĽM; $(15,15+13,15)/2 \times 435,56 = 6\ 163,17 \text{ m}^2$ – PM
- šírka medzi zvodidlami: 11,25 m – ĽM; 13,25 až 11,25 m – PM
- šírka medzi zvodidlom a PH stenou: 0,75
- šírka služobného chodníka na moste: 0,75 m
- výška mosta: asi 24,5 m
- výška nosnej konštrukcie: 2,50 m
- stavebná výška (výška NK + vozovka): 2,59 m

Statické posúdenie mosta:

- zaťaženie a posúdenie mosta: v zmysle STN EN 1990, STN EN 1991, STN EN 1991-2, STN EN 1992, STN EN 1997, STN EN 1998
- požiadavky na nadrozmerný náklad: áno, (zaťažovací model LM3: 3000/240)
- most sa nachádza na osobitne určenej trase a pri návrhu bolo uvažované so zaťažením zvláštnymi vozidlami (LM3) „čl. NA.2.16, STN EN 1991-2/NA, uplatnenie zaťaženia podľa čl. 4.3.4 STN EN 1991-2 (zvláštne vozidlá)“
- požiadavky na špeciálne zaťaženie: nie.

4. ÚOD

4.1 Charakteristika mosta

Návrh typu a rozpäťia nosnej konštrukcie vychádzal z potreby čo najefektívnejšie mostom prekonať údolie a koryto bezmenného potoka, ktoré sa nachádzajú pod mostným objektom.

Mostný objekt 209-00 je navrhnutý ako dva samostatné súbežné mosty (ľavý a pravý most) pozostávajúce z jedného dilatačného celku. Nosná konštrukcia je tvorená spojitým dvojtrámovým nosníkom z dodatočne predpätého monolitického betónu. Voľná šírka (medzi zvodidlami) je na ľavom moste konštantná 11,25 m. Na pravom moste je voľná šírka premenná z 13,25 m na začiatku mosta na 11,25 m na ďalšej časti mosta.

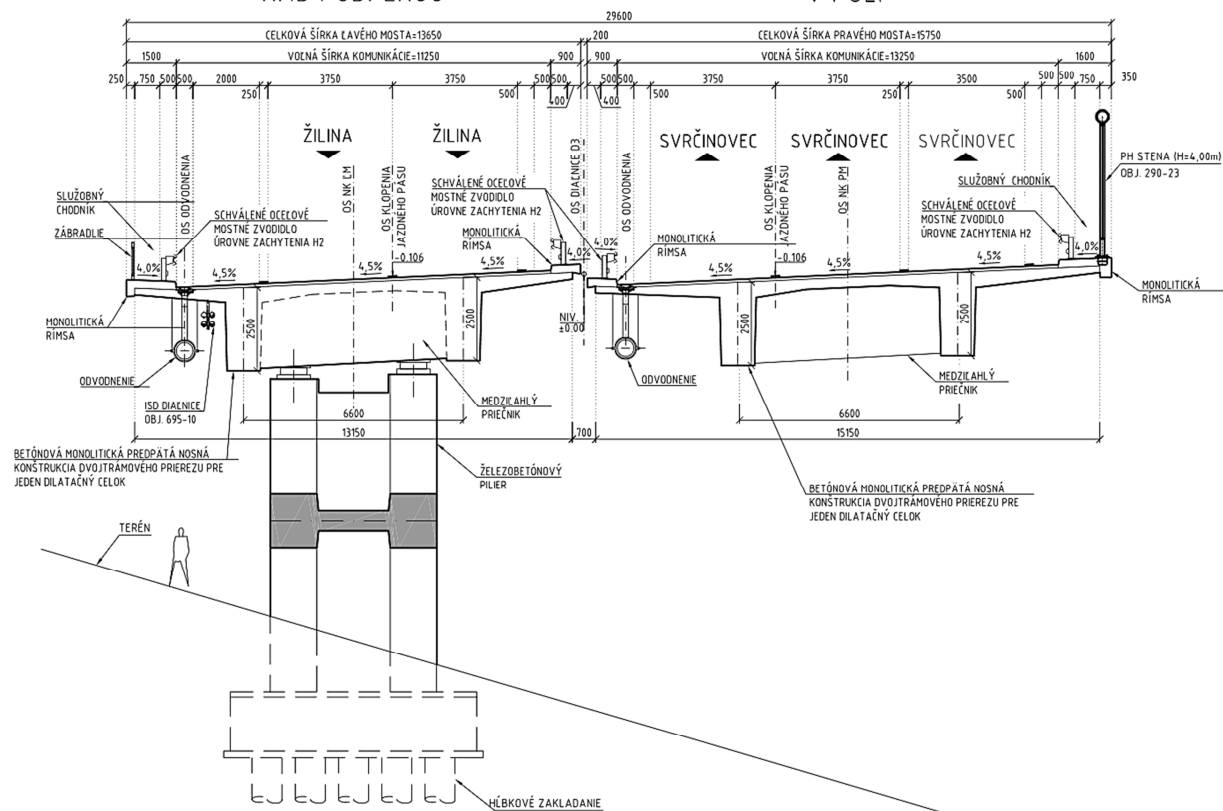
Spodná stavba mostov pozostáva z opôr a medziľahlých podpier, ktoré sú tvorené jedným pilierom tvaru „kostičky“. Uloženie nosnej konštrukcie na spodnú stavbu sa navrhuje v mieste nadpodperových priečnikov prostredníctvom ložísk. Most je založený na veľkopriemerových pilótačach.

PRIEČNY REZ V MIESTE PRÍDAVNÉHO PRUHU NA PRAVOM MOSTE (KM 40,923)

M 1:100

NAD PODPEROU

V POLI

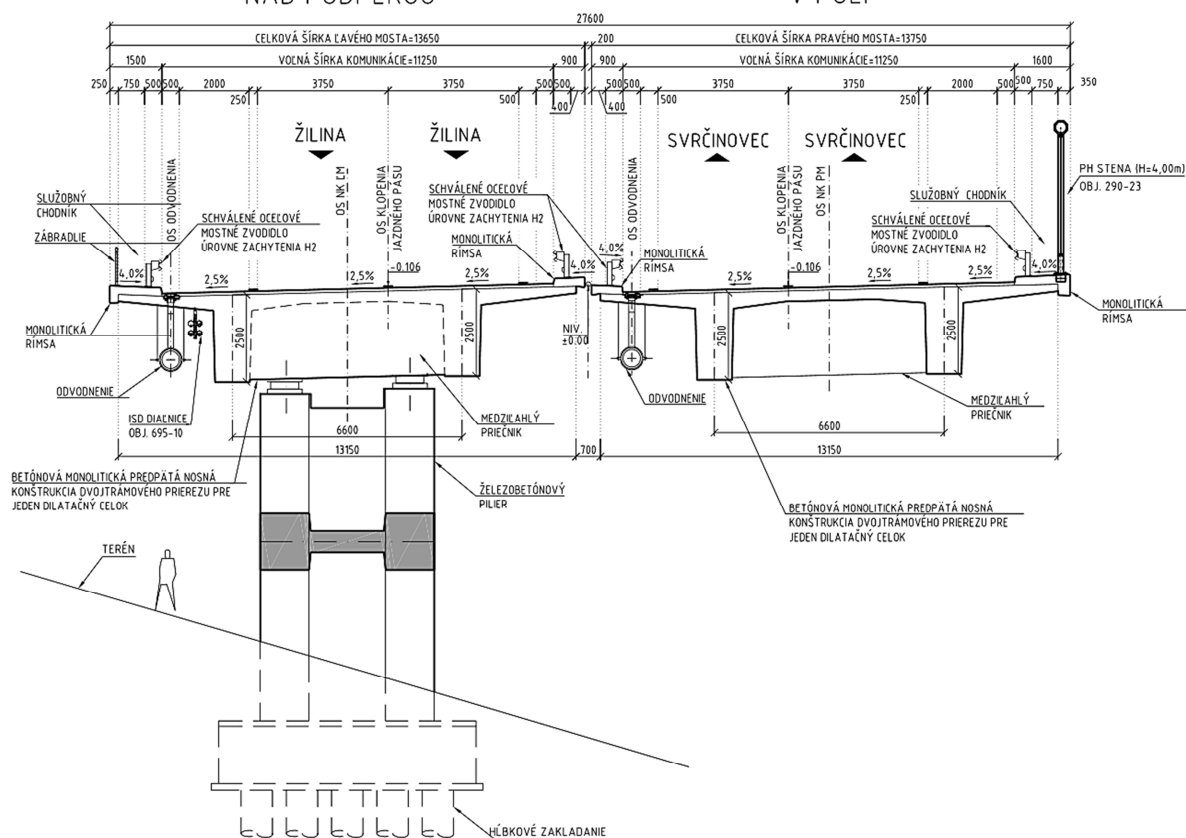


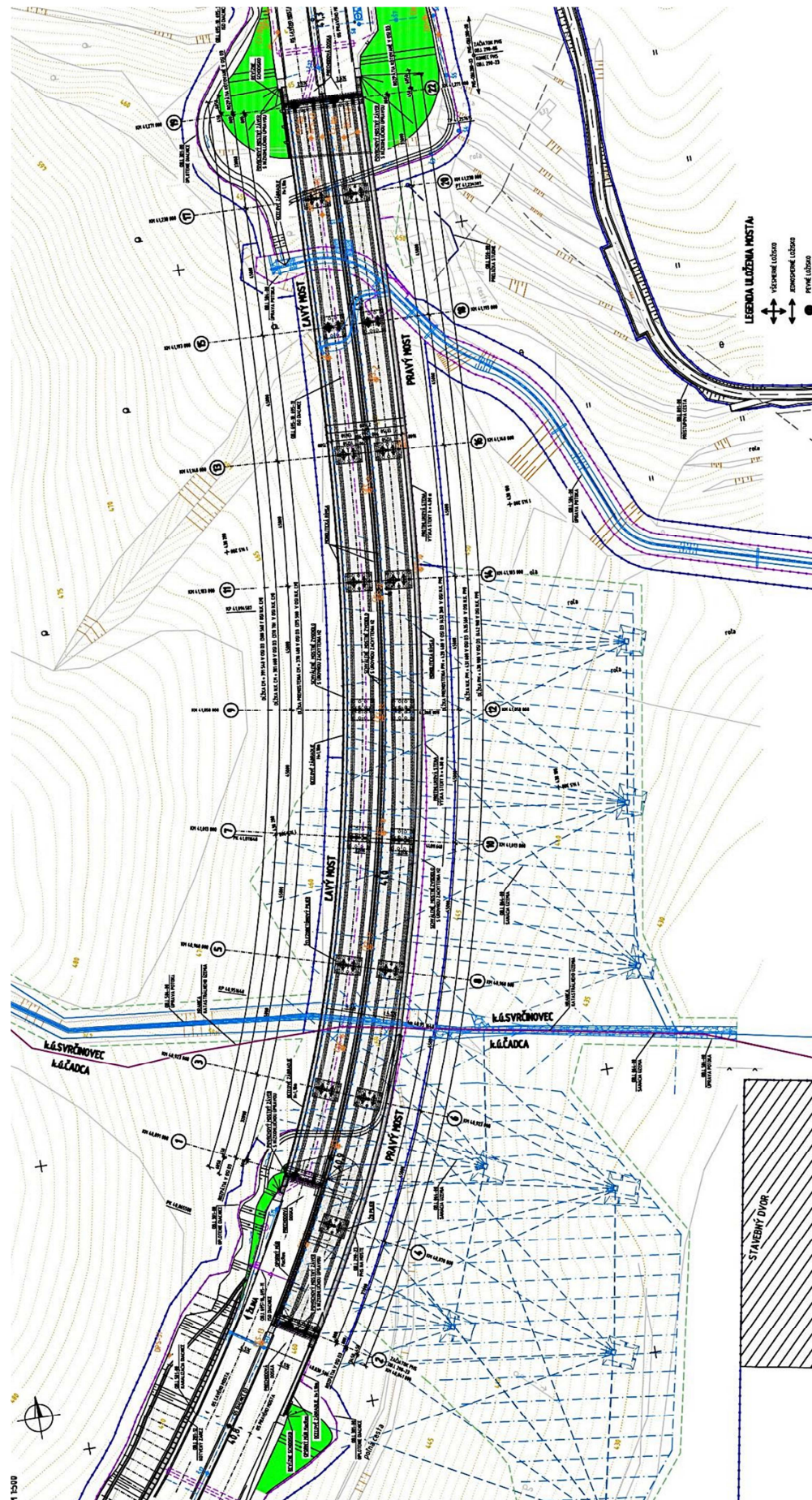
PRIEČNY REZ V MIESTE BEZ PRÍDAVNÉHO PRUHU NA PRAVOM MOSTE (KM 41,103)

M 1:100

NAD PODPEROU

V POLI





4.2 Použité normy a predpisy

Konštrukcia sa navrhla na zaťažovacie modely LM1a LM2 pre cestné mosty. Výpočet sa vypracoval v súlade s normami:

STN 73 1001	Geotechnické konštrukcie. Zakladanie stavieb	1.4.2010
STN 73 1002	Pilotové základy	26.10.1987
STN 73 1002/Z1		1.7.2003
STN 73 0037	Zemný tlak na stavebné konštrukcie	16.11.1990
STN 73 3050		11.8.1986
STN 73 3050/a	Zemné práce. Všeobecné ustanovenia	1.5.1991
STN 73 3050/Z2		1.12.1999
STN 73 6200		15.1.1975
STN 73 6200/a	Mostné názvoslovie	1.5.1977
STN 73 6200/b		1.4.1983
STN 73 6201		1.9.1999
STN 73 6201/O1	Projektovanie mostných objektov	1.11.1999
STN 73 6201/Z1		1.10.2001
STN 73 6209	Zaťažovacie skúšky mostov	12.4.1979
STN 73 6209/a		1.6.1990
STN EN 206-1		1.4.2002
STN EN 206-1/A1		1.12.2004
STN EN 206-1/A2	Betón. Časť 1: Špecifikácia, vlastnosti, výroba a zhoda	1.10.2005
STN EN 206-1/NA		1.6.2009
STN EN 206-1/NA/O1		1.10.2011
STN EN 1990		1.8.2009
STN EN 1990/A1		1.9.2006
STN EN 1990/A1/AC2	Eurokód. Zásady navrhovania konštrukcií	1.11.2010
STN EN 1990/A1/NA		1.2.2007
STN EN 1990/A1/O1		1.3.2011
STN EN 1990/A1/NA1		1.8.2009
STN EN 1991-1-1	Eurokód 1. Zaťaženia konštrukcií. Časť 1-1: Všeobecné zaťaženia. Objemová tiaž, vlastná tiaž a úžitkové zaťaženia budov	1.5.2007
STN EN 1991-1-1/AC		1.6.2009
STN EN 1991-1-1/NA		1.12.2004
STN EN 1991-1-1/NA1		1.4.2010
STN EN 1991-1-4		1.4.2007
STN EN 1991-1-4/A1		1.7.2010
STN EN 1991-1-4/AC	Eurokód 1. Zaťaženia konštrukcií. Časť 1-4: Všeobecné zaťaženia. Zaťaženie vetrom	1.1.2010
STN EN 1991-1-4/AC2		1.5.2010
STN EN 1991-1-4/NA		1.7.2008
STN EN 1991-1-4/NA1		1.4.2010
STN EN 1991-1-5	Eurokód 1. Zaťaženia konštrukcií. Časť 1-5: Všeobecné zaťaženia. Zaťaženia účinkami teploty	1.3.2008
STN EN 1991-1-5/AC		1.6.2009
STN EN 1991-1-5/NA		1.10.2008
STN EN 1991-1-6		1.3.2008
STN EN 1991-1-6/AC	Eurokód 1: Zaťaženia konštrukcií. Časť 1-6: Všeobecné zaťaženia. Zaťaženia počas výstavby	1.12.2008
STN EN 1991-1-6/NA		1.10.2008
STN EN 1991-1-6/NA1		1.4.2010
STN EN 1991-1-7	Eurokód 1. Zaťaženia konštrukcií. Časť 1-7:	1.10.2008

STN EN 1991-1-7/AC	Všeobecné zaťaženia. Mimoriadne zaťaženia	1.5.2010
STN EN 1991-1-7/NA		1.10.2008
STN EN 1991-1-7/O1		1.10.2010
STN EN 1991-2	Eurokód 1. Zaťaženia konštrukcií. Časť 2: Zaťaženia mostov dopravou	1.5.2006
STN EN 1991-2/AC		1.5.2010
STN EN 1991-2/NA		1.12.2007
STN EN 1991-2/NA/O1		1.3.2011
STN EN 1992-1-1	Eurokód 2. Navrhovanie betónových konštrukcií. Časť 1-1: Všeobecné pravidlá a pravidlá pre budovy	1.7.2006
STN EN 1992-1-1/AC		1.6.2008
STN EN 1992-1-1/AC2		1.2.2011
STN EN 1992-1-1/NA		1.4.2007
STN EN 1992-2	Eurokód 2. Navrhovanie betónových konštrukcií. Časť 2: Betónové mosty. Navrhovanie a konštruovanie	1.5.2007
STN EN 1992-2/AC		1.12.2008
STN EN 1992-2/NA		1.7.2008
STN EN 1997-1	Eurokód 7. Navrhovanie geotechnických konštrukcií. Časť 1: Všeobecné pravidlá	1.10.2005
STN EN 1997-1/AC		1.9.2009
STN EN 1997-1/NA		1.4.2010
STN EN 1997-2	Eurokód 7. Navrhovanie geotechnických konštrukcií. Časť 2: Prieskum a skúšanie horninového prostredia	1.6.2008
STN EN 1997-2/AC		1.12.2010
STN EN 1997-2/NA		1.4.2010
STN EN 1536	Vykonávanie špeciálnych geotechnických prác. Vŕtané pilóty	1.4.2011
STN EN 14199	Vykonávanie špeciálnych geotechnických prác. Mikropilóty	1.9.2005
STN EN 14490	Vykonávanie špeciálnych geotechnických prác. Klincovanie zemín	1.12.2010
STN EN 1998-1	Eurokód 8. Navrhovanie konštrukcií na seismickú odolnosť. Časť 1: Všeobecné pravidlá, seismické zaťaženia a pravidlá pre budovy	1.12.2005
STN EN 1998-1/AC		1.11.2009
STN EN 1998-1/NA		1.4.2009
STN EN 1998-1/NA/1		1.4.2010
STN EN 1998-1/O1		1.8.2006
STN EN 1998-1/NA/2		1.3.2012
STN EN 1998-1/NA/3		1.10.2012
STN EN 1998-2	Navrhovanie konštrukcií na seismickú odolnosť. Časť 2: Mosty	1.5.2008
STN EN 1998-2/A1		1.8.2009
STN EN 1998-2/AC		1.5.2010
STN EN 1998-2/NA		1.4.2009
STN EN 1998-2/A2		1.6.2012

4.3 Technické podmienky

- Vzorové listy stavieb pozemných komunikácií, VL 4 – Mosty
- Ostatné súvisiace STN EN a Technicko-kvalitatívne podmienky.

4.4 Použité programy

Na vypracovanie statického výpočtu a grafickej časti sa použili nasledujúce programy:

- Midas Civil
- AutoCAD Civil 2013 a staršie verzie programu AutoCAD
- balík programov Microsoft Office

V statickom výpočte sú pre svoju obsiahlosť uvedené iba základné vstupy výsledky z výpočtových programov. Všetky podklady, podrobne vstupy a výsledky sú archivované u spracovateľa projektovej dokumentácie.

5. POUŽITÉ MATERIÁLY

5.1 Betón

Nosná konštrukcia, betón C35/45		
Charakteristická valcová pevnosť betónu v tlaku vo veku 28 dní	f_{ck} [MPa]	35,0
Charakteristická kocková pevnosť betónu v tlaku vo veku 28 dní	$f_{ck, cube}$ [MPa]	45,0
Stredná hodnota valcovej pevnosti betónu v tlaku	f_{cm} [MPa]	43,0
Stredná hodnota pevnosti betónu v centrickom ťahu	f_{ctm} [MPa]	3,2
Charakteristická pevnosť betónu v centrickom ťahu, 5 %-ný fraktil	$f_{ctk, 0,05}$ [MPa]	2,2
Charakteristická pevnosť betónu v centrickom ťahu, 95 %-ný fraktil	$f_{ctk, 0,95}$ [MPa]	4,2
Sečnicový modul pružnosti betónu	E_{cm} [GPa]	34,0

Hodnota návrhovej pevnosti betónu C35/45 v tlaku:

$$f_{cd} = \alpha_{cc} \cdot f_{ck} / \gamma_{cc} = 0,85 \cdot 35 / 1,5 = 19,8 \text{ MPa.}$$

Piliere, betón C35/45		
Charakteristická valcová pevnosť betónu v tlaku vo veku 28 dní	f_{ck} [MPa]	35,0
Charakteristická kocková pevnosť betónu v tlaku vo veku 28 dní	$f_{ck, cube}$ [MPa]	45,0
Stredná hodnota valcovej pevnosti betónu v tlaku	f_{cm} [MPa]	43,0
Stredná hodnota pevnosti betónu v centrickom ťahu	f_{ctm} [MPa]	3,2
Charakteristická pevnosť betónu v centrickom ťahu, 5 %-ný fraktil	$f_{ctk, 0,05}$ [MPa]	2,2
Charakteristická pevnosť betónu v centrickom ťahu, 95 %-ný fraktil	$f_{ctk, 0,95}$ [MPa]	4,2
Sečnicový modul pružnosti betónu	E_{cm} [GPa]	34,0

Hodnota návrhovej pevnosti betónu C35/45 v tlaku:

$$f_{cd} = \alpha_{cc} \cdot f_{ck} / \gamma_{cc} = 0,85 \cdot 35 / 1,5 = 19,8 \text{ MPa.}$$

Oropy, základy, pilóty, betón C30/37		
Charakteristická valcová pevnosť betónu v tlaku vo veku 28 dní	f_{ck} [MPa]	30,0
Charakteristická kocková pevnosť betónu v tlaku vo veku 28 dní	$f_{ck, cube}$ [MPa]	37,0
Stredná hodnota valcovej pevnosti betónu v tlaku	f_{cm} [MPa]	38,0
Stredná hodnota pevnosti betónu v centrickom ťahu	f_{ctm} [MPa]	2,9
Charakteristická pevnosť betónu v centrickom ťahu, 5 %-ný fraktil	$f_{ctk, 0,05}$ [MPa]	2,0
Charakteristická pevnosť betónu v centrickom ťahu, 95 %-ný fraktil	$f_{ctk, 0,95}$ [MPa]	3,7
Sečnicový modul pružnosti betónu	E_{cm} [GPa]	33,0

Hodnota návrhovej pevnosti betónu C30/37 v tlaku:

$$f_{cd} = \alpha_{cc} \cdot f_{ck} / \gamma_{cc} = 0,85 \cdot 30 / 1,5 = 17,0 \text{ MPa.}$$

5.2 Predpínacia výstuž

Dodatočne predpínané: káble 19 Ø Ls 15,7/1860		
Charakteristická pevnosť predpínacej ocele v ťahu	f_{pk} [MPa]	1860
Charakteristická dohodnutá medza 0,1 % predpínacej ocele	$f_{p0,1k}$ [MPa]	1640
Návrhová hodnota napäťia v predpínacej oceli	f_{pd} [MPa]	1460
Nominálny priemer	\emptyset [mm]	15,7

Nominálny prierez	A_p [mm ²]	150
Nominálna hmotnosť	m [kg/m]	1,18
Modul pružnosti predpínacej ocele	E_p [GPa]	195

Návrhová hodnota napäcia v predpínacej oceli:

$$f_{pd} = 1440,0 \text{ MPa}$$

5.2.1 Maximálne napätie ocele pri predpínani

$$\sigma_{p,max} = \min.[0,8.f_{pk}; 0,9.f_{p0,1k}] = \min.[0,8.1860; 0,9.1640] = \min.[1488; 1476]$$

$$f_{pd} \leq \sigma_{p,max}$$

$$1460,0 \leq \min.[1488; 1476]$$

$$1460,0 \text{ MPa} \leq 1476 \text{ MPa}$$

VYHOVUJE

-Lano pre káble ØLs 15,7/1860: $\sigma_{p,max} = 1440 \text{ MPa}$

5.2.2 Maximálne napätie ocele po napínani/transfere

$$\sigma_{pm0} = \min.[0,75.f_{pk}; 0,85.f_{p0,1k}] = \min.[0,75.1860; 0,85.1640] = \min.[1395; 1394]$$

$$\sigma_{pm0} = 1394 \text{ MPa}$$

-Lano pre káble ØLs 15,7/1860: $\sigma_{pm0} = 1394 \text{ MPa}$

5.2.3 Krytie predpínacej výstuže

Minimálne krytie vyplývajúce z požiadavky na súdržnosť:

$$c_{min,b} = d_k = d_{duct} = 50 \text{ mm}$$

Minimálne krytie vyplývajúce z podmienok prostredia (trieda konštrukcie S4, návrhová životnosť 100 rokov, pevnostná trieda C30/37):

$$c_{min,dur} = 50 \text{ mm}$$

Prídavná hodnota krytia z hľadiska spoľahlivosti:

$$\Delta c_{dur,\gamma} = 0 \text{ mm}$$

Zniženie minimálneho krytia pri použití nehrdzavejúcej výstuže:

$$\Delta c_{dur,st} = 0 \text{ mm}$$

Zniženie minimálneho krytia pri použití doplnkovej ochrany:

$$\Delta c_{dur,add} = 0 \text{ mm}$$

Minimálne krytie:

$$c_{min} = \max(c_{min,b}; c_{min,dur} + \Delta c_{dur,\gamma} + \Delta c_{dur,st} + \Delta c_{dur,add}; 10 \text{ mm})$$

$$c_{min} = \max(50; 50 + 0 + 0 + 0; 10 \text{ mm})$$

$$c_{min} = 50 \text{ mm}$$

Tolerančné zväčšenie minimálneho krytia na zohľadnenie odchýlky:

$$\Delta c_{dev} = 0 \text{ mm}$$

Nominálne krytie predpínacej výstuže:

$$c_{nom} = c_{min} + \Delta c_{dev} = 55 + 0 = 55 \text{ mm}$$

5.3 Betonárska výstuž

Betonárska výstuž B500B

Charakteristická pevnosť betonárskej výstuže v ťahu	f_{tk} [MPa]	550
Charakteristická medza klzu betonárskej výstuže	f_{yk} [MPa]	500

Návrhová medza klzu betonárskej výstuže	f_{yd} [MPa]	434
Modul pružnosti betonárskej výstuže	E_s [GPa]	200

Návrhová medza klzu betonárskej výstuže B500B:

$$f_{yd} = f_{yk}/\gamma_s = 500/1,15 = 434 \text{ MPa.}$$

Krytie betonárskej výstuže nosníka:

Minimálne krytie vyplývajúce z požiadavky na súdržnosť:

$$c_{min,b} = d_s = 10 \text{ mm}$$

Minimálne krytie vyplývajúce z podmienok prostredia (trieda konštrukcie S4, návrhová životnosť 100 rokov, pevnostná trieda C35/45.):

$$c_{min,dur} = 35 \text{ mm}$$

Prídavná hodnota krytia z hľadiska spoľahlivosti:

$$\Delta c_{dur,\gamma} = 0 \text{ mm}$$

Zníženie minimálneho krytia pri použití nehrdzavejúcej výstuže:

$$\Delta c_{dur,st} = 0 \text{ mm}$$

Zníženie minimálneho krytia pri použití doplnkovej ochrany:

$$\Delta c_{dur,add} = 0 \text{ mm}$$

Minimálne krytie:

$$c_{min} = \max(c_{min,b}; c_{min,dur} + \Delta c_{dur,\gamma} + \Delta c_{dur,st} + \Delta c_{dur,add}; 10 \text{ mm})$$

$$c_{min} = \max(10; 35 + 0 + 0 + 0; 10 \text{ mm})$$

$$c_{min} = 35 \text{ mm}$$

Tolerančné zväčšenie minimálneho krytia na zohľadnenie odchýlky:

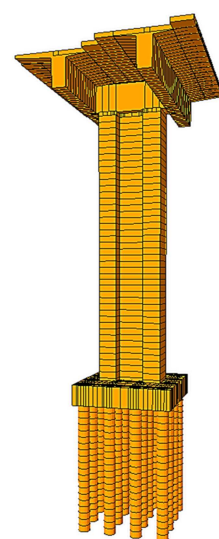
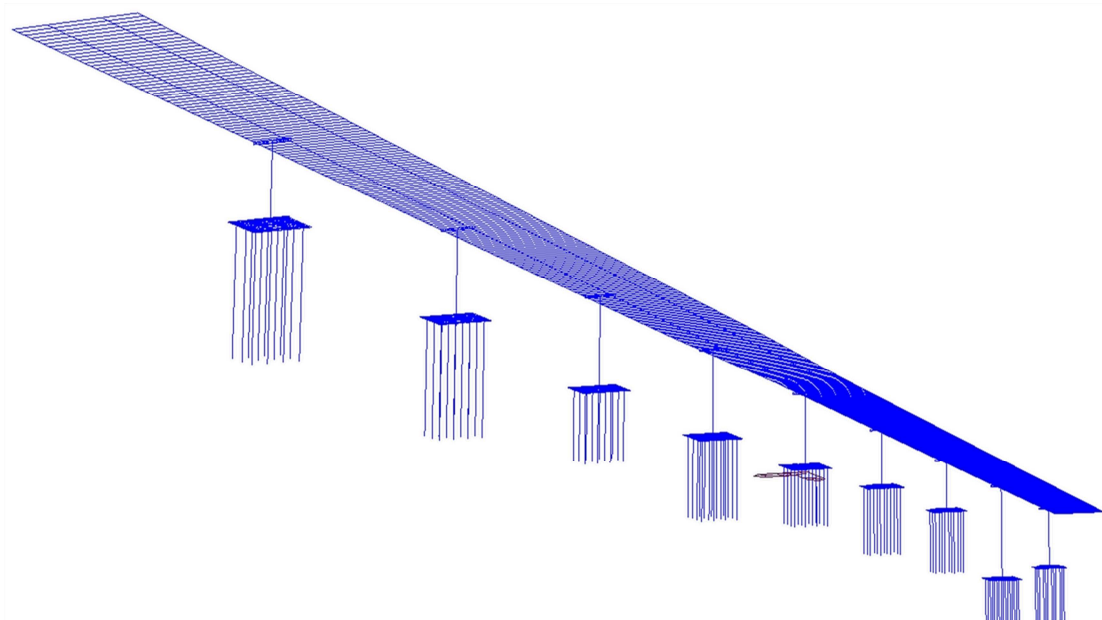
$$\Delta c_{dev} = 5 \text{ mm}$$

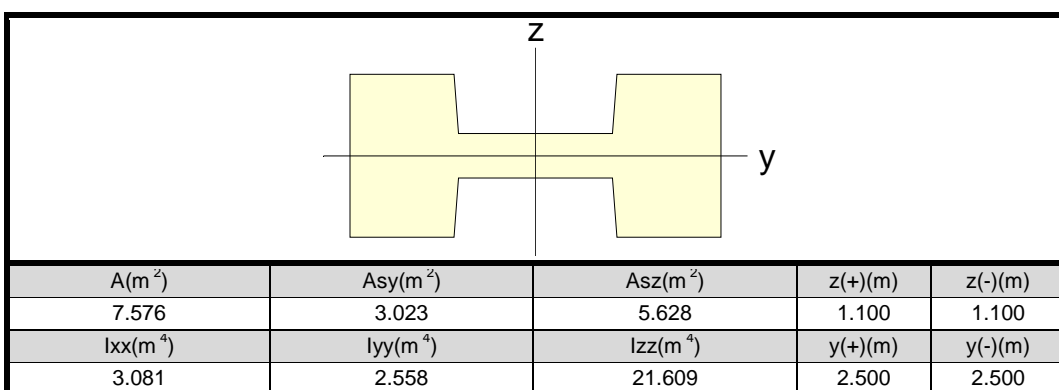
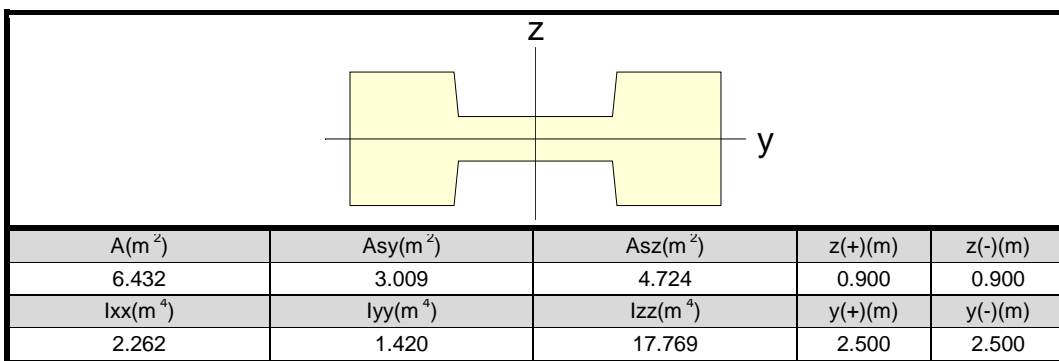
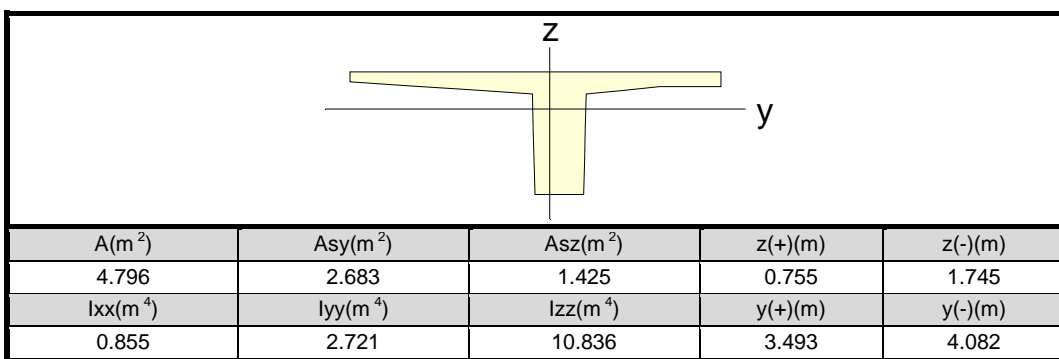
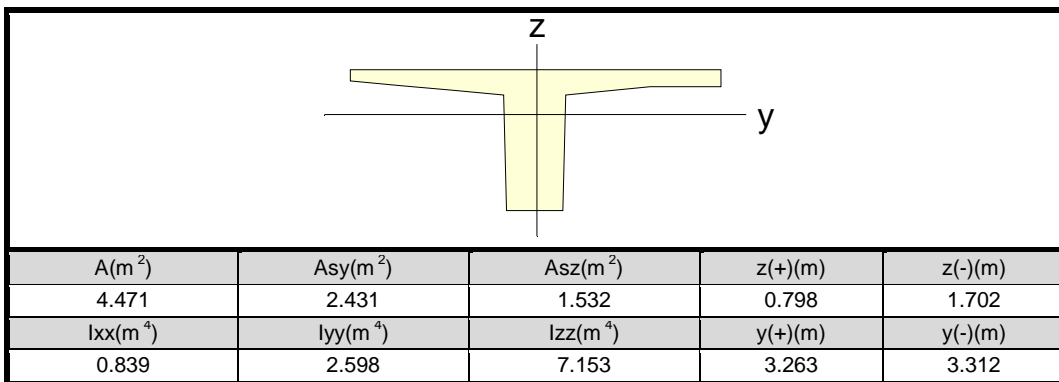
Nominálne krytie betonárskej výstuže nosníka:

$$c_{nom} = c_{min} + \Delta c_{dev} = 35 + 5 = 40 \text{ mm}$$

6. MODEL NOSNEJ KONŠTRUKCIE

Model nosnej konštrukcie bol vytvorený v programe Midas Civil. V programe bol zohľadnený postup výstavby na pevnej skruži. Model bol vyhotovený vo výškovom oblúku.





6.1 Modelovanie predpäťia

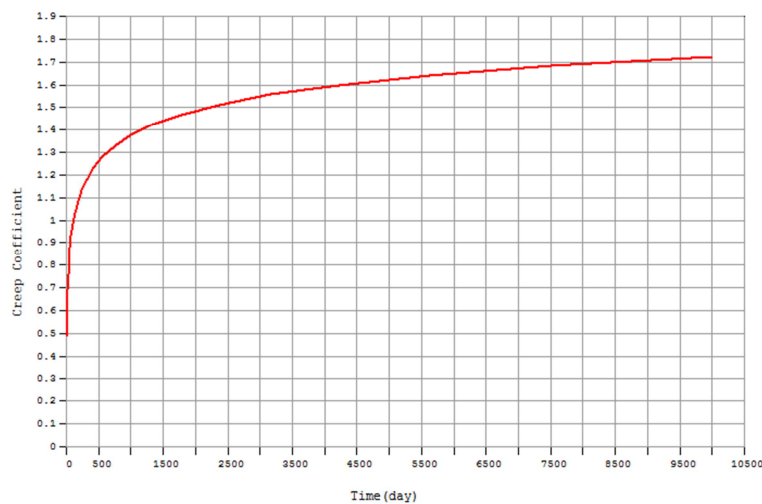
Predpínacie jednotky pozostávajúce z 19 Ø Ls 15,7/1860 boli modelované v súlade s návrhom výškového a smerového vedenia káblov vyplývajúceho z geometrie prierezu ako aj postupu výstavby.

Tab. 1 Uvažované vlastnosti kanálikov a kotiev

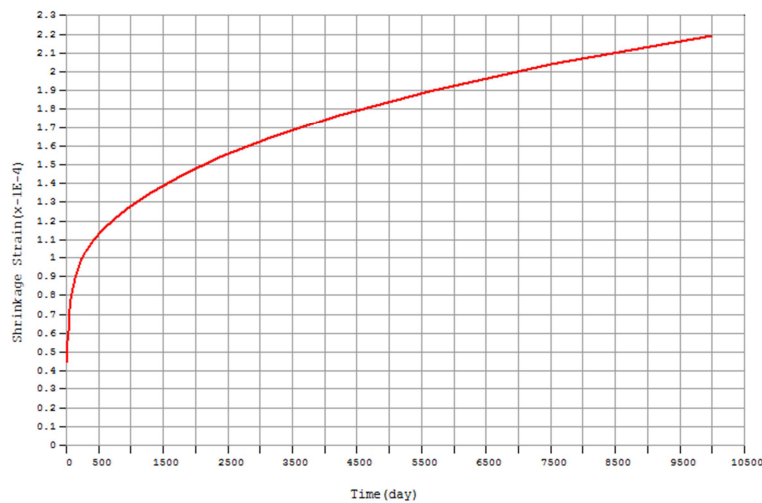
Vnútorný priemer kanáliku	I.D.	95	mm
Vonkajší priemer kanáliku	O.D.	100	mm
Súčinitel trenia	μ	0,17	
Uhol nepredvídateľného zakrivenia	k	$7 \cdot 10^{-3}$	rad/m
Poklz v kotve	L_p	6	mm

6.2 Časová analýza

Účinky dotvarovania a zmrašťovania betónu nosnej konštrukcie tr. C 35/45 sa modelovali priamo v programe Midas Civil.



Obr. 1 Uvažovaný priebeh dotvarovania, betón C35/45



Obr. 2 Uvažovaný priebeh zmrašťovania, betón C35/45

- Vek zaťaženia betónu sa uvažovalo 21 dní.
- Ošetrovanie betónu sa uvažovalo 7 dní.

7. VÝPOČET ZAŤAŽENIA

7.1 Stále zaťaženia

7.1.1 Vlastná tiaž

Účinky vlastnej tiaže sa automaticky generovali softvérom Midas Civil na základe zadanej geometrie prierezov a zadanej objemovej tiaže použitého betónu C35/45.

$$\gamma_{CON} = 25,0 \text{ kN.m}^{-3}$$

Účinky vlastnej tiaže predpínacích kálov sa generovali automaticky softvérom Midas Civil na základe geometrie a objemovej tiaže použitých kálov.

$$\gamma_{STEEL} = 78,5 \text{ kN.m}^{-3}$$

7.1.2 Ostatné stále zaťaženie - zvršok

Ostatné stále zaťaženie z celej šírky sa uvažovalo po dĺžke mostnej konštrukcie.

7.1.2.1 Mostné rímsy

$$g_{11m} = \gamma_{rim} \cdot A_{rim,nom} = 25,0 \text{ kN.m}^{-3} \cdot 0,22 \text{ m}^2 = 5,5 \text{ kN.m}^{-1}$$

$$g_{11m} = g_{11,inf} = g_{11,sup}$$

$$g_{12m} = \gamma_{rim} \cdot A_{rim,nom} = 25,0 \text{ kN.m}^{-3} \cdot 0,63 \text{ m}^2 = 15,75 \text{ kN.m}^{-1}$$

$$g_{12m} = g_{12,inf} = g_{12,sup}$$

7.1.2.2 Vozovka

Voľná šírka na pravom moste je premenná.

$$b_{voz} = 11,25 \text{ m}$$

$$h_{voz} = 0,090 \text{ m}$$

$$\gamma_{voz} = 25,0 \text{ kN.m}^{-3}$$

$$g_{13m} = \gamma_{voz} \cdot h_{voz} \cdot b_{voz} = 25,0 \text{ kN.m}^{-3} \cdot 0,09 \text{ m} \cdot 11,25 \text{ m} = 25,32 \text{ kN.m}^{-1}$$

$$g_{13,inf} = 0,8 \cdot \gamma_{voz} \cdot h_{voz} \cdot b_{voz} = 0,8 \cdot 25,0 \text{ kN.m}^{-3} \cdot 0,09 \text{ m} \cdot 11,25 \text{ m} = 20,25 \text{ kN.m}^{-1}$$

$$g_{13,sup} = 1,4 \cdot \gamma_{voz} \cdot h_{voz} \cdot b_{voz} = 1,4 \cdot 25,0 \text{ kN.m}^{-3} \cdot 0,09 \text{ m} \cdot 11,25 \text{ m} = 35,4 \text{ kN.m}^{-1}$$

$$b_{voz} = 13,25 \text{ m}$$

$$h_{voz} = 0,090 \text{ m}$$

$$\gamma_{voz} = 25,0 \text{ kN.m}^{-3}$$

$$g_{13m} = \gamma_{voz} \cdot h_{voz} \cdot b_{voz} = 25,0 \text{ kN.m}^{-3} \cdot 0,09 \text{ m} \cdot 13,25 \text{ m} = 29,8 \text{ kN.m}^{-1}$$

$$g_{13,inf} = 0,8 \cdot \gamma_{voz} \cdot h_{voz} \cdot b_{voz} = 0,8 \cdot 25,0 \text{ kN.m}^{-3} \cdot 0,09 \text{ m} \cdot 13,25 \text{ m} = 23,9 \text{ kN.m}^{-1}$$

$$g_{13,sup} = 1,4 \cdot \gamma_{voz} \cdot h_{voz} \cdot b_{voz} = 1,4 \cdot 25,0 \text{ kN} \cdot \text{m}^{-3} \cdot 0,09 \text{ m} \cdot 13,25 \text{ m} = 41,7 \text{ kN} \cdot \text{m}^{-1}$$

7.1.2.3 Zvodidlo na moste

$$g_{zvod,nom} = 0,5 \text{ kN} \cdot \text{m}^{-1}$$

$$g_{zvod,nom} = 0,35 \text{ kN} \cdot \text{m}^{-1}$$

$$g_{14m} = \sum g_{zvod,nom} = 0,5 \text{ kN} \cdot \text{m}^{-1} + 0,35 \text{ kN} \cdot \text{m}^{-1} = 0,85 \text{ kN} \cdot \text{m}^{-1}$$

$$g_{14m} = g_{14,inf} = g_{14,sup}$$

7.1.2.4 Protihluková stena

$$g_{PHS,nom} = 5,0 \text{ kN} \cdot \text{m}^{-1}$$

$$g_{15m} = 5,0 \text{ kN} \cdot \text{m}^{-1}$$

$$g_{15m} = g_{15,inf} = g_{15,sup}$$

7.1.2.5 Zberné potrubie

Zberné potrubie pre odvodnenie mostu priemeru $D_p=350\text{mm}$ naplnené vodou.

$$\gamma_{voda} = 10 \text{ kN} \cdot \text{m}^{-3}$$

Tiaž potrubia: odhad $\approx 20\%$ tiaže vody

$$g_{16m} = \pi \cdot \frac{Dp^2}{4} \cdot \gamma_{voda} \cdot 1,2 = 3,141 \cdot \frac{0,35^2}{4} \cdot 10 \text{ kN} \cdot \text{m}^{-3} \cdot 1,2 = 1,15 \text{ kN} \cdot \text{m}^{-1}$$

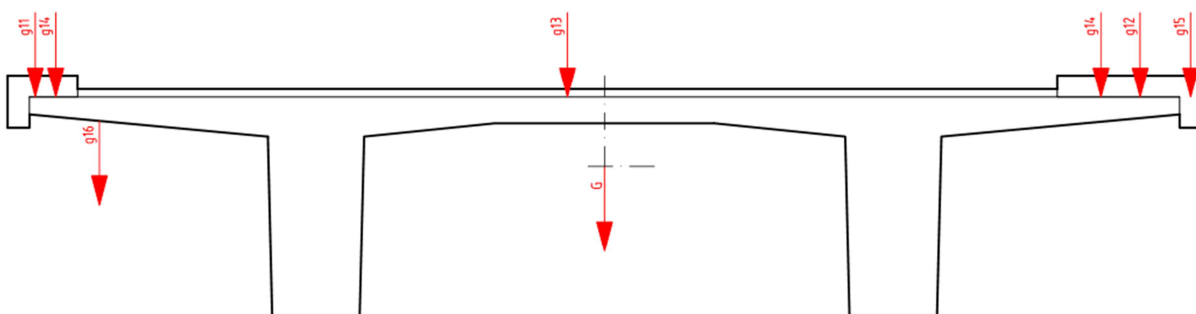
$$g_{16m} = g_{16,inf} = g_{16,sup}$$

Tiaž ostatného stáleho zaťaženia a zvršku celkom:

$$g_{1m} = g_{11m} + g_{12m} + g_{13m} + g_{14m} + g_{15m} + g_{16m}$$

$$g_{1,inf} = g_{11,inf} + g_{12,inf} + g_{13,inf} + g_{14,inf} + g_{15,inf} + g_{16,inf}$$

$$g_{1,sup} = g_{11,sup} + g_{12,sup} + g_{13,sup} + g_{14,sup} + g_{15,sup} + g_{16,sup}$$



7.1.3 Účinky predpäťia

Do konštrukcie modelovanej v programe Midas Civil sa zadali súradnice vrcholov a polomery oblúkov predpínacej výstuže. Pre zadanú geometriu kálov sa v programe vypočítali straty predpäťia a sekundárne účinky od predpäťia.

7.1.4 Sadanie podpier

Vo výpočte sa uvažovalo s obálkou najnepriaznivejších kombinácií nerovnomerného sadnutia jednotlivých podpier ako aj opôr.

Opora/podpera	2	4	6	8	10	12	14	16	18	20	22
W _{set,dif} (mm)	13	16	16	16	16	16	16	16	16	16	11

7.2 Premenné zaťaženia

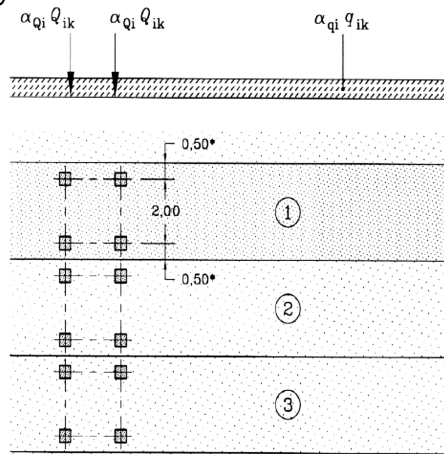
7.2.1 Zaťaženie cestnou dopravou

Zaťaženie mosta cestnou dopravou sa zohľadnilo podľa STN EN 1991-2 Eurokód 1, Zaťaženia konštrukcií, Časť 2 Zaťaženie mostov dopravou. Zo zaťažení sa analyzoval vplyv zaťažovacích modelov LM1 (A - TS na ľavej strane priečneho rezu; B - TS na pravej strane priečneho rezu) spolu s rovnomerným zaťažením na chodníku, LM2, LM3 a LM4 reprezentujúci dav ľudí na moste.

7.2.1.1 Zaťažovací model LM1

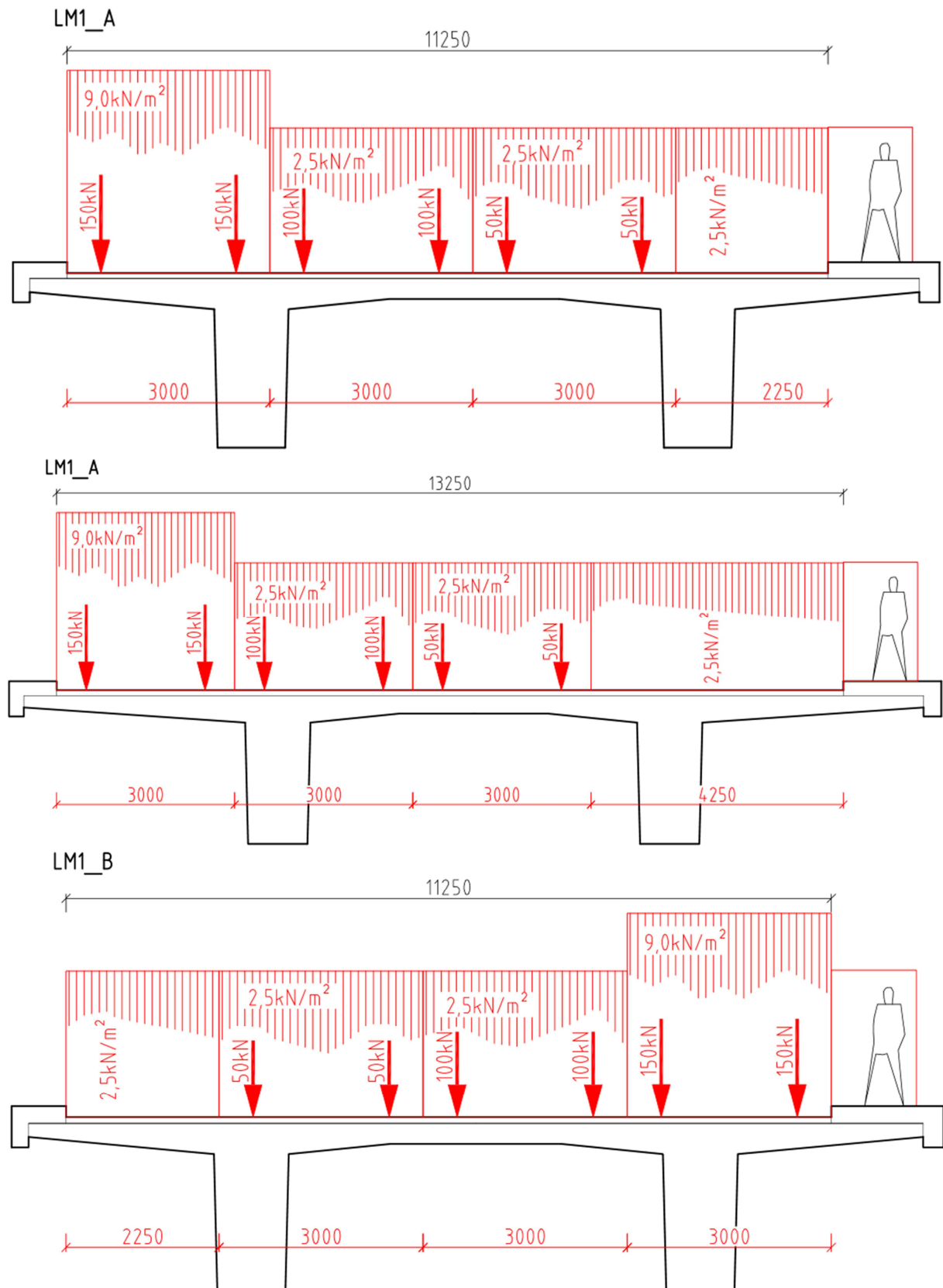
Zaťažovací model LM1 tvoria 2 čiastkové systémy:

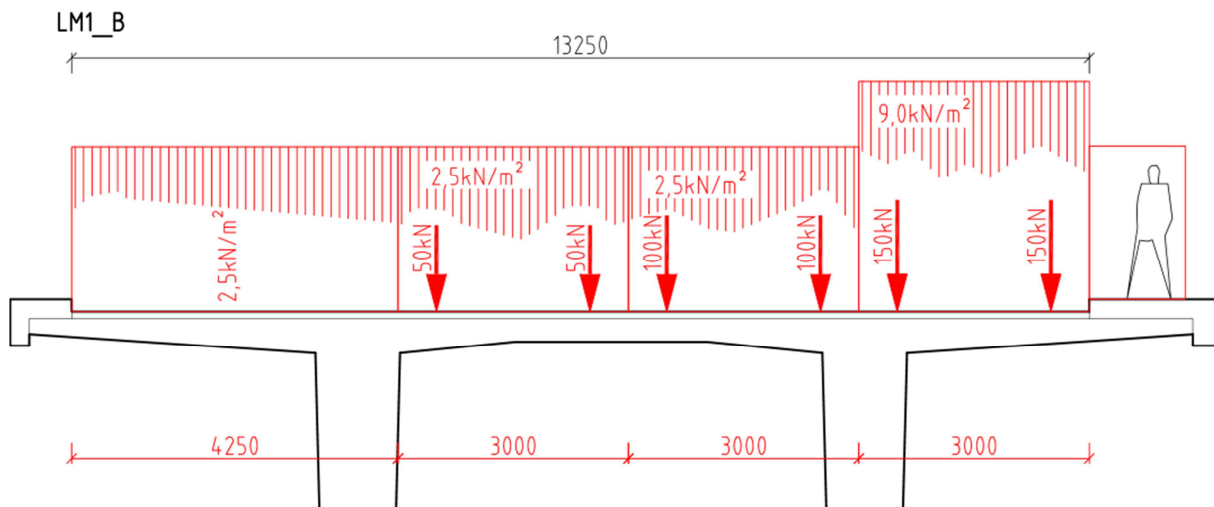
- sústredené zaťaženie od dvojnápravového vozidla, tandemový systém (TS) s tiažou každej nápravy $\alpha_{Qi} \cdot Q_{ik}$, kde α_{Qi} je kategorizačný súčinatel' zaťaženia
- rovnomerné spojité zaťaženie (RSZ) s intenzitou tiaže $\alpha_{qi} \cdot q_{ik}$ ($\alpha_{qr} \cdot q_{rk}$) na jednotku plochy, kde kde α_{qi} (α_{qr}) je kategorizačný súčinatel' zaťaženia.



Poloha a šírka pruhu	Dvojnáprava (TS)			Rovnomerné zaťaženie (RSZ)		
	α_{Qi} [-]	Q_{ik} [kN]	$\alpha_{Qi} \cdot Q_{ik}$ [kN]	α_{qi} (α_{qr}) [-]	q_{ik} (q_{rk}) [kNm ⁻²]	$\alpha_{qi} \cdot q_{ik}$ ($\alpha_{qr} \cdot q_{rk}$) [kNm ⁻²]
Pruh č. 1, w1=3,0 m	1,0	300,0	300,0	1,0	9,0	9,0
Pruh č. 2, w2=3,0 m	1,0	200,0	200,0	1,0	2,5	2,5
Pruh č. 3, w3=0,0 m	1,0	100,0	100,0	1,0	2,5	2,5

Iné zať. pruhy, w=0,0 m	-	-	-	-	-	-
Zvyšná zať. plocha, w=1,0 m	-	-	-	1,0	2,5	2,5





7.2.1.2 Zaťaženie chodníkov

Rovnomerné zaťaženie – charakteristická hodnota $q_p = 5,0 \text{ kN/m}^2$

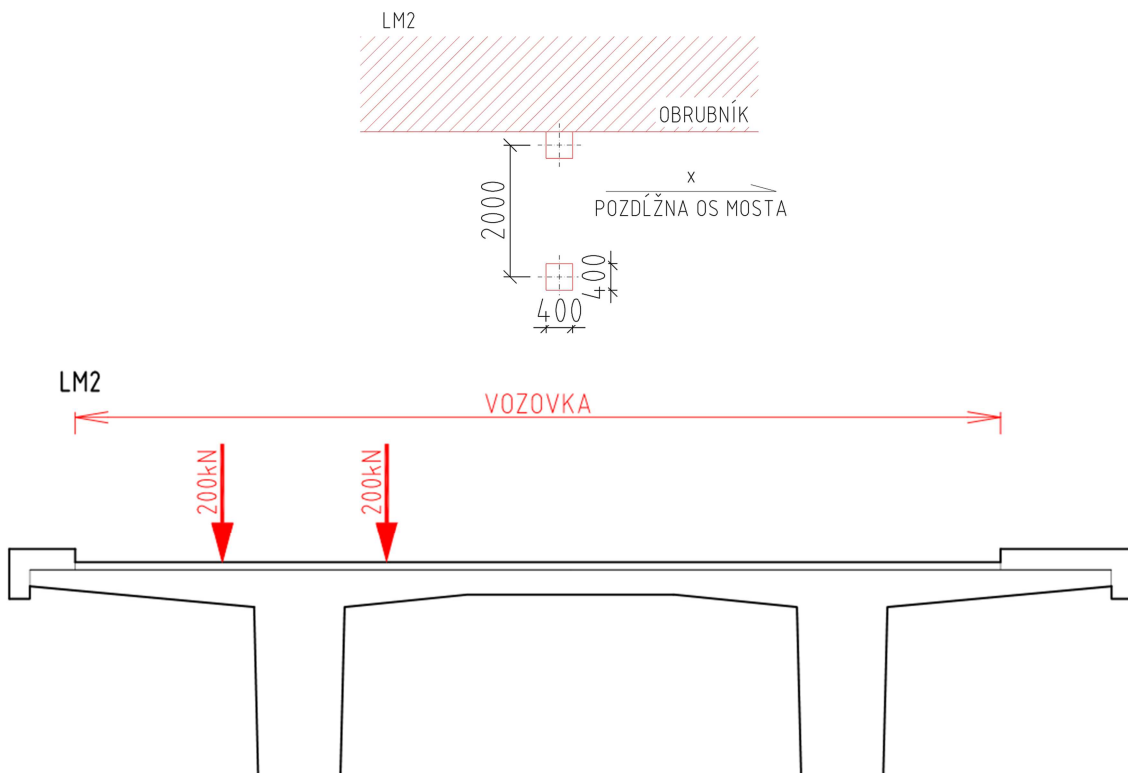
Rovnomerné zaťaženie – kombinačná hodnota $q_p = 3,0 \text{ kN/m}^2$

7.2.1.3 Zaťažovací model LM2

Model zložený z jednonápravového zaťaženia s tiažou rovnou 400kN vrátane dynamických prírastkov. Zaťaženie sa používa v ľubovoľnej polohe na vozovke.

$$\beta_Q = 1,00$$

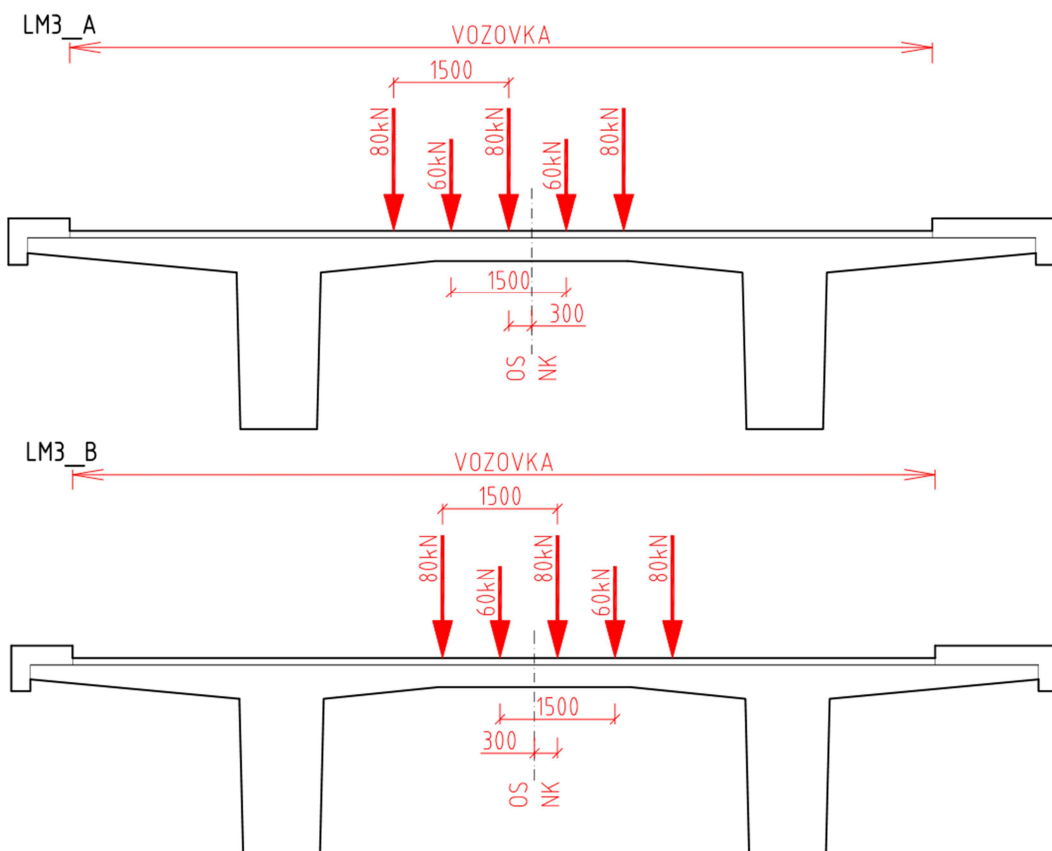
$$Q_{ak} = 400 \text{ kN}$$



7.2.1.4 Zaťažovací model LM3

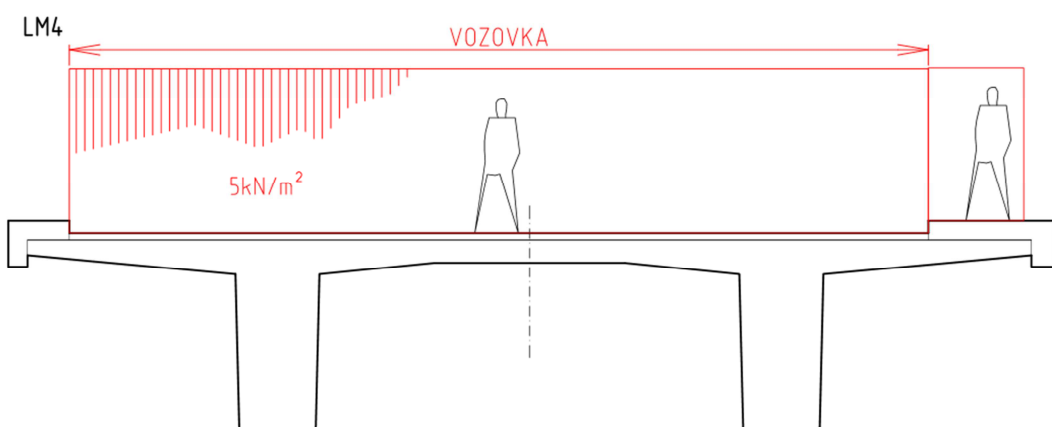
Špeciálne vozidlo 3000/240 sa na moste umiestňuje do dvoch susedných zaťažovacích pruhov a považuje sa za jediné vozidlo na moste. Tieto zaťažovacie pruhy sa majú na vozovke uvažovať v najpriaznivejšej polohe s prípustnou kolmou odchýlkou od vytýčenej polohy (os nosnej konštrukcie) $\pm 0,30\text{m}$.

Špeciálne vozidlo 3000/240 sa pohybuje po moste pomalou rýchlosťou do 5km/h , pričom musí byť po celej dĺžke mosta vylúčená ostatná doprava.



7.2.1.5 Zaťažovací model LM4

V zaťažovacom modeli LM4 je vyjadrené rovnomerným spojitém zaťažením rovným 5kN/m^2 . Zaťaženie zahrnuje dynamické prírastky.



7.2.1.6 Brzdné a rozjazdové sily

Rozjazdové sily majú rovnakú veľkosť ako brzdné sily, sú opačne orientované. Pôsobia na úrovni vozovky. Dĺžka nosnej konštrukcie mosta je 431,6 m. Brzdné a rozjazdové sily sú vypočítané zo zaťažovacieho modelu LM1:

Rozmery mosta					
L=	431,6 m	dlžka nosnej konštrukcie			
b=	11,25 m	šírka vozovky			
r=	475 m	polomer zakrivenia osi vozovky			
kategória cesty					
		Dialnice a rýchlosťné cesty			
αQ1	αQ2	αQ3	αq1	αq1 i>2	
0,9	0,9	0,9	0,9	1	
Q1k=	300 kN		q1k=	9	kN/m^2
Q2k=	200 kN		q2k=	2,5	kN/m^2
Q31k=	100 kN		q3k=	2,5	kN/m^2
			qwk=	2,5	kN/m^2
n	3	počet jazdných pruhov			
w	2,25 m	zvyšná plocha			
Brzdné a rozjazdové sily					
w=	3 m	šírka pruhu			
Qk=	1 372,8 kN				
Qik=	900 kN	brzdná sila			

7.2.1.7 Zaťaženie od odstredivej sily a iných priečnych zaťažení

Most sa nachádza smerovo v oblúku polomeru R= 475,0m.

Odstredivé sily		
Σα.2.Q=	1080 kN	
Qtk=	90,95 kN	

7.2.1.8 Zaťažovacie skupiny od cestnej dopravy

Tab. 2 4.4a - Zaťažovacie skupiny od cestnej dopravy

Typ zaťaženia	Vozovka						Chodníky pre chodcov a cyklistov
	Zvislé sily				Vodorovné sily		
Cíl článku	4.3.2	4.3.3	4.3.4	4.3.5	4.4.1	4.4.2	Výlučne zvislé zaťaženie
Zaťažovací systém	LM1	LM2	LM3	LM4	Brzdné a rozjazdové sily ^(a)	Odstredivé sily ^(a)	Rovnomerné spojité zaťaženie
TS+RSZ	Jednonápravovo vozidlá	Zvláštne vozidlá	Zaťaženie davom ľudí				
sk1a	Charakter. hodnoty						Kombináčna hodnota ^(b)
sk1b		Charakter. hodnoty					
sk2	Časté hodnoty				Charakter. hodnoty	Charakter. hodnoty	
sk3 ^(d)							Charakter. Hodnoty ^(c)
sk4				Charakter. hodnoty			
sk5	Pozri prílohu A		Charakter. hodnoty				
	Dominantná zložka zaťažení (označená ako zložka súvisiaca so skupinou)						

^(a) Môžu byť definované v národnej prílohe (pre uvedené prípady)

^(b) Môžu byť definované v národnej prílohe. Odporučaná hodnota je 3kN/m²

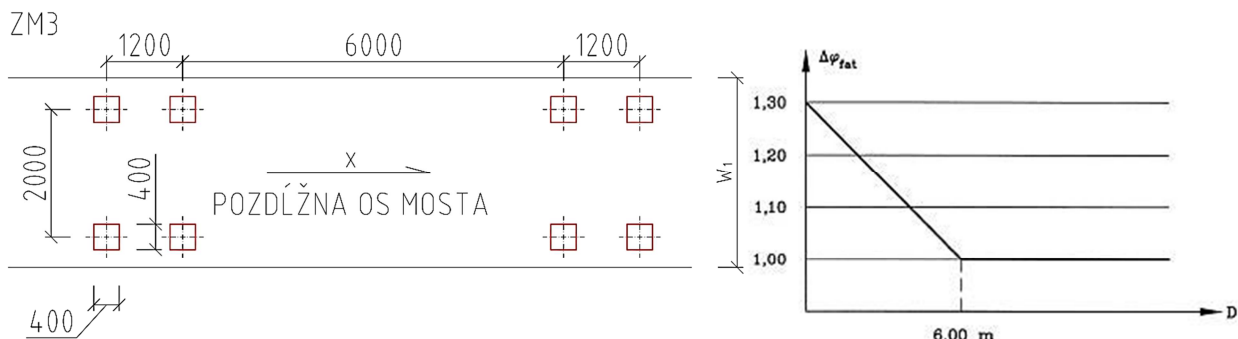
- (c) Pozri 5.3.2.1-(2) Iba jeden zaťažený chodník sa má uvažovať len v prípade, že to vyvolá nepriaznivejší účinok, ako keď sú zaťažené oba chodníky
- (d) Táto skupina sa neuvažuje, ak sa uvažuje skupina sk.4

7.2.1.9 Únavový zaťažovací model

STN EN 1991-2, čl. 4.6.4

Zaťaženie na nápravu: 120kN

Kontaktná plocha: $0,4\text{m} \times 0,4\text{m} = 0,15\text{m}^2$



Prídavný dynamický súčinieľ $\Delta\varphi_{fat}$ v blízkosti dilatačného spoja

$$\Delta\varphi_{fat} = 1,30 \cdot \left(1 - \frac{D}{26}\right); \Delta\varphi_{fat} \geq 1,0$$

D – vzdialenosť uvažovaného prierezu od dilatačného spoja.

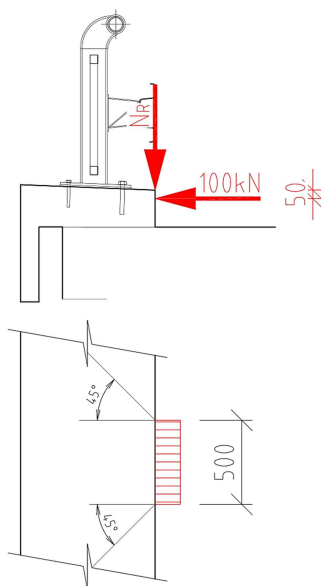
D	0,00 (m)	1,00 (m)	2,00 (m)	3,00 (m)	4,00 (m)	5,00 (m)	6,00 (m)
$\Delta\varphi_{fat}$	1,30	1,25	1,20	1,15	1,10	1,05	1,00

7.2.1.10 Mimoriadne návrhové situácie

7.2.1.10.1 Sily od nárazov vozidiel na obrubníky

Vodorovná sila: 100kN

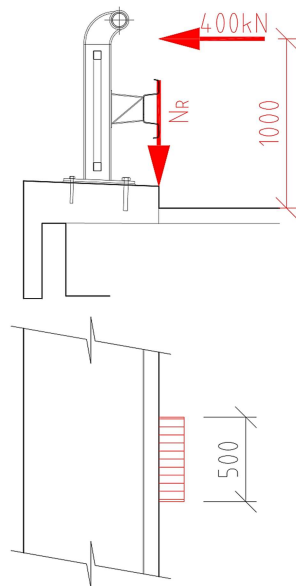
Zvislá sila: $0,75 \cdot \alpha_{Q1} \cdot Q_{Q1} = 225\text{kN}$



7.2.1.10.2 Sily od nárazov vozidiel na zvodidlá

Vodorovná sila: 400kN

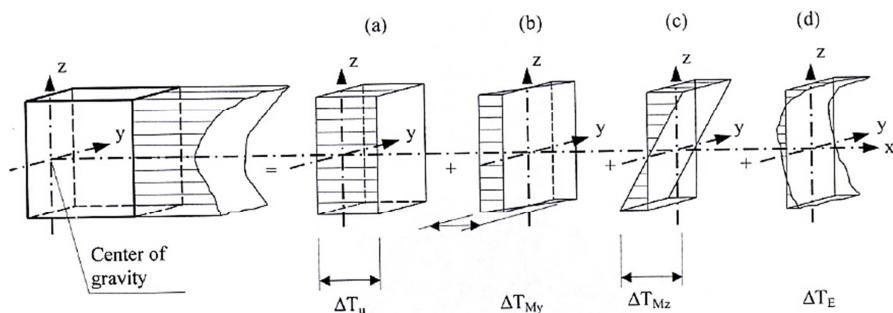
Zvislá sila: $0,75 \cdot a_{Q1} \cdot Q_{Q1} = 225\text{kN}$



7.2.2 Zaťaženie od teploty

Rozdelenie teploty v samostatnom konštrukčnom prvku možno rozčleniť do štyroch nasledujúcich hlavných základných zložiek (STN EN 1991-1-5, kapitola 4 (3)).

- a) Zložka rovnomernej teploty
- b) Zložka lineárne sa meniaceho teplotného spádu okolo osi z-z
- c) Zložka lineárne sa meniaceho teplotného spádu okolo osi y-y.
- d) Nelineárna zložka teplotného spádu.



7.2.2.1 Zložka rovnomernej teploty

Typ konštrukcie: 3 Betónová nosná konštrukcia – betónový nosník

$$T_0 = +10,0^\circ\text{C}$$

$$T_{max} = +40,5^\circ\text{C}$$

$$T_{e,max} = +42,5^\circ\text{C}$$

$$\Delta T_{N,exp} = +32,5^\circ\text{C}$$

$$T_{min} = -30,0^\circ\text{C}$$

$$T_{e,min} = -22,0^\circ\text{C}$$

$$\Delta T_{N,con} = -32,0^\circ\text{C}$$

7.2.2.2 Zložka lineárne sa meniaceho teplotného spádu okolo osi z-z

Pre kombináciu rovnomernej a lineárnej zložky teploty platí:

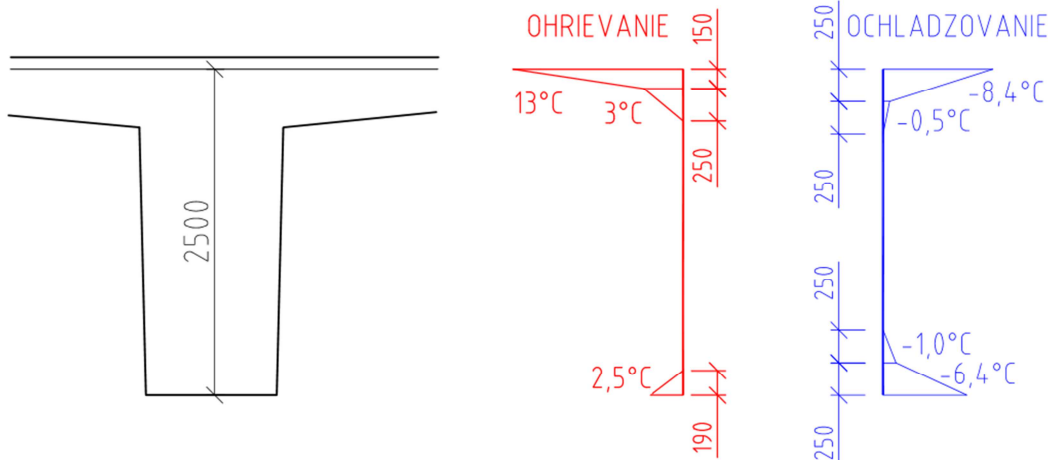
- Oteprenie: $(\Delta T_{M,heat} + 0,35 \cdot \Delta T_{N,exp}; 0,75 \cdot \Delta T_{M,heat} + \Delta T_{N,exp})$
- Oteprenie: $(\Delta T_{M,cool} + 0,35 \cdot \Delta T_{N,con}; 0,75 \cdot \Delta T_{M,cool} + \Delta T_{N,con})$

Pôsobenie vplyvu teploty sa uvažovalo podľa STN EN 1991-1-5 Eurokód 1. Zaťaženia konštrukcií, Časť 1-5: Všeobecné zaťaženia, Zaťaženia účinkami teploty.

h = 2,5

Vo výpočte sa zohľadnili nasledujúce vplyvy: Typ konštrukcie 3.

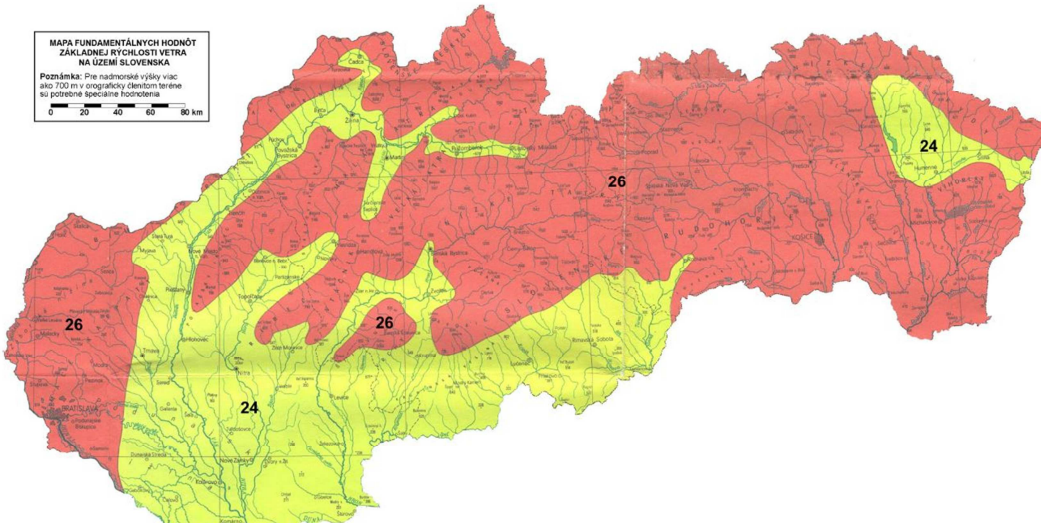
- nerovnomerné oteplenie, teplotný spád (teplejší horný povrch): $\Delta T_{M,heat}$
 - nerovnomerné ochladenie, teplotný spád (teplejší spodný povrch): $\Delta T_{M,cool}$



7.2.3 Zat'aženie vetrom

Vo výpočte sa zaťaženie od vetra zohľadnilo podľa požiadaviek STN EN 1991-1-4 Eurokód 1, Zaťaženia konštrukcií, Časť 1-4: Všeobecné zaťaženia, Zaťaženie vetrom. Uvažovalo sa s pôsobením vetra na náveternej strane nezaťaženého mosta. Podľa mapy fundamentálnych hodnôt základných rýchlosťí vetra sa pre Čadcu a okolie použila fundamentálna hodnota základnej rýchlosťi vetra $v_{b,0} = 24,0 \text{ m/s}$. Následne sa vypočítali sily od vetra pôsobiace na nosnú konštrukciu mosta $q_{wk,x}$, ktoré sa prepočítali k ťažisku mostovkovej dosky a zaťaženie na piliere $q_{wk,pil}$, ktorým sa zaťažili piliere mosta.

7.2.3.1 Zjednodušená metóda



kategoria terénu	II	
z_0	0,05	m
z_{\min}	2	m
k_r	0,19	
z_{\max}	200m	
$c_r(z)$	1,1476	
$V_m(z)$	8,03	m/s
$ v(z) $	0,1656	
ρ	1,25	kg/m ³
$q_p(z)$	0,0871	kPa
q_b	0,031	kPa
$c_e(z)$	2,84	

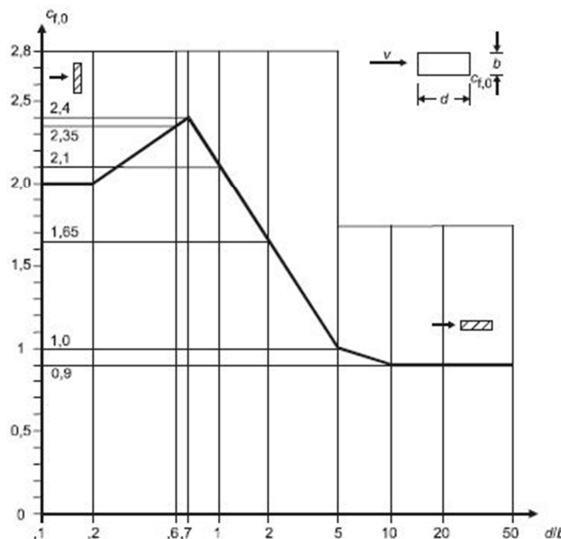
základná rýchlosť vetra bez dopravy		24m/s	základná rýchlosť vetra s dopravou		23m/s	
výška z		23	m	výška z	23	m
b		15,8	m	b	15,8	m
d tot		8	m	d tot	8	m
b/d tot		1,975	m	b/d tot	1,975	m
Priečny tlak vetra na nosnú konštrukciu			Priečny tlak vetra na nosnú konštrukciu			
c _{fx}	1,908		c _{fx}	1,908		
priečny tlak vetra	$1/2 \cdot \rho \cdot v_b^2 \cdot c_e(z) \cdot c_{fx}$		priečny tlak vetra	$1/2 \cdot \rho \cdot v_b^2 \cdot c_e(z) \cdot c_{fx}$		
q _{w,x}	2,00	kPa	q _{w,x}	1,83	kPa	
Zvislý tlak vetra na nosnú konštrukciu			Zvislý tlak vetra na nosnú konštrukciu			
c _{fz}	0,804		c _{fz}	0,804		
zvislý tlak vetra	$1/2 \cdot \rho \cdot v_b^2 \cdot c_e(z) \cdot c_{fz}$		zvislý tlak vetra	$1/2 \cdot \rho \cdot v_b^2 \cdot c_e(z) \cdot c_{fz}$		
q _{w,z}	0,84	kPa	q _{w,z}	0,77	kPa	
e	3,95	m	e	3,95	m	
Pozdĺžny tlak vetra na nosnú konštrukciu			Pozdĺžny tlak vetra na nosnú konštrukciu			
pozdĺžny tlak vetra			pozdĺžny tlak vetra			
q _{w,y}	0,50	kPa	q _{w,y}	0,50	kPa	

7.2.3.2 Piliere mosta

Podľa obecných postupov v STN EN 1991-1-4 (čl. 7.6, 7.8, 7.9.2)

Nosné prvky s obdĺžnikovým prierezom

$$c_f = c_{f,0} \cdot \psi_r \cdot \psi_\lambda$$



$l=22,0\text{m}$ Výška piliera

$d=2,2\text{m}$ Výška prierezu piliera, rovnobežne s osou mosta

$b=5,0\text{m}$ Šírka prierezu piliera, kolmo na os mosta

	d/b	Cf,0	ψr	ψλ	Cf	Ce	Aref	Qw
							m^2/m	kN/m
priečny vietor	2,27	2,00	1,0	1,0	2,00	2,91	2,2/1,8	2,32
pozdlžný vietor	0,44	2,21	1,0	1,0	2,21	2,91	5,0	2,10

7.3 Trenie v ložiskách

Účinky premenného zaťaženia od dopravy pre stanovenie účinkov nevyrovnaného trenia v ložiskách boli určené skupinou zaťažení gr2 (STN EN 1992-2/NA/Z1-čl. NA.4.3)

7.3.1 Ľavý most

LM	Zaťažovací stav	nall	n	μmax	Cn	Ca	cr	1	3	5	11	13	15	17	19	Σ
	MSU							8774	29587	31182	30854	30880	31063	29169	10192	
	Charak							6519	21901	23098	22856	22876	23005	21602	7562	
	Častý							5445	18486	19524	19248	19228	19369	18269	6370	
	Kvázi- stála							3640	14675	15615	15314	15268	15420	14520	4449	
Trenie	Charak			4				-261	-876	-924	914	915	920	864	302	1855
	Charak			4				261	876	924	-914	-915	-920	-864	-302	-1855
	Kvázi - stála			4				-146	-587	-625	613	611	617	581	178	1242
	Kvázi - stála			4				146	587	625	-613	-611	-617	-581	-178	-1242
Nevyrovnáne sily	Kvázi - stála +L	16	6	4	0,833	3,67	0,33	-133	-538	-573	51	51	51	48	15	-1028
	Kvázi - stála -L	16	6	4	0,833	3,67	0,33	133	538	573	-51	-51	-51	-48	-15	1028
	Kvázi - stála +P	16	10	4	0,5	3,00	1,00	-36	-147	-156	459	458	463	436	133	1610
	Kvázi - stála -P	16	10	4	0,5	3,00	1,00	36	147	156	-459	-458	-463	-436	-133	-1610

LM	Zaťažovací stav	Hkvaz	Lzat	Rgr2	Hgr2	Charak	Kvázi
		(kN)	(m)	(kN)	(kN)	(kN)	(kN)
Nevyrovnáne sily	+L	-1028	121	10770	-395	-1422	-1028
	-L	1028	121	10770	395	1422	1028
	+P	1610	213	10596	318	1928	1610
	-P	-1610	213	10596	-318	-1928	-1610

7.3.2 Pravý most

PM	Zaťažovací stav	nall	n	μmax	Cn	Ca	cr	2	4	6	8	14	16	18	20	22	Σ
	MSU							12738	35230	35884	36188	32374	32174	32222	30352	10538	
	Charak							8836	24229	24620	24980	22818	22682	22722	21398	7490	
	Častý							7846	21666	21936	22306	20249	19966	19954	18945	6539	
Trenie	Kvázi- stála							5558	17006	17125	17584	16403	16036	16005	15223	4658	
	Charak			4				-353	-969	-985	-999	913	907	909	856	300	577,8
	Charak			4				353	969	985	999	-913	-907	-909	-856	-300	-578
	Kvázi - stála			4				-222	-680	-685	-703	656	641	640	609	186	442,1
Nevyrovnáne sily	Kvázi - stála			4				222	680	685	703	-656	-641	-640	-609	-186	-442
	Kvázi - stála +L	18	8	4	0,667	3,33	0,67	-185	-567	-571	-586	109	107	107	101	31	-1454
	Kvázi - stála -L	18	8	4	0,667	3,33	0,67	185	567	571	586	-109	-107	-107	-101	-31	1454
	Kvázi - stála +P	18	10	4	0,5	3,00	1,00	-56	-170	-171	-176	492	481	480	457	140	1477
	Kvázi - stála -P	18	10	4	0,5	3,00	1,00	56	170	171	176	-492	-481	-480	-457	-140	-1477

PM	Zaťažovací stav	Hkvaz	Lzat	Rgr2	Hgr2	Charak	Kvázi
		(kN)	(m)	(kN)	(kN)	(kN)	(kN)
Nevyrovnáne sily	+L	-1454	176	13358	-445	-1899	-1454
	-L	1454	176	13358	445	1899	1454
	+P	1477	215	11680	350	1827	1477
	-P	-1477	215	11680	-350	-1827	-1477

7.4 Seizmické zaťaženie

Seizmické zaťaženie bolo uvažované podľa STN EN 1998-1 a STN EN 1998-2.

Kategória podložia: B

$$g = 9,806 \text{ m.s}^{-2}$$

$$a_{gR} = 0,40 \text{ m.s}^{-2} = 0,041 \text{ g}$$

$$\gamma_l = 1,4$$

$$a_g = 0,56 \text{ m.s}^{-2} = 0,057 \text{ g}$$

$$S = 1,1$$

$$a_g S = 0,616 \text{ m.s}^{-2} = 0,063 \text{ g}$$

$0,05g \leq a_g S \leq 0,1g$ oblasť s nízkou seizmicitou (STN EN 1998-1, čl. 3.2.1, (4))

Je možné použiť zjednodušené kritéria.

7.5 Zaťaženie počas výstavby

Nosná konštrukcia bude stavaná po jednotlivých poliach na výsuvnej skruži zdola. Zaťaženie od skruže bolo určené dodávateľom skruže – firmou Strukturas.

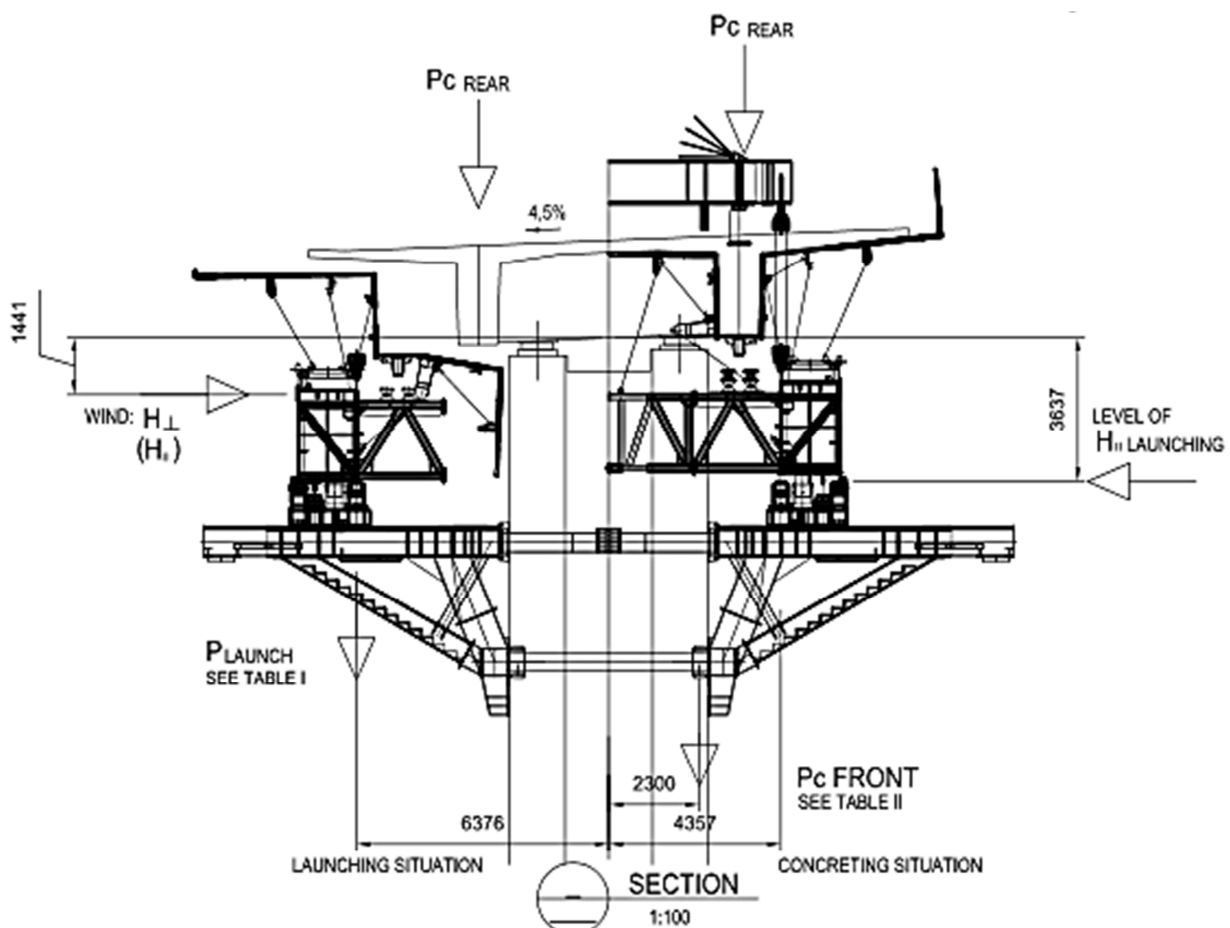


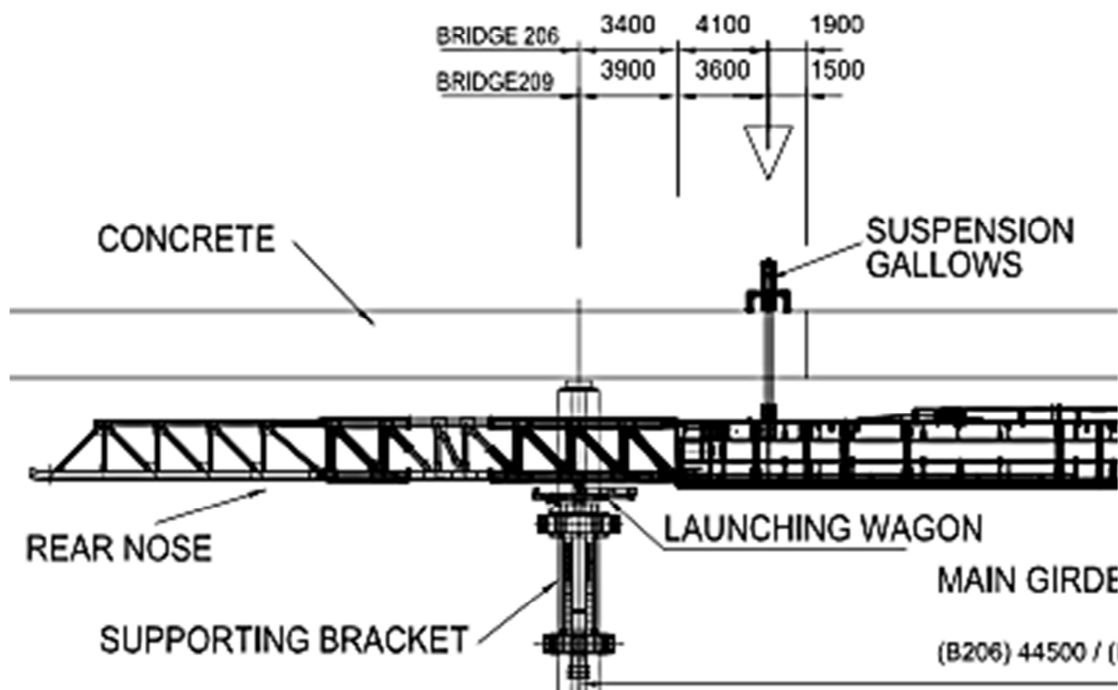
TABLE I

LAUNCHING LOAD CASES			
LOAD CASE	P	H _h	H _l
H max / $\frac{P}{2}$	1720 kN	270 kN	80 kN
$\frac{H}{2} / \frac{3}{4} P$	2410 kN	135 kN	120 kN
H=0 / P max	3100 kN	~0 kN	160 kN

TABLE II

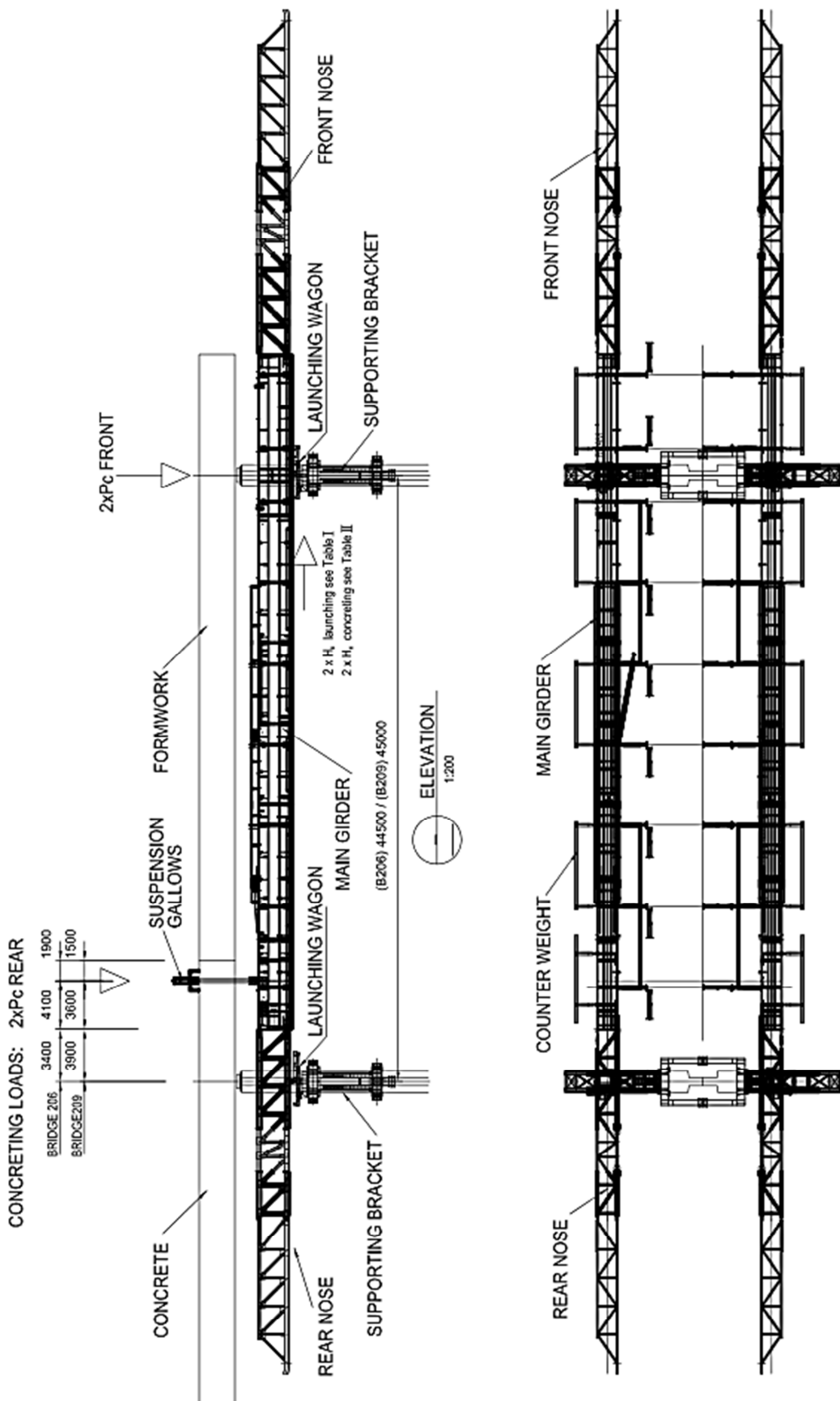
CONCRETING LOAD CASES		
LOAD CASE	P _C REAR	P _C FRONT
BEFORE CONCRETING	1470 kN	1950 kN
AFTER CONCRETING	3480 kN	5380 kN

WIND FRONT PIER	H _h	H _l
WIND \perp	0	250 kN
WIND 45°	0 / 95 kN	125 kN

CONCRETING LOADS: 2xP_c REAR


Zaťaženie	1x P _{C,REAR} (kN)	2x P _{C,REAR} (kN)	1x P _{C,FRONT} (kN)	2x P _{C,FRONT} (kN)
Skruž	1470	2940	1950	3900
Betón	2010	4020	3430	6860
Skruž+ Betón	3480	6960	5380	10760

Zaťaženie	Symbol	Návrhová hodnota (kN/m ²)
Pracovníci a ručné stroje	Q _{ca}	1,0
Skladovanie	Q _{cb}	0,2



8. NÁVRHOVÉ KRITÉRIA

8.1 Medzné stavy používateľnosti (MSP)

8.1.1 Medzné stavy používateľnosti – kontrola napäťí

Podľa STN EN 1992-2, čl. 7.2 pri charakteristickej kombinácii zaťažení:

- nesmú tlakové napäťia v betóne prekročiť hodnotu $k_1 \cdot f_{ck}(t)$, pričom $k_1 = 0,6$
- napätie v predpínacích jednotkách nemá prekročiť hodnotu $k_5 \cdot f_{pk}$, pričom $k_5 = 0,75$
- ťahové napäťia v betonárskej výstuži neprekročia $k_3 \cdot f_{yk}$, pričom $k_3 = 0,8$.

Ťahové napäťia v priereze splňajú podmienku STN EN 1992-1-1, čl. 7.1 (neprekročia hodnotu $f_{ct,eff}$ alebo f_{ctm}).

8.1.2 Medzné stavy používateľnosti – kontrola trhlín v betóne

Pre menej častú (zriedkavú) kombináciu zaťažení nesmie nastať dekomprezia – vyčerpanie tlakovej rezervy. Pre prvky predpäté súdržnou predpínacou výstužou to znamená, že okraj tejto výstuže musí ležať aspoň 100 mm vo vnútri tlačeného prierezu (STN EN 1992-2, čl. 7.3).

8.2 Medzné stavy únosnosti (MSÚ)

Pri trvalých a dočasných návrhových situáciach nesmie nastať ohrozenie bezpečnosti osôb alebo ohrozenie bezpečnosti konštrukcie prekročením únosnosti najviac namáhaných prierezov konštrukcie.

9. KOMBINÁCIE ZAŤAŽENÍ

Kombinácie zaťažení boli uvažované podľa STN EN 1990

9.1 Kombinačné pravidlá

9.1.1 STN EN 1990

(2) Zaťažovací model 2, (alebo pridružená skupina zaťažení gr 1b) a sústredené zaťaženie Q_{fwk} na chodníkoch sa nemusia kombinovať s akýmkolvek iným premenným nedopravným zaťažením.

(3) Zaťaženia snehom a vetrom sa nemusia kombinovať s:

- brzdnými a rozjazdovými silami, odstredivými silami alebo s pridruženou zaťažovacou skupinou gr 2,
- zaťažením chodníkov a cyklistických trás alebo s pridruženou zaťažovacou skupinou gr 3,
- zaťažením davom ľudí (LM4) alebo pridruženou zaťažovacou skupinou gr 4.

(4) Zaťaženia snehom sa nemusí kombinovať so zaťažovacím modelom 1 a 2 alebo pridruženou zaťažovacou skupinou gr1a a gr1b, ak to nie je stanovené inak pre určité zemepisné oblasti.

NA.2.6 A2.2.2(6)

Na mostoch pozemných komunikácií zaťaženie vetrom spolu so zaťažením účinkami teploty sa nepovažujú za súčasne pôsobiace zaťaženia.

9.1.2 STN EN 1998-2

STN EN 1998-2, čl. 2.2.2

Ak návrhové seismické zaťaženie má malú pravdepodobnosť prekročenia počas návrhovej životnosti mosta, seismické zaťaženie možno uvažovať ako mimoriadne zaťaženie podľa EN 1990:2002, 1.5.3.5 a 4.1.1(2). V takom prípade sa požiadavky (3) a (4) môžu zmieriňať.

NA.2.6 2.2.2(5)

Pre mosty sa seizmické zaťaženie nerieši ako mimoriadne zaťaženie. Zmiernenie požiadaviek 2.2.2(3) a 2.2.2(4) sa neuvádzajú.

STN EN 1998-2, čl. 5.5

(2)P Účinky seizmického zaťaženia sa nemusia kombinovať s účinkami zaťaženia v dôsledku vnútených deformácií (od zmeny teploty, zmrašťovania, sadania podpier, zvyškové posuny podložia v dôsledku seizmických zlomov)

(4)P Zaťaženie vetrom a zaťaženie snehom sa zanedbajú v návrhovej hodnote E_d účinkov zaťažení v seismickej návrhovej situácii (vzťah (5.4)).

9.1.3 Hodnoty súčiniteľov ψ

Tab. 3 Odporúčané hodnoty súčiniteľov ψ pre mosty pozemných komunikácií (Tab. A2.1, STN EN 1990/A1)

Zaťaženie	Označenie	ψ_0	ψ_1	ψ_2
Zaťaženie dopravou	gr 1a ¹⁾	TS	0,75	0,75
		UDL	0,4	0,4
		Zaťaženie chodcami ²⁾	0,4	0,4
	gr 1b (jednonápravové vozidlo)	0	0,75	0
	gr 2 (vodorovné sily)	0	0	0
	gr 3 (zaťaženie chodcami)	0	0,4	0
	gr 4 (LM4 – zaťaženie davom ľudí)	0	0,75	0
Zaťaženie vetrom	Fwk Trvalé návrhové situácie	0,6	0,2	0
	Fwk Počas výstavby	0,8	-	0
	Fw*	1,0	-	-
Zaťaženie účinkami teploty	T _k	0,6 ³⁾	0,6	0,5
Zaťaženie snehom	Q _{Sn,k} (počas výstavby)	0,8	-	-
Zaťaženie počas výstavby		1,0	-	1,0

1. Odporúčané hodnoty súčiniteľov ψ_0 , ψ_1 , ψ_2 pre gr 1a a gr 1b sú uvedené pre cesty s dopravou zodpovedajúcou kategorizačným súčiniteľom α_{q1} , α_{q2} , α_{qr} a β_{sr} rovným 1. Ich hodnoty týkajúce sa UDL zodpovedajú bežným dopravným scenárom, v ktorých môže nastať zriedkavá kumulácia nákladných vozidiel. Pre iné triedy ciest alebo inú predpokladanú prevádzku súvisiacu s výberom zodpovedajúcich súčiniteľov α sa smú uvažovať iné hodnoty. Napríklad hodnota súčiniteľa ψ_2 iná ako nulová môže byť uvažovaná pre UDL zaťažovacieho modelu LM1 pri mostoch so spojitou ťažkou dopravou. Pozri aj EN 1998.
2. Kombináčna hodnota zaťaženia lávok pre chodcov alebo cyklistických trás uvedená v tabuľke 4.4a EN 1991-2 je „redukovaná“ hodnota. Súčinitele ψ_0 a ψ_1 sa použijú s touto hodnotou.
3. Odporúčaná hodnota súčiniteľa kombinácie zaťaženia ψ_0 pre zaťaženie účinkami teploty sa smie vo väčšine prípadov redukovať na nulovú hodnotu pre medzné stavy únosnosti EQU, STR a GEO. Pozri aj návrhové eurokódy.

9.2 Kombinácie zaťažení pre MSP

Pre medzné stavy používateľnosti (MSP) sa uvažovali nasledujúce kombinácie zaťažení:

- charakteristická kombinácia
- častá kombinácia
- kvazistála kombinácia.

Tab. 4 Návrhové hodnoty zaťažení na použitie v kombináciách zaťažení (Tab. A2.6, STN EN 1990/A1)

Kombinácia	Stále zaťaženie G_d		Predpätie	Premenné zaťaženia Q_d	
	Nepriaznivé	Priaznivé		Hlavné	Ostatné
Charakteristická	$G_{kj, sup}$	$G_{kj, inf}$	P	$Q_{k,1}$	$\psi_{0,i} Q_{k,i}$
Častá	$G_{kj, sup}$	$G_{kj, inf}$	P	$\psi_{1,1} Q_{k,1}$	$\psi_{2,i} Q_{k,i}$
Kvázi - stála	$G_{kj, sup}$	$G_{kj, inf}$	P	$\psi_{2,1} Q_{k,1}$	$\psi_{2,i} Q_{k,i}$

Charakteristická kombinácia zaťažení:

$$\sum_j G_{k,j,sup} + \sum_j G_{k,j,inf} + P_k + Q_{k,1} + \sum_{i \geq 2} \psi_{0,i} \cdot Q_{k,i}$$

Častá kombinácia zaťažení:

$$\sum_j G_{k,j,sup} + \sum_j G_{k,j,inf} + P_k + \psi_{1,1} \cdot Q_{k,1} + \sum_{i \geq 2} \psi_{2,i} \cdot Q_{k,i}$$

Kvazistála kombinácia zaťažení:

$$\sum_j G_{k,j,sup} + \sum_j G_{k,j,inf} + P_k + \psi_{2,1} \cdot Q_{k,1} + \sum_{i \geq 2} \psi_{2,i} \cdot Q_{k,i}$$

Menej častá (zriedkavá) kombinácia zaťažení:

$$\sum_j G_{k,j,sup} + \sum_j G_{k,j,inf} + P_k + \psi_{1,inf} \cdot Q_{k,1} + \sum_{i \geq 1} \psi_{1,i} \cdot Q_{k,i}$$

Na výpočet v medznom stave používateľnosti (a únavy) sa musia používať povolené maximálne možné zmienky v predpäti (STN EN 1992-1-1, čl. 5.10.9). Charakteristické hodnoty predpínacej sily sa určujú ako:

- horná charakteristická hodnota $P_{k,sup} = r_{sup} \cdot P_{m,t}(x)$
- spodná charakteristická hodnota $P_{k,inf} = r_{inf} \cdot P_{m,t}(x)$.

Pre dodatočne predpätú výstuž $r_{sup} = 1,10$ a $r_{inf} = 0,90$.

9.3 Mimoriadne návrhové situácie

Tab. 5 Návrhové hodnoty zaťažení pri mimoriadnych a seismických kombináciach zaťažení (Tab. A2.5, STN EN 1990/A1)

Návrhová situácia	Stále zaťaženie		Predpätie	Mimoriadne / Seizmické zaťaženie	Sprievodné premenné zaťaženie **	
	Nepriaznivé	Priaznivé			Podstatné	Ostatné
Mimoriadna *	$G_{kj,sup}$	$G_{kj,inf}$	P	A_d	$\psi_{1,1} Q_{k,1}$ alebo $\psi_{2,1} Q_{k,1}$	$\psi_{2,i} Q_{k,i}$
Seizmická ***	$G_{kj,sup}$	$G_{kj,inf}$	P	$A_{Ed} = \gamma_1 A_{Ek}$		$\psi_{2,i} Q_{k,i}$

* V prípade mimoriadnych návrhových situácií sa smie podstatné premenné zaťaženie uvažovať jeho častou, alebo ako v seismických kombináciach jeho kvázi – stálou hodnotou.

** Premenné zaťaženia sú tie, ktoré sú uvedené v tab. A2.1 až A2.3

*** NA alebo individuálny projekt smú špecifikovať príslušné seismické návrhové situácie.

9.4 Kombinácie zaťažení pre MSU

Pre medzné stavy únosnosti (MSU) sa uvažovali nasledujúce kombinácie zaťažení:

Tab. 6 návrhové hodnoty zaťažení (STR/GEO) (Sk.B) (Tab. A2.4, STN EN 1990/A1)

Trvalé a dočasné návrhové situácie	Stále zaťaženie		Predpätie	Hlavné premenné zaťaženie	Sprievodné zaťaženie	
	Nepriaznivé	Priaznivé			Podstatné (ak existuje)	Ostatné
(6.10)	$\gamma_{GJ,sup} G_{kj,sup}$	$\gamma_{GJ,inf} G_{kj,inf}$	$\gamma_p P$	$\gamma_{Q,1} Q_{k,1}$		$\gamma_{Q,i} \psi_{0,i} Q_{k,i}$
γ_G, sup	1,35					
γ_G, inf	1,00					
γ_Q	1,35	Nepriaznivé zaťaženie cestnou dopravou (0, ak je priaznivé)				
γ_Q	1,50	Ostatné zaťaženie dopravou a ďalšie premenné zaťaženia				
$\gamma_{G, set}$	1,20	Nerovnomerné sadanie – lineárny pružnostný výpočet				
γ_P	1,00					

(6.10)

$$\sum_{j \geq 1} \gamma_{G,j} \cdot G_{k,j} + \gamma_P \cdot P + \gamma_{Q,1} \cdot Q_{k,1} + \sum_{i > 1} \gamma_{Q,i} \psi_{0,i} \cdot Q_{k,i}$$

(6.10a)

$$\sum_{j \geq 1} \gamma_{G,j} \cdot G_{k,j} + \gamma_P \cdot P + \gamma_{Q,1} \cdot \psi_{0,1} \cdot Q_{k,1} + \sum_{i > 1} \gamma_{Q,i} \psi_{0,i} \cdot Q_{k,i}$$

(6.10b)

$$\sum_{j \geq 1} \xi_j \gamma_{G,j} \cdot G_{k,j} + \gamma_P \cdot P + \gamma_{Q,1} \cdot Q_{k,1} + \sum_{i > 1} \gamma_{Q,i} \psi_{0,i} \cdot Q_{k,i}$$

10. MEDZNÉ STAVY POUŽÍVATEĽNOSTI - NOSNÁ KONŠTRUKCIA

10.1 Kontrola napätií v predpínacej výstuži nosnej konštrukcie

Dodatočne predpínané: káble 19Ø Ls 15,7/1860

Charakteristická pevnosť predpínacej ocole v ťahu	f_{pk} [MPa]	1860
Charakteristická dohodnutá medza 0,1 % predpínacej ocole	$f_{p0,1k}$ [MPa]	1640
Návrhová hodnota napäťia v predpínacej oceli	f_{pd} [MPa]	1460

10.1.1 Stredná hodnota napäťia v predpínacích jednotkách

Podľa STN EN 1992-2, čl. 7.2 pri charakteristickej kombinácii zaťažení stredná hodnota napäťia v predpínacích jednotkách nemá prekročiť hodnotu $k_5 \cdot f_{pk}$, pričom $k_5 = 0,75$.

$$P_m = k_5 \cdot f_{pk}$$

$$P_m = 0,75 \cdot 1860 \text{ MPa}$$

$$P_m = 1395,0 \text{ MPa}$$

Kontrola napäťí v predpínacej výstuži pri predpínaní, po vnesení predpäťia a overenie strednej hodnoty napäťia v predpínacích jednotkách sú uvedené v nasledujúcich tabuľkách.

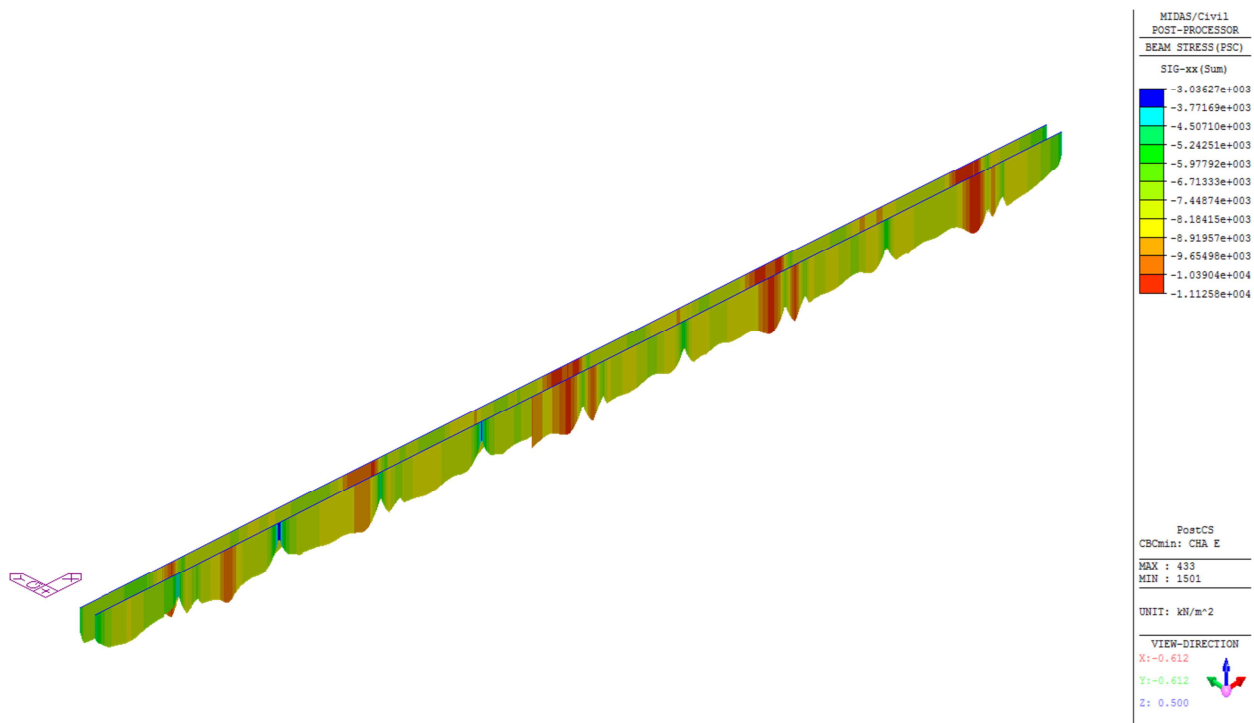
10.2 Kontrola tlakových napäťí v betóne

Podľa STN EN 1992-2, čl. 7.2 pri charakteristickej kombinácii zaťažení nesmú tlakové napäťia v betóne prekročiť hodnotu $k_1 \cdot f_{ck}(t)$, pričom $k_1=0,6$.

$$|\min. \sigma_{h,d}| < k_1 \cdot f_{ck}(t)$$

$$|\min. \sigma_{h,d}| < 0,635 \text{ MPa}$$

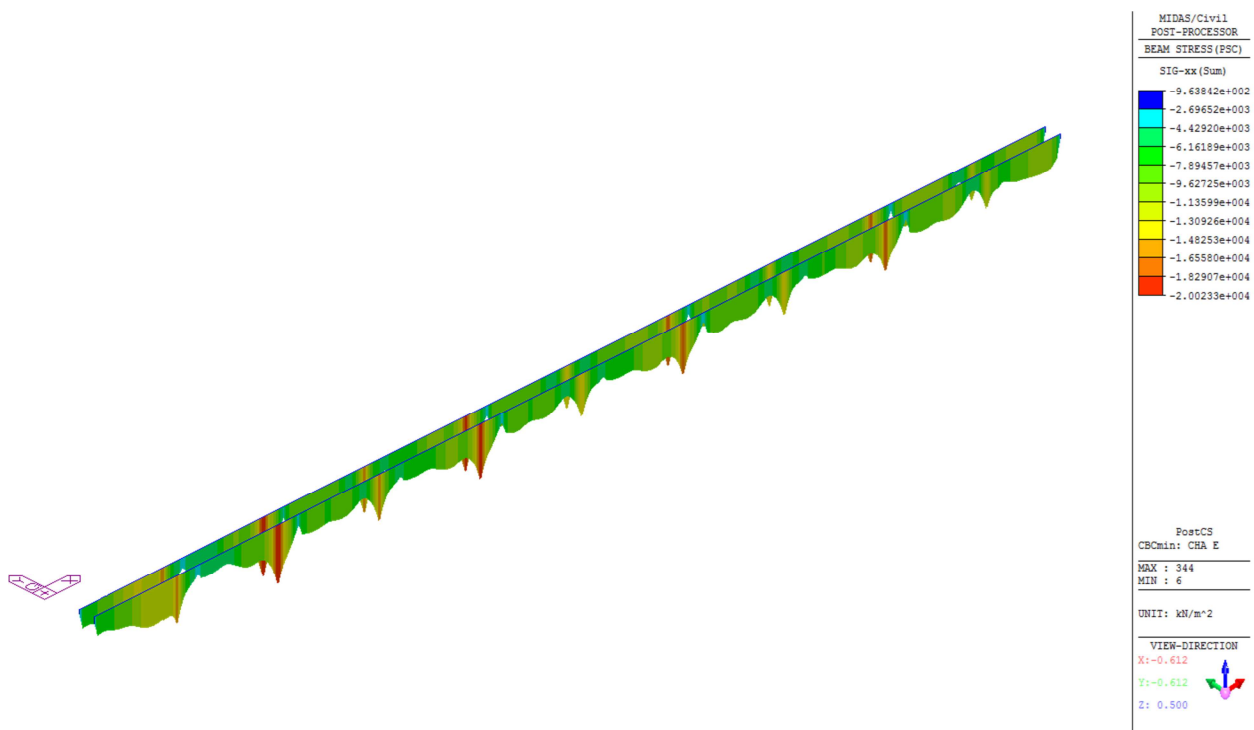
$$|\min. \sigma_{h,d}| < 21,0 \text{ MPa}$$



Obr. 3 Obálka najväčších tlakových napäťí (kPa) v hornom vlákne prierezu

$$|-11,2| < 21,0 \text{ MPa}$$

VYHOVUJE



Obr. 4 Obálka najväčších tlakových napäťí (kPa) v dolnom vlákne prierezu

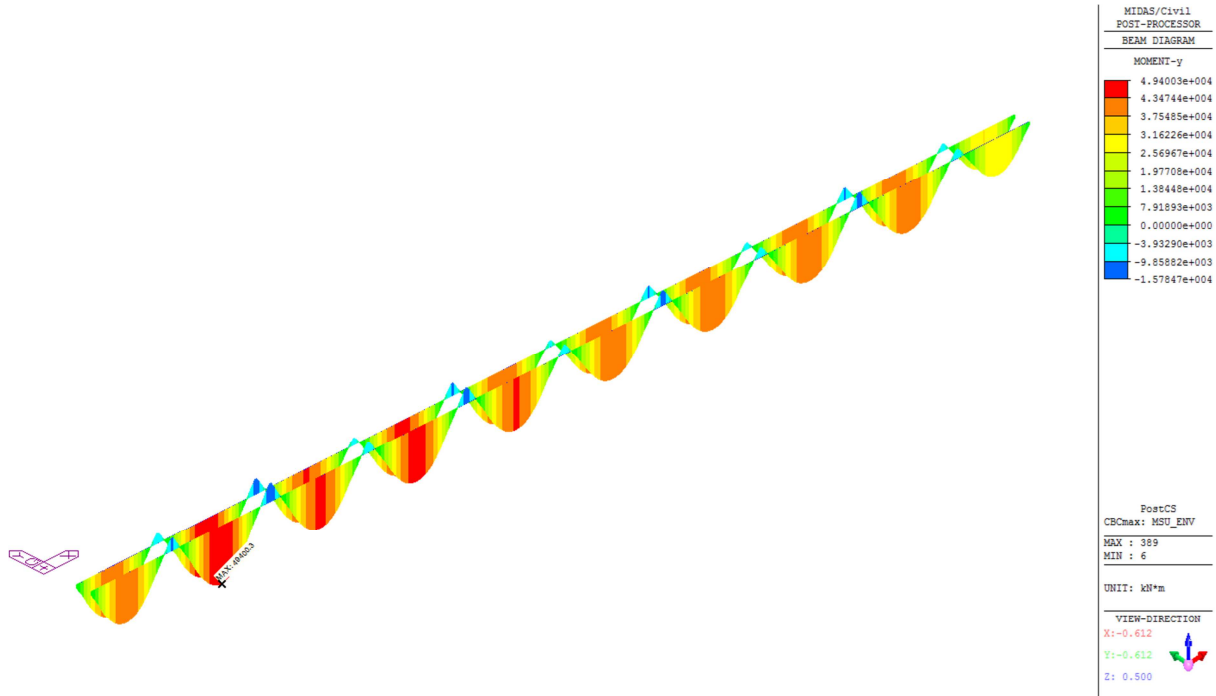
$| -20,2 | < 21,0 \text{ MPa}$

VYHOUVUJE

11. MEDZNÉ STAVY ÚNOSNOSTI

11.1 Ohybová únosnosť

11.1.1 Maximálne ohybové momenty



Obr. 5 obálka maximálnych ohybových momentov

Materiál	
C 35/45	mosty
f _{ck} =	35 MPa
α _{cc} =	0,85
γ _b =	1,5
f _{cd} =	19,83 MPa
ε _{c3} =	-0,00175
ε _{cu3} =	-0,0035
B 500B	
f _{yk} =	500 MPa
γ _s =	1,15 γ _p = 1
f _{yd} =	434,78 MPa
Predpínacia ocel'	
f _{pk} =	1860 MPa
f _{pk01} =	1640 MPa
f _{pd} =	1460 MPa
E _p =	195 GPa

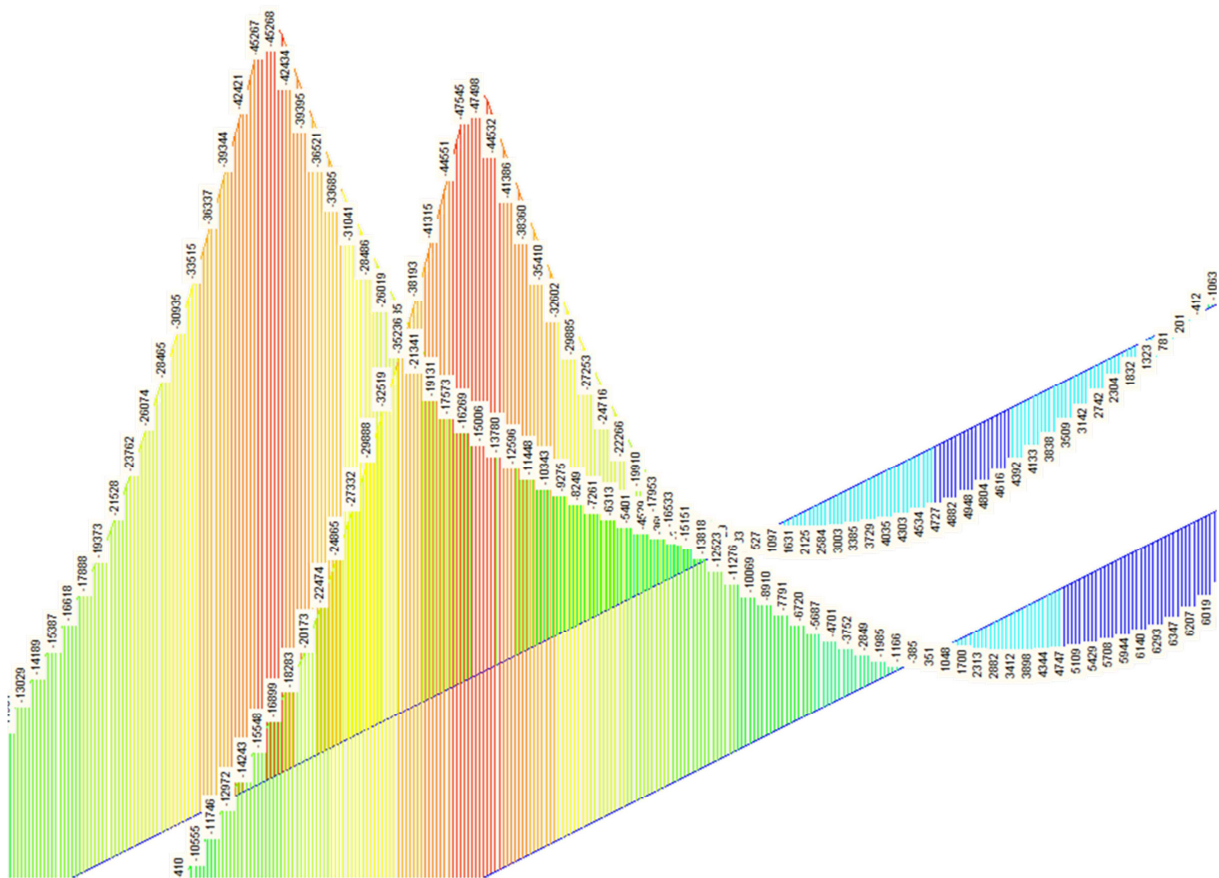
Geometria prierezu				
h ₁ =	250 mm		b ₁ =	6000 mm
h ₂ =	250 mm		b ₂ =	1000 mm
h ₃ =	1000 mm		b ₃ =	1000 mm
h ₄ =	1000 mm		b ₄ =	1000 mm
h=	2500 mm			3,75
Geometria mäkkej výstuže				
c _{nom} =	50 mm		a _s =	65 mm
d _{ss} =	10 mm		h _e =	2435 mm
d _s =	10 mm			
Geometria predpínacej výstuže				
A _{ik} /mm ² /	n _k	A _{ki} /mm ² /	a _{ki} /mm/	d _{ki} /mm/
0	0	0	190	0
150	19	2850	190	2310
150	19	2850	290	2210
150	19	2850	290	2210
150	19	2850	600	1900
150	19	2850	600	1900
150	19	2850	700	1800
150	19	2850	700	0
0	0	0	255	0
0	0	0	2070	0
A _{p,celk}		19950 mm ²		

Prierezové charakteristiky		
A=	4,79 m ²	
z(+)=	0,75 mm	
z(-)=	1,75 mm	
I _{yy} =	2,72E+00 m ⁴	
I _{zz} =	1,08E+01 m ⁴	

M_{Rdp} 53,208 MN.m

VYHOVUJE

11.1.2 Minimálne ohybové momenty

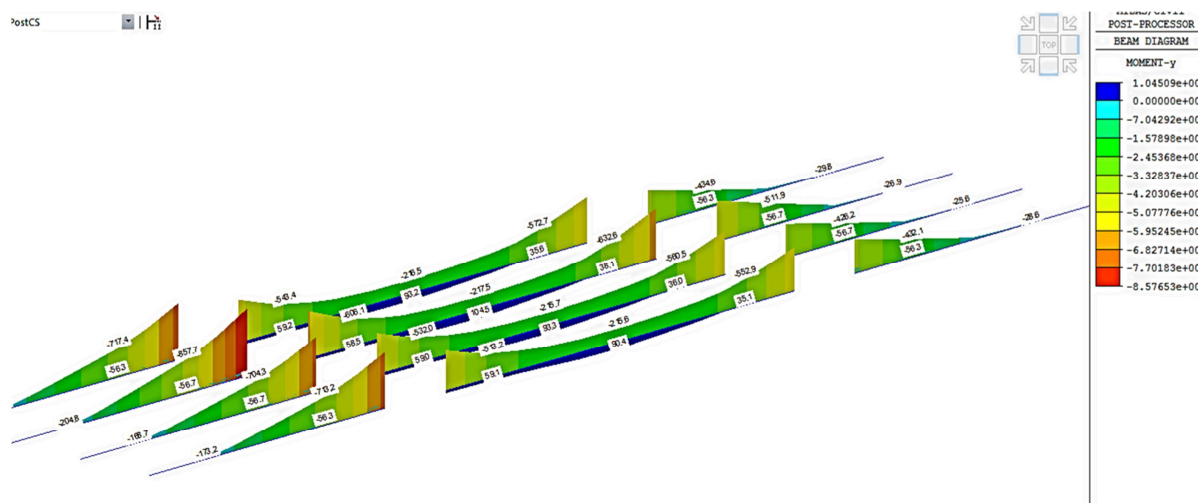


Materiál	
C 35/45	▼
mosty	▼
f _{ck} =	35 MPa
α _{cc} =	0,85
γ _b =	1,5
f _{cd} =	19,83 MPa
ε _{c3} =	-0,00175
ε _{cu3} =	-0,0035
B 500B	
Výstuž	f _{yk} = 500 MPa γ _s = 1,15 γ _p = 1 f _{yd} = 434,78 MPa
Predpínacia ocel'	f _{p0} = 1860 MPa f _{p01} = 1640 MPa f _{pd} = 1460 MPa E _p = 195 GPa

Geometria priezru			
h1=	1000 mm	b1=	1000 mm
h2=	1000 mm	b2=	1000 mm
h3=	250 mm	b3=	1000 mm
h4=	250 mm	b4=	4000 mm
h=	2500 mm		3,25
metria mäkkej výstuže			
Cnom=	50 mm	as=	65 mm
dss=	10 mm	he=	2435 mm
ds=	10 mm		
Geometria predpínacej výstuže			
Aik /mm ² /	nk	Aki /mm ² /	a ki /mm/
150	76	11400	190 2310
150	57	8550	260 2240
0	0	0	0 0
0	0	0	0 0
0	0	0	0 0
0	0	0	0 0
0	0	0	0 0
0	0	0	0 0
0	0	0	0 0
0	0	0	0 0
A p,celk		19950 mm ²	

M_{Rdp}
-48,150
MN.m
VYHÓVUJE

11.1.3 Priečne predpätie



Materiál				
C 35/45	mosty			
f _{ck} =	35 MPa			
α _{cc} =	0,85			
γ _b =	1,5			
f _{cd} =	19,83 MPa			
ε _{c3} =	-0,00175			
ε _{cu3} =	-0,0035			
Betón				
Výstuž				
f _{yk} =	500 MPa			
γ _s =	1,15 γ _p = 1			
f _{yd} =	434,78 MPa			
Predpínacia ocel'				
f _{pk} =	1860 MPa			
f _{pk01} =	1640 MPa			
f _{pd} =	1460 MPa			
E _p =	195 GPa			
Geometria priezru				
h ₁ =	125 mm			
h ₂ =	125 mm			
h ₃ =	100 mm			
h ₄ =	100 mm			
h=	450 mm			
	0,45			
Geometria mäkkej výstuže				
c _{nom} =	50 mm			
d _{ss} =	10 mm			
d _s =	10 mm			
Geometria predpínacej výstuže				
A _{ik} /mm ² /	n _k	A _{ki} /mm ² /	a _{ki} /mm/	d _{ki} /mm/
150	8	1200	70	380
0	0	0	0	0
0	0	0	0	0
0	0	0	0	0
0	0	0	0	0
0	0	0	0	0
0	0	0	0	0
0	0	0	0	0
0	0	0	0	0
A _{p,celk}		1200 mm ²		
M_{Rdp}		0,923	MN.m	

VYHOUVUJE

12. POSÚDENIE SPODNEJ STAVBY – PILÓTY

12.1 Reakcie v drieku piliera

Podpera	Node	Load	FX (kN)	FY (kN)	FZ (kN)	MX (kN*m)	MY (kN*m)	MZ (kN*m)
3	5639	97(max)	0,0	1284,4	26045,7	14878,3	0,0	0,0
	5639	97(min)	-172,5	-983,9	12648,3	-25166,9	-862,5	0,0
	5639	CHA_en(max)	0,0	688,9	18959,2	8382,9	0,0	0,0
	5639	CHA_en(min)	-69,0	-489,3	12964,9	-17429,9	-345,0	0,0
5	6950	97(max)	0,0	974,7	27548,4	17129,3	0,0	0,0
	6950	97(min)	-177,7	-1078,3	13246,4	-22794,1	-915,0	0,0
	6950	CHA_en(max)	0,0	434,4	20075,6	10610,2	0,0	0,0
	6950	CHA_en(min)	-71,1	-528,7	13628,0	-15647,2	-366,0	0,0
7	8334	97(max)	2393,5	1023,5	27820,4	17164,3	25850,0	287,2
	8334	97(min)	-3047,4	-1033,6	13264,0	-23698,2	-31906,1	-320,8
	8334	CHA_en(max)	1610,2	472,5	20275,6	10503,7	17390,2	193,1
	8334	CHA_en(min)	-1888,4	-479,7	13675,3	-16291,7	-20395,1	-217,9
9	9887	97(max)	2810,1	1040,1	27642,2	17394,7	28944,1	314,0
	9887	97(min)	-3427,6	-1030,1	13081,0	-23235,4	-34389,5	-321,7
	9887	CHA_en(max)	1888,4	481,1	20141,8	10754,3	19450,9	212,1
	9887	CHA_en(min)	-1610,2	-475,0	13499,9	-15956,1	-16585,1	-217,6
11	11371	97(max)	0,0	983,3	27152,4	16999,6	0,0	0,0
	11371	97(min)	-174,2	-994,8	12717,1	-22367,5	-879,8	0,0
	11371	CHA_en(max)	0,0	465,2	19778,4	10566,0	0,0	0,0
	11371	CHA_en(min)	-69,7	-466,4	13135,8	-15353,5	-351,9	0,0
13	12682	97(max)	0,0	1262,5	27066,2	18667,1	0,0	0,0
	12682	97(min)	-174,2	-1199,5	12735,0	-24814,3	-879,8	0,0
	12682	CHA_en(max)	0,0	614,7	19717,5	11555,8	0,0	0,0
	12682	CHA_en(min)	-69,7	-577,0	13140,9	-17032,5	-351,9	0,0
15	13993	97(max)	0,0	986,7	29920,2	19078,0	0,0	0,0
	13993	97(min)	-332,9	-1046,8	15027,5	-24851,7	-3212,7	0,0
	13993	CHA_en(max)	0,0	514,3	21831,5	11378,5	0,0	0,0
	13993	CHA_en(min)	-133,2	-548,4	15413,8	-15516,8	-1285,1	0,0
17	15823	97(max)	0,0	1047,7	27101,0	16568,8	0,0	0,0
	15823	97(min)	-255,3	-1026,0	13491,9	-22524,9	-1889,2	0,0
	15823	CHA_en(max)	0,0	539,8	19736,5	10324,1	0,0	0,0
	15823	CHA_en(min)	-102,1	-512,6	13794,2	-14820,1	-755,7	0,0

Podpera	Node	Load	FX (kN)	FY (kN)	FZ (kN)	MX (kN*m)	MY (kN*m)	MZ (kN*m)
4	6285	97(max)	0,0	379,0	28993,7	21087,7	0,0	0,0
	6285	97(min)	-103,5	-816,4	14946,9	-22671,5	-517,5	0,0
	6285	CHA_en(max)	0,0	259,0	21060,6	13674,3	0,0	0,0
	6285	CHA_en(min)	-69,0	-547,0	15103,7	-11648,0	-345,0	0,0
6	7596	97(max)	0,0	398,2	29263,7	23362,9	0,0	0,0
	7596	97(min)	-127,3	-941,2	14743,4	-23371,4	-782,9	0,0
	7596	CHA_en(max)	0,0	271,7	21270,6	15236,3	0,0	0,0
	7596	CHA_en(min)	-84,9	-634,3	15007,3	-11717,6	-522,0	0,0
8	9012	97(max)	0,0	450,0	29850,5	22768,4	0,0	0,0
	9012	97(min)	-148,0	-939,4	15032,9	-22000,3	-1058,2	0,0
	9012	CHA_en(max)	0,0	306,3	21697,1	14847,1	0,0	0,0
	9012	CHA_en(min)	-98,7	-613,5	15297,9	-10954,2	-705,5	0,0
10	10564	97(max)	913,0	430,4	30452,2	23801,0	13512,5	268,8
	10564	97(min)	-3214,3	-918,5	15431,7	-22652,0	-46438,4	-271,0
	10564	CHA_en(max)	611,0	294,0	22141,1	15518,9	9043,2	184,3
	10564	CHA_en(min)	-2028,1	-618,9	15701,2	-11314,0	-29259,7	-185,8
12	12253	97(max)	1155,2	330,6	29219,9	21148,7	15941,8	288,9
	12253	97(min)	-3605,9	-858,9	14512,9	-19595,1	-48775,4	-295,7
	12253	CHA_en(max)	772,6	226,1	21231,1	13808,6	10661,3	198,0
	12253	CHA_en(min)	-2134,0	-578,0	14795,1	-9907,9	-28792,8	-202,7
14	13856	97(max)	0,0	284,0	28070,1	19371,8	0,0	0,0
	13856	97(min)	-122,1	-783,5	13681,6	-18440,2	-720,6	0,0
	13856	CHA_en(max)	0,0	193,5	20379,5	12653,7	0,0	0,0
	13856	CHA_en(min)	-81,4	-527,8	13958,7	-9540,0	-480,4	0,0
16	15251	97(max)	0,0	397,3	27908,9	21743,1	0,0	0,0
	15251	97(min)	-117,0	-992,8	13645,6	-20457,4	-660,8	0,0
	15251	CHA_en(max)	0,0	236,7	20261,2	14143,5	0,0	0,0
	15251	CHA_en(min)	-78,0	-663,9	13904,7	-10640,1	-440,5	0,0
18	16625	97(max)	0,0	432,8	31258,3	18365,0	0,0	0,0
	16625	97(min)	-230,8	-878,9	16325,4	-13438,6	-2573,5	0,0
	16625	CHA_en(max)	0,0	290,4	22749,1	12040,3	0,0	0,0
	16625	CHA_en(min)	-153,9	-537,7	16568,6	-7193,6	-1715,7	0,0
20	18509	97(max)	0,0	439,0	27791,9	19392,4	0,0	0,0
	18509	97(min)	-158,4	-899,8	14222,9	-16679,5	-1211,4	0,0
	18509	CHA_en(max)	0,0	299,2	20182,2	12606,8	0,0	0,0
	18509	CHA_en(min)	-105,6	-604,9	14387,4	-8973,6	-807,6	0,0

97(max)
 97(min)
 CHA_en(max)
 CHA_en(min)

 Obálka maximálnych kombinácií zatažení vytvorených v zmysle STN EN 1997
 Obálka minimálnych kombinácií zatažení vytvorených v zmysle STN EN 1997
 Obálka maximálnych charakteristických kombinácií zatažení
 Obálka minimálnych charakteristických kombinácií zatažení

 X
 Y
 Z

 pozdižna os mosta
 priečna os mosta
 zvislá os

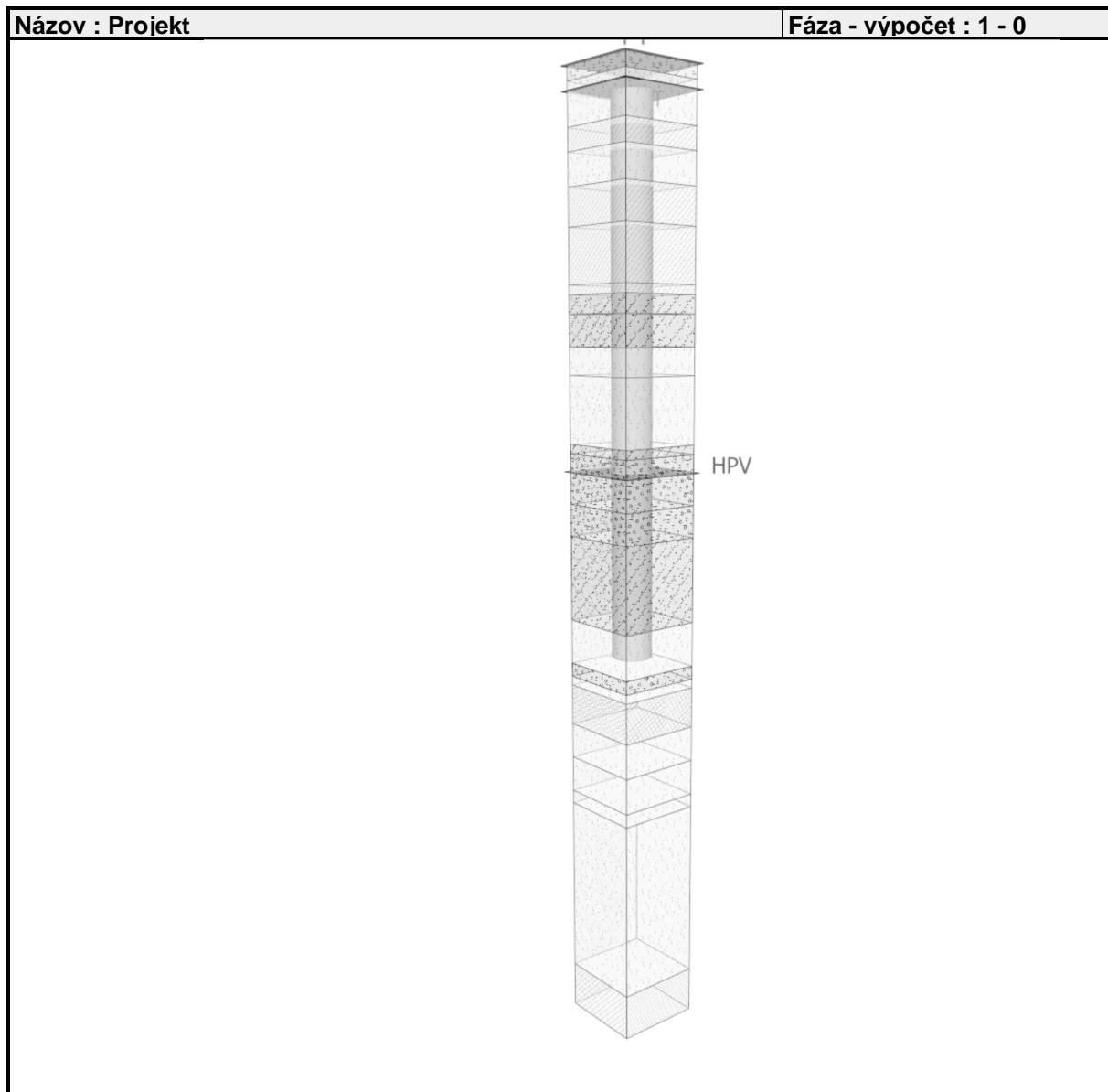
Podpora 1-2 4 3-6 5-8 7-10 9-12 11-14 13-16 15-18 17-20												Výsuvanie - obálka troch stielov															
Eтапа 01-2-pole			Eтапа 02-3pole			Eтапа 03-4pole			Eтапа 04-5pole			Eтапа 05-6pole			Eтапа 06-7pole			Eтапа 07-8pole			Eтапа 08-9pole						
podpora	d/Еká	Rz	V	M	Rz	V	M	Rz	V	M	Rz	V	M	Rz	V	M	Rz	V	M	Rz	V	M	Rz	V	M		
2	4	15	2274	32	15	2810	35	135	2561	2669	2567	2568	2567	2567	2567	2567	2567	2567	2567	2567	2567	2567	2567	2567	2567		
Betonáz	6	15	1593	32	105	3451	50	180	3827	3791	3799	3799	3799	3799	3799	3799	3799	3799	3799	3799	3799	3799	3799	3799	3799		
	8	12	1654	34	87	3463	87	1432	24	67	2861	3005	3005	3005	3005	3005	3005	3005	3005	3005	3005	3005	3005	3005	3005		
	10	13	10	12	10	10	10	10	1383	25	62	2712	3118	3118	3118	3118	3118	3118	3118	3118	3118	3118	3118	3118	3118	3118	
	12	13	14	13	14	13	15	15	1383	33	102	3480	1849	1849	1849	1849	1849	1849	1849	1849	1849	1849	1849	1849	1849	1849	
	16	18	18	18	18	18	18	18	1383	35	104	1662	1662	1662	1662	1662	1662	1662	1662	1662	1662	1662	1662	1662	1662	1662	
	20	13	22	22	22	22	22	22	22	22	22	22	22	22	22	22	22	22	22	22	22	22	22	22	22	22	22
Výstavba																											
MSU 1997																											

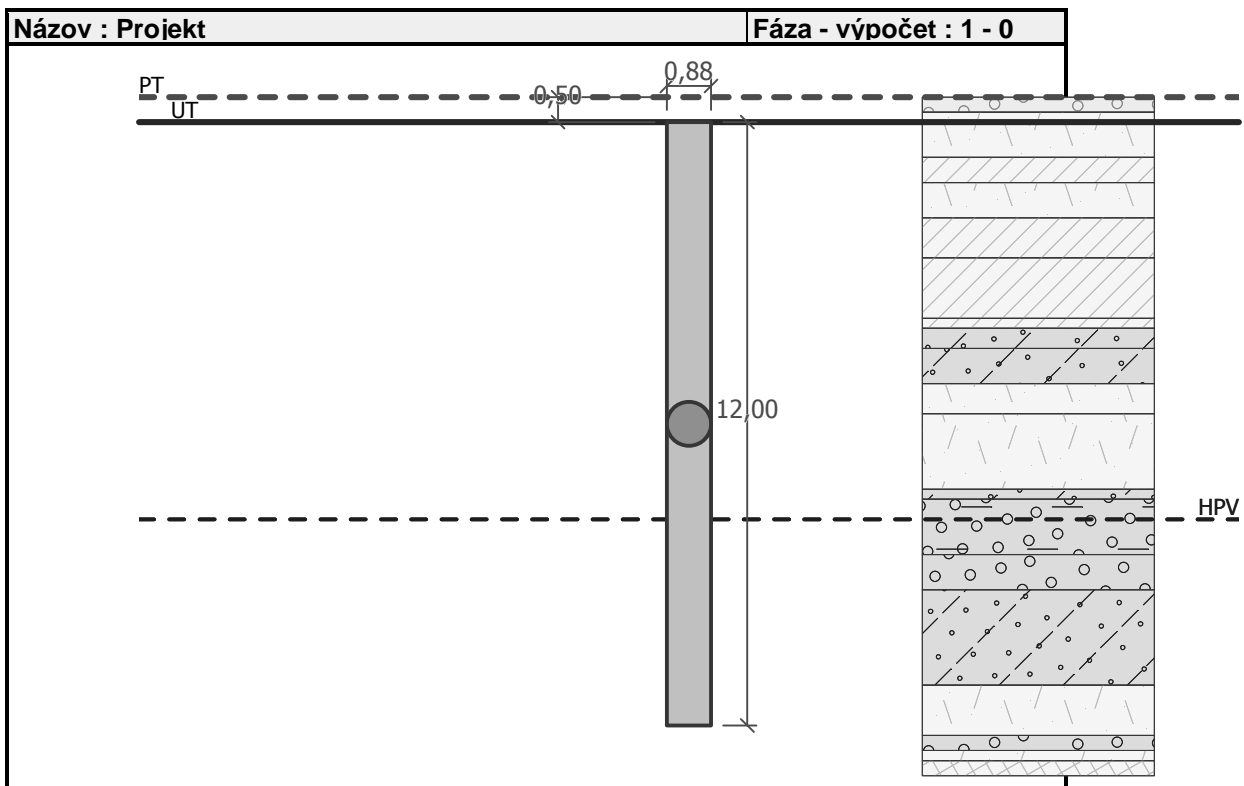
12.2 Posúdenie pilót

Vstupné údaje

Projekt

Akcia : Diaľnica D3 Čadca, Bukov - Svrčinovec
Časť : Most SO 209-00 - Pravý most
Popis : Podpera P10 (Vrt V14)
Vypracoval : Amberg Engineering Slovakia, s.r.o.
Dátum : 5.10.2017





Nastavenie

Standardní - EN 1997 - DA2 (2)

Materiály a normy

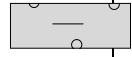
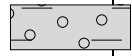
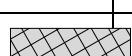
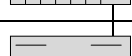
Betónové konštrukcie :	EN 1992-1-1 (EC2)
Súčinitele EN 1992-1-1 :	štandardný
Oceľové konštrukcie :	EN 1993-1-1 (EC3)
Dielčí súčineteľ únosnosti oceľového prierezu :	$\gamma_{M0} = 1,00$
Dřevěné konstrukce :	EN 1995-1-1 (EC5)
Dílčí součinitel vlastností dřeva :	$\gamma_M = 1,30$
Součinitel vlivu zatížení a vlhkosti (dřevo) :	$k_{mod} = 0,50$
Součinitel šířky průřezu ve smyku (dřevo) :	$k_{cr} = 0,67$

Pilóty

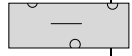
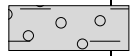
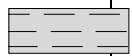
Súčinitele redukcie zaťaženia (F)			
Trvalá návrhová situácia			
		Nepriaznivé	Priaznivé
Stále zaťaženie :	$\gamma_G =$	1,35 [-]	1,00 [-]
Súčinitele redukcie odporu (R)			
Trvalá návrhová situácia			
Súčinitel redukcie odporu na plášti :	$\gamma_s =$	1,10 [-]	
Súčinitel redukcie odporu na päte :	$\gamma_b =$	1,10 [-]	
Súčinitel redukcie únosnosti ťaženej pilóty :	$\gamma_{st} =$	1,15 [-]	

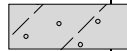
Základné parametre zemín

Číslo	Názov	Vzorka	Φ_{ef} [°]	C_{ef} [kPa]	γ [kN/m³]	v [-]
1	F2/CG, delúviálny íl		19,00	0,00	20,30	0,35
2	F4/CS, deluvialny íl		19,00	0,00	20,30	0,35

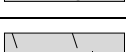
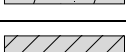
Číslo	Názov	Vzorka	Φ_{ef} [°]	c_{ef} [kPa]	γ [kN/m³]	v [-]
3	F2/CG, deluviaľna suť		27,00	5,00	20,00	0,35
4	G5/GC, deluviaľna suť		27,00	5,00	20,00	0,30
5	R6 - F4/CS Paleogén		21,00	16,00	21,30	0,35
6	R6 - F6/CI Paleogén		21,00	16,00	21,30	0,35
7	R6 - F8/CH Paleogén		21,00	16,00	21,30	0,35
8	Ílovce R5		21,00	16,00	23,70	0,35
9	R6 - S4/SM Paleogén		28,00	5,00	20,80	0,30
10	R6 - G5/GC Paleogén		28,00	5,00	20,80	0,30
11	Pieskovec R6-R5		30,00	10,00	22,70	0,30
12	Pieskovec R4-R3		30,00	20,00	25,00	0,30
13	Pieskovec R3-R1		35,00	60,00	25,80	0,30
14	Násyp		32,50	0,00	19,00	0,25
15	Humus		19,00	0,00	18,50	0,35
16	F6/CI, deluviaľny íl		17,00	0,00	20,50	0,40

Pre výpočet tlaku v kľúde sú všetky zeminy zadané ako nesúdržné.

Číslo	Názov	Vzorka	E_{oed} [MPa]	E_{def} [MPa]	γ_{sat} [kN/m³]	γ_s [kN/m³]	n [-]
1	F2/CG, deluviaľny íl		-	7,00	20,30	-	-
2	F4/CS, deluviaľny íl		-	7,00	20,30	-	-
3	F2/CG, deluviaľna suť		-	12,00	20,00	-	-
4	G5/GC, deluviaľna suť		-	25,00	20,00	-	-
5	R6 - F4/CS Paleogén		-	27,00	21,30	-	-
6	R6 - F6/CI Paleogén		-	19,00	21,30	-	-
7	R6 - F8/CH Paleogén		-	11,50	21,30	-	-

Číslo	Názov	Vzorka	E _{oed} [MPa]	E _{def} [MPa]	γ _{sat} [kN/m ³]	γ _s [kN/m ³]	n [-]
8	Ílovce R5		-	52,30	23,70	-	-
9	R6 - S4/SM Paleogén		-	12,00	20,80	-	-
10	R6 - G5/GC Paleogén		-	22,00	20,80	-	-
11	Pieskovec R6-R5		-	62,60	22,70	-	-
12	Pieskovec R4-R3		-	250,00	25,00	-	-
13	Pieskovec R3-R1		-	600,00	25,80	-	-
14	Násyp		-	85,00	19,00	-	-
15	Humus		-	2,00	18,50	-	-
16	F6/CI, deluviálny íl		-	4,00	20,50	-	-

Parametre zemín pre výpočet modulu reakcie podložia

Číslo	Názov	Vzorka	β
1	F2/CG, deluviálny íl		5,00
2	F4/CS, deluviálny íl		5,00
3	F2/CG, deluviálna suť		7,00
4	G5/GC, deluviálna suť		7,00
5	R6 - F4/CS Paleogén		6,00
6	R6 - F6/CI Paleogén		6,00
7	R6 - F8/CH Paleogén		6,00
8	Ílovce R5		11,00
9	R6 - S4/SM Paleogén		9,50
10	R6 - G5/GC Paleogén		9,50
11	Pieskovec R6-R5		15,00
12	Pieskovec R4-R3		20,00

Číslo	Názov	Vzorka	β
13	Pieskovec R3-R1		35,00
14	Násyp		10,00
15	Humus		5,00
16	F6/Cl, deluviálny íl		4,50

Parametre zemín
F2/G, deluviálny íl

Objemová tiaž : $\gamma = 20,30 \text{ kN/m}^3$
Uhol vnútorného trenia : $\varphi_{ef} = 19,00^\circ$
Súdržnosť zeminy : $c_{ef} = 0,00 \text{ kPa}$
Poissonovo číslo : $\nu = 0,35$
Modul pretvárnosti : $E_{def} = 7,00 \text{ MPa}$
Obj. tiaž sat.zeminy : $\gamma_{sat} = 20,30 \text{ kN/m}^3$
Uhol roznosu : $\beta = 5,00^\circ$

F4/CS, deluviálny íl

Objemová tiaž : $\gamma = 20,30 \text{ kN/m}^3$
Uhol vnútorného trenia : $\varphi_{ef} = 19,00^\circ$
Súdržnosť zeminy : $c_{ef} = 0,00 \text{ kPa}$
Poissonovo číslo : $\nu = 0,35$
Modul pretvárnosti : $E_{def} = 7,00 \text{ MPa}$
Obj. tiaž sat.zeminy : $\gamma_{sat} = 20,30 \text{ kN/m}^3$
Uhol roznosu : $\beta = 5,00^\circ$

F2/G, deluviálna sut'

Objemová tiaž : $\gamma = 20,00 \text{ kN/m}^3$
Uhol vnútorného trenia : $\varphi_{ef} = 27,00^\circ$
Súdržnosť zeminy : $c_{ef} = 5,00 \text{ kPa}$
Poissonovo číslo : $\nu = 0,35$
Modul pretvárnosti : $E_{def} = 12,00 \text{ MPa}$
Obj. tiaž sat.zeminy : $\gamma_{sat} = 20,00 \text{ kN/m}^3$
Uhol roznosu : $\beta = 7,00^\circ$

G5/GC, deluviálna sut'

Objemová tiaž : $\gamma = 20,00 \text{ kN/m}^3$
Uhol vnútorného trenia : $\varphi_{ef} = 27,00^\circ$
Súdržnosť zeminy : $c_{ef} = 5,00 \text{ kPa}$
Poissonovo číslo : $\nu = 0,30$
Modul pretvárnosti : $E_{def} = 25,00 \text{ MPa}$
Obj. tiaž sat.zeminy : $\gamma_{sat} = 20,00 \text{ kN/m}^3$
Uhol roznosu : $\beta = 7,00^\circ$

R6 - F4/CS Paleogén

Objemová tiaž : $\gamma = 21,30 \text{ kN/m}^3$
Uhol vnútorného trenia : $\varphi_{ef} = 21,00^\circ$
Súdržnosť zeminy : $c_{ef} = 16,00 \text{ kPa}$
Poissonovo číslo : $\nu = 0,35$
Modul pretvárnosti : $E_{def} = 27,00 \text{ MPa}$

Obj. tiaž sat.zeminy : γ_{sat} = 21,30 kN/m³
Uhôl roznosu : β = 6,00 °

R6 - F6/CI Paleogén

Objemová tiaž : γ = 21,30 kN/m³
Uhôl vnútorného trenia : φ_{ef} = 21,00 °
Súdržnosť zeminy : c_{ef} = 16,00 kPa
Poissonovo číslo : ν = 0,35
Modul pretvárnosti : E_{def} = 19,00 MPa
Obj. tiaž sat.zeminy : γ_{sat} = 21,30 kN/m³
Uhôl roznosu : β = 6,00 °

R6 - F8/CH Paleogén

Objemová tiaž : γ = 21,30 kN/m³
Uhôl vnútorného trenia : φ_{ef} = 21,00 °
Súdržnosť zeminy : c_{ef} = 16,00 kPa
Poissonovo číslo : ν = 0,35
Modul pretvárnosti : E_{def} = 11,50 MPa
Obj. tiaž sat.zeminy : γ_{sat} = 21,30 kN/m³
Uhôl roznosu : β = 6,00 °

Ílovce R5

Objemová tiaž : γ = 23,70 kN/m³
Uhôl vnútorného trenia : φ_{ef} = 21,00 °
Súdržnosť zeminy : c_{ef} = 16,00 kPa
Poissonovo číslo : ν = 0,35
Modul pretvárnosti : E_{def} = 52,30 MPa
Obj. tiaž sat.zeminy : γ_{sat} = 23,70 kN/m³
Uhôl roznosu : β = 11,00 °

R6 - S4/SM Paleogén

Objemová tiaž : γ = 20,80 kN/m³
Uhôl vnútorného trenia : φ_{ef} = 28,00 °
Súdržnosť zeminy : c_{ef} = 5,00 kPa
Poissonovo číslo : ν = 0,30
Modul pretvárnosti : E_{def} = 12,00 MPa
Obj. tiaž sat.zeminy : γ_{sat} = 20,80 kN/m³
Uhôl roznosu : β = 9,50 °

R6 - G5/GC Paleogén

Objemová tiaž : γ = 20,80 kN/m³
Uhôl vnútorného trenia : φ_{ef} = 28,00 °
Súdržnosť zeminy : c_{ef} = 5,00 kPa
Poissonovo číslo : ν = 0,30
Modul pretvárnosti : E_{def} = 22,00 MPa
Obj. tiaž sat.zeminy : γ_{sat} = 20,80 kN/m³
Uhôl roznosu : β = 9,50 °

Pieskovec R6-R5

Objemová tiaž : γ = 22,70 kN/m³
Uhôl vnútorného trenia : φ_{ef} = 30,00 °
Súdržnosť zeminy : c_{ef} = 10,00 kPa
Poissonovo číslo : ν = 0,30
Modul pretvárnosti : E_{def} = 62,60 MPa
Obj. tiaž sat.zeminy : γ_{sat} = 22,70 kN/m³
Uhôl roznosu : β = 15,00 °

Pieskovec R4-R3

Objemová tiaž :	γ	=	25,00 kN/m ³
Uhôl vnútorného trenia :	ϕ_{ef}	=	30,00 °
Súdržnosť zeminy :	c_{ef}	=	20,00 kPa
Poissonovo číslo :	ν	=	0,30
Modul pretvárnosti :	E_{def}	=	250,00 MPa
Obj. tiaž sat.zeminy :	γ_{sat}	=	25,00 kN/m ³
Uhôl roznosu :	β	=	20,00 °

Pieskovec R3-R1

Objemová tiaž :	γ	=	25,80 kN/m ³
Uhôl vnútorného trenia :	ϕ_{ef}	=	35,00 °
Súdržnosť zeminy :	c_{ef}	=	60,00 kPa
Poissonovo číslo :	ν	=	0,30
Modul pretvárnosti :	E_{def}	=	600,00 MPa
Obj. tiaž sat.zeminy :	γ_{sat}	=	25,80 kN/m ³
Uhôl roznosu :	β	=	35,00 °

Násyp

Objemová tiaž :	γ	=	19,00 kN/m ³
Uhôl vnútorného trenia :	ϕ_{ef}	=	32,50 °
Súdržnosť zeminy :	c_{ef}	=	0,00 kPa
Poissonovo číslo :	ν	=	0,25
Modul pretvárnosti :	E_{def}	=	85,00 MPa
Obj. tiaž sat.zeminy :	γ_{sat}	=	19,00 kN/m ³
Uhôl roznosu :	β	=	10,00 °

Humus

Objemová tiaž :	γ	=	18,50 kN/m ³
Uhôl vnútorného trenia :	ϕ_{ef}	=	19,00 °
Súdržnosť zeminy :	c_{ef}	=	0,00 kPa
Poissonovo číslo :	ν	=	0,35
Modul pretvárnosti :	E_{def}	=	2,00 MPa
Obj. tiaž sat.zeminy :	γ_{sat}	=	18,50 kN/m ³
Uhôl roznosu :	β	=	5,00 °

F6/Cl, deluviálny íl

Objemová tiaž :	γ	=	20,50 kN/m ³
Uhôl vnútorného trenia :	ϕ_{ef}	=	17,00 °
Súdržnosť zeminy :	c_{ef}	=	0,00 kPa
Poissonovo číslo :	ν	=	0,40
Modul pretvárnosti :	E_{def}	=	4,00 MPa
Obj. tiaž sat.zeminy :	γ_{sat}	=	20,50 kN/m ³
Uhôl roznosu :	β	=	4,50 °

Geometria

Profil pilóty: kruhová

Rozmery

Priemer $d = 0,88$ m
Dĺžka $l = 12,00$ m

Spočítané prierezové charakteristiky

Plocha $A = 6,08E-01$ m²
Moment zotrvačnosti $I = 2,94E-02$ m⁴

Umiestnenie

Vysadenie $h = 0,00$ m
 Hĺbka upraveného terénu $h_z = 0,50$ m

Technológia

Pilóty s ťažbou zeminy z vrtu

Typ pilóty: vŕtané pažené oceľovými výpažnicami

Redukcia odporu na päte = 0,50

Redukcia odporu na plášti = 0,50

Modul reakcie podložia uvažovaný ako konštantný.

Materiál konštrukcie

Objemová tiaž $\gamma = 23,00$ kN/m³

Výpočet betónových konštrukcií vykonaný podľa normy EN 1992-1-1 (EC2).

Betón : C 20/25

Valcová pevnosť v tlaku $f_{ck} = 20,00$ MPa

Pevnosť v ľahu $f_{ctm} = 2,20$ MPa

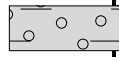
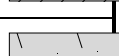
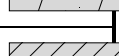
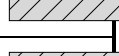
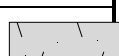
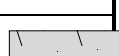
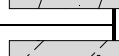
Modul pružnosti $E_{cm} = 30000,00$ MPa

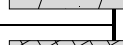
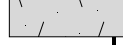
Modul pružnosti v šmyku $G = 12500,00$ MPa

Oceľ pozdĺžna : B500

Medza sklu $f_{yk} = 500,00$ MPa

Geologický profil a priradenie zemín

Číslo	Vrstva [m]	Priradená zemina	Vzorka
1	0,30	G5/GC, deluviálna suť	
2	0,90	Pieskovec R6-R5	
3	0,50	Pieskovec R4-R3	
4	0,70	Pieskovec R6-R5	
5	0,80	Pieskovec R4-R3	
6	1,20	Pieskovec R4-R3	
7	0,20	Pieskovec R4-R3	
8	0,40	R6 - S4/SM Paleogén	
9	0,70	R6 - S4/SM Paleogén	
10	0,60	Pieskovec R6-R5	
11	1,50	Pieskovec R6-R5	
12	0,20	R6 - S4/SM Paleogén	
13	1,10	R6 - G5/GC Paleogén	
14	0,70	R6 - G5/GC Paleogén	

Číslo	Vrstva [m]	Priradená zemina	Vzorka
15	1,90	R6 - S4/SM Paleogén	
16	1,00	Pieskovec R6-R5	
17	0,30	R6 - G5/GC Paleogén	
18	0,20	Pieskovec R6-R5	
19	0,90	Pieskovec R3-R1	
20	0,80	Pieskovec R6-R5	
21	0,80	Pieskovec R6-R5	
22	0,30	Pieskovec R6-R5	
23	4,00	Pieskovec R6-R5	
24	-	Pieskovec R4-R3	

Zaťaženie

Číslo	Zaťaženie nové zmena	Názov	Typ	N [kN]	M _x [kNm]	M _y [kNm]	H _x [kN]	H _y [kN]
1	Áno	Zatížení č. 1	Návrhové	3230,00	500,00	0,00	250,00	0,00
2	Áno	Zatížení č. 1 - provozní	Úžitkové	2242,00	480,00	0,00	230,00	0,00

Hladina podzemnej vody

Hladina podzemnej vody je v hĺbke 8,40 m od pôvodného terénu.

Celkové nastavenie výpočtu

Výpočet zvislej únosnosti : pružinová metóda

Typ výpočtu : výpočet pre odvodnené podmienky

Nastavenie výpočtu fázy

Návrhová situácia : trvalá

Metodika posúdenia : bez redukcie vstupných dát

Posúdenie čís. 1

Vstupné dátá

Maximálne deformácie 25,0 mm

Koef. zväčšenia medzného plášť. trenia vplyvom technológie 2

Hĺbka deformačnej zóny je dopočítaná.

Zaťažovacia krivka

Číslo	Zaťaženie [kN]	Sadnutie [mm]
1	0,00	0,0

Číslo	Zaťaženie [kN]	Sadnutie [mm]
2	684,98	2,0
3	1025,27	3,4
4	1090,32	3,8
5	1685,24	9,2
6	2861,79	23,9
7	2950,52	25,0

Pre zaťaženie $Q = 2242,00 \text{ kN}$ je sadnutie pilóty 15,8 mm, hĺbka deformačnej zóny pod päťou je 0,79 m ($0,903 \times D$)

Výpočet pre zaťaženie $F = 684,98 \text{ kN}$

x [m]	Norm. sila [kN]	Rel. norm. [-]	Šmyk [kN]	Rel. šmyk [-]
0,00	684,98	1,00	0,00	0,00
1,20	598,77	0,87	86,21	0,13
2,40	512,75	0,75	172,23	0,25
3,60	356,32	0,52	328,66	0,48
4,80	289,46	0,42	395,52	0,58
6,00	259,97	0,38	425,01	0,62
7,20	221,03	0,32	463,95	0,68
8,40	205,47	0,30	479,51	0,70
9,60	193,05	0,28	491,93	0,72
10,80	185,61	0,27	499,37	0,73
12,00	156,14	0,23	528,83	0,77

Výpočet pre zaťaženie $F = 1025,27 \text{ kN}$

x [m]	Norm. sila [kN]	Rel. norm. [-]	Šmyk [kN]	Rel. šmyk [-]
0,00	1025,27	1,00	0,00	0,00
1,20	939,06	0,92	86,21	0,08
2,40	789,23	0,77	236,04	0,23
3,60	516,92	0,50	508,35	0,50
4,80	400,50	0,39	624,77	0,61
6,00	349,17	0,34	676,09	0,66
7,20	281,41	0,27	743,86	0,73
8,40	254,34	0,25	770,93	0,75
9,60	232,74	0,23	792,53	0,77
10,80	219,80	0,21	805,47	0,79
12,00	168,54	0,16	856,73	0,84

Výpočet pre zaťaženie $F = 1090,32 \text{ kN}$

x [m]	Norm. sila [kN]	Rel. norm. [-]	Šmyk [kN]	Rel. šmyk [-]
0,00	1090,32	1,00	0,00	0,00
1,20	1004,11	0,92	86,21	0,08
2,40	836,47	0,77	253,86	0,23

x [m]	Norm. sila [kN]	Rel. norm. [-]	Šmyk [kN]	Rel. šmyk [-]
3,60	564,15	0,52	526,17	0,48
4,80	433,82	0,40	656,50	0,60
6,00	376,37	0,35	713,95	0,65
7,20	300,53	0,28	789,79	0,72
8,40	270,24	0,25	820,08	0,75
9,60	246,08	0,23	844,25	0,77
10,8 0	231,59	0,21	858,74	0,79
12,0 0	174,23	0,16	916,09	0,84

Výpočet pre zaťaženie F = 1685,24 kN

x [m]	Norm. sila [kN]	Rel. norm. [-]	Šmyk [kN]	Rel. šmyk [-]
0,00	1685,24	1,00	0,00	0,00
1,20	1599,03	0,95	86,21	0,05
2,40	1431,38	0,85	253,86	0,15
3,60	1159,07	0,69	526,17	0,31
4,80	846,87	0,50	838,37	0,50
6,00	709,16	0,42	976,08	0,58
7,20	527,44	0,31	1157,80	0,69
8,40	454,91	0,27	1230,33	0,73
9,60	397,06	0,24	1288,18	0,76
10,8 0	362,40	0,22	1322,84	0,78
12,0 0	224,96	0,13	1460,28	0,87

Výpočet pre zaťaženie F = 2861,79 kN

x [m]	Norm. sila [kN]	Rel. norm. [-]	Šmyk [kN]	Rel. šmyk [-]
0,00	2861,79	1,00	0,00	0,00
1,20	2775,58	0,97	86,21	0,03
2,40	2607,94	0,91	253,86	0,09
3,60	2335,63	0,82	526,17	0,18
4,80	2023,42	0,71	838,37	0,29
6,00	1663,49	0,58	1198,30	0,42
7,20	1188,33	0,42	1673,47	0,58
8,40	998,72	0,35	1863,08	0,65
9,60	847,54	0,30	2014,25	0,70
10,8 0	756,99	0,26	2104,80	0,74
12,0 0	397,76	0,14	2464,03	0,86

Výpočet pre zaťaženie F = 2990,18 kN

x [m]	Norm. sila [kN]	Rel. norm. [-]	Šmyk [kN]	Rel. šmyk [-]
0,00	2990,18	1,00	0,00	0,00

x [m]	Norm. sila [kN]	Rel. norm. [-]	Šmyk [kN]	Rel. šmyk [-]
1,20	2903,97	0,97	86,21	0,03
2,40	2736,33	0,92	253,86	0,08
3,60	2464,01	0,82	526,17	0,18
4,80	2151,81	0,72	838,37	0,28
6,00	1768,34	0,59	1221,84	0,41
7,20	1293,17	0,43	1697,01	0,57
8,40	1091,05	0,36	1899,13	0,64
9,60	929,91	0,31	2060,28	0,69
10,8 0	833,43	0,28	2156,75	0,72
12,0 0	450,56	0,15	2539,62	0,85

Výpočet pre zaťaženie F = 3876,01 kN

x [m]	Norm. sila [kN]	Rel. norm. [-]	Šmyk [kN]	Rel. šmyk [-]
0,00	3876,01	1,00	0,00	0,00
1,20	3789,80	0,98	86,21	0,02
2,40	3622,15	0,93	253,86	0,07
3,60	3349,84	0,86	526,17	0,14
4,80	3037,64	0,78	838,37	0,22
6,00	2654,16	0,68	1221,84	0,32
7,20	2179,00	0,56	1697,01	0,44
8,40	1837,24	0,47	2038,77	0,53
9,60	1564,83	0,40	2311,17	0,60
10,8 0	1401,71	0,36	2474,30	0,64
12,0 0	754,37	0,19	3121,64	0,81

Výpočet pre zaťaženie F = 4490,84 kN

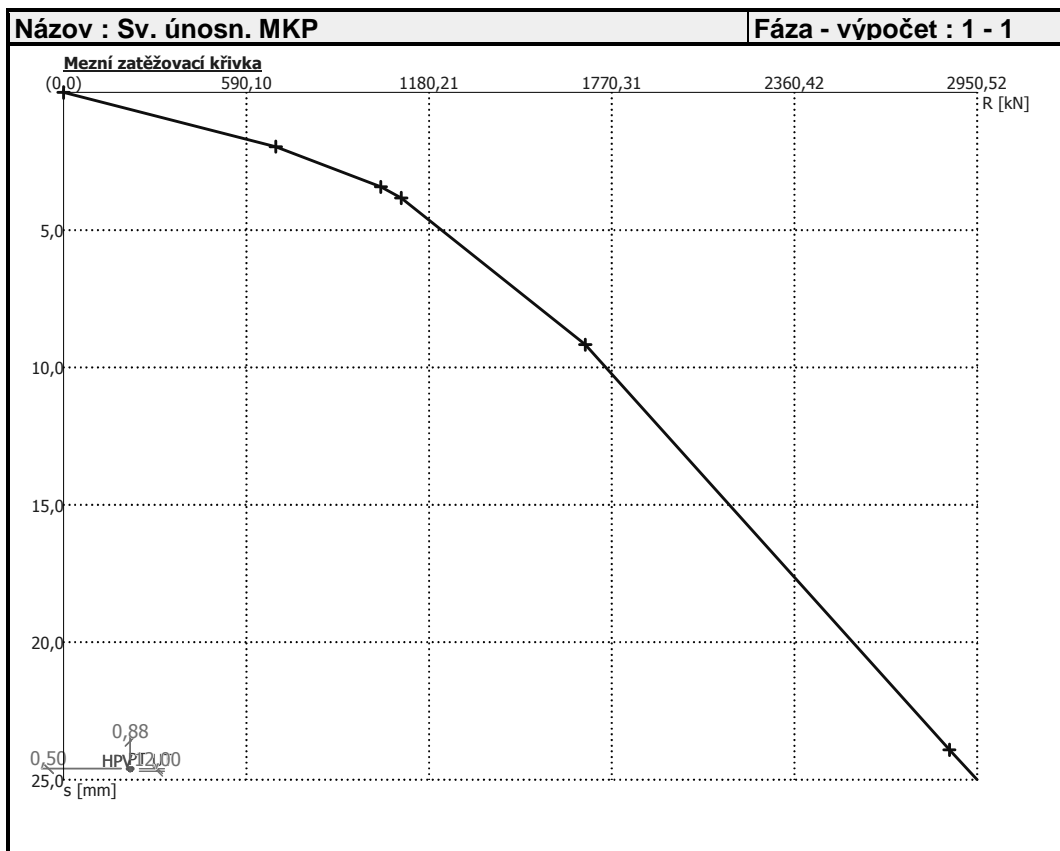
x [m]	Norm. sila [kN]	Rel. norm. [-]	Šmyk [kN]	Rel. šmyk [-]
0,00	4490,84	1,00	0,00	0,00
1,20	4404,63	0,98	86,21	0,02
2,40	4236,98	0,94	253,86	0,06
3,60	3964,67	0,88	526,17	0,12
4,80	3652,46	0,81	838,37	0,19
6,00	3268,99	0,73	1221,84	0,27
7,20	2793,83	0,62	1697,01	0,38
8,40	2297,44	0,51	2193,40	0,49
9,60	1901,48	0,42	2589,36	0,58
10,8 0	1664,34	0,37	2826,50	0,63
12,0 0	1017,00	0,23	3473,84	0,77

Výpočet pre zaťaženie F = 5025,65 kN

x [m]	Norm. sila [kN]	Rel. norm. [-]	Šmyk [kN]	Rel. šmyk [-]
0,00	5025,65	1,00	0,00	0,00
1,20	4939,44	0,98	86,21	0,02
2,40	4771,80	0,95	253,86	0,05
3,60	4499,48	0,90	526,17	0,10
4,80	4187,28	0,83	838,37	0,17
6,00	3803,81	0,76	1221,84	0,24
7,20	3328,64	0,66	1697,01	0,34
8,40	2832,25	0,56	2193,40	0,44
9,60	2301,49	0,46	2724,17	0,54
10,8 0	1983,63	0,39	3042,03	0,61
12,0 0	1336,29	0,27	3689,37	0,73

Výpočet pre zaťaženie F = 5807,63 kN

x [m]	Norm. sila [kN]	Rel. norm. [-]	Šmyk [kN]	Rel. šmyk [-]
0,00	5807,63	1,00	0,00	0,00
1,20	5721,42	0,99	86,21	0,01
2,40	5553,77	0,96	253,86	0,04
3,60	5281,46	0,91	526,17	0,09
4,80	4969,26	0,86	838,37	0,14
6,00	4585,78	0,79	1221,84	0,21
7,20	4110,62	0,71	1697,01	0,29
8,40	3614,23	0,62	2193,40	0,38
9,60	3083,46	0,53	2724,17	0,47
10,8 0	2518,40	0,43	3289,23	0,57
12,0 0	1871,06	0,32	3936,56	0,68



Posúdenie čís. 1

Vstupné dátá pre výpočet vodorovnej únosnosti pilóty

Pilota je votknutá do horniny (posun päty je nulový).

Výpočet vykonaný s automatickým výberom najnepriaznivejších zaťažovacích stavov.
 Vodorovná únosnosť posúdená v smere maximálneho účinku zaťaženia.

Priebeh vnútorných síl a deformácie pilóty

Priebeh deformácií a vnútorných síl po pilóte - maximálne hodnoty:

Vzdial. [m]	Modul k [MN/m ³]	Deformácia [mm]	Pootoč. [mRad]	Napätie [kPa]	Pos.sila [kN]	Moment [kNm]
0.00	0.00	2.26	1.46	157.02	250.00	500.00
0.60	69.47	1.69	1.12	192.68	177.56	481.90
0.70	69.47	1.61	1.07	182.89	168.94	472.42
0.70	246.62	1.61	1.07	182.89	168.94	472.42
1.20	246.62	1.18	0.81	133.91	125.84	425.05
1.20	69.47	1.18	0.81	133.91	125.84	425.05
1.80	69.47	0.74	0.66	84.06	138.75	344.94
1.90	69.47	0.68	0.63	83.18	139.02	330.79
1.90	246.62	0.68	0.63	83.18	139.02	330.79
2.40	246.62	0.39	0.51	78.76	140.38	260.09
2.70	246.62	0.33	0.44	55.13	128.02	226.42
2.70	246.62	0.33	0.44	55.13	128.02	226.42
3.00	246.62	0.26	0.37	31.49	115.67	192.76
3.60	246.62	0.35	0.25	10.50	75.45	156.90
3.90	246.62	0.36	0.20	11.65	63.44	140.02
3.90	246.62	0.36	0.20	11.65	63.44	140.02
4.10	246.62	0.37	0.17	12.41	55.44	128.76

Vzdial. [m]	Modul k [MN/m ³]	Deformácia [mm]	Pootoč. [mRad]	Napätie [kPa]	Pos.sila [kN]	Moment [kNm]
4.10	15.33	0.37	0.17	12.41	55.44	128.76
4.20	15.33	0.38	0.15	12.79	51.44	123.13
4.50	15.33	0.38	0.12	9.92	50.58	107.95
4.50	15.33	0.38	0.12	9.92	50.58	107.95
4.80	15.33	0.38	0.08	7.04	49.72	92.76
5.20	15.33	0.36	0.04	12.60	45.80	74.02
5.20	69.47	0.36	0.04	12.60	45.80	74.02
5.40	69.47	0.35	0.03	15.38	43.85	64.65
5.80	69.47	0.32	0.01	18.07	37.03	49.16
5.80	69.47	0.32	0.01	18.07	37.03	49.16
6.00	69.47	0.31	0.01	19.42	33.61	41.41
6.60	69.47	0.27	0.03	18.55	23.55	24.28
7.20	69.47	0.24	0.04	14.45	14.15	13.01
7.30	69.47	0.24	0.04	13.42	13.16	11.90
7.30	15.33	0.24	0.04	13.42	13.16	11.90
7.50	15.33	0.23	0.05	11.38	11.18	9.67
7.50	28.10	0.23	0.05	11.38	11.18	9.67
7.80	28.10	0.22	0.05	8.31	8.21	6.34
8.40	28.10	0.19	0.05	5.21	5.23	2.33
8.60	28.10	0.17	0.05	4.75	4.39	1.56
8.60	28.10	0.17	0.05	4.75	4.39	1.56
9.00	28.10	0.15	0.05	3.83	2.71	0.03
9.30	28.10	0.14	0.05	3.04	1.92	0.60
9.30	15.33	0.14	0.05	3.04	1.92	0.60
9.60	15.33	0.12	0.05	2.26	1.14	1.17
10.20	15.33	0.09	0.05	1.39	0.28	1.58
10.80	15.33	0.06	0.05	1.73	0.33	1.55
11.20	15.33	0.04	0.05	1.68	1.00	1.19
11.20	69.47	0.04	0.05	1.68	1.00	1.19
11.40	69.47	0.03	0.05	1.66	1.33	1.02
12.00	69.47	0.00	0.05	0.00	1.88	0.00

Priebeh deformácií a vnútorných síl po pilóte - minimálne hodnoty:

Vzdial. [m]	Modul k [MN/m ³]	Deformácia [mm]	Pootoč. [mRad]	Napätie [kPa]	Pos.sila [kN]	Moment [kNm]
0.00	0.00	-2.26	-0.96	-157.02	-250.00	-0.00
0.60	69.47	-1.69	-0.91	-192.68	-177.56	-127.23
0.70	69.47	-1.61	-0.90	-182.89	-157.68	-138.66
0.70	246.62	-1.61	-0.90	-182.89	-157.68	-138.66
1.20	246.62	-1.18	-0.80	-133.91	-58.25	-195.82
1.20	69.47	-1.18	-0.80	-133.91	-58.25	-195.82
1.80	69.47	-0.74	-0.66	-84.06	-23.37	-219.50
1.90	69.47	-0.68	-0.63	-83.18	-23.32	-219.27
1.90	246.62	-0.68	-0.63	-83.18	-23.32	-219.27
2.40	246.62	-0.39	-0.51	-78.76	-23.08	-218.13
2.70	246.62	-0.26	-0.44	-71.66	-39.45	-205.44
2.70	246.62	-0.26	-0.44	-71.66	-39.45	-205.44
3.00	246.62	-0.13	-0.37	-64.55	-55.82	-192.76
3.60	246.62	-0.06	-0.25	-65.27	-59.74	-156.90

Vzdial. [m]	Modul k [MN/m ³]	Deformácia [mm]	Pootoč. [mRad]	Napätie [kPa]	Pos.sila [kN]	Moment [kNm]
3.90	246.62	-0.12	-0.20	-46.47	-55.59	-140.02
3.90	246.62	-0.12	-0.20	-46.47	-55.59	-140.02
4.10	246.62	-0.16	-0.17	-33.94	-52.82	-128.76
4.10	15.33	-0.16	-0.17	-33.94	-52.82	-128.76
4.20	15.33	-0.17	-0.15	-27.67	-51.44	-123.13
4.50	15.33	-0.21	-0.12	-19.25	-50.58	-107.95
4.50	15.33	-0.21	-0.12	-19.25	-50.58	-107.95
4.80	15.33	-0.24	-0.08	-10.83	-49.72	-92.76
5.20	15.33	-0.26	-0.07	-16.61	-45.80	-74.02
5.20	69.47	-0.26	-0.07	-16.61	-45.80	-74.02
5.40	69.47	-0.27	-0.06	-19.51	-43.85	-64.65
5.80	69.47	-0.28	-0.07	-20.82	-37.03	-49.16
5.80	69.47	-0.28	-0.07	-20.82	-37.03	-49.16
6.00	69.47	-0.28	-0.07	-21.47	-33.61	-41.41
6.60	69.47	-0.27	-0.08	-18.55	-23.55	-24.28
7.20	69.47	-0.24	-0.07	-14.45	-14.15	-13.01
7.30	69.47	-0.24	-0.07	-13.42	-13.16	-12.66
7.30	15.33	-0.24	-0.07	-13.42	-13.16	-12.66
7.50	15.33	-0.23	-0.07	-11.38	-11.18	-11.97
7.50	28.10	-0.23	-0.07	-11.38	-11.18	-11.97
7.80	28.10	-0.22	-0.07	-8.31	-8.21	-10.92
8.40	28.10	-0.19	-0.06	-5.21	-5.23	-11.59
8.60	28.10	-0.17	-0.06	-4.75	-4.39	-11.40
8.60	28.10	-0.17	-0.06	-4.75	-4.39	-11.40
9.00	28.10	-0.15	-0.05	-3.83	-2.71	-11.00
9.30	28.10	-0.14	-0.05	-3.04	-2.84	-10.27
9.30	15.33	-0.14	-0.05	-3.04	-2.84	-10.27
9.60	15.33	-0.12	-0.05	-2.26	-2.96	-9.54
10.20	15.33	-0.09	-0.05	-1.39	-3.51	-7.59
10.80	15.33	-0.06	-0.05	-1.73	-3.89	-5.36
11.20	15.33	-0.04	-0.05	-1.68	-4.29	-3.67
11.20	69.47	-0.04	-0.05	-1.68	-4.29	-3.67
11.40	69.47	-0.03	-0.05	-1.66	-4.49	-2.82
12.00	69.47	0.00	-0.05	0.00	-4.81	-0.00

Maximálne vnútorné sily a deformácie:

Max.deformácia pilóty = 2,3 mm

Max.posúvajúca sila = 250,00 kN

Maximálny moment = 500,00 kNm

Posúdenie na tlak a ohyb

Vystuženie - 10 ks profil 20,0 mm; krytie 80,0 mm

Typ konštrukcie (stupne vystuženia) : pilota

Stupeň vystuženia $\rho = 0,517\% > 0,446\% = \rho_{min}$

Zaťaženie : $N_{Ed} = -3230,00 \text{ kN}$ (tlak) ; $M_{Ed} = 500,00 \text{ kNm}$

Únosnosť : $N_{Rd} = -5205,52 \text{ kN}$; $M_{Rd} = 805,81 \text{ kNm}$

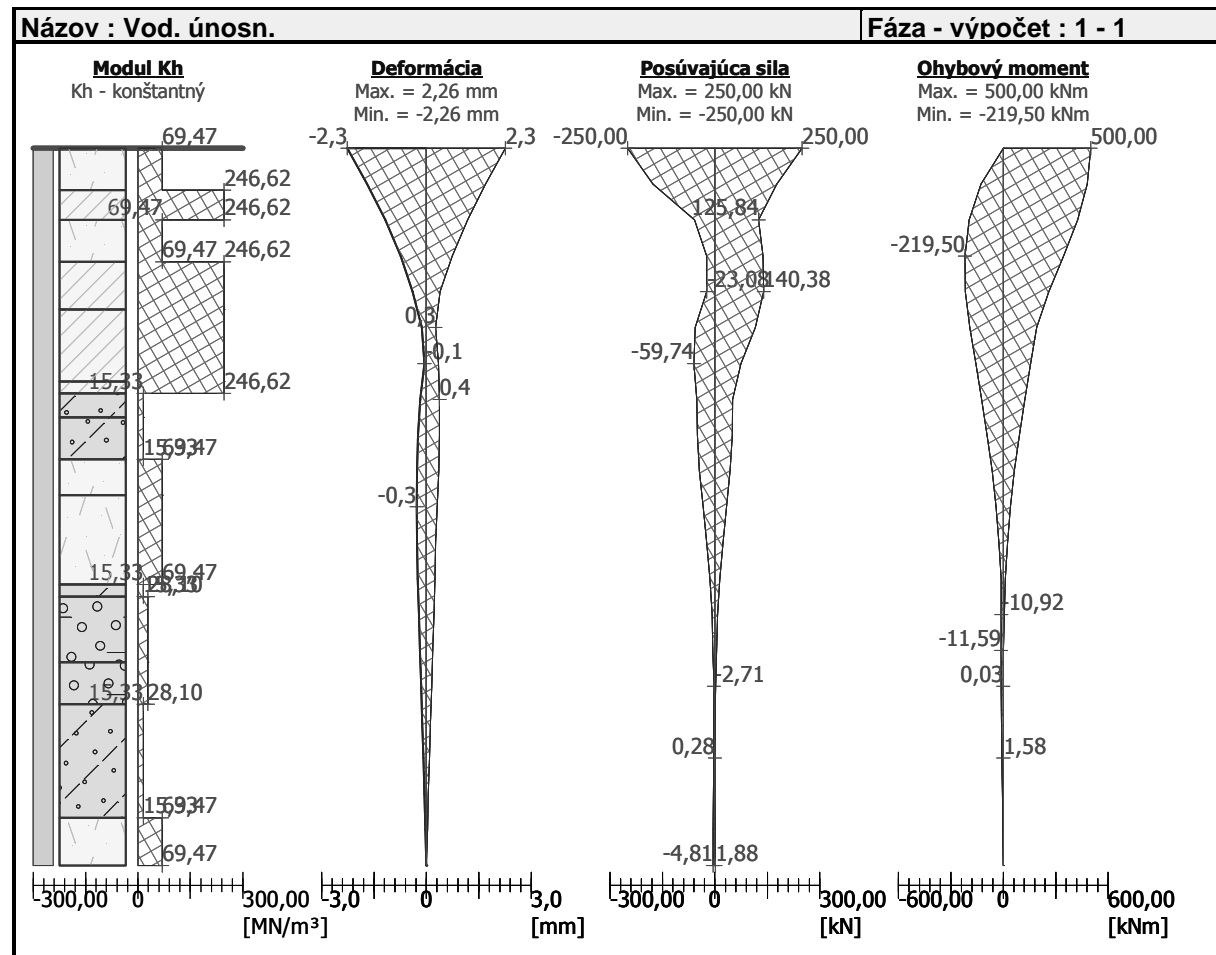
Navrhnutá výstuž pilóty VYHOVUJE

Posúdenie na šmyk

Šmyková výstuž - profil 12,0 mm; vzdialenosť 200,0 mm

Posúvajúca sila na hranici únosnosti: $V_{Rd} = 380,04 \text{ kN} > 250,00 \text{ kN} = V_{Ed}$

Prierez VYHOVUJE.
iba konštrukčná šmyková výstuž

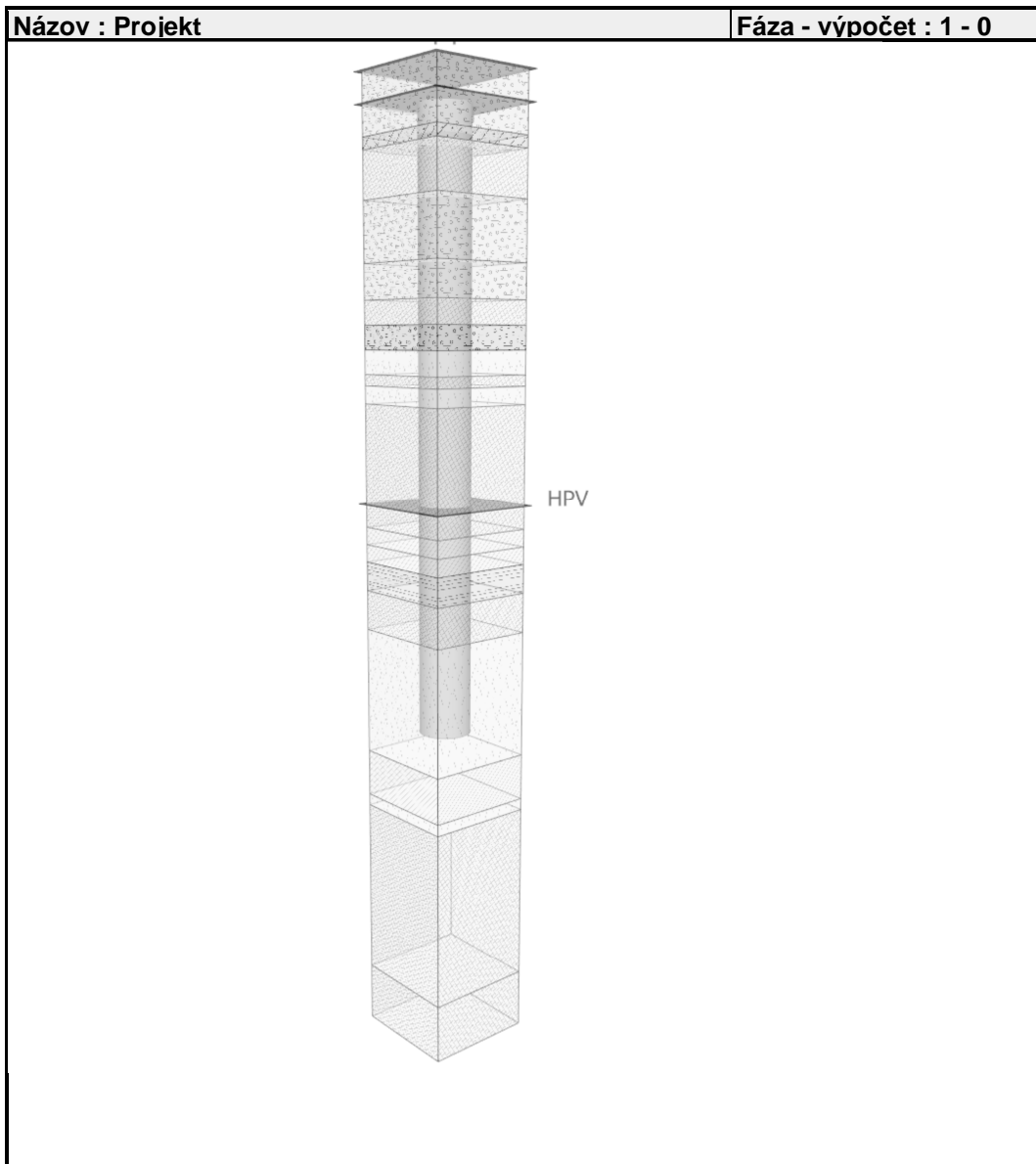


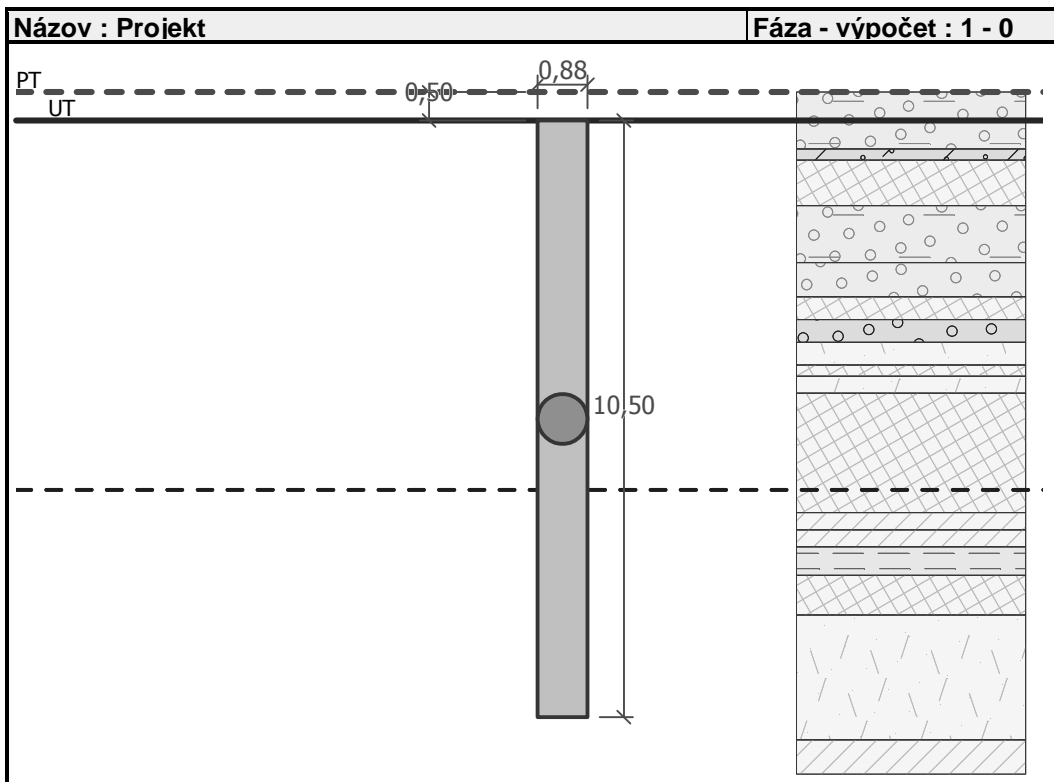
Posúdenie pilóty

Vstupné údaje

Projekt

Akcia : Diaľnica D3 Čadca, Bukov - Svrčinovec
Časť : Most SO 209-00 - Ľavý most
Popis : Podpera P15 (Vrt V18-P)
Vyracoval : Amberg Engineering Slovakia, s.r.o.
Dátum : 5.10.2017





Nastavenie

Standardní - EN 1997 - DA2 (2)

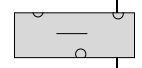
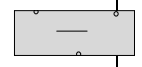
Materiály a normy

Betónové konštrukcie :	EN 1992-1-1 (EC2)
Súčinitele EN 1992-1-1 :	štandardný
Oceľové konštrukcie :	EN 1993-1-1 (EC3)
Dielčí súčineteľ únosnosti oceľového prierezu :	$\gamma_{M0} = 1,00$
Dřevěné konstrukce :	EN 1995-1-1 (EC5)
Dílčí součineteľ vlastností dřeva :	$\gamma_M = 1,30$
Součineteľ vlivu zatížení a vlhkosti (dřevo) :	$k_{mod} = 0,50$
Součineteľ šírky průřezu ve smyku (dřevo) :	$k_{cr} = 0,67$

Pilóty

Súčinitele redukcie zatíženia (F)			
Trvalá návrhová situácia			
		Nepriaznivé	Priaznivé
Stále zatíženie :	$\gamma_G =$	1,35 [-]	1,00 [-]
Súčinitele redukcie odporu (R)			
Trvalá návrhová situácia			
Súčineteľ redukcie odporu na plášti :	$\gamma_s =$	1,10 [-]	
Súčineteľ redukcie odporu na päte :	$\gamma_b =$	1,10 [-]	
Súčineteľ redukcie únosnosti ľaženej pilóty :	$\gamma_{st} =$	1,15 [-]	

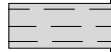
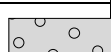
Základné parametre zemín

Číslo	Názov	Vzorka	φ_{ef} [°]	c_{ef} [kPa]	γ [kN/m³]	v [-]
1	F2/CG, delúviálny íl		19,00	0,00	20,30	0,35
2	F4/CS, deluviaálny íl		19,00	0,00	20,30	0,35

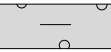
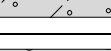
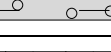
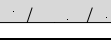
Číslo	Názov	Vzorka	Φ_{ef} [°]	C_{ef} [kPa]	γ [kN/m³]	v [-]
3	F2/GC, deluvialna suť		27,00	5,00	20,00	0,35
4	G5/GC, deluvialna suť		27,00	5,00	20,00	0,30
5	R6 - F4/CS Paleogén		21,00	16,00	21,30	0,35
6	R6 - F6/CI Paleogén		21,00	16,00	21,30	0,35
7	R6 - F8/CH Paleogén		21,00	16,00	21,30	0,35
8	Illovce R5		21,00	16,00	23,70	0,35
9	R6 - S4/SM Paleogén		28,00	5,00	20,80	0,30
10	R6 - G5/GC Paleogén		28,00	5,00	20,80	0,30
11	Pieskovec R6-R5		30,00	10,00	22,70	0,30
12	Pieskovec R4-R3		30,00	20,00	25,00	0,30
13	Pieskovec R3-R1		35,00	60,00	25,80	0,30
14	Násyp		32,50	0,00	19,00	0,25
15	Humus		19,00	0,00	18,50	0,35
16	F6/CI, deluvialny íl		17,00	0,00	20,50	0,40

Pre výpočet tlaku v kľúde sú všetky zeminy zadané ako nesúdržné.

Číslo	Názov	Vzorka	E_{ed} [MPa]	E_{def} [MPa]	γ_{sat} [kN/m³]	γ_s [kN/m³]	n [-]
1	F2/GC, deluvialny íl		-	7,00	20,30	-	-
2	F4/CS, deluvialny íl		-	7,00	20,30	-	-
3	F2/GC, deluvialna suť		-	12,00	20,00	-	-
4	G5/GC, deluvialna suť		-	25,00	20,00	-	-
5	R6 - F4/CS Paleogén		-	27,00	21,30	-	-
6	R6 - F6/CI Paleogén		-	19,00	21,30	-	-
7	R6 - F8/CH Paleogén		-	11,50	21,30	-	-

Číslo	Názov	Vzorka	E _{oed} [MPa]	E _{def} [MPa]	γ _{sat} [kN/m ³]	γ _s [kN/m ³]	n [-]
8	Ílovce R5		-	52,30	23,70	-	-
9	R6 - S4/SM Paleogén		-	12,00	20,80	-	-
10	R6 - G5/GC Paleogén		-	22,00	20,80	-	-
11	Pieskovec R6-R5		-	62,60	22,70	-	-
12	Pieskovec R4-R3		-	250,00	25,00	-	-
13	Pieskovec R3-R1		-	600,00	25,80	-	-
14	Násyp		-	85,00	19,00	-	-
15	Humus		-	2,00	18,50	-	-
16	F6/CI, deluviálny íl		-	4,00	20,50	-	-

Parametre zemín pre výpočet modulu reakcie podložia

Číslo	Názov	Vzorka	β
1	F2/CG, delúviálny íl		5,00
2	F4/CS, delúviálny íl		5,00
3	F2/CG, delúviálna suť		7,00
4	G5/GC, delúviálna suť		7,00
5	R6 - F4/CS Paleogén		6,00
6	R6 - F6/CI Paleogén		6,00
7	R6 - F8/CH Paleogén		6,00
8	Ílovce R5		11,00
9	R6 - S4/SM Paleogén		9,50
10	R6 - G5/GC Paleogén		9,50
11	Pieskovec R6-R5		15,00
12	Pieskovec R4-R3		20,00

Číslo	Názov	Vzorka	β
13	Pieskovec R3-R1		35,00
14	Násyp		10,00
15	Humus		5,00
16	F6/Cl, deluviaľny íl		4,50

Parametre zemín

F2/CG, delúviálny íl

Objemová tiaž : $\gamma = 20,30 \text{ kN/m}^3$
 Uhol vnútorného trenia : $\phi_{ef} = 19,00^\circ$
 Súdržnosť zeminy : $c_{ef} = 0,00 \text{ kPa}$
 Poissonovo číslo : $\nu = 0,35$
 Modul pretvárnosti : $E_{def} = 7,00 \text{ MPa}$
 Obj. tiaž sat.zeminy : $\gamma_{sat} = 20,30 \text{ kN/m}^3$
 Uhol roznosu : $\beta = 5,00^\circ$

F4/CS, deluviaľny íl

Objemová tiaž : $\gamma = 20,30 \text{ kN/m}^3$
 Uhol vnútorného trenia : $\phi_{ef} = 19,00^\circ$
 Súdržnosť zeminy : $c_{ef} = 0,00 \text{ kPa}$
 Poissonovo číslo : $\nu = 0,35$
 Modul pretvárnosti : $E_{def} = 7,00 \text{ MPa}$
 Obj. tiaž sat.zeminy : $\gamma_{sat} = 20,30 \text{ kN/m}^3$
 Uhol roznosu : $\beta = 5,00^\circ$

F2/CG, deluviaľna sut'

Objemová tiaž : $\gamma = 20,00 \text{ kN/m}^3$
 Uhol vnútorného trenia : $\phi_{ef} = 27,00^\circ$
 Súdržnosť zeminy : $c_{ef} = 5,00 \text{ kPa}$
 Poissonovo číslo : $\nu = 0,35$
 Modul pretvárnosti : $E_{def} = 12,00 \text{ MPa}$
 Obj. tiaž sat.zeminy : $\gamma_{sat} = 20,00 \text{ kN/m}^3$
 Uhol roznosu : $\beta = 7,00^\circ$

G5/GC, deluviaľna sut'

Objemová tiaž : $\gamma = 20,00 \text{ kN/m}^3$
 Uhol vnútorného trenia : $\phi_{ef} = 27,00^\circ$
 Súdržnosť zeminy : $c_{ef} = 5,00 \text{ kPa}$
 Poissonovo číslo : $\nu = 0,30$
 Modul pretvárnosti : $E_{def} = 25,00 \text{ MPa}$
 Obj. tiaž sat.zeminy : $\gamma_{sat} = 20,00 \text{ kN/m}^3$
 Uhol roznosu : $\beta = 7,00^\circ$

R6 - F4/CS Paleogén

Objemová tiaž : $\gamma = 21,30 \text{ kN/m}^3$
 Uhol vnútorného trenia : $\phi_{ef} = 21,00^\circ$
 Súdržnosť zeminy : $c_{ef} = 16,00 \text{ kPa}$
 Poissonovo číslo : $\nu = 0,35$
 Modul pretvárnosti : $E_{def} = 27,00 \text{ MPa}$
 Obj. tiaž sat.zeminy : $\gamma_{sat} = 21,30 \text{ kN/m}^3$

Uhол roznosu : β = 6,00 °

R6 - F6/CI Paleogén

Objemová tiaž :	γ = 21,30 kN/m ³
Uhhol vnútorného trenia :	φ_{ef} = 21,00 °
Súdržnosť zeminy :	c_{ef} = 16,00 kPa
Poissonovo číslo :	ν = 0,35
Modul pretvárnosti :	E_{def} = 19,00 MPa
Obj. tiaž sat.zeminy :	γ_{sat} = 21,30 kN/m ³
Uhhol roznosu :	β = 6,00 °

R6 - F8/CH Paleogén

Objemová tiaž :	γ = 21,30 kN/m ³
Uhhol vnútorného trenia :	φ_{ef} = 21,00 °
Súdržnosť zeminy :	c_{ef} = 16,00 kPa
Poissonovo číslo :	ν = 0,35
Modul pretvárnosti :	E_{def} = 11,50 MPa
Obj. tiaž sat.zeminy :	γ_{sat} = 21,30 kN/m ³
Uhhol roznosu :	β = 6,00 °

Ílovce R5

Objemová tiaž :	γ = 23,70 kN/m ³
Uhhol vnútorného trenia :	φ_{ef} = 21,00 °
Súdržnosť zeminy :	c_{ef} = 16,00 kPa
Poissonovo číslo :	ν = 0,35
Modul pretvárnosti :	E_{def} = 52,30 MPa
Obj. tiaž sat.zeminy :	γ_{sat} = 23,70 kN/m ³
Uhhol roznosu :	β = 11,00 °

R6 - S4/SM Paleogén

Objemová tiaž :	γ = 20,80 kN/m ³
Uhhol vnútorného trenia :	φ_{ef} = 28,00 °
Súdržnosť zeminy :	c_{ef} = 5,00 kPa
Poissonovo číslo :	ν = 0,30
Modul pretvárnosti :	E_{def} = 12,00 MPa
Obj. tiaž sat.zeminy :	γ_{sat} = 20,80 kN/m ³
Uhhol roznosu :	β = 9,50 °

R6 - G5/GC Paleogén

Objemová tiaž :	γ = 20,80 kN/m ³
Uhhol vnútorného trenia :	φ_{ef} = 28,00 °
Súdržnosť zeminy :	c_{ef} = 5,00 kPa
Poissonovo číslo :	ν = 0,30
Modul pretvárnosti :	E_{def} = 22,00 MPa
Obj. tiaž sat.zeminy :	γ_{sat} = 20,80 kN/m ³
Uhhol roznosu :	β = 9,50 °

Pieskovec R6-R5

Objemová tiaž :	γ = 22,70 kN/m ³
Uhhol vnútorného trenia :	φ_{ef} = 30,00 °
Súdržnosť zeminy :	c_{ef} = 10,00 kPa
Poissonovo číslo :	ν = 0,30
Modul pretvárnosti :	E_{def} = 62,60 MPa
Obj. tiaž sat.zeminy :	γ_{sat} = 22,70 kN/m ³
Uhhol roznosu :	β = 15,00 °

Pieskovec R4-R3

Objemová tiaž :	γ = 25,00 kN/m ³
Uhôl vnútorného trenia :	φ_{ef} = 30,00 °
Súdržnosť zeminy :	c_{ef} = 20,00 kPa
Poissonovo číslo :	ν = 0,30
Modul pretvárnosti :	E_{def} = 250,00 MPa
Obj. tiaž sat.zeminy :	γ_{sat} = 25,00 kN/m ³
Uhôl roznosu :	β = 20,00 °

Pieskovec R3-R1

Objemová tiaž :	γ = 25,80 kN/m ³
Uhôl vnútorného trenia :	φ_{ef} = 35,00 °
Súdržnosť zeminy :	c_{ef} = 60,00 kPa
Poissonovo číslo :	ν = 0,30
Modul pretvárnosti :	E_{def} = 600,00 MPa
Obj. tiaž sat.zeminy :	γ_{sat} = 25,80 kN/m ³
Uhôl roznosu :	β = 35,00 °

Násyp

Objemová tiaž :	γ = 19,00 kN/m ³
Uhôl vnútorného trenia :	φ_{ef} = 32,50 °
Súdržnosť zeminy :	c_{ef} = 0,00 kPa
Poissonovo číslo :	ν = 0,25
Modul pretvárnosti :	E_{def} = 85,00 MPa
Obj. tiaž sat.zeminy :	γ_{sat} = 19,00 kN/m ³
Uhôl roznosu :	β = 10,00 °

Humus

Objemová tiaž :	γ = 18,50 kN/m ³
Uhôl vnútorného trenia :	φ_{ef} = 19,00 °
Súdržnosť zeminy :	c_{ef} = 0,00 kPa
Poissonovo číslo :	ν = 0,35
Modul pretvárnosti :	E_{def} = 2,00 MPa
Obj. tiaž sat.zeminy :	γ_{sat} = 18,50 kN/m ³
Uhôl roznosu :	β = 5,00 °

F6/Cl, deluviálny íl

Objemová tiaž :	γ = 20,50 kN/m ³
Uhôl vnútorného trenia :	φ_{ef} = 17,00 °
Súdržnosť zeminy :	c_{ef} = 0,00 kPa
Poissonovo číslo :	ν = 0,40
Modul pretvárnosti :	E_{def} = 4,00 MPa
Obj. tiaž sat.zeminy :	γ_{sat} = 20,50 kN/m ³
Uhôl roznosu :	β = 4,50 °

Geometria

Profil pilóty: kruhová

Rozmery

Priemer d = 0,88 m
Dĺžka l = 10,50 m

Spočítané prierezové charakteristiky

Plocha A = 6,08E-01 m²
Moment zotrvačnosti I = 2,94E-02 m⁴

Umiestnenie

Vysadenie h = 0,00 m

Hĺbka upraveného terénu $h_z = 0,50$ m

Technológia

Pilóty s ťažbou zeminy z vrtu

Typ pilóty: vŕtané pažené oceľovými výpažnicami

Redukcia odporu na päte = 0,50

Redukcia odporu na plášti = 0,50

Modul reakcie podložia uvažovaný ako konštantný.

Materiál konštrukcie

Objemová tiaž $\gamma = 23,00$ kN/m³

Výpočet betónových konštrukcií vykonaný podľa normy EN 1992-1-1 (EC2).

Betón : C 20/25

Valcová pevnosť v tlaku $f_{ck} = 20,00$ MPa

Pevnosť v ťahu $f_{ctm} = 2,20$ MPa

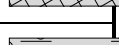
Modul pružnosti $E_{cm} = 30000,00$ MPa

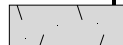
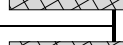
Modul pružnosti v šmyku $G = 12500,00$ MPa

Oceľ pozdĺžna : B500

Medza sklzu $f_{yk} = 500,00$ MPa

Geologický profil a priradenie zemín

Číslo	Vrstva [m]	Priradená zemina	Vzorka
1	1,00	G5/GC, deluviálna suť	
2	0,20	R6 - S4/SM Paleogén	
3	0,80	Pieskovec R3-R1	
4	1,00	G5/GC, deluviálna suť	
5	0,60	G5/GC, deluviálna suť	
6	0,40	Pieskovec R3-R1	
7	0,40	R6 - G5/GC Paleogén	
8	0,40	Pieskovec R6-R5	
9	0,20	Pieskovec R3-R1	
10	0,30	Pieskovec R6-R5	
11	2,10	Pieskovec R3-R1	
12	0,30	Pieskovec R4-R3	
13	0,30	Pieskovec R4-R3	
14	0,50	R6 - F4/CS Paleogén	

Číslo	Vrstva [m]	Priradená zemina	Vzorka
15	0,70	Pieskovec R3-R1	
16	2,20	Pieskovec R6-R5	
17	0,80	Pieskovec R4-R3	
18	0,20	Pieskovec R6-R5	
19	3,10	Pieskovec R3-R1	
20	-	Pieskovec R3-R1	

Zatáženie

Číslo	Zatáženie nové zmena	Názov	Typ	N [kN]	M _x [kNm]	M _y [kNm]	H _x [kN]	H _y [kN]
1	Áno	Zatížení č. 1	Návrhové	3236,00	300,00	0,00	0,00	80,00
2	Áno	Zatížení č. 1 - provozní	Úžitkové	2696,67	250,00	0,00	0,00	66,67

Hladina podzemnej vody

Hladina podzemnej vody je v hĺbke 7,00 m od pôvodného terénu.

Celkové nastavenie výpočtu

Výpočet zvislej únosnosti : pružinová metóda

Typ výpočtu : výpočet pre odvodnené podmienky

Nastavenie výpočtu fázy

Návrhová situácia : trvalá

Metodika posúdenia : bez redukcie vstupných dát

Posúdenie čís. 1

Vstupné dátá

Maximálne deformácie 25,0 mm

Koef. zväčšenia medzného plášť. trenia vplyvom technológie 2

Hĺbka deformačnej zóny uvažovaná ako 1,00-násobok d.

Zatážovacia krivka

Číslo	Zatáženie [kN]	Sadnutie [mm]
1	0,00	0,0
2	1299,63	1,7
3	1833,15	2,4
4	2538,40	3,5
5	2737,95	3,9
6	2963,48	4,5
7	3046,77	4,8
8	3317,72	6,1
9	3694,62	9,2

Číslo	Zaťaženie [kN]	Sadnutie [mm]
10	4397,03	20,5
11	4645,34	25,0

Pre zaťaženie $Q = 2696,67 \text{ kN}$ je sadnutie pilóty 3,8 mm, hĺbka deformačnej zóny pod päťou je 0,88 m ($1,000 \times D$)

Výpočet pre zaťaženie $F = 1299,63 \text{ kN}$

x [m]	Norm. sila [kN]	Rel. norm. [-]	Šmyk [kN]	Rel. šmyk [-]
0,00	1299,63	1,00	0,00	0,00
1,05	1210,40	0,93	89,23	0,07
2,10	1093,66	0,84	205,97	0,16
3,15	1082,22	0,83	217,41	0,17
4,20	987,18	0,76	312,45	0,24
5,25	810,91	0,62	488,72	0,38
6,30	536,22	0,41	763,41	0,59
7,35	325,63	0,25	974,00	0,75
8,40	194,38	0,15	1105,25	0,85
9,45	91,91	0,07	1207,72	0,93
10,50	63,25	0,05	1236,38	0,95

Výpočet pre zaťaženie $F = 1833,15 \text{ kN}$

x [m]	Norm. sila [kN]	Rel. norm. [-]	Šmyk [kN]	Rel. šmyk [-]
0,00	1833,15	1,00	0,00	0,00
1,05	1743,92	0,95	89,23	0,05
2,10	1575,73	0,86	257,43	0,14
3,15	1559,24	0,85	273,92	0,15
4,20	1422,31	0,78	410,84	0,22
5,25	1168,34	0,64	664,81	0,36
6,30	772,58	0,42	1060,57	0,58
7,35	469,16	0,26	1363,99	0,74
8,40	280,06	0,15	1553,09	0,85
9,45	132,43	0,07	1700,73	0,93
10,50	91,13	0,05	1742,02	0,95

Výpočet pre zaťaženie $F = 2538,40 \text{ kN}$

x [m]	Norm. sila [kN]	Rel. norm. [-]	Šmyk [kN]	Rel. šmyk [-]
0,00	2538,40	1,00	0,00	0,00
1,05	2449,17	0,96	89,23	0,04
2,10	2280,97	0,90	257,43	0,10
3,15	2257,10	0,89	281,30	0,11
4,20	2058,90	0,81	479,50	0,19
5,25	1691,25	0,67	847,15	0,33
6,30	1118,36	0,44	1420,04	0,56
7,35	679,14	0,27	1859,26	0,73
8,40	405,40	0,16	2132,99	0,84

x [m]	Norm. sila [kN]	Rel. norm. [-]	Šmyk [kN]	Rel. šmyk [-]
9,45	191,70	0,08	2346,70	0,92
10,50	131,92	0,05	2406,47	0,95

Výpočet pre zaťaženie F = 2737,95 kN

x [m]	Norm. sila [kN]	Rel. norm. [-]	Šmyk [kN]	Rel. šmyk [-]
0,00	2737,95	1,00	0,00	0,00
1,05	2648,72	0,97	89,23	0,03
2,10	2480,52	0,91	257,43	0,09
3,15	2453,87	0,90	284,09	0,10
4,20	2232,51	0,82	505,44	0,18
5,25	1821,91	0,67	916,04	0,33
6,30	1249,02	0,46	1488,94	0,54
7,35	758,48	0,28	1979,47	0,72
8,40	452,77	0,17	2285,18	0,83
9,45	214,09	0,08	2523,86	0,92
10,50	147,34	0,05	2590,62	0,95

Výpočet pre zaťaženie F = 2963,48 kN

x [m]	Norm. sila [kN]	Rel. norm. [-]	Šmyk [kN]	Rel. šmyk [-]
0,00	2963,48	1,00	0,00	0,00
1,05	2874,26	0,97	89,23	0,03
2,10	2706,06	0,91	257,43	0,09
3,15	2675,38	0,90	288,10	0,10
4,20	2420,67	0,82	542,81	0,18
5,25	2010,08	0,68	953,41	0,32
6,30	1437,18	0,48	1526,30	0,52
7,35	872,75	0,29	2090,73	0,71
8,40	520,98	0,18	2442,51	0,82
9,45	246,34	0,08	2717,14	0,92
10,50	169,53	0,06	2793,95	0,94

Výpočet pre zaťaženie F = 3046,77 kN

x [m]	Norm. sila [kN]	Rel. norm. [-]	Šmyk [kN]	Rel. šmyk [-]
0,00	3046,77	1,00	0,00	0,00
1,05	2957,55	0,97	89,23	0,03
2,10	2789,35	0,92	257,43	0,08
3,15	2756,46	0,90	290,31	0,10
4,20	2483,44	0,82	563,33	0,18
5,25	2072,84	0,68	973,93	0,32
6,30	1499,95	0,49	1546,82	0,51
7,35	935,52	0,31	2111,26	0,69
8,40	558,45	0,18	2488,33	0,82
9,45	264,06	0,09	2782,71	0,91

x [m]	Norm. sila [kN]	Rel. norm. [-]	Šmyk [kN]	Rel. šmyk [-]
10,5 0	181,73	0,06	2865,05	0,94

Výpočet pre zaťaženie F = 3317,72 kN

x [m]	Norm. sila [kN]	Rel. norm. [-]	Šmyk [kN]	Rel. šmyk [-]
0,00	3317,72	1,00	0,00	0,00
1,05	3228,49	0,97	89,23	0,03
2,10	3060,29	0,92	257,43	0,08
3,15	3018,21	0,91	299,51	0,09
4,20	2745,19	0,83	572,53	0,17
5,25	2334,59	0,70	983,13	0,30
6,30	1761,70	0,53	1556,02	0,47
7,35	1197,26	0,36	2120,46	0,64
8,40	714,69	0,22	2603,03	0,78
9,45	337,94	0,10	2979,78	0,90
10,5 0	232,57	0,07	3085,15	0,93

Výpočet pre zaťaženie F = 3694,62 kN

x [m]	Norm. sila [kN]	Rel. norm. [-]	Šmyk [kN]	Rel. šmyk [-]
0,00	3694,62	1,00	0,00	0,00
1,05	3605,39	0,98	89,23	0,02
2,10	3437,19	0,93	257,43	0,07
3,15	3374,15	0,91	320,47	0,09
4,20	3101,13	0,84	593,49	0,16
5,25	2690,53	0,73	1004,09	0,27
6,30	2117,64	0,57	1576,98	0,43
7,35	1553,20	0,42	2141,41	0,58
8,40	1070,63	0,29	2623,99	0,71
9,45	506,25	0,14	3188,37	0,86
10,5 0	348,40	0,09	3346,22	0,91

Výpočet pre zaťaženie F = 4397,03 kN

x [m]	Norm. sila [kN]	Rel. norm. [-]	Šmyk [kN]	Rel. šmyk [-]
0,00	4397,03	1,00	0,00	0,00
1,05	4307,81	0,98	89,23	0,02
2,10	4139,61	0,94	257,43	0,06
3,15	3998,78	0,91	398,25	0,09
4,20	3725,76	0,85	671,27	0,15
5,25	3315,16	0,75	1081,87	0,25
6,30	2742,27	0,62	1654,76	0,38
7,35	2177,84	0,50	2219,20	0,50
8,40	1695,26	0,39	2701,77	0,61
9,45	1130,88	0,26	3266,15	0,74

x [m]	Norm. sila [kN]	Rel. norm. [-]	Šmyk [kN]	Rel. šmyk [-]
10,5 0	778,27	0,18	3618,77	0,82

Výpočet pre zaťaženie $F = 4953,99$ kN

x [m]	Norm. sila [kN]	Rel. norm. [-]	Šmyk [kN]	Rel. šmyk [-]
0,00	4953,99	1,00	0,00	0,00
1,05	4864,77	0,98	89,23	0,02
2,10	4696,57	0,95	257,43	0,05
3,15	4555,74	0,92	398,25	0,08
4,20	4282,72	0,86	671,27	0,14
5,25	3872,12	0,78	1081,87	0,22
6,30	3299,23	0,67	1654,76	0,33
7,35	2734,80	0,55	2219,20	0,45
8,40	2252,22	0,45	2701,77	0,55
9,45	1687,84	0,34	3266,15	0,66
10,5 0	1161,56	0,23	3792,43	0,77



Posúdenie čís. 1

Vstupné dáta pre výpočet vodorovnej únosnosti pilóty

Výpočet vykonaný s automatickým výberom najnepriaznivejších zaťažovacích stavov.
Vodorovná únosnosť posúdená v smere maximálneho účinku zaťaženia.

Priebeh vnútorných síl a deformácie pilóty

Priebeh deformácií a vnútorných síl po pilóte - maximálne hodnoty:

Vzdial. [m]	Modul k [MN/m ³]	Deformácia [mm]	Pootoč. [mRad]	Napätie [kPa]	Pos.sila [kN]	Moment [kNm]
0.00	0.00	-1.44	1.14	42.80	-66.67	300.00
0.50	34.21	-1.00	0.96	139.61	-53.55	335.61
0.50	15.33	-1.00	0.96	139.61	-53.55	335.61
0.53	15.33	-0.98	0.95	144.45	-52.90	337.39
0.70	15.33	-0.86	0.88	151.19	-24.31	339.40
0.70	426.06	-0.86	0.88	151.19	-24.31	339.40
1.05	426.06	-0.61	0.75	164.68	32.86	343.43
1.50	426.06	-0.37	0.58	67.74	83.15	314.09
1.50	34.21	-0.37	0.58	67.74	83.15	314.09
1.58	34.21	-0.33	0.55	51.59	91.53	309.20
2.10	34.21	-0.12	0.38	5.00	95.66	259.89
2.50	34.21	-0.02	0.28	-0.22	96.36	221.36
2.50	34.21	-0.02	0.28	-0.22	96.36	221.36
2.63	34.21	0.02	0.24	-1.86	96.58	209.32
3.10	34.21	0.11	0.14	-19.92	89.80	164.81
3.10	426.06	0.11	0.14	-19.92	89.80	164.81
3.15	426.06	0.11	0.13	-21.82	89.09	160.13
3.50	426.06	0.15	0.08	-19.69	79.16	131.41
3.50	28.10	0.15	0.08	-19.69	79.16	131.41
3.67	28.10	0.16	0.05	-18.63	74.20	117.05
3.90	28.10	0.17	0.03	-14.30	72.56	100.78
3.90	69.47	0.17	0.03	-14.30	72.56	100.78
4.20	69.47	0.17	-0.01	-8.52	70.37	79.09
4.30	69.47	0.17	-0.01	-10.90	69.34	72.32
4.30	426.06	0.17	-0.01	-10.90	69.34	72.32
4.50	426.06	0.17	-0.02	-15.67	67.29	58.80
4.50	69.47	0.17	-0.02	-15.67	67.29	58.80
4.73	69.47	0.16	-0.04	-21.03	64.99	43.58
4.80	69.47	0.16	-0.04	-23.30	62.60	39.35
4.80	426.06	0.16	-0.04	-23.30	62.60	39.35
5.25	426.06	0.13	-0.05	-36.91	48.27	13.99
5.78	426.06	0.10	-0.05	-35.21	25.56	-4.26
6.30	426.06	0.07	-0.05	-24.23	9.13	-11.63
6.83	426.06	0.04	-0.04	-13.17	-1.32	-13.09
6.90	426.06	0.04	-0.04	-11.85	-1.88	-12.83
6.90	246.62	0.04	-0.04	-11.85	-1.88	-12.83
7.20	246.62	0.03	-0.03	-6.54	-4.11	-11.77
7.20	246.62	0.03	-0.03	-6.54	-4.11	-11.77
7.35	246.62	0.02	-0.03	-3.89	-5.22	-11.25
7.50	246.62	0.01	-0.03	-2.85	-5.38	-10.41
7.50	38.03	0.01	-0.03	-2.85	-5.38	-10.41

Vzdial. [m]	Modul k [MN/m ³]	Deformácia [mm]	Pootoč. [mRad]	Napätie [kPa]	Pos.sila [kN]	Moment [kNm]
7.88	38.03	0.00	-0.03	-0.27	-5.78	-8.32
8.00	38.03	-0.00	-0.02	0.54	-5.66	-7.61
8.00	426.06	-0.00	-0.02	0.54	-5.66	-7.61
8.40	426.06	-0.01	-0.02	3.11	-5.26	-5.36
8.70	426.06	-0.02	-0.02	3.65	-4.20	-4.03
8.70	69.47	-0.02	-0.02	3.65	-4.20	-4.03
8.93	69.47	-0.02	-0.02	4.06	-3.41	-3.03
9.45	69.47	-0.03	-0.02	2.58	-2.57	-1.45
9.98	69.47	-0.04	-0.02	3.34	-1.43	-0.39
10.50	69.47	-0.05	-0.02	4.08	0.00	0.00

Priebeh deformácií a vnútorných síl po pilóte - minimálne hodnoty:

Vzdial. [m]	Modul k [MN/m ³]	Deformácia [mm]	Pootoč. [mRad]	Napätie [kPa]	Pos.sila [kN]	Moment [kNm]
0.00	0.00	-1.73	0.95	35.66	-80.00	250.00
0.50	34.21	-1.20	0.80	116.34	-64.26	279.67
0.50	15.33	-1.20	0.80	116.34	-64.26	279.67
0.53	15.33	-1.18	0.79	120.37	-63.48	281.16
0.70	15.33	-1.03	0.74	125.99	-33.19	282.83
0.70	426.06	-1.03	0.74	125.99	-33.19	282.83
1.05	426.06	-0.73	0.62	137.23	27.38	286.19
1.50	426.06	-0.44	0.48	56.45	69.29	261.74
1.50	34.21	-0.44	0.48	56.45	69.29	261.74
1.58	34.21	-0.39	0.46	42.99	76.28	257.67
2.10	34.21	-0.15	0.32	4.17	79.71	216.58
2.50	34.21	-0.02	0.23	-0.71	80.30	184.47
2.50	34.21	-0.02	0.23	-0.71	80.30	184.47
2.63	34.21	0.01	0.20	-2.23	80.48	174.43
3.10	34.21	0.09	0.12	-23.90	74.83	137.34
3.10	426.06	0.09	0.12	-23.90	74.83	137.34
3.15	426.06	0.10	0.11	-26.18	74.24	133.44
3.50	426.06	0.12	0.07	-23.63	65.97	109.51
3.50	28.10	0.12	0.07	-23.63	65.97	109.51
3.67	28.10	0.14	0.04	-22.36	61.83	97.54
3.90	28.10	0.14	0.02	-17.16	60.46	83.98
3.90	69.47	0.14	0.02	-17.16	60.46	83.98
4.20	69.47	0.14	-0.01	-10.23	58.64	65.91
4.30	69.47	0.14	-0.01	-13.09	57.78	60.27
4.30	426.06	0.14	-0.01	-13.09	57.78	60.27
4.50	426.06	0.14	-0.03	-18.80	56.08	49.00
4.50	69.47	0.14	-0.03	-18.80	56.08	49.00
4.73	69.47	0.13	-0.04	-25.23	54.16	36.32
4.80	69.47	0.13	-0.05	-27.96	52.17	32.79
4.80	426.06	0.13	-0.05	-27.96	52.17	32.79
5.25	426.06	0.11	-0.06	-44.29	40.23	11.66
5.78	426.06	0.08	-0.06	-42.26	21.30	-5.12
6.30	426.06	0.06	-0.06	-29.07	7.61	-13.96
6.83	426.06	0.03	-0.05	-15.81	-1.59	-15.71
6.90	426.06	0.03	-0.05	-14.22	-2.25	-15.39

Vzdial. [m]	Modul k [MN/m ³]	Deformácia [mm]	Pootoč. [mRad]	Napätie [kPa]	Pos.sila [kN]	Moment [kNm]
6.90	246.62	0.03	-0.05	-14.22	-2.25	-15.39
7.20	246.62	0.02	-0.04	-7.85	-4.93	-14.13
7.20	246.62	0.02	-0.04	-7.85	-4.93	-14.13
7.35	246.62	0.02	-0.04	-4.67	-6.26	-13.50
7.50	246.62	0.01	-0.04	-3.42	-6.46	-12.49
7.50	38.03	0.01	-0.04	-3.42	-6.46	-12.49
7.88	38.03	0.00	-0.03	-0.32	-6.94	-9.98
8.00	38.03	-0.00	-0.03	0.37	-6.79	-9.14
8.00	426.06	-0.00	-0.03	0.37	-6.79	-9.14
8.40	426.06	-0.01	-0.03	2.59	-6.31	-6.43
8.70	426.06	-0.02	-0.02	3.05	-5.04	-4.84
8.70	69.47	-0.02	-0.02	3.05	-5.04	-4.84
8.93	69.47	-0.03	-0.02	3.39	-4.09	-3.64
9.45	69.47	-0.04	-0.02	2.15	-3.08	-1.74
9.98	69.47	-0.05	-0.02	2.78	-1.71	-0.47
10.50	69.47	-0.06	-0.02	3.40	0.00	0.00

Maximálne vnútorné sily a deformácie:

Max.deformácia pilóty = 1,7 mm

Max.posúvajúca sila = 96,58 kN

Maximálny moment = 343,43 kNm

Posúdenie na tlak a ohyb

Vystuženie - 6 ks profil 30,0 mm; krytie 40,0 mm

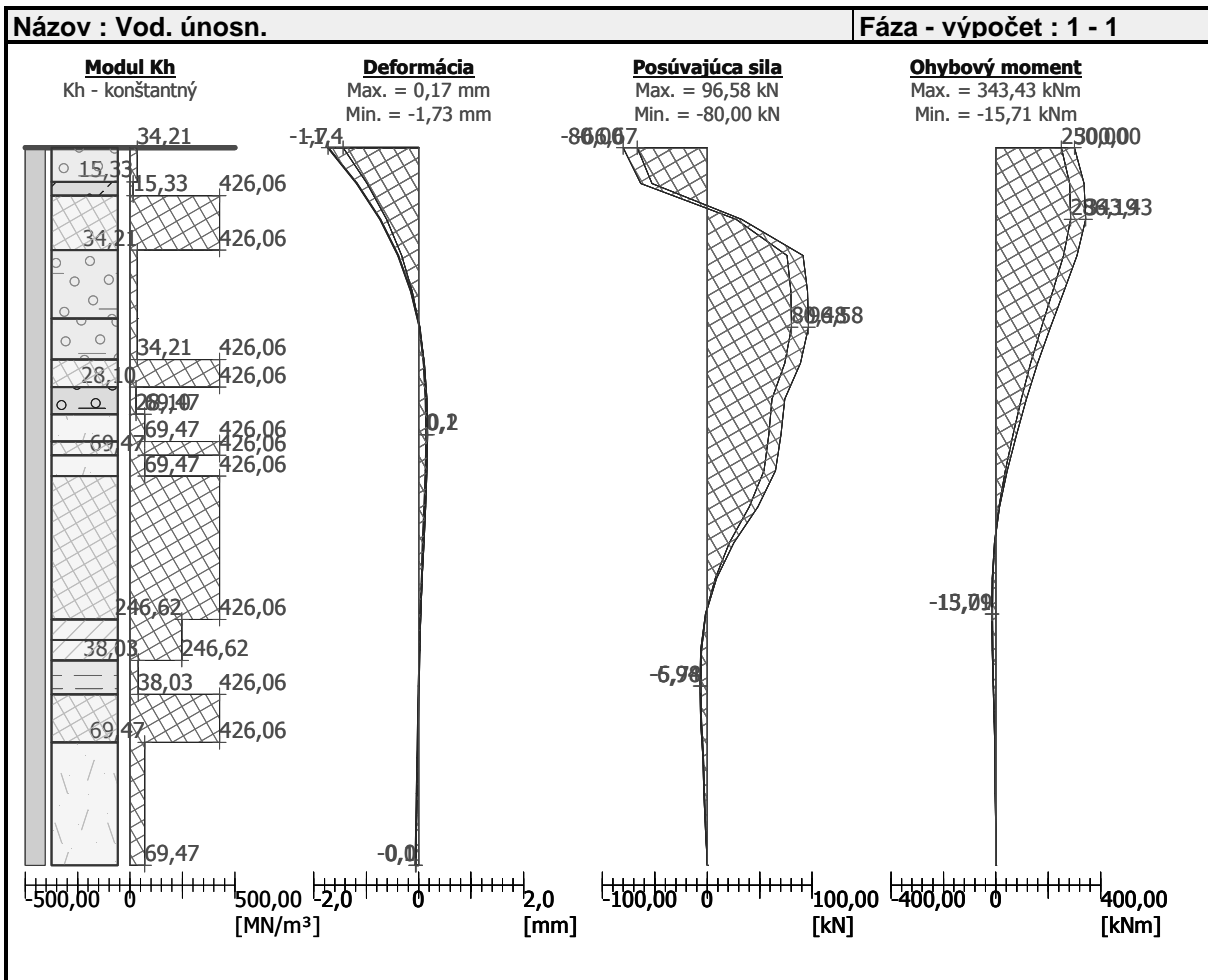
Typ konštrukcie (stupne vystuženia) : pilota

Stupeň vystuženia $\rho = 0,697\% > 0,446\% = \rho_{min}$

Zaťaženie : $N_{Ed} = -3236,00\text{ kN}$ (tlak) ; $M_{Ed} = 343,43\text{ kNm}$

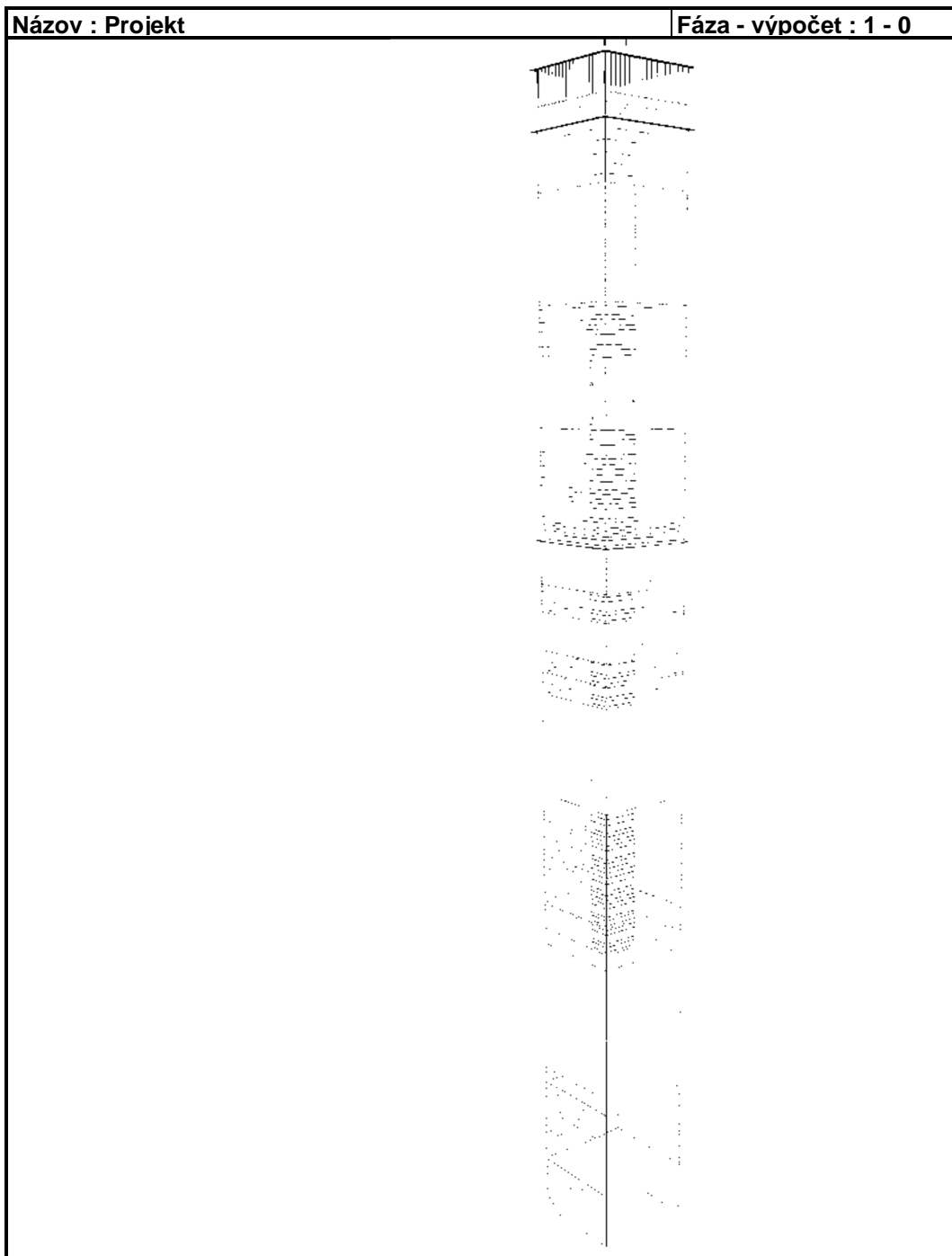
Únosnosť : $N_{Rd} = -6678,36\text{ kN}$; $M_{Rd} = 708,77\text{ kNm}$
Navrhnutá výstuž pilóty VYHOVUJE
Posúdenie na šmyk

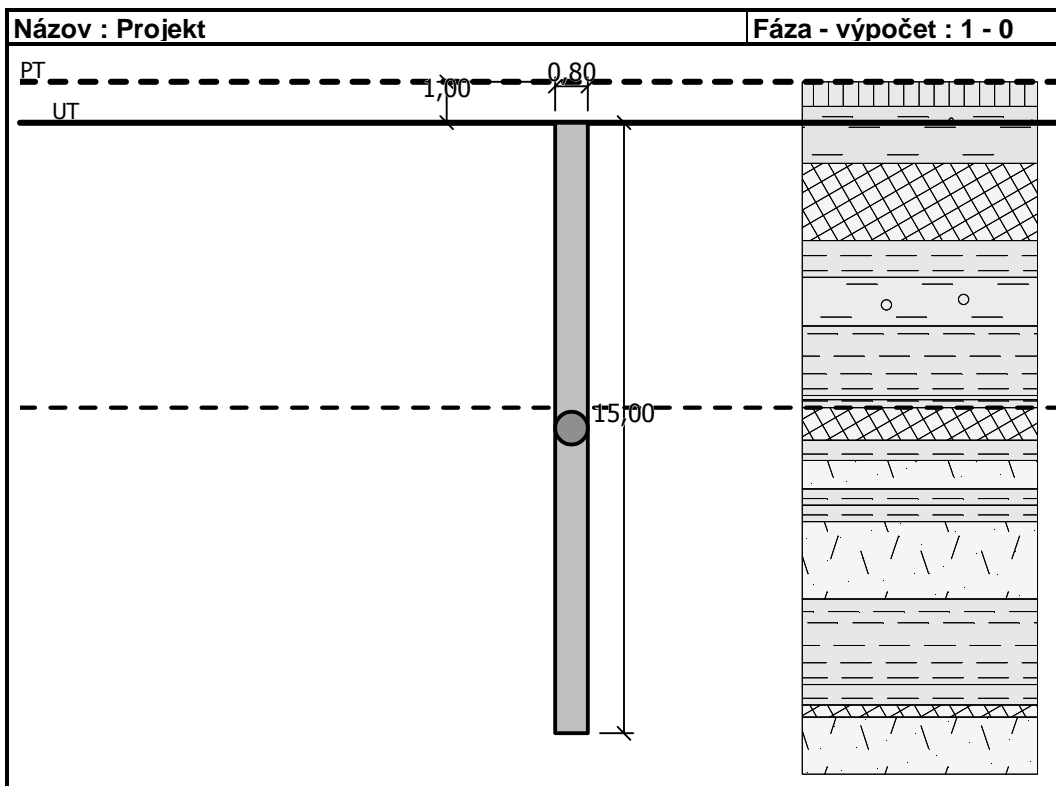
Posúvajúca sila na hranici únosnosti: $V_{Rd} = 384,89\text{ kN} > 96,58\text{ kN} = V_{Ed}$
Prierez VYHOVUJE.



Posúdenie pilóty**Vstupné údaje****Projekt**

Akcia : Diaľnica D3 Čadca, Bukov - Svrčinovec
Časť : Most SO 209-00
Popis : Vrt V11-P
Vyracoval : Amberg Engineering Slovakia, s.r.o.
Dátum : 5.10.2017





Nastavenie

Standardní - EN 1997 - DA2 (2)

Materiály a normy

Betónové konštrukcie : EN 1992-1-1 (EC2)

Súčinitele EN 1992-1-1 : štandardný

Ocelové konštrukcie : EN 1993-1-1 (EC3)

Dielčí súčiniteľ únosnosti oceľového prierezu : $\gamma_{M0} = 1,00$

Dřevěné konstrukce : EN 1995-

Dílčí součinitel vlastností dřeva : $\gamma_M = 1,30$

Součinitel vlivu zatížení a vlnkosti (dřevo) : $k_{med} = 0,50$

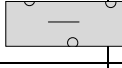
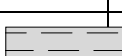
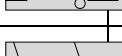
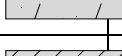
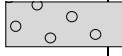
Součinitel vlivu zářezení a vinkosti (dřevo) : $k_{mod} = 0,30$

Pilóty

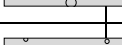
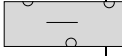
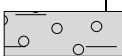
Súčinitele redukcie zaťaženia (F)				
Trvalá návrhová situácia				
		Nepriaznivé	Priaznivé	
Stále zaťaženie :	$\gamma_G =$	1,35 [-]		1,00 [-]
Súčinitele redukcie odporu (R)				
Trvalá návrhová situácia				
Súčinitel redukcie odporu na plášti :		$\gamma_s =$	1,10	[-]
Súčinitel redukcie odporu na päte :		$\gamma_b =$	1,10	[-]
Súčinitel redukcie únosnosti ľaženej pilóty :		$\gamma_{st} =$	1,15	[-]

Základné parametre zemí

Čísl o	Názov	Vzorka	Φ_{ef} [°]	C_{ef} [kPa]	γ [kN/m ³]	v [-]
1	F2/CG, delúviálny íl		19,00	0,00	20,30	0,35
2	F4/CS, deluviaľny íl		19,00	0,00	20,30	0,35

Číslo	Názov	Vzorka	Φ_{ef} [°]	c_{ef} [kPa]	γ [kN/m³]	v [-]
3	F2/CG, deluviaľna suť		27,00	5,00	20,00	0,35
4	G5/GC, deluviaľna suť		27,00	5,00	20,00	0,30
5	R6 - F4/CS Paleogén		21,00	16,00	21,30	0,35
6	R6 - F6/CI Paleogén		21,00	16,00	21,30	0,35
7	R6 - F8/CH Paleogén		21,00	16,00	21,30	0,35
8	Ílovce R5		21,00	16,00	23,70	0,35
9	R6 - S4/SM Paleogén		28,00	5,00	20,80	0,30
10	R6 - G5/GC Paleogén		28,00	5,00	20,80	0,30
11	Pieskovec R6-R5		30,00	10,00	22,70	0,30
12	Pieskovec R4-R3		30,00	20,00	25,00	0,30
13	Pieskovec R3-R1		35,00	60,00	25,80	0,30
14	Násyp		32,50	0,00	19,00	0,25
15	Humus		19,00	0,00	18,50	0,35
16	F6/CI, deluviaľny íl		17,00	0,00	20,50	0,40

Pre výpočet tlaku v kľúde sú všetky zeminy zadané ako nesúdržné.

Číslo	Názov	Vzorka	E_{oed} [MPa]	E_{def} [MPa]	γ_{sat} [kN/m³]	γ_s [kN/m³]	n [-]
1	F2/CG, deluviaľny íl		-	7,00	20,30	-	-
2	F4/CS, deluviaľny íl		-	7,00	20,30	-	-
3	F2/CG, deluviaľna suť		-	12,00	20,00	-	-
4	G5/GC, deluviaľna suť		-	25,00	20,00	-	-
5	R6 - F4/CS Paleogén		-	27,00	21,30	-	-
6	R6 - F6/CI Paleogén		-	19,00	21,30	-	-
7	R6 - F8/CH Paleogén		-	11,50	21,30	-	-

Číslo	Názov	Vzorka	E_{ed} [MPa]	E_{def} [MPa]	γ_{sat} [kN/m ³]	γ_s [kN/m ³]	n [-]
8	Ílovce R5		-	52,30	23,70	-	-
9	R6 - S4/SM Paleogén		-	12,00	20,80	-	-
10	R6 - G5/GC Paleogén		-	22,00	20,80	-	-
11	Pieskovec R6-R5		-	62,60	22,70	-	-
12	Pieskovec R4-R3		-	250,00	25,00	-	-
13	Pieskovec R3-R1		-	600,00	25,80	-	-
14	Násyp		-	85,00	19,00	-	-
15	Humus		-	2,00	18,50	-	-
16	F6/CI, deluviálny íl		-	4,00	20,50	-	-

Parametre zemín pre výpočet modulu reakcie podložia

Číslo	Názov	Vzorka	β
1	F2/CG, deluviálny íl		5,00
2	F4/CS, deluviálny íl		5,00
3	F2/CG, deluviálna suť		7,00
4	G5/GC, deluviálna suť		7,00
5	R6 - F4/CS Paleogén		6,00
6	R6 - F6/CI Paleogén		6,00
7	R6 - F8/CH Paleogén		6,00
8	Ílovce R5		11,00
9	R6 - S4/SM Paleogén		9,50
10	R6 - G5/GC Paleogén		9,50
11	Pieskovec R6-R5		15,00
12	Pieskovec R4-R3		20,00

Číslo	Názov	Vzorka	β
13	Pieskovec R3-R1		35,00
14	Násyp		10,00
15	Humus		5,00
16	F6/Cl, deluviálny íl		4,50

Parametre zemín
F2/G, deluviálny íl

Objemová tiaž : $\gamma = 20,30 \text{ kN/m}^3$
Uhol vnútorného trenia : $\varphi_{ef} = 19,00^\circ$
Súdržnosť zeminy : $c_{ef} = 0,00 \text{ kPa}$
Poissonovo číslo : $\nu = 0,35$
Modul pretvárnosti : $E_{def} = 7,00 \text{ MPa}$
Obj. tiaž sat.zeminy : $\gamma_{sat} = 20,30 \text{ kN/m}^3$
Uhol roznosu : $\beta = 5,00^\circ$

F4/CS, deluviálny íl

Objemová tiaž : $\gamma = 20,30 \text{ kN/m}^3$
Uhol vnútorného trenia : $\varphi_{ef} = 19,00^\circ$
Súdržnosť zeminy : $c_{ef} = 0,00 \text{ kPa}$
Poissonovo číslo : $\nu = 0,35$
Modul pretvárnosti : $E_{def} = 7,00 \text{ MPa}$
Obj. tiaž sat.zeminy : $\gamma_{sat} = 20,30 \text{ kN/m}^3$
Uhol roznosu : $\beta = 5,00^\circ$

F2/G, deluviálna sut'

Objemová tiaž : $\gamma = 20,00 \text{ kN/m}^3$
Uhol vnútorného trenia : $\varphi_{ef} = 27,00^\circ$
Súdržnosť zeminy : $c_{ef} = 5,00 \text{ kPa}$
Poissonovo číslo : $\nu = 0,35$
Modul pretvárnosti : $E_{def} = 12,00 \text{ MPa}$
Obj. tiaž sat.zeminy : $\gamma_{sat} = 20,00 \text{ kN/m}^3$
Uhol roznosu : $\beta = 7,00^\circ$

G5/GC, deluviálna sut'

Objemová tiaž : $\gamma = 20,00 \text{ kN/m}^3$
Uhol vnútorného trenia : $\varphi_{ef} = 27,00^\circ$
Súdržnosť zeminy : $c_{ef} = 5,00 \text{ kPa}$
Poissonovo číslo : $\nu = 0,30$
Modul pretvárnosti : $E_{def} = 25,00 \text{ MPa}$
Obj. tiaž sat.zeminy : $\gamma_{sat} = 20,00 \text{ kN/m}^3$
Uhol roznosu : $\beta = 7,00^\circ$

R6 - F4/CS Paleogén

Objemová tiaž : $\gamma = 21,30 \text{ kN/m}^3$
Uhol vnútorného trenia : $\varphi_{ef} = 21,00^\circ$
Súdržnosť zeminy : $c_{ef} = 16,00 \text{ kPa}$
Poissonovo číslo : $\nu = 0,35$
Modul pretvárnosti : $E_{def} = 27,00 \text{ MPa}$

Obj. tiaž sat.zeminy : γ_{sat} = 21,30 kN/m³
Uhôl roznosu : β = 6,00 °

R6 - F6/CI Paleogén

Objemová tiaž : γ = 21,30 kN/m³
Uhôl vnútorného trenia : φ_{ef} = 21,00 °
Súdržnosť zeminy : c_{ef} = 16,00 kPa
Poissonovo číslo : ν = 0,35
Modul pretvárnosti : E_{def} = 19,00 MPa
Obj. tiaž sat.zeminy : γ_{sat} = 21,30 kN/m³
Uhôl roznosu : β = 6,00 °

R6 - F8/CH Paleogén

Objemová tiaž : γ = 21,30 kN/m³
Uhôl vnútorného trenia : φ_{ef} = 21,00 °
Súdržnosť zeminy : c_{ef} = 16,00 kPa
Poissonovo číslo : ν = 0,35
Modul pretvárnosti : E_{def} = 11,50 MPa
Obj. tiaž sat.zeminy : γ_{sat} = 21,30 kN/m³
Uhôl roznosu : β = 6,00 °

Ílovce R5

Objemová tiaž : γ = 23,70 kN/m³
Uhôl vnútorného trenia : φ_{ef} = 21,00 °
Súdržnosť zeminy : c_{ef} = 16,00 kPa
Poissonovo číslo : ν = 0,35
Modul pretvárnosti : E_{def} = 52,30 MPa
Obj. tiaž sat.zeminy : γ_{sat} = 23,70 kN/m³
Uhôl roznosu : β = 11,00 °

R6 - S4/SM Paleogén

Objemová tiaž : γ = 20,80 kN/m³
Uhôl vnútorného trenia : φ_{ef} = 28,00 °
Súdržnosť zeminy : c_{ef} = 5,00 kPa
Poissonovo číslo : ν = 0,30
Modul pretvárnosti : E_{def} = 12,00 MPa
Obj. tiaž sat.zeminy : γ_{sat} = 20,80 kN/m³
Uhôl roznosu : β = 9,50 °

R6 - G5/GC Paleogén

Objemová tiaž : γ = 20,80 kN/m³
Uhôl vnútorného trenia : φ_{ef} = 28,00 °
Súdržnosť zeminy : c_{ef} = 5,00 kPa
Poissonovo číslo : ν = 0,30
Modul pretvárnosti : E_{def} = 22,00 MPa
Obj. tiaž sat.zeminy : γ_{sat} = 20,80 kN/m³
Uhôl roznosu : β = 9,50 °

Pieskovec R6-R5

Objemová tiaž : γ = 22,70 kN/m³
Uhôl vnútorného trenia : φ_{ef} = 30,00 °
Súdržnosť zeminy : c_{ef} = 10,00 kPa
Poissonovo číslo : ν = 0,30
Modul pretvárnosti : E_{def} = 62,60 MPa
Obj. tiaž sat.zeminy : γ_{sat} = 22,70 kN/m³
Uhôl roznosu : β = 15,00 °

Pieskovec R4-R3

Objemová tiaž :	γ	=	25,00 kN/m ³
Uhôl vnútorného trenia :	ϕ_{ef}	=	30,00 °
Súdržnosť zeminy :	c_{ef}	=	20,00 kPa
Poissonovo číslo :	ν	=	0,30
Modul pretvárnosti :	E_{def}	=	250,00 MPa
Obj. tiaž sat.zeminy :	γ_{sat}	=	25,00 kN/m ³
Uhôl roznosu :	β	=	20,00 °

Pieskovec R3-R1

Objemová tiaž :	γ	=	25,80 kN/m ³
Uhôl vnútorného trenia :	ϕ_{ef}	=	35,00 °
Súdržnosť zeminy :	c_{ef}	=	60,00 kPa
Poissonovo číslo :	ν	=	0,30
Modul pretvárnosti :	E_{def}	=	600,00 MPa
Obj. tiaž sat.zeminy :	γ_{sat}	=	25,80 kN/m ³
Uhôl roznosu :	β	=	35,00 °

Násyp

Objemová tiaž :	γ	=	19,00 kN/m ³
Uhôl vnútorného trenia :	ϕ_{ef}	=	32,50 °
Súdržnosť zeminy :	c_{ef}	=	0,00 kPa
Poissonovo číslo :	ν	=	0,25
Modul pretvárnosti :	E_{def}	=	85,00 MPa
Obj. tiaž sat.zeminy :	γ_{sat}	=	19,00 kN/m ³
Uhôl roznosu :	β	=	10,00 °

Humus

Objemová tiaž :	γ	=	18,50 kN/m ³
Uhôl vnútorného trenia :	ϕ_{ef}	=	19,00 °
Súdržnosť zeminy :	c_{ef}	=	0,00 kPa
Poissonovo číslo :	ν	=	0,35
Modul pretvárnosti :	E_{def}	=	2,00 MPa
Obj. tiaž sat.zeminy :	γ_{sat}	=	18,50 kN/m ³
Uhôl roznosu :	β	=	5,00 °

F6/Cl, deluviaľny íl

Objemová tiaž :	γ	=	20,50 kN/m ³
Uhôl vnútorného trenia :	ϕ_{ef}	=	17,00 °
Súdržnosť zeminy :	c_{ef}	=	0,00 kPa
Poissonovo číslo :	ν	=	0,40
Modul pretvárnosti :	E_{def}	=	4,00 MPa
Obj. tiaž sat.zeminy :	γ_{sat}	=	20,50 kN/m ³
Uhôl roznosu :	β	=	4,50 °

Geometria

Profil pilóty: kruhová

Rozmery

Priemer $d = 0,80$ m
 Dĺžka $l = 15,00$ m

Spočítané prierezové charakteristiky

Plocha $A = 5,03E-01$ m²
 Moment zotrvačnosti $I = 2,01E-02$ m⁴

Umiestnenie

Vysadenie $h = 0,00$ m
 Hĺbka upraveného terénu $h_z = 1,00$ m

Technológia

Pilóty s ťažbou zeminy z vrtu

Typ pilóty: vŕtané pažené oceľovými výpažnicami

Redukcia odporu na päte = 0,50

Redukcia odporu na plášti = 0,50

Modul reakcie podložia uvažovaný ako konštantný.

Materiál konštrukcie

Objemová tiaž $\gamma = 23,00$ kN/m³

Výpočet betónových konštrukcií vykonaný podľa normy EN 1992-1-1 (EC2).

Betón : C 20/25

Valcová pevnosť v tlaku $f_{ck} = 20,00$ MPa

Pevnosť v ťahu $f_{ctm} = 2,20$ MPa

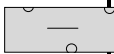
Modul pružnosti $E_{cm} = 30000,00$ MPa

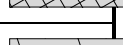
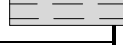
Modul pružnosti v šmyku $G = 12500,00$ MPa

Oceľ pozdĺžna : B500

Medza sklu $f_{yk} = 500,00$ MPa

Geologický profil a priradenie zemín

Číslo	Vrstva [m]	Priradená zemina	Vzorka
1	0,60	Humus	
2	0,40	F4/CS, deluvialny íl	
3	1,00	F6/CI, deluvialny íl	
4	1,90	Pieskovec R3-R1	
5	0,90	R6 - F4/CS Paleogén	
6	1,20	F2/CG, deluvialna sut'	
7	1,70	R6 - F6/CI Paleogén	
8	0,10	R6 - F8/CH Paleogén	
9	0,20	R6 - F8/CH Paleogén	
10	0,80	Pieskovec R3-R1	
11	0,50	Ílovce R5	
12	0,70	Pieskovec R6-R5	
13	0,40	R6 - F4/CS Paleogén	
14	0,40	Ílovce R5	

Číslo	Vrstva [m]	Priradená zemina	Vzorka
15	1,90	Pieskovec R6-R5	
16	2,10	Ílovce R5	
17	0,50	R6 - F6/CI Paleogén	
18	0,30	Pieskovec R3-R1	
19	2,50	Pieskovec R6-R5	
20	0,30	R6 - F6/CI Paleogén	
21	1,60	Ílovce R5	
22	-	Ílovce R5	

Zaťaženie

Číslo	Zaťaženie nové	Zaťaženie zmena	Názov	Typ	N [kN]	M _x [kNm]	M _y [kNm]	H _x [kN]	H _y [kN]
1	Áno		Zatížení č. 1	Návrhové	3442,00	350,00	0,00	0,00	80,00
2	Áno		Zatížení č. 1 provozní	Úžitkové	3129,09	318,18	0,00	0,00	72,73

Hladina podzemnej vody

Hladina podzemnej vody je v hĺbke 8,00 m od pôvodného terénu.

Celkové nastavenie výpočtu

Výpočet zvislej únosnosti : pružinová metóda

Typ výpočtu : výpočet pre odvodnené podmienky

Nastavenie výpočtu fázy

Návrhová situácia : trvalá

Metodika posúdenia : bez redukcie vstupných dát

Posúdenie čís. 1

Vstupné dátá

Maximálne deformácie 25,0 mm

Koef. zväčšenia medzného plášť. trenia vplyvom technológie 1

Hĺbka deformačnej zóny je dopočítaná.

Zaťažovacia krivka

Číslo	Zaťaženie [kN]	Sadnutie [mm]
1	0,00	0,0
2	814,78	1,1
3	1040,57	1,6
4	2018,01	4,7

Číslo	Zaťaženie [kN]	Sadnutie [mm]
5	2424,42	6,5
6	2821,56	8,9
7	3728,80	17,8
8	3849,39	19,4
9	3851,95	19,4
10	3951,18	22,4
11	4014,80	25,0

Pre zaťaženie $Q = 3129,09 \text{ kN}$ je sadnutie pilóty 11,9 mm, hĺbka deformačnej zóny pod päťou je 0,76 m ($0,947 \times D$)

Výpočet pre zaťaženie $F = 814,78 \text{ kN}$

x [m]	Norm. sila [kN]	Rel. norm. [-]	Šmyk [kN]	Rel. šmyk [-]
0,00	814,78	1,00	0,00	0,00
1,50	722,47	0,89	92,30	0,11
3,00	475,48	0,58	339,29	0,42
4,50	466,11	0,57	348,67	0,43
6,00	457,99	0,56	356,79	0,44
7,50	367,63	0,45	447,15	0,55
9,00	291,14	0,36	523,64	0,64
10,50	268,07	0,33	546,71	0,67
12,00	240,57	0,30	574,20	0,70
13,50	215,42	0,26	599,36	0,74
15,00	143,61	0,18	671,16	0,82

Výpočet pre zaťaženie $F = 1040,57 \text{ kN}$

x [m]	Norm. sila [kN]	Rel. norm. [-]	Šmyk [kN]	Rel. šmyk [-]
0,00	1040,57	1,00	0,00	0,00
1,50	948,26	0,91	92,30	0,09
3,00	607,28	0,58	433,29	0,42
4,50	594,34	0,57	446,23	0,43
6,00	583,14	0,56	457,43	0,44
7,50	458,38	0,44	582,18	0,56
9,00	352,75	0,34	687,82	0,66
10,50	320,92	0,31	719,65	0,69
12,00	282,96	0,27	757,61	0,73
13,50	248,24	0,24	792,33	0,76
15,00	149,10	0,14	891,47	0,86

Výpočet pre zaťaženie $F = 2018,01 \text{ kN}$

x [m]	Norm. sila [kN]	Rel. norm. [-]	Šmyk [kN]	Rel. šmyk [-]
0,00	2018,01	1,00	0,00	0,00
1,50	1925,70	0,95	92,30	0,05
3,00	1584,72	0,79	433,29	0,21
4,50	1545,88	0,77	472,12	0,23
6,00	1512,27	0,75	505,74	0,25

x [m]	Norm. sila [kN]	Rel. norm. [-]	Šmyk [kN]	Rel. šmyk [-]
7,50	1137,68	0,56	880,33	0,44
9,00	820,33	0,41	1197,67	0,59
10,50	724,74	0,36	1293,26	0,64
12,00	610,85	0,30	1407,16	0,70
13,50	506,60	0,25	1511,41	0,75
15,00	208,75	0,10	1809,26	0,90

Výpočet pre zaťaženie F = 2424,42 kN

x [m]	Norm. sila [kN]	Rel. norm. [-]	Šmyk [kN]	Rel. šmyk [-]
0,00	2424,42	1,00	0,00	0,00
1,50	2332,11	0,96	92,30	0,04
3,00	1991,13	0,82	433,29	0,18
4,50	1937,88	0,80	486,54	0,20
6,00	1891,81	0,78	532,61	0,22
7,50	1517,22	0,63	907,20	0,37
9,00	1082,59	0,45	1341,83	0,55
10,50	951,64	0,39	1472,78	0,61
12,00	795,47	0,33	1628,95	0,67
13,50	652,55	0,27	1771,87	0,73
15,00	244,53	0,10	2179,89	0,90

Výpočet pre zaťaženie F = 2821,56 kN

x [m]	Norm. sila [kN]	Rel. norm. [-]	Šmyk [kN]	Rel. šmyk [-]
0,00	2821,56	1,00	0,00	0,00
1,50	2729,26	0,97	92,30	0,03
3,00	2388,27	0,85	433,29	0,15
4,50	2315,21	0,82	506,35	0,18
6,00	2251,95	0,80	569,61	0,20
7,50	1877,36	0,67	944,20	0,33
9,00	1442,73	0,51	1378,83	0,49
10,50	1262,87	0,45	1558,69	0,55
12,00	1048,47	0,37	1773,09	0,63
13,50	852,27	0,30	1969,29	0,70
15,00	292,31	0,10	2529,25	0,90

Výpočet pre zaťaženie F = 3728,80 kN

x [m]	Norm. sila [kN]	Rel. norm. [-]	Šmyk [kN]	Rel. šmyk [-]
0,00	3728,80	1,00	0,00	0,00
1,50	3636,50	0,98	92,30	0,02
3,00	3295,51	0,88	433,29	0,12
4,50	3148,03	0,84	580,77	0,16
6,00	3020,32	0,81	708,48	0,19
7,50	2645,73	0,71	1083,07	0,29
9,00	2211,10	0,59	1517,70	0,41
10,50	1848,28	0,50	1880,52	0,50

x [m]	Norm. sila [kN]	Rel. norm. [-]	Šmyk [kN]	Rel. šmyk [-]
12,00	1415,66	0,38	2313,14	0,62
13,50	1019,96	0,27	2708,84	0,73
15,00	460,00	0,12	3268,80	0,88

Výpočet pre zaťaženie F = 3849,39 kN

x [m]	Norm. sila [kN]	Rel. norm. [-]	Šmyk [kN]	Rel. šmyk [-]
0,00	3849,39	1,00	0,00	0,00
1,50	3757,09	0,98	92,30	0,02
3,00	3416,10	0,89	433,29	0,11
4,50	3255,82	0,85	593,57	0,15
6,00	3117,00	0,81	732,39	0,19
7,50	2742,41	0,71	1106,98	0,29
9,00	2307,78	0,60	1541,61	0,40
10,50	1913,46	0,50	1935,93	0,50
12,00	1443,35	0,37	2406,04	0,63
13,50	1047,65	0,27	2801,74	0,73
15,00	487,69	0,13	3361,70	0,87

Výpočet pre zaťaženie F = 3851,95 kN

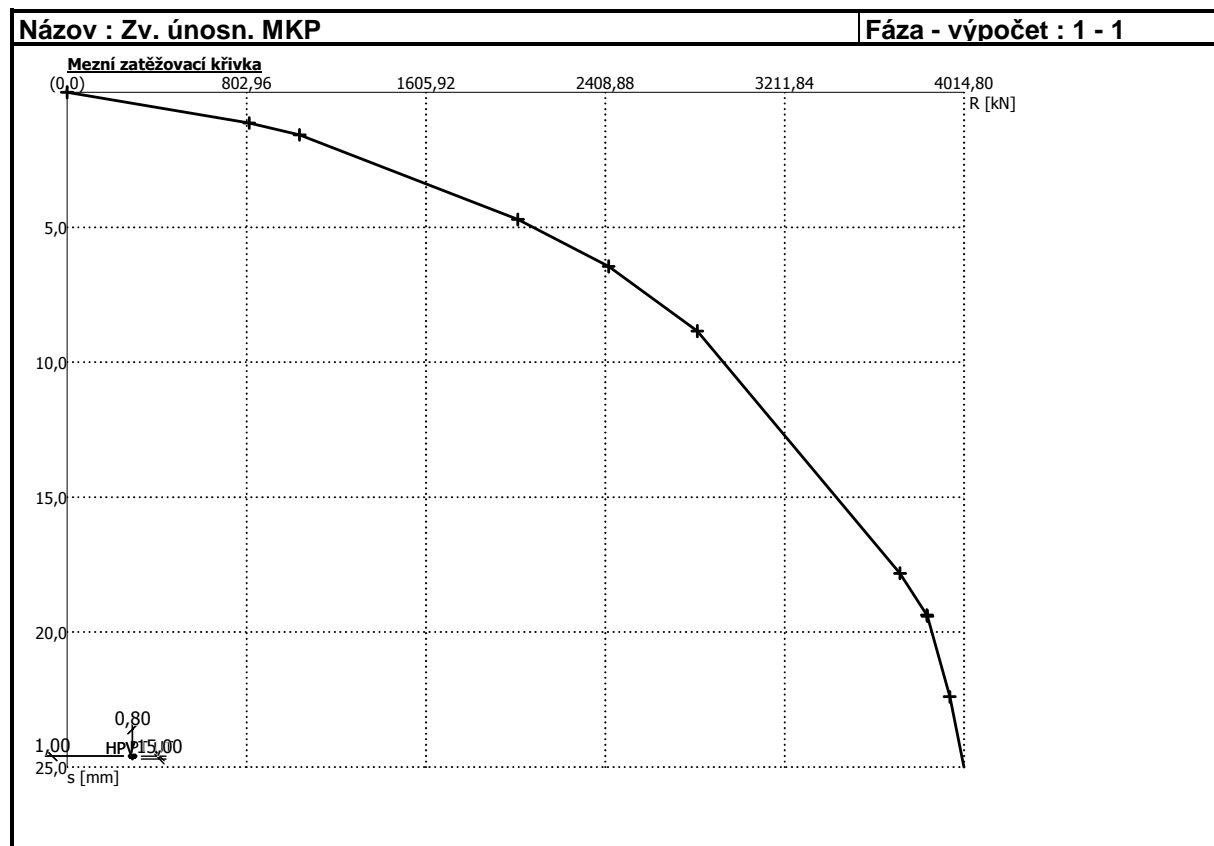
x [m]	Norm. sila [kN]	Rel. norm. [-]	Šmyk [kN]	Rel. šmyk [-]
0,00	3851,95	1,00	0,00	0,00
1,50	3759,64	0,98	92,30	0,02
3,00	3418,66	0,89	433,29	0,11
4,50	3257,98	0,85	593,96	0,15
6,00	3118,82	0,81	733,13	0,19
7,50	2744,23	0,71	1107,72	0,29
9,00	2309,60	0,60	1542,35	0,40
10,50	1914,31	0,50	1937,64	0,50
12,00	1444,20	0,37	2407,75	0,63
13,50	1048,51	0,27	2803,44	0,73
15,00	488,55	0,13	3363,40	0,87

Výpočet pre zaťaženie F = 3951,18 kN

x [m]	Norm. sila [kN]	Rel. norm. [-]	Šmyk [kN]	Rel. šmyk [-]
0,00	3951,18	1,00	0,00	0,00
1,50	3858,88	0,98	92,30	0,02
3,00	3517,89	0,89	433,29	0,11
4,50	3332,46	0,84	618,72	0,16
6,00	3171,85	0,80	779,33	0,20
7,50	2797,26	0,71	1153,92	0,29
9,00	2362,63	0,60	1588,55	0,40
10,50	1967,34	0,50	1983,84	0,50
12,00	1497,23	0,38	2453,96	0,62
13,50	1101,53	0,28	2849,65	0,72
15,00	541,57	0,14	3409,61	0,86

Výpočet pre zaťaženie $F = 4202,68 \text{ kN}$

x [m]	Norm. sila [kN]	Rel. norm. [-]	Šmyk [kN]	Rel. šmyk [-]
0,00	4202,68	1,00	0,00	0,00
1,50	4110,37	0,98	92,30	0,02
3,00	3769,39	0,90	433,29	0,10
4,50	3583,96	0,85	618,72	0,15
6,00	3349,70	0,80	852,98	0,20
7,50	2975,11	0,71	1227,57	0,29
9,00	2540,48	0,60	1662,20	0,40
10,50	2145,19	0,51	2057,49	0,49
12,00	1675,07	0,40	2527,60	0,60
13,50	1279,38	0,30	2923,29	0,70
15,00	719,42	0,17	3483,25	0,83



Posúdenie čís. 1

Vstupné dátá pre výpočet vodorovnej únosnosti pilóty

Výpočet vykonaný s automatickým výberom najnepriaznivejších zaťažovacích stavov.
 Vodorovná únosnosť posúdená v smere maximálneho účinku zaťaženia.

Priebeh vnútorných síl a deformácie pilóty

Priebeh deformácií a vnútorných síl po pilóte - maximálne hodnoty:

Vzdial. [m]	Modul k [MN/m ³]	Deformácia [mm]	Pootoč. [mRad]	Napätie [kPa]	Pos.sila [kN]	Moment [kNm]
0.00	0.00	-2.69	2.08	19.20	-72.73	350.00
0.75	6.48	-1.43	1.61	192.25	-64.81	406.40

Vzdial. [m]	Modul k [MN/m ³]	Deformácia [mm]	Pootoč. [mRad]	Napätie [kPa]	Pos.sila [kN]	Moment [kNm]
1.00	6.48	-1.13	1.44	194.32	-17.71	402.74
1.00	468.67	-1.13	1.44	194.32	-17.71	402.74
1.50	468.67	-0.51	1.10	198.44	76.51	395.42
2.25	468.67	0.09	0.66	-29.36	135.25	304.59
2.90	468.67	0.41	0.38	-57.25	96.42	228.21
2.90	41.83	0.41	0.38	-57.25	96.42	228.21
3.00	41.83	0.46	0.34	-61.54	90.45	216.46
3.75	41.83	0.62	0.11	-20.17	76.61	153.56
3.80	41.83	0.62	0.10	-19.86	75.85	150.01
3.80	18.06	0.62	0.10	-19.86	75.85	150.01
4.50	18.06	0.64	-0.04	-15.54	65.16	100.38
5.00	18.06	0.59	-0.10	-14.23	59.41	70.00
5.00	29.44	0.59	-0.10	-14.23	59.41	70.00
5.25	29.44	0.56	-0.13	-13.57	56.53	54.81
6.00	29.44	0.43	-0.17	-10.47	47.70	15.87
6.70	29.44	0.30	-0.17	-33.69	42.90	-14.09
6.70	17.82	0.30	-0.17	-33.69	42.90	-14.09
6.75	17.82	0.29	-0.17	-35.35	42.56	-16.23
6.80	17.82	0.28	-0.17	-35.55	40.36	-17.35
6.80	17.82	0.28	-0.17	-35.55	40.36	-17.35
7.00	17.82	0.25	-0.16	-36.34	31.58	-21.81
7.00	468.67	0.25	-0.16	-36.34	31.58	-21.81
7.50	468.67	0.16	-0.14	-38.31	9.63	-32.97
7.80	468.67	0.13	-0.12	-27.33	2.57	-32.73
7.80	70.61	0.13	-0.12	-27.33	2.57	-32.73
8.25	70.61	0.07	-0.09	-10.86	-8.03	-32.37
8.30	70.61	0.07	-0.09	-10.16	-8.12	-31.92
8.30	76.42	0.07	-0.09	-10.16	-8.12	-31.92
9.00	76.42	0.01	-0.06	-0.45	-9.47	-25.65
9.00	41.83	0.01	-0.06	-0.45	-9.47	-25.65
9.40	41.83	-0.01	-0.04	0.76	-9.28	-21.90
9.40	70.61	-0.01	-0.04	0.76	-9.28	-21.90
9.75	70.61	-0.03	-0.03	1.82	-9.10	-18.62
9.80	70.61	-0.03	-0.03	1.93	-9.00	-18.20
9.80	76.42	-0.03	-0.03	1.93	-9.00	-18.20
10.50	76.42	-0.04	-0.01	3.35	-7.59	-12.32
11.25	76.42	-0.04	0.00	3.64	-5.61	-7.36
11.70	76.42	-0.04	0.01	3.38	-4.48	-5.26
11.70	70.61	-0.04	0.01	3.38	-4.48	-5.26
12.00	70.61	-0.04	0.01	3.22	-3.73	-3.87
12.75	70.61	-0.03	0.01	2.59	-2.15	-1.68
13.50	70.61	-0.02	0.01	1.63	-0.92	-0.55
13.80	70.61	-0.02	0.01	1.32	-0.68	-0.37
13.80	29.44	-0.02	0.01	1.32	-0.68	-0.37
14.25	29.44	-0.02	0.01	0.85	-0.33	-0.10
14.30	29.44	-0.01	0.01	0.82	-0.30	-0.10
14.30	468.67	-0.01	0.01	0.82	-0.30	-0.10
14.60	468.67	-0.01	0.01	0.60	-0.17	-0.06

Vzdial. [m]	Modul k [MN/m ³]	Deformácia [mm]	Pootoč. [mRad]	Napätie [kPa]	Pos.sila [kN]	Moment [kNm]
14.60	76.42	-0.01	0.01	0.60	-0.17	-0.06
15.00	76.42	-0.01	0.01	0.32	-0.00	0.00

Priebeh deformácií a vnútorných síl po pilóte - minimálne hodnoty:

Vzdial. [m]	Modul k [MN/m ³]	Deformácia [mm]	Pootoč. [mRad]	Napätie [kPa]	Pos.sila [kN]	Moment [kNm]
0.00	0.00	-2.96	1.89	17.45	-80.00	318.18
0.75	6.48	-1.58	1.46	174.78	-71.29	369.45
1.00	6.48	-1.24	1.31	176.65	-24.35	366.12
1.00	468.67	-1.24	1.31	176.65	-24.35	366.12
1.50	468.67	-0.56	1.00	180.40	69.55	359.47
2.25	468.67	0.08	0.60	-32.30	122.95	276.90
2.90	468.67	0.37	0.35	-62.98	87.65	207.46
2.90	41.83	0.37	0.35	-62.98	87.65	207.46
3.00	41.83	0.41	0.31	-67.70	82.22	196.78
3.75	41.83	0.56	0.10	-22.19	69.64	139.60
3.80	41.83	0.56	0.09	-21.85	68.95	136.38
3.80	18.06	0.56	0.09	-21.85	68.95	136.38
4.50	18.06	0.58	-0.05	-17.10	59.23	91.25
5.00	18.06	0.53	-0.11	-15.65	54.01	63.64
5.00	29.44	0.53	-0.11	-15.65	54.01	63.64
5.25	29.44	0.51	-0.14	-14.92	51.39	49.83
6.00	29.44	0.39	-0.19	-11.51	43.36	14.42
6.70	29.44	0.27	-0.19	-37.06	39.00	-15.70
6.70	17.82	0.27	-0.19	-37.06	39.00	-15.70
6.75	17.82	0.26	-0.19	-38.89	38.69	-17.85
6.80	17.82	0.26	-0.18	-39.10	36.69	-19.08
6.80	17.82	0.26	-0.18	-39.10	36.69	-19.08
7.00	17.82	0.23	-0.17	-39.97	28.71	-23.99
7.00	468.67	0.23	-0.17	-39.97	28.71	-23.99
7.50	468.67	0.15	-0.15	-42.15	8.75	-36.26
7.80	468.67	0.11	-0.13	-30.06	1.72	-36.00
7.80	70.61	0.11	-0.13	-30.06	1.72	-36.00
8.25	70.61	0.06	-0.10	-11.94	-8.83	-35.61
8.30	70.61	0.06	-0.10	-11.18	-8.94	-35.11
8.30	76.42	0.06	-0.10	-11.18	-8.94	-35.11
9.00	76.42	0.01	-0.06	-0.49	-10.42	-28.22
9.00	41.83	0.01	-0.06	-0.49	-10.42	-28.22
9.40	41.83	-0.01	-0.05	0.65	-10.20	-24.09
9.40	70.61	-0.01	-0.05	0.65	-10.20	-24.09
9.75	70.61	-0.03	-0.03	1.66	-10.01	-20.48
9.80	70.61	-0.03	-0.03	1.75	-9.90	-20.02
9.80	76.42	-0.03	-0.03	1.75	-9.90	-20.02
10.50	76.42	-0.04	-0.01	3.05	-8.35	-13.55
11.25	76.42	-0.05	0.00	3.31	-6.17	-8.09
11.70	76.42	-0.05	0.01	3.08	-4.93	-5.79
11.70	70.61	-0.05	0.01	3.08	-4.93	-5.79
12.00	70.61	-0.04	0.01	2.92	-4.10	-4.25
12.75	70.61	-0.04	0.01	2.36	-2.36	-1.85

Vzdial. [m]	Modul k [MN/m ³]	Deformácia [mm]	Pootoč. [mRad]	Napätie [kPa]	Pos.sila [kN]	Moment [kNm]
13.50	70.61	-0.03	0.01	1.48	-1.01	-0.61
13.80	70.61	-0.02	0.01	1.20	-0.75	-0.41
13.80	29.44	-0.02	0.01	1.20	-0.75	-0.41
14.25	29.44	-0.02	0.01	0.78	-0.36	-0.11
14.30	29.44	-0.02	0.01	0.74	-0.34	-0.11
14.30	468.67	-0.02	0.01	0.74	-0.34	-0.11
14.60	468.67	-0.01	0.01	0.55	-0.19	-0.06
14.60	76.42	-0.01	0.01	0.55	-0.19	-0.06
15.00	76.42	-0.01	0.01	0.29	-0.00	0.00

Maximálne vnútorné sily a deformácie:

Max.deformácia pilóty = 3,0 mm

Max.posúvajúca sila = 135,25 kN

Maximálny moment = 406,40 kNm

Posúdenie na tlak a ohyb

Vystuženie - 6 ks profil 30,0 mm; krytie 40,0 mm

Typ konštrukcie (stupne vystuženia) : pilota

Stupeň vystuženia $\rho = 0,844\% > 0,499\% = \rho_{min}$

Zaťaženie : $N_{Ed} = -3442,00$ kN (tlak) ; $M_{Ed} = 406,40$ kNm

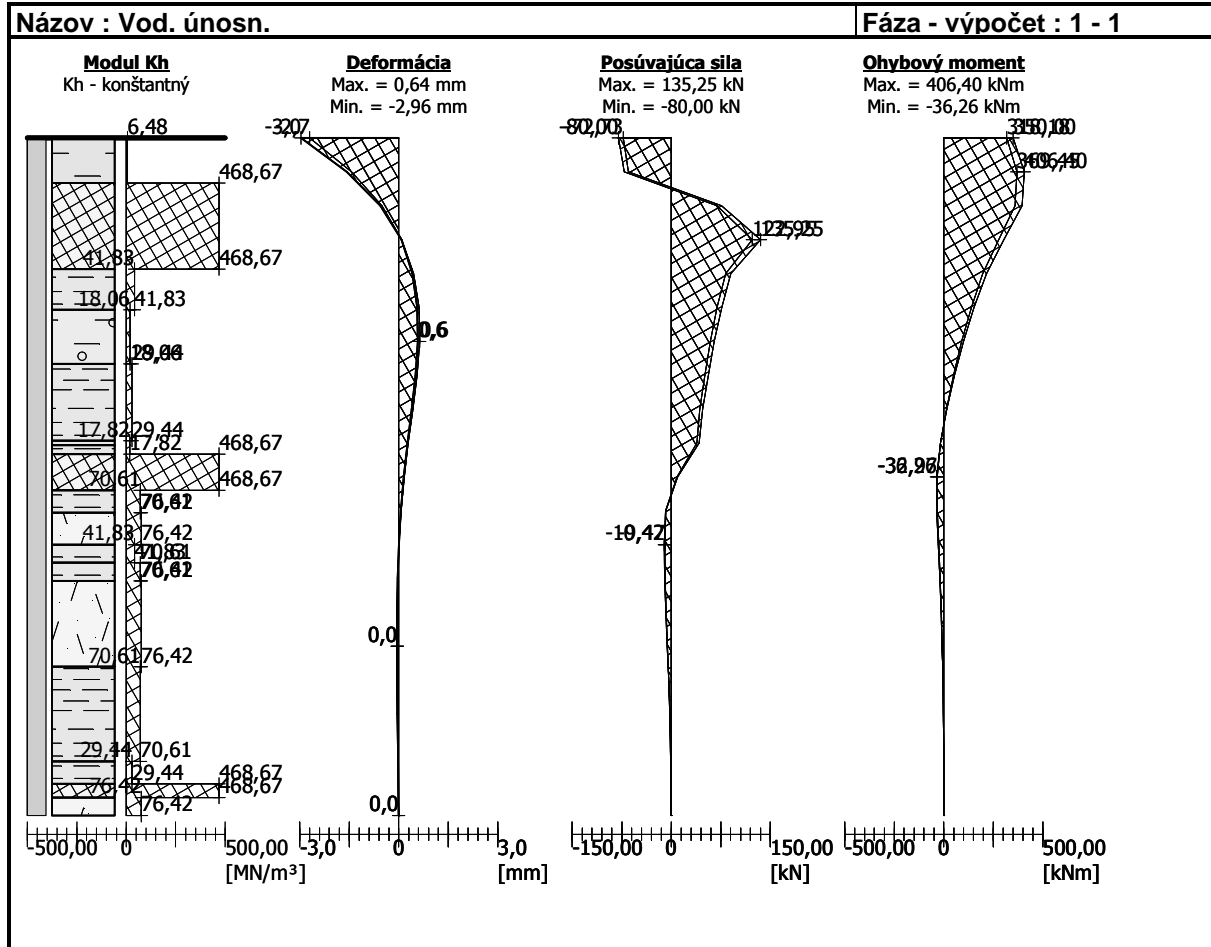
Únosnosť : $N_{Rd} = -5325,10$ kN; $M_{Rd} = 628,74$ kNm

Navrhnutá výstuž pilóty VYHOVUJE

Posúdenie na šmyk

Posúvajúca sila na hranici únosnosti: $V_{Rd} = 329,63$ kN > 135,25 kN = V_{Ed}

Prierez VYHOVUJE.



13. POSÚDENIE SPODNEJ STAVBY

13.1 Posúdenie základových päťiek

MSU	Podpera	Smer	Oblast'	Prierez		Príslušné napäcia		Výška tāh.	NEd	Potrebnej plocha výstuže	Počet vrstiev	Vrstva		Dĺžka vrstvy		Posudok
				b (m)	h (m)	+σ (MPa)	-σ (MPa)					n (ks)	1. (m)	2. (m)	1. (m)	2. (m)
3	σ-xx	A	σd	0,9		3,251	-1,998	1,115	1812	9028	2410	1	á100mm	-	-	VYHOUVE
		B	σd	1,1	1	1,8	-8	0,559	1006	10025	2135	1	á100mm	-	-	VYHOUVE
		C	σd	1,1		3,3	-5	0,716	1181	10025	2135	1	á100mm	-	-	VYHOUVE
	σ-yy	σd	1	1	1,8	3,4	-3,2	0,927	1576	10025	2135	1	á100mm	-	-	VYHOUVE
		σd	1	1	1,8	2,1	-1,5	1,050	1103	10025	2135	1	á100mm	-	-	VYHOUVE
		σ-xx,min	-8,1	Mpa	≤	σ-xx,cd	17	Mpa								VYHOUVE
		σ-yy,min	-8,3	MPa	≤	σ-yy,cd	17	MPa								VYHOUVE

Obmedzenie napäti	Podpera	Smer	Oblast'	Prierez		Príslušné napäcia		Výška tāh.	NEd	Potrebnej plocha výstuže	Počet vrstiev	Vrstva		Dĺžka vrstvy		Posudok		
				b (m)	h (m)	+σ (MPa)	-σ (MPa)					n (ks)	1. (m)	2. (m)	1. (m)	2. (m)		
3	σ-xx	A	σd	0,9		2,1	-1,2	1,145	1203	9028	2216	1	1	á100mm	-	-	VYHOUVE	
		B	σd	1,1	1	1,8	2,4	-3	0,800	960	10025	1963	1	1	á100mm	-	-	VYHOUVE
		C	σd	1,1		2	-2,5	0,800	800	10025	1963	1	1	á100mm	-	-	VYHOUVE	
	σ-yy	σd	1	1	1,8	2,4	-2,3	0,919	1103	10025	1963	1	1	á100mm	-	-	VYHOUVE	
		σd	1	1	1,8	1,6	-1,1	1,067	853	10025	1963	1	1	á100mm	-	-	VYHOUVE	
		σ-xx,min	8,6	Mpa	≤	σ-xx,cd	17	Mpa								VYHOUVE		
		σ-yy,min	-8,6	MPa	≤	σ-yy,cd	17	MPa								VYHOUVE		

MSU	Podpera	Smer	Oblast'	Prierez		Príslušné napäcia		Výška tāh.	NEd	Potrebnej plocha výstuže	Počet vrstiev	Vrstva		Dĺžka vrstvy		Posudok	
				b (m)	h (m)	+σ (MPa)	-σ (MPa)					n (ks)	1. (m)	2. (m)	1. (m)	2. (m)	
5	σ-xx	A	σd	0,9		3,4	-1,8	1,177	2001	9028	2410	1	á100mm	-	-	VYHOUVE	
		B	σd	1,1	1	1,8	3,8	-9	0,534	1015	10025	2135	1	á100mm	-	-	VYHOUVE
		C	σd	1,1		3,5	-5,5	0,700	1225	10025	2135	1	á100mm	-	-	VYHOUVE	
	σ-yy	σd	1	1	1,8	3,35	-1,5	1,243	2083	10025	2135	1	á100mm	-	-	VYHOUVE	
		σd	1	1	1,8	1,6	-0,7	1,252	1002	10025	2135	1	á100mm	-	-	VYHOUVE	
		σ-xx,min	8,6	Mpa	≤	σ-xx,cd	17	Mpa								VYHOUVE	
		σ-yy,min	-8,6	MPa	≤	σ-yy,cd	17	MPa								VYHOUVE	

Obmedzenie napäti	Podpera	Smer	Oblast'	Prierez		Príslušné napäcia		Výška tāh.	NEd	Potrebnej plocha výstuže	Počet vrstiev	Vrstva		Dĺžka vrstvy		Posudok		
				b (m)	h (m)	+σ (MPa)	-σ (MPa)					n (ks)	1. (m)	2. (m)	1. (m)	2. (m)		
5	σ-xx	A	σd	0,9		2,1	-1,2	1,145	1203	9028	2216	1	1	á100mm	-	-	VYHOUVE	
		B	σd	1,1	1	1,8	2,5	-3	0,818	1023	10025	1963	1	1	á100mm	-	-	VYHOUVE
		C	σd	1,1		2,2	-2,6	0,825	908	10025	1963	1	1	á100mm	-	-	VYHOUVE	
	σ-yy	σd	1	1	1,8	2,5	-1,2	1,216	1520	10025	1963	1	1	á100mm	-	-	VYHOUVE	
		σd	1	1	1,8	1,4	-0,5	1,326	928	10025	1963	1	1	á100mm	-	-	VYHOUVE	
		σ-xx,min	-14	Mpa	≤	σ-xx,cd	17	Mpa								VYHOUVE		
		σ-yy,min	-9,6	MPa	≤	σ-yy,cd	17	MPa								VYHOUVE		

MSU	Podpera	Smer	Oblast'	Prierez		Príslušné napäcia		Výška tāh.	NEd	Potrebnej plocha výstuže	Počet vrstiev	Vrstva		Dĺžka vrstvy		Posudok	
				b (m)	h (m)	+σ (MPa)	-σ (MPa)					n (ks)	1. (m)	2. (m)	1. (m)	2. (m)	
7	σ-xx	A	σd	0,9		4,55	-2,13	1,226	2789	9032	3148	1	á100mm	-	-	VYHOUVE	
		B	σd	1,1	1	1,8	4,7	-9	0,618	1451	10025	2135	1	á100mm	-	-	VYHOUVE
		C	σd	1,1		3,7	-2,7	1,041	1925	10025	2135	1	á100mm	-	-	VYHOUVE	
	σ-yy	σd	1	1	1,8	2,5	-1,4	1,154	1442	10025	2135	1	á100mm	-	-	VYHOUVE	
		σd	1	1	1,8	3,8	-5,5	0,735	1397	10025	2135	1	á100mm	-	-	VYHOUVE	
		σ-xx,min	-14	Mpa	≤	σ-xx,cd	17	Mpa								VYHOUVE	
		σ-yy,min	-9,6	MPa	≤	σ-yy,cd	17	MPa								VYHOUVE	

MSU	Podpera	Smer	Oblast'	Prierez		Príslušné napäťia		Výška tāh.	Potrebnej plocha výstuže			Počet vrstiev		Vrstva		Dĺžka vrstvy		Posudok	
				(č)	UCS	b (m)	h (m)		NEd (kN)	As.potr. (mm²/m)	NRd (kN)	n (ks)	1. -	2. -	1. (m)	2. (m)			
9	σ-xx	A	od	0,9		4,8	-2,2	1,234	2962	9032	3148	1	á100mm	-	-	-	VYHOUVE		
		B	od	1,1	1	1,8	4,9	-9	0,635	1555	10025	2135	1	á100mm	-	-	-	VYHOUVE	
		C	od	1,1		3,8	-2,3	1,121	2130	10025	2135	1	á100mm	-	-	-	VYHOUVE		
	σ-yy	od	1	1	1,8	1,4	-0,6	1,260	882	10025	2135	1	á100mm	-	-	-	VYHOUVE		
		od	1	1	1,8	3,4	-5	0,729	1239	10025	2135	1	á100mm	-	-	-	VYHOUVE		
9 σ-xx,min					Mpa	≤	σ-xx,cd	17	MPa	VYHOUVE			VYHOUVE						
9 σ-yy,min					MPa	≤	σ-yy,cd	17	MPa	VYHOUVE			VYHOUVE						
Obmedzenie napäti	σ-xx	A	od	0,9		3,285	-1,526	1,229	2019	9032	2895	1	1	á100mm	-	-	VYHOUVE		
		B	od	1,1	1	1,8	3	-9	0,450	675	10025	1963	1	1	á100mm	-	-	VYHOUVE	
		C	od	1,1		2,6	-1,6	1,114	1449	10025	1963	1	1	á100mm	-	-	VYHOUVE		
	σ-yy	od	1	1	1,8	1,23	-0,6	1,210	744	10025	1963	1	1	á100mm	-	-	VYHOUVE		
		od	1	1	1,8	1	-0,4	1,286	643	10025	1963	1	1	á100mm	-	-	VYHOUVE		
9 σ-xx,min					Mpa	≤	σ-xx,cd	17	MPa	VYHOUVE			VYHOUVE						
9 σ-yy,min					MPa	≤	σ-yy,cd	17	MPa	VYHOUVE			VYHOUVE						
MSU	σ-xx	A	od	0,9		3,3	-2	1,121	1849	9028	2410	1	1	á100mm	-	-	VYHOUVE		
		B	od	1,1	1	1,8	2,8	-6	0,573	802	10025	2135	1	1	á100mm	-	-	VYHOUVE	
		C	od	1,1		3,5	-5	0,741	1297	10025	2135	1	1	á100mm	-	-	VYHOUVE		
	σ-yy	od	1	1	1,8	2	-0,7	1,333	1333	10025	2135	1	1	á100mm	-	-	VYHOUVE		
		od	1	1	1,8	1,8	-0,7	1,296	1166	10025	2135	1	1	á100mm	-	-	VYHOUVE		
11 σ-xx,min					Mpa	≤	σ-xx,cd	17	MPa	VYHOUVE			VYHOUVE						
11 σ-yy,min					MPa	≤	σ-yy,cd	17	MPa	VYHOUVE			VYHOUVE						
Obmedzenie napäti	σ-xx	A	od	0,9		2,1	-1,2	1,145	1203	9028	2217	1	1	á100mm	-	-	VYHOUVE		
		B	od	1,1	1	1,8	2,32	-3	0,785	911	10025	1963	1	1	á100mm	-	-	VYHOUVE	
		C	od	1,1		2,1	-2,5	0,822	863	10025	1963	1	1	á100mm	-	-	VYHOUVE		
	σ-yy	od	1	1	1,8	1,4	-0,6	1,260	882	10025	1963	1	1	á100mm	-	-	VYHOUVE		
		od	1	1	1,8	2,5	-2,3	0,938	1172	10025	1963	1	1	á100mm	-	-	VYHOUVE		
11 σ-xx,min					Mpa	≤	σ-xx,cd	17	MPa	VYHOUVE			VYHOUVE						
11 σ-yy,min					MPa	≤	σ-yy,cd	17	MPa	VYHOUVE			VYHOUVE						
MSU	σ-xx	A	od	0,9		3,3	-1,9	1,142	1885	9025	1922	1	1	á100mm	-	-	VYHOUVE		
		B	od	1,1	1	1,8	3,6	-3	0,982	1767	10025	2135	1	1	á100mm	-	-	VYHOUVE	
		C	od	1,1		3,4	-5	0,729	1239	10025	2135	1	1	á100mm	-	-	VYHOUVE		
	σ-yy	od	1	1	1,8	1,9	-0,8	1,267	1203	10025	2135	1	1	á100mm	-	-	VYHOUVE		
		od	1	1	1,8	2,1	-0,9	1,260	1323	10025	2135	1	1	á100mm	-	-	VYHOUVE		
13 σ-xx,min					Mpa	≤	σ-xx,cd	17	MPa	VYHOUVE			VYHOUVE						
13 σ-yy,min					MPa	≤	σ-yy,cd	17	MPa	VYHOUVE			VYHOUVE						
Obmedzenie napäti	σ-xx	A	od	0,9		2,1	-1,2	1,145	1203	9025	1767	1	1	á100mm	-	-	VYHOUVE		
		B	od	1,1	1	1,8	2,3	-3,9	0,668	768	10025	1963	1	1	á100mm	-	-	VYHOUVE	
		C	od	1,1		2,1	-2,5	0,822	863	10025	1963	1	1	á100mm	-	-	VYHOUVE		
	σ-yy	od	1	1	1,8	1,6	-1,1	1,067	853	10025	1963	1	1	á100mm	-	-	VYHOUVE		
		od	1	1	1,8	1,2	-0,5	1,271	762	10025	1963	1	1	á100mm	-	-	VYHOUVE		
13 σ-xx,min					Mpa	≤	σ-xx,cd	17	MPa	VYHOUVE			VYHOUVE						
13 σ-yy,min					MPa	≤	σ-yy,cd	17	MPa	VYHOUVE			VYHOUVE						

MSU	Podpera	Smer	Oblast'	Prierez			Príslušné napäťia		Výška tāh.	NEd (kN)	Potrebná plocha výstuže		Počet vrstiev		Vrstva		Dĺžka vrstvy		Posudok			
				(č)	b (m)	h (m)	+σ (MPa)	-σ (MPa)			As.potr. (mm²/m)	Nrd (kN)	n (ks)	1. -	2. -	1. (m)	2. (m)					
15	σ-xx	A	ord	0,9			3,6	-2	1,157	2083	9028	2410	1	á100mm	-	-	-	VYHOUVE				
		B	ord	1,1	1	1,8	4,8	-11	0,547	1312	10025	2135	1	á100mm	-	-	-	VYHOUVE				
		C	ord	1,1			4,3	-7,9	0,634	1364	10025	2135	1	á100mm	-	-	-	VYHOUVE				
	σ-yy	ord	1	1	1,8		2,6	-1,2	1,232	1601	10025	2135	1	á100mm	-	-	-	VYHOUVE				
		ord	1	1	1,8		2	-0,9	1,241	1241	10025	2135	1	á100mm	-	-	-	VYHOUVE				
		15	σ-xx,min	-14,3	Mpa	≤	σ-xx,cd	17	Mpa						VYHOUVE							
		15	σ-yy,min	-13,6	Mpa	≤	σ-yy,cd	17	Mpa						VYHOUVE							
Obmedzenie napätií	15	Podpera	Smer	Oblast'	Prierez			Príslušné napäťia		Výška tāh.	NEd (kN)	Potrebná plocha výstuže		Počet vrstiev		Vrstva		Dĺžka vrstvy		Posudok		
					(č)	b (m)	h (m)	+σ (MPa)	-σ (MPa)			As.potr. (mm²/m)	Nrd (kN)	n (ks)	1. -	2. -	1. (m)	2. (m)				
					A	ord	0,9					9028	2217	1	1	1	á100mm	-	-	VYHOUVE		
					σ-xx	B	ord	1,1	1	1,8	2,2	-1,2	1,165	1281								
					C	ord	1,1			2,41	-3,3	0,760	915	10025	1963	1	1	á100mm	-	-	VYHOUVE	
					σ-yy	ord	1	1	1,8	2,2	-2,7	0,808	889	10025	1963	1	1	á100mm	-	-	VYHOUVE	
		15	σ-xx,min	-3,6	Mpa	≤	σ-xx,cd	17	Mpa						VYHOUVE							
		15	σ-yy,min	-4,3	Mpa	≤	σ-yy,cd	17	Mpa						VYHOUVE							
MSU	17	Podpera	Smer	Oblast'	Prierez			Príslušné napäťia		Výška tāh.	NEd (kN)	Potrebná plocha výstuže		Počet vrstiev		Vrstva		Dĺžka vrstvy		Posudok		
					(č)	b (m)	h (m)	+σ (MPa)	-σ (MPa)			As.potr. (mm²/m)	Nrd (kN)	n (ks)	1. -	2. -	1. (m)	2. (m)				
					A	ord	0,9					9028	2410	1	á100mm	-	-	-	VYHOUVE			
					σ-xx	B	ord	1,1	1	1,8	3,4	-1,9	1,155	1963								
					C	ord	1,1			3,9	-9	0,544	1061	10025	2135	1	á100mm	-	-	VYHOUVE		
					σ-yy	ord	1	1	1,8	3,7	-6	0,687	1270	10025	2135	1	á100mm	-	-	VYHOUVE		
		17	σ-xx,min	-10,4	Mpa	≤	σ-xx,cd	17	Mpa						VYHOUVE							
		17	σ-yy,min	-9,6	Mpa	≤	σ-yy,cd	17	Mpa						VYHOUVE							
Obmedzenie napätií	17	Podpera	Smer	Oblast'	Prierez			Príslušné napäťia		Výška tāh.	NEd (kN)	Potrebná plocha výstuže		Počet vrstiev		Vrstva		Dĺžka vrstvy		Posudok		
					(č)	b (m)	h (m)	+σ (MPa)	-σ (MPa)			As.potr. (mm²/m)	Nrd (kN)	n (ks)	1. -	2. -	1. (m)	2. (m)				
					A	ord	0,9					9028	2217	1	1	1	á100mm	-	-	VYHOUVE		
					σ-xx	B	ord	1,1	1	1,8	2,2	-1,2	1,125	1125								
					C	ord	1,1			2,23	-3,4	0,713	795	10025	1963	1	1	á100mm	-	-	VYHOUVE	
					σ-yy	ord	1	1	1,8	2,1	-2,5	0,822	863	10025	1963	1	1	á100mm	-	-	VYHOUVE	
		17	σ-xx,min	-3,31	Mpa	≤	σ-xx,cd	17	Mpa						VYHOUVE							
		17	σ-yy,min	-3,9	Mpa	≤	σ-yy,cd	17	Mpa						VYHOUVE							
MSU	4	Podpera	Smer	Oblast'	Prierez			Príslušné napäťia		Výška tāh.	NEd (kN)	Potrebná plocha výstuže		Počet vrstiev		Vrstva		Dĺžka vrstvy		Posudok		
					(č)	b (m)	h (m)	+σ (MPa)	-σ (MPa)			As.potr. (mm²/m)	Nrd (kN)	n (ks)	1. -	2. -	1. (m)	2. (m)				
					A	ord	0,9					9028	2410	1	á100mm	-	-	-	VYHOUVE			
					σ-xx	B	ord	1,1	1	1,8	4,1	-5,8	0,745	1528	10025	2135	1	á100mm	-	-	VYHOUVE	
					C	ord	1,1			3,8	-5	0,777	1477	10025	2135	1	á100mm	-	-	VYHOUVE		
					σ-yy	ord	1	1	1,8	2,1	-0,9	1,260	1323	10025	2135	1	á100mm	-	-	VYHOUVE		
		4	σ-xx,min	-10,5	Mpa	≤	σ-xx,cd	17	Mpa						VYHOUVE							
		4	σ-yy,min	-9,3	Mpa	≤	σ-yy,cd	17	Mpa						VYHOUVE							
Obmedzenie napätií	4	Podpera	Smer	Oblast'	Prierez			Príslušné napäťia		Výška tāh.	NEd (kN)	Potrebná plocha výstuže		Počet vrstiev		Vrstva		Dĺžka vrstvy		Posudok		
					(č)	b (m)	h (m)	+σ (MPa)	-σ (MPa)			As.potr. (mm²/m)	Nrd (kN)	n (ks)	1. -	2. -	1. (m)	2. (m)				
					A	ord	0,9					9028	2217	1	1	1	á100mm	-	-	VYHOUVE		
					σ-xx	B	ord	1,1	1	1,8	2,2	-1,3	1,131	1245								
					C	ord	1,1			2,5	-1,9	1,023	1278	10025	1963	1	1	á100mm	-	-	VYHOUVE	
					σ-yy	ord	1	1	1,8	2,3	-2,8	0,812	934	10025	1963	1	1	á100mm	-	-	VYHOUVE	
		4	σ-xx,min	-2,7	Mpa	≤	σ-xx,cd	17	Mpa						VYHOUVE							
		4	σ-yy,min	-3,6	Mpa	≤	σ-yy,cd	17	Mpa						VYHOUVE							

MSU	Podpera	Smer	Oblast'	Prierez			Príslušné napäťia	Výška tāh.	Potrebnej plocha výstuže			Počet vrstiev	Vrstva	Dĺžka vrstvy	Posudok		
				b (m)	h (m)	+σ (MPa)			d (m)	NEd (kN)	As.potr. (mm²/m)						
6	σ-xx	A	ord	0,9		3,8	-2,3	1,121	2130	9028	2410	1	á100mm	-	-	VYHOUVE	
		B	ord	1,1	1	1,8	4,4	-10	0,550	1210	10025	2135	1	á100mm	-	-	VYHOUVE
		C	ord	1,1		3,8	-6,5	0,664	1262	10025	2135	1	á100mm	-	-	VYHOUVE	
	σ-yy	ord	1	1	1,8	3,7	-3,5	0,925	1711	10025	2135	1	á100mm	-	-	VYHOUVE	
		ord	1		2,4	2,4	-0,9	1,309	1571	10025	2135	1	á100mm	-	-	VYHOUVE	
6 σ-xx,min				-10,4	Mpa	≤	σ-xx,cd	17	Mpa	VYHOUVE			VYHOUVE				
6 σ-yy,min				-10	MPa	≤	σ-yy,cd	17	MPa	VYHOUVE			VYHOUVE				

Obmedzenie napäťi	Podpera	Smer	Oblast'	Prierez			Príslušné napäťia	Výška tāh.	Potrebnej plocha výstuže			Počet vrstiev	Vrstva	Dĺžka vrstvy	Posudok		
				b (m)	h (m)	+σ (MPa)			d (m)	NEd (kN)	As.potr. (mm²/m)						
6	σ-xx	A	ord	0,9		2,2	-1,2	1,165	1281	9028	2217	1	á100mm	-	-	VYHOUVE	
		B	ord	1,1	1	1,8	2,5	-3	0,818	1023	10025	1963	1	á100mm	-	-	VYHOUVE
		C	ord	1,1		2,3	-2,7	0,828	952	10025	1963	1	á100mm	-	-	VYHOUVE	
	σ-yy	ord	1	1	1,8	2,4	-2,1	0,960	1152	10025	1963	1	á100mm	-	-	VYHOUVE	
		ord	1		1,5	2,4	-0,5	1,350	1013	10025	1963	1	á100mm	-	-	VYHOUVE	
6 σ-xx,min				-6,7	Mpa	≤	σ-xx,cd	17	Mpa	VYHOUVE			VYHOUVE				
6 σ-yy,min				-4,4	MPa	≤	σ-yy,cd	17	MPa	VYHOUVE			VYHOUVE				

MSU	Podpera	Smer	Oblast'	Prierez			Príslušné napäťia	Výška tāh.	Potrebnej plocha výstuže			Počet vrstiev	Vrstva	Dĺžka vrstvy	Posudok		
				b (m)	h (m)	+σ (MPa)			d (m)	NEd (kN)	As.potr. (mm²/m)						
8	σ-xx	A	ord	0,9		3,7	-1,8	1,211	2240	5028+4032	2738	1	á100mm	-	-	VYHOUVE	
		B	ord	1,1	1	1,8	4,7	-4	0,972	2285	10025	2135	1	á100mm	-	-	VYHOUVE
		C	ord	1,1		4,3	-7	0,685	1473	10025	2135	1	á100mm	-	-	VYHOUVE	
	σ-yy	ord	1	1	1,8	3,7	-3,5	0,925	1711	10025	2135	1	á100mm	-	-	VYHOUVE	
		ord	1		2,5	2,5	-1,7	1,071	1339	10025	2135	1	á100mm	-	-	VYHOUVE	
8 σ-xx,min				-11,8	Mpa	≤	σ-xx,cd	17	Mpa	VYHOUVE			VYHOUVE				
8 σ-yy,min				-10,9	MPa	≤	σ-yy,cd	17	MPa	VYHOUVE			VYHOUVE				

Obmedzenie napäťi	Podpera	Smer	Oblast'	Prierez			Príslušné napäťia	Výška tāh.	Potrebnej plocha výstuže			Počet vrstiev	Vrstva	Dĺžka vrstvy	Posudok		
				b (m)	h (m)	+σ (MPa)			d (m)	NEd (kN)	As.potr. (mm²/m)						
8	σ-xx	A	ord	0,9		2,2	-1,3	1,131	1245	5028+4032	2518	1	á100mm	-	-	VYHOUVE	
		B	ord	1,1	1	1,8	2,4	-1,8	1,029	1234	10025	1963	1	á100mm	-	-	VYHOUVE
		C	ord	1,1		2,4	-2,9	0,815	978	10025	1963	1	á100mm	-	-	VYHOUVE	
	σ-yy	ord	1	1	1,8	2,5	-2,3	0,938	1172	10025	1963	1	á100mm	-	-	VYHOUVE	
		ord	1		1,6	2,5	-1,1	1,067	853	10025	1963	1	á100mm	-	-	VYHOUVE	
8 σ-xx,min				-3,7	Mpa	≤	σ-xx,cd	17	Mpa	VYHOUVE			VYHOUVE				
8 σ-yy,min				-4,4	MPa	≤	σ-yy,cd	17	MPa	VYHOUVE			VYHOUVE				

MSU	Podpera	Smer	Oblast'	Prierez			Príslušné napäťia	Výška tāh.	Potrebnej plocha výstuže			Počet vrstiev	Vrstva	Dĺžka vrstvy	Posudok		
				b (m)	h (m)	+σ (MPa)			d (m)	NEd (kN)	As.potr. (mm²/m)						
10	σ-xx	A	ord	0,9		3,7	-2,6	1,057	1956	5028+4032	2738	1	á100mm	-	-	VYHOUVE	
		B	ord	1,1	1	1,8	4	-2,5	1,108	2215	10028	2678	1	á100mm	-	-	VYHOUVE
		C	ord	1,1		3,4	-3	0,956	1626	10025	2135	1	á100mm	-	-	VYHOUVE	
	σ-yy	ord	1	1	1,8	3,4	-3,3	0,913	1553	10025	2135	1	á100mm	-	-	VYHOUVE	
		ord	1		2,1	3,4	-1,2	1,145	1203	10025	2135	1	á100mm	-	-	VYHOUVE	
10 σ-xx,min				-10,2	Mpa	≤	σ-xx,cd	17	Mpa	VYHOUVE			VYHOUVE				
10 σ-yy,min				-7,5	MPa	≤	σ-yy,cd	17	MPa	VYHOUVE			VYHOUVE				

Obmedzenie napäťi	Podpera	Smer	Oblast'	Prierez			Príslušné napäťia	Výška tāh.	Potrebnej plocha vý
-------------------	---------	------	---------	---------	--	--	-------------------	------------	---------------------

MSU	Podpera	Smer	Oblast'	Prierez			Príslušné napäťia		Výška tāh.	NEd (kN)	Potrebnej plocha výstuže		Počet vrstiev		Vrstva		Dĺžka vrstvy		Posudok
				(c)	b (m)	h (m)	+σ (MPa)	-σ (MPa)			As.potr. (mm²/m)	Nrd (kN)	n (ks)	1. -	2. -	1. (m)	2. (m)		
12	σ-xx	A	ord	0,9			3,6	-1,7	1,223	2201	5028+4032	2738	1	á100mm	-	-	-	VYHOUVE	
		B	ord	1,1	1	1,8	3,9	-3,3	0,975	1901	10028	2678	1	á100mm	-	-	-	VYHOUVE	
		C	ord	1,1			3,25	-1,9	1,136	1846	10025	2135	1	á100mm	-	-	-	VYHOUVE	
	σ-yy	ord	1	1	1,8		3,4	-4,5	0,775	1317	10025	2135	1	á100mm	-	-	-	VYHOUVE	
		ord	1	1	2,2		-0,6	1,414	1556	10025	2135	1	á100mm	-	-	-	VYHOUVE		
		12	σ-xx,min	-10,6	MPa	≤	σ-xx,cd	17	MPa						VYHOUVE				
		12	σ-yy,min	-7,8	MPa	≤	σ-yy,cd	17	MPa						VYHOUVE				
12	Obmedzenie napätií	A	ord	0,9			2,5	-1,1	1,250	1563	5028+4032	2518	1	1	á100mm	-	-	-	VYHOUVE
		B	ord	1,1	1	1,8	2,8	-2	1,050	1470	10028	2463	1	1	á100mm	-	-	-	VYHOUVE
		C	ord	1,1			2,3	-1,5	1,089	1253	10025	1963	1	1	á100mm	-	-	-	VYHOUVE
	σ-yy	ord	1	1	1,8		2,4	-0,8	1,350	1620	10025	1963	1	1	á100mm	-	-	-	VYHOUVE
		ord	1	1	1,3		-0,4	1,376	895	10025	1963	1	1	á100mm	-	-	-	VYHOUVE	
		12	σ-xx,min	-7,5	MPa	≤	σ-xx,cd	17	MPa						VYHOUVE				
		12	σ-yy,min	-5,4	MPa	≤	σ-yy,cd	17	MPa						VYHOUVE				
14	MSU	A	ord	0,9			3,5	-1,7	1,212	2120	5028+4032	2738	1	á100mm	-	-	-	VYHOUVE	
		B	ord	1,1	1	1,8	3,7	-5	0,766	1416	10025	2135	1	á100mm	-	-	-	VYHOUVE	
		C	ord	1,1			3,35	-6	0,645	1080	10025	2135	1	á100mm	-	-	-	VYHOUVE	
	σ-yy	ord	1	1	1,8		3,5	-3	0,969	1696	10025	2135	1	á100mm	-	-	-	VYHOUVE	
		ord	1	1	2,3		-1	1,255	1443	10025	2135	1	á100mm	-	-	-	VYHOUVE		
		14	σ-xx,min	-9,6	MPa	≤	σ-xx,cd	17	MPa						VYHOUVE				
		14	σ-yy,min	-9,3	MPa	≤	σ-yy,cd	17	MPa						VYHOUVE				
14	Obmedzenie napätií	A	ord	0,9			2,1	-1,3	1,112	1167	5028+4032	2518	1	1	á100mm	-	-	-	VYHOUVE
		B	ord	1,1	1	1,8	2,7	-3,4	0,797	1076	10025	1963	1	1	á100mm	-	-	-	VYHOUVE
		C	ord	1,1			2,5	-1,9	1,023	1278	10025	1963	1	1	á100mm	-	-	-	VYHOUVE
	σ-yy	ord	1	1	1,8		2,4	-1	1,271	1525	10025	1963	1	1	á100mm	-	-	-	VYHOUVE
		ord	1	1	1,6		-1	1,108	886	10025	1963	1	1	á100mm	-	-	-	VYHOUVE	
		14	σ-xx,min	-3,5	MPa	≤	σ-xx,cd	17	MPa						VYHOUVE				
		14	σ-yy,min	-4,2	MPa	≤	σ-yy,cd	17	MPa						VYHOUVE				
16	MSU	A	ord	0,9			4,1	-2,5	1,118	2292	5028+4032	2738	1	á100mm	-	-	-	VYHOUVE	
		B	ord	1,1	1	1,8	3,6	-4	0,853	1535	10025	2135	1	á100mm	-	-	-	VYHOUVE	
		C	ord	1,1			3,3	-5,5	0,675	1114	10025	2135	1	á100mm	-	-	-	VYHOUVE	
	σ-yy	ord	1	1	1,8		3,4	-3,3	0,913	1553	10025	2135	1	á100mm	-	-	-	VYHOUVE	
		ord	1	1	2,4		-1,6	1,080	1296	10025	2135	1	á100mm	-	-	-	VYHOUVE		
		16	σ-xx,min	-9,2	MPa	≤	σ-xx,cd	17	MPa						VYHOUVE				
		16	σ-yy,min	-8,98	MPa	≤	σ-yy,cd	17	MPa						VYHOUVE				
16	Obmedzenie napätií	A	ord	0,9			2,2	-1,2	1,165	1281	5028+4032	2518	1	1	á100mm	-	-	-	VYHOUVE
		B	ord	1,1	1	1,8	2,6	-3	0,836	1086	10025	1963	1	1	á100mm	-	-	-	VYHOUVE
		C	ord	1,1			2,4	-1,8	1,029	1234	10025	1963	1	1	á100mm	-	-	-	VYHOUVE
	σ-yy	ord	1	1	1,8		2,3	-1	1,255	1443	10025	1963	1	1	á100mm	-	-	-	VYHOUVE
		ord	1	1	1,3		-0,5	1,300	845	10025	1963	1	1	á100mm	-	-	-	VYHOUVE	
		16	σ-xx,min	-3,5	MPa	≤	σ-xx,cd	17	MPa						VYHOUVE				
		16	σ-yy,min	-4,1	MPa	≤	σ-yy,cd	17	MPa						VYHOUVE				

MSU	Podpera	Smer	Oblast'	Prierez		Príslušné napäťia		Výška tāh.	Potrebná plocha výstuže		Počet vrstiev		Vrstva		Dĺžka vrstvy		Posudok	
				UCS	b (m)	h (m)	+σ (MPa)	-σ (MPa)	NEd (kN)	As.potr. (mm²/m)	NRd (kN)	n (ks)	1. -	2. -	1. (m)	2. (m)		
18	A	σd	0,9				4,1	-2,3	1,153	2364	5028+4Ø32	2738	1	á100mm	-	-	VYHOUVE	
		σ-xx	B	σd	1,1	1	1,8	5,2	-5	0,918	2386	10Ø28	2678	1	á100mm	-	-	VYHOUVE
		C	σd	1,1			4,8	-7	0,732	1757	10Ø25	2135	1	á100mm	-	-	VYHOUVE	
	σ-yy	σd	1		1	1,8	3,4	-1,5	1,249	2123	10Ø25	2135	1	á100mm	-	-	VYHOUVE	
		σd	1				2,4	-1,5	1,108	1329	10Ø25	2135	1	á100mm	-	-	VYHOUVE	
		σd	1														VYHOUVE	

18	σ-xx,min	-16,1	MPa	≤	σ-xx,cd	17	MPa
	σ-yy,min	-15,5	MPa	≤	σ-yy,cd	17	MPa

VYHOUVE

VYHOUVE

Obmedzenie napäti	Podpera	Smer	Oblast'	Prierez		Príslušné napäťia		Výška tāh.	Potrebná plocha výstuže		Počet vrstiev		Vrstva		Dĺžka vrstvy		Posudok	
				UCS	b (m)	h (m)	+σ (MPa)	-σ (MPa)	NEd (kN)	As.potr. (mm²/m)	NRd (kN)	n (ks)	1. -	2. -	1. (m)	2. (m)		
18	A	σd	0,9				2,55	-1,3	1,192	1520	5028+4Ø32	2518	1	á100mm	-	-	VYHOUVE	
		σ-xx	B	σd	1,1	1	1,8	2,55	-1,95	1,020	1301	10Ø28	2463	1	á100mm	-	-	VYHOUVE
		C	σd	1,1			2,4	-3	0,800	960	10Ø25	1963	1	á100mm	-	-	VYHOUVE	
	σ-yy	σd	1		1	1,8	2,4	-2	0,982	1178	10Ø25	1963	1	á100mm	-	-	VYHOUVE	
		σd	1				2,2	-2	0,943	1037	10Ø25	1963	1	á100mm	-	-	VYHOUVE	
		σd	1														VYHOUVE	

18	σ-xx,min	-3,85	MPa	≤	σ-xx,cd	17	MPa
	σ-yy,min	-4,4	MPa	≤	σ-yy,cd	17	MPa

VYHOUVE

VYHOUVE

MSU	Podpera	Smer	Oblast'	Prierez		Príslušné napäťia		Výška tāh.	Potrebná plocha výstuže		Počet vrstiev		Vrstva		Dĺžka vrstvy		Posudok	
				UCS	b (m)	h (m)	+σ (MPa)	-σ (MPa)	NEd (kN)	As.potr. (mm²/m)	NRd (kN)	n (ks)	1. -	2. -	1. (m)	2. (m)		
20	A	σd	0,9				3,5	-1,8	1,189	2080	5028+4Ø32	2738	1	á100mm	-	-	VYHOUVE	
		σ-xx	B	σd	1,1	1	1,8	3,65	-4	0,859	1567	10Ø28	2678	1	á100mm	-	-	VYHOUVE
		C	σd	1,1			3,4	-4	0,827	1406	10Ø25	2135	1	á100mm	-	-	VYHOUVE	
	σ-yy	σd	1		1	1,8	3,2	-3	0,929	1486	10Ø25	2135	1	á100mm	-	-	VYHOUVE	
		σd	1				2,1	-1,5	1,050	1103	10Ø25	2135	1	á100mm	-	-	VYHOUVE	
		σd	1														VYHOUVE	

2	σ-xx,min	-10,8	MPa	≤	σ-xx,cd	17	MPa
	σ-yy,min	-9,9	MPa	≤	σ-yy,cd	17	MPa

VYHOUVE

VYHOUVE

Obmedzenie napäti	Podpera	Smer	Oblast'	Prierez		Príslušné napäťia		Výška tāh.	Potrebná plocha výstuže		Počet vrstiev		Vrstva		Dĺžka vrstvy		Posudok	
				UCS	b (m)	h (m)	+σ (MPa)	-σ (MPa)	NEd (kN)	As.potr. (mm²/m)	NRd (kN)	n (ks)	1. -	2. -	1. (m)	2. (m)		
20	A	σd	0,9				2,5	-1,2	1,216	1520	5028+4Ø32	2518	1	á100mm	-	-	VYHOUVE	
		σ-xx	B	σd	1,1	1	1,8	2,5	-3	0,818	1023	10Ø28	2463	1	á100mm	-	-	VYHOUVE
		C	σd	1,1			2,4	-2,3	0,919	1103	10Ø25	1963	1	á100mm	-	-	VYHOUVE	
	σ-yy	σd	1		1	1,8	2,2	-2	0,943	1037	10Ø25	1963	1	á100mm	-	-	VYHOUVE	
		σd	1				1,3	-0,5	1,300	845	10Ø25	1963	1	á100mm	-	-	VYHOUVE	
		σd	1														VYHOUVE	

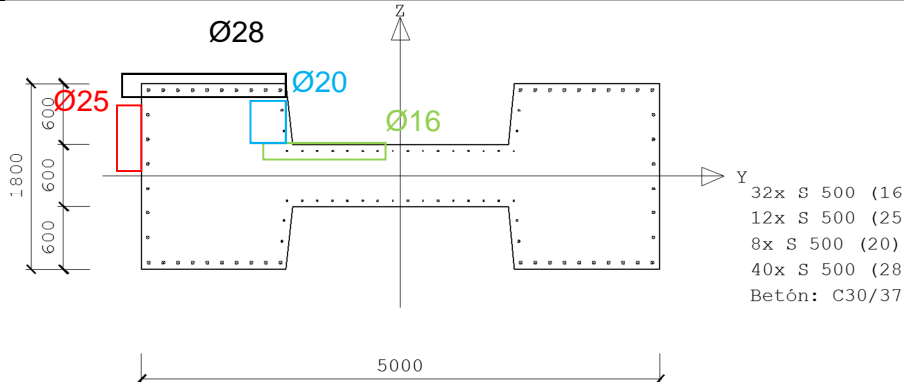
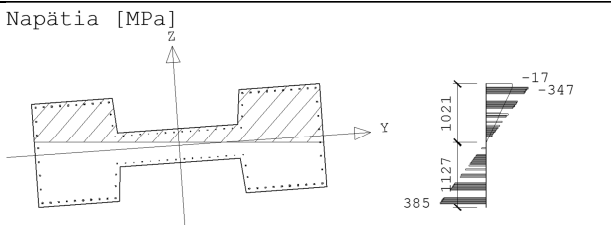
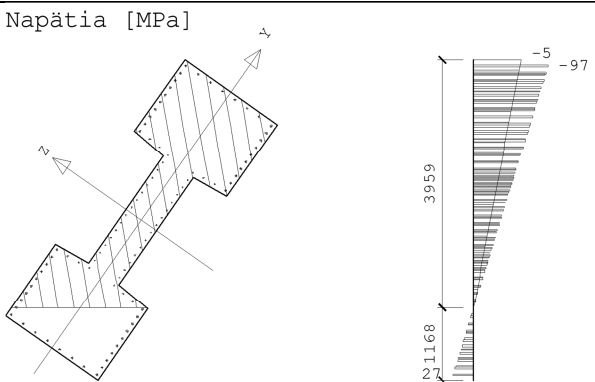
20	σ-xx,min	-3,85	MPa	≤	σ-xx,cd	17	MPa
	σ-yy,min	-9,9	MPa	≤	σ-yy,cd	17	MPa

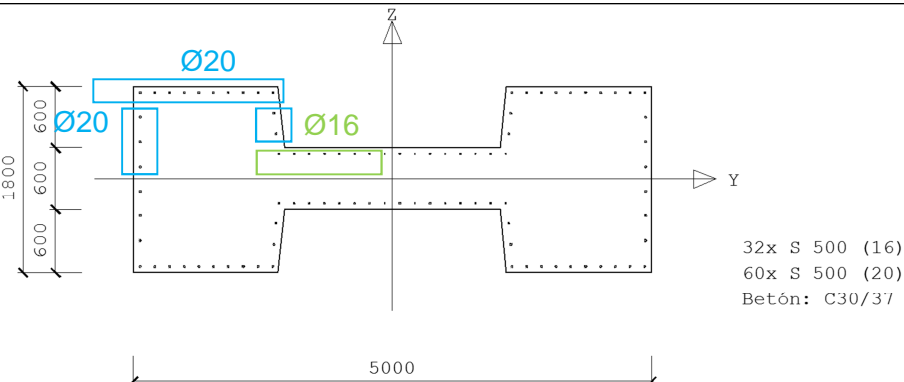
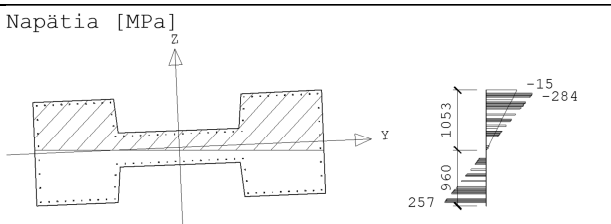
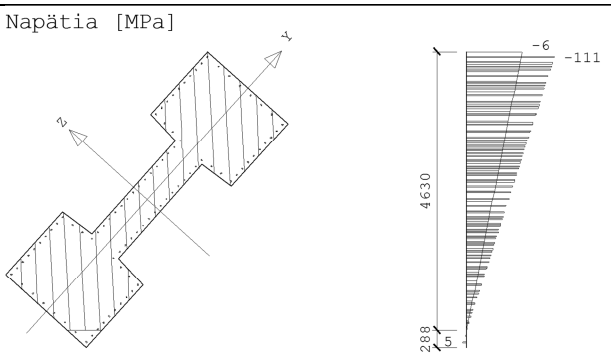
VYHOUVE

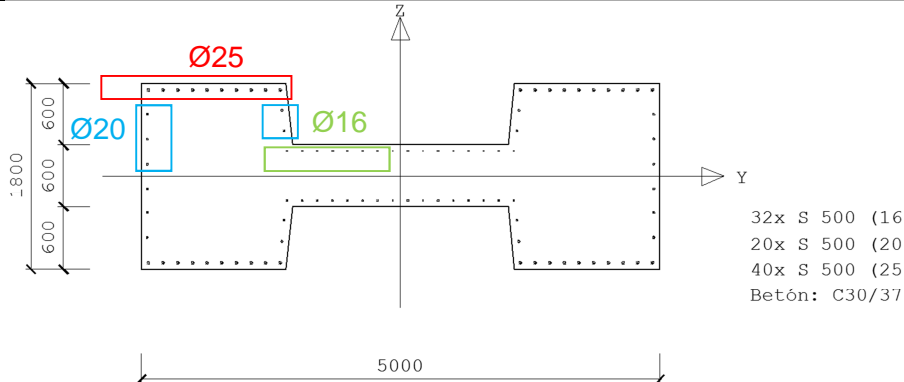
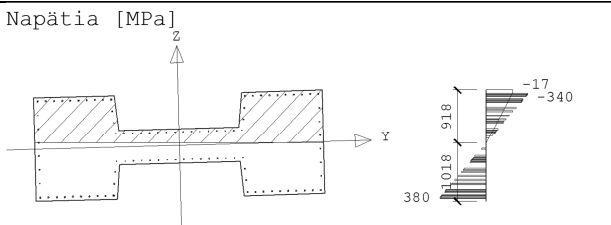
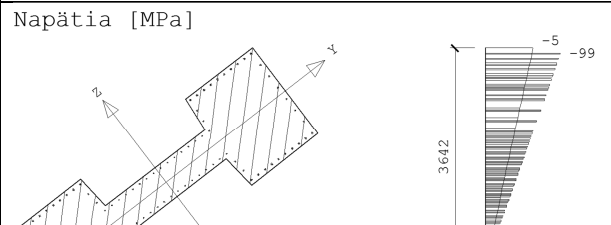
VYHOUVE

13.2 Posúdenie pilierov

Podpery	4,6,14,16
1800/5000	
MSU - päta piliera	MSP – päta piliera
<p>Napätia [MPa]</p> <p>Kótovanie je vynesené v smere spádovej priamky roviny pretvorenia [mm]</p>	<p>Napätia [MPa]</p> <p>Kótovanie je vynesené v smere spádovej priamky roviny pretvorenia [mm]</p>
$N_{u,min} = -19000\text{kN} = N_d = -19000\text{kN} = N_{u,max} = -19000\text{kN}$ $M_{y,u,min} = 21718 \text{ kNm} > M_{y,d} = 17700 \text{ kNm} > M_{y,u,max} = -21718 \text{ kNm}$ $M_{z,u,min} = 7975 \text{ kNm} > M_{z,d} = 6500 \text{ kNm} > M_{z,u,max} = -7975 \text{ kNm}$	$\sigma_c = 5 \text{ MPa} \leq k_1 \cdot f_{ck} = 0,6 \cdot 30 \text{ MPa} = 18 \text{ MPa}$ $\sigma_s = 97 \text{ MPa} \leq k_3 \cdot f_{yk} = 0,8 \cdot 30 \text{ MPa} = 400 \text{ MPa}$
VYHOVUJE	VYHOVUJE
$V_{Ed,y}$	$V_{Ed,z}$
1180kN	1444kN
$V_{Rd,c,y}$	$V_{Rd,c,z}$
779,41kN	1181kN
$V_{Rd,y}; V_{Rd,y} \leq V_{Ed,y}$	$V_{Rd,z}; V_{Rd,z} \leq V_{Ed,z}$
1190,18kN 2strih/ $\varnothing 14/\text{ss}0,2\text{m}$	2951,15kN 2x4strih/ $\varnothing 12/\text{ss}0,2\text{m}$
VYHOVUJE	VYHOVUJE

Podpery	20
1800/5000	
	
MSU - päta piliera	MSP – päta piliera
<p>Napätia [MPa]</p>  <p>Kótovanie je vynesené v smere spádovej priamky roviny pretvorenia [mm]</p>	<p>Napätia [MPa]</p>  <p>Kótovanie je vynesené v smere spádovej priamky roviny pretvorenia [mm]</p>
Nu,min=-18900 kN = Nd=-18900 kN = Nu,max=-18900 kN Myu,min=22699 kNm > Myd=18400 kNm Myu,max=-22698 kNm Mzu,min=16777 kNm > Mzd=13600 kNm > Mzu,max=-16777 kNm	$\sigma_c = 5 \text{ MPa} \leq k_1 f_{ck} = 0,6 \cdot 30 \text{ MPa} = 18 \text{ MPa}$ $\sigma_s = 97 \text{ MPa} \leq k_3 f_{yk} = 0,8 \cdot 30 \text{ MPa} = 40 \text{ MPa}$
VYHOVUJE	VYHOVUJE
$V_{Ed,y}$	$V_{Ed,z}$
1187kN	1298kN
$V_{Rd,c,y}$	$V_{Rd,c,z}$
779,41kN	1181kN
$V_{Rd,y}; V_{Rd,y} \leq V_{Ed,y}$	$V_{Rd,z}; V_{Rd,z} \leq V_{Ed,z}$
1190,18kN 2strih/ $\varnothing 14/\text{ss}0,2\text{m}$	2951,15kN 2x4strih/ $\varnothing 12/\text{ss}0,2\text{m}$
VYHOVUJE	VYHOVUJE

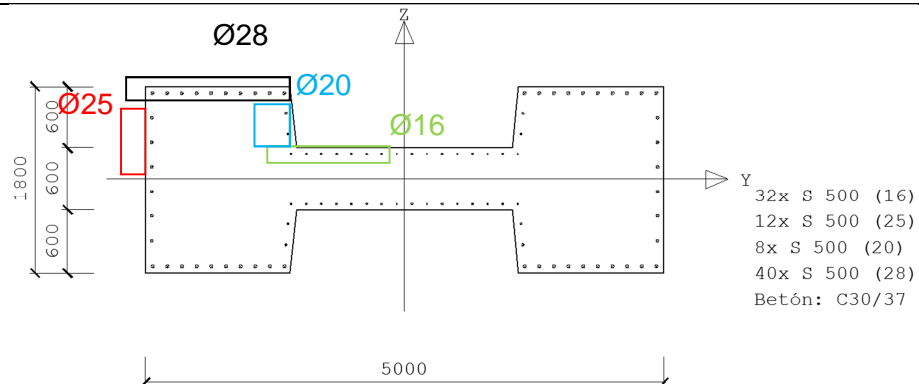
Podpery	3,5,11,13
1800/5000	
	
MSU - päta piliera	MSP – päta piliera
 <p>Napäťia [MPa]</p> <p>Kótovanie je vynesené v smere spádovej priamky roviny pretvorenia [mm]</p>	 <p>Napäťia [MPa]</p> <p>Kótovanie je vynesené v smere spádovej priamky roviny pretvorenia [mm]</p>
$N_{u,min} = -20000 \text{ kN} = N_d = 20000 \text{ kN} = N_{u,max} = -20000 \text{ kN}$ $M_{y,u,min} = 19425 \text{ kNm} > M_{y,d} = 13700 \text{ kNm} > M_{y,u,max} = -19425 \text{ kNm}$ $M_{z,u,min} = 9173 \text{ kNm} > M_{z,d} = 6470 \text{ kNm} > M_{z,u,max} = -9174 \text{ kNm}$	$\sigma_c = 6 \text{ MPa} \leq k_1 f_{ck} = 0,6 \cdot 30 \text{ MPa} = 18 \text{ MPa}$ $\sigma_s = 5 \text{ MPa} \leq k_3 f_{yk} = 0,8 \cdot 30 \text{ MPa} = 400 \text{ MPa}$
VYHOVUJE	VYHOVUJE
$V_{Ed,y}$	$V_{Ed,z}$
1173kN	1334kN
$V_{Rd,c,y}$	$V_{Rd,c,z}$
779,41kN	1181kN
$V_{Rd,y}; V_{Rd,y} \leq V_{Ed,y}$	$V_{Rd,z}; V_{Rd,z} \leq V_{Ed,z}$
1190,18kN 2strih/Ø14/ss0,2m	2951,15kN 2x4strih/Ø12/ss0,2m
VYHOVUJE	VYHOVUJE

Podpery	17
1800/5000	
 <p>32x S 500 (16) 20x S 500 (20) 40x S 500 (25) Betón: C30/37</p>	
MSU - päta piliera	MSP – päta piliera
 <p>Kótovanie je vynesené v smere spádovej priamky roviny pretvorenia [mm]</p>	 <p>Kótovanie je vynesené v smere spádovej priamky roviny pretvorenia [mm]</p>
Nu,min=-20600 kN = Nd=-20600 kN = Nu,max=-20600 kN Myu,min=22505 kNm > Myd=18700kNm > Myu,max=-22505 kNm Mzu,min=6498 kNm > Mzd=5400 kNm > Mzu,max=-6498 kNm	$\sigma_c = 5 \text{ MPa} \leq k_1 \cdot f_{ck} = 0,6 \cdot 30 \text{ MPa} = 18 \text{ MPa}$ $\sigma_s = 21 \text{ MPa} \leq k_3 \cdot f_{yk} = 0,8 \cdot 30 \text{ MPa} = 400 \text{ MPa}$
VYHOVUJE	VYHOVUJE
V _{Ed,y}	V _{Ed,z}
875kN	1304kN
V _{Rd,c,y}	V _{Rd,c,z}
779,41kN	1181kN
V _{Rd,y} ; V _{Rd,y} ≤ V _{Ed,y}	V _{Rd,z} ; V _{Rd,z} ≤ V _{Ed,z}
1190,18kN 2strih/Ø14/ss0,2m	2951,15kN 2x4strih/Ø12/ss0,2m
VYHOVUJE	VYHOVUJE

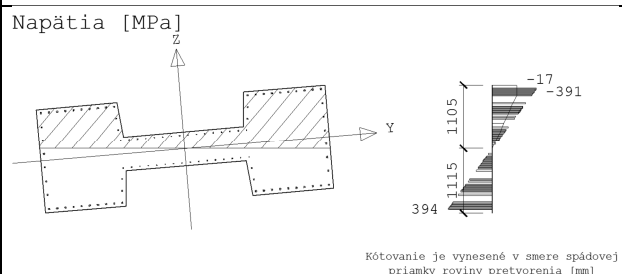
Podpery

8

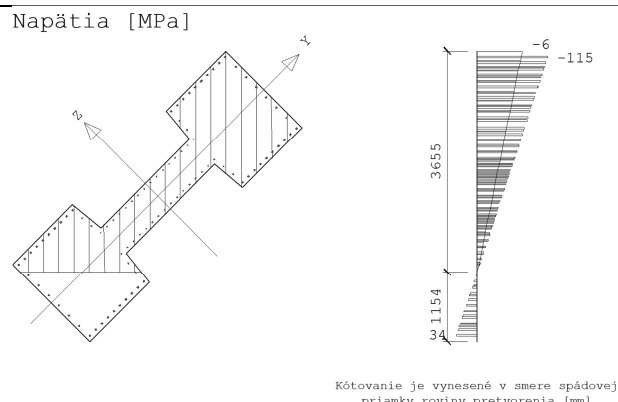
1800/5000



MSU - päta piliera



MSP – päta piliera



$$Nu_{min} = -23000 \text{ kN} = Nd = -23000 \text{ kN} = Nu_{max} = -23000 \text{ kN}$$

$$\sigma_c = 6 \text{ MPa} \leq k_1 f_{ck} = 0,6 \cdot 30 \text{ MPa} = 18 \text{ MPa}$$

$$My_{u,min} = 23418 \text{ kNm} > My_d = 19950 \text{ kNm} > My_{u,max} = -23418 \text{ kNm}$$

$$\sigma_s = 34 \text{ MPa} \leq k_3 f_{yk} = 0,8 \cdot 30 \text{ MPa} = 400 \text{ MPa}$$

$$Mz_{u,min} = 20472 \text{ kNm} > Mzd = 17440 \text{ kNm} > Mz_{u,max} = -20471 \text{ kNm}$$

VYHOVUJE**VYHOVUJE** $V_{Ed,y}$ $V_{Ed,z}$

1093kN

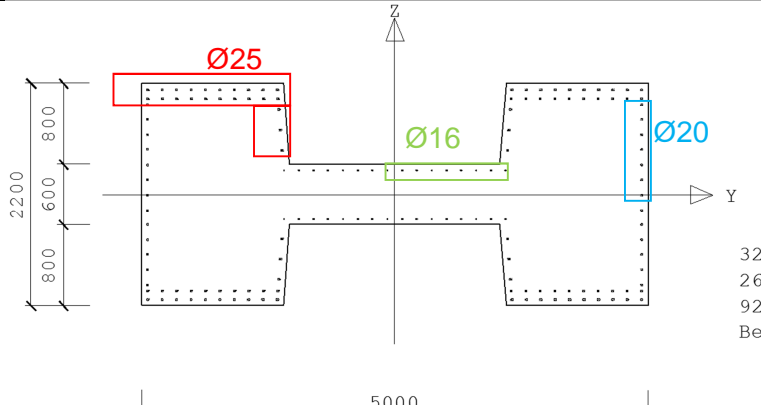
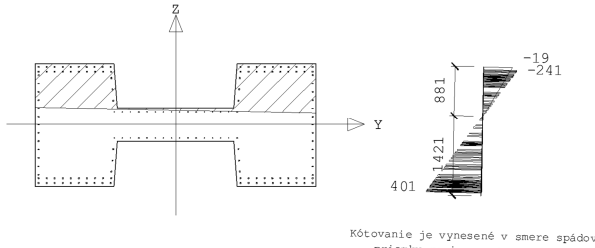
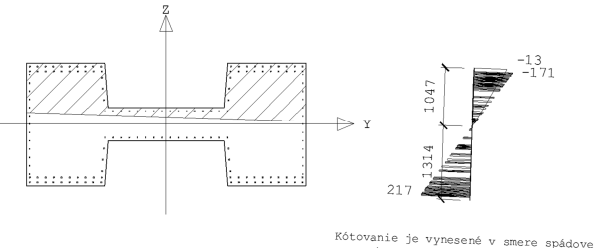
1349kN

 $V_{Rd,c,y}$ $V_{Rd,c,z}$

779,41kN

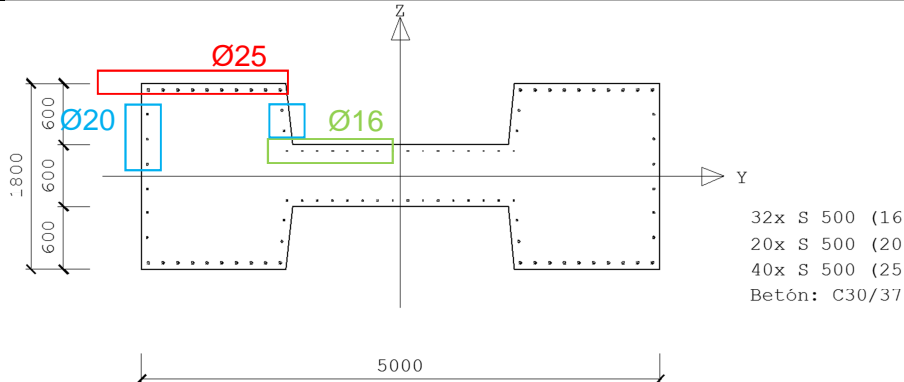
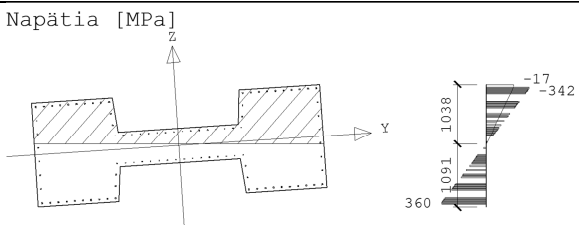
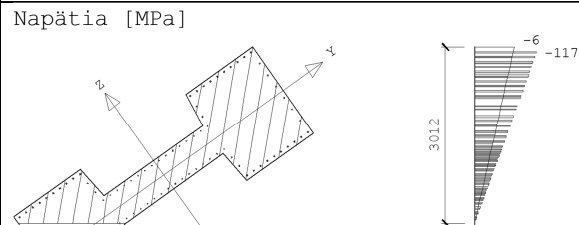
1181kN

 $V_{Rd,y}; V_{Rd,y} \leq V_{Ed,y}$ $V_{Rd,z}; V_{Rd,z} \leq V_{Ed,z}$ 1190,18kN 2strih/ $\varnothing 14$ /ss0,2m2951,15kN 2x4strih/ $\varnothing 12$ /ss0,2m**VYHOVUJE****VYHOVUJE**

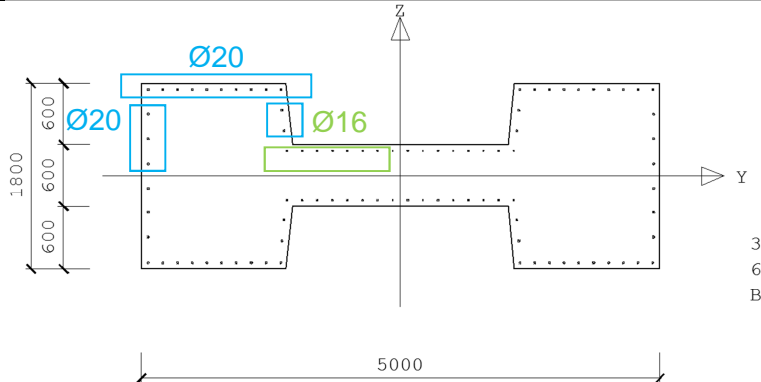
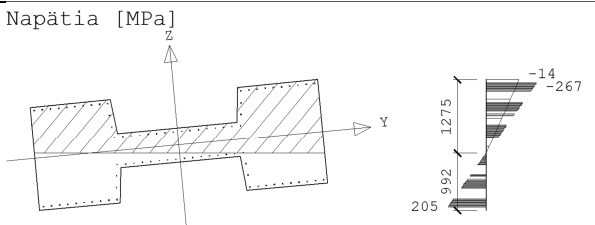
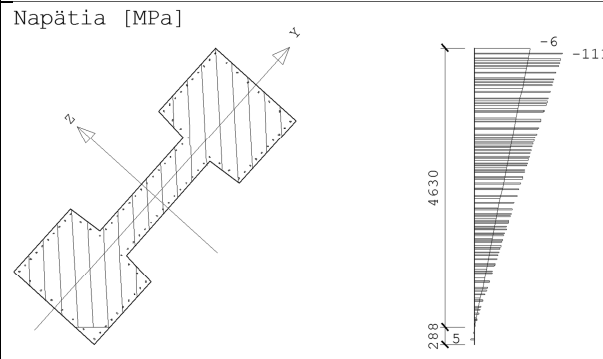
Podpery	7,9,15,10,12,18
2200/5000	
	
MSU - päta piliera	MSP – päta piliera
Napäťia [MPa]	Napäťia [MPa]
 <p>Kótovanie je vynesené v smere spádovej priamky roviny pretvorenia [mm]</p>	 <p>Kótovanie je vynesené v smere spádovej priamky roviny pretvorenia [mm]</p>
Nu,min=-16524 kN = Nd=-16524 kN = Nu,max=-16524 kN	$\sigma_c = 13,3 \text{ MPa} \leq k_1 \cdot f_{ck} = 0,6 \cdot 30 \text{ MPa} = 18 \text{ MPa}$
Myu,min=38469 kNm > Myd=30540 kNm > Myu,max=-38469 kNm	$\sigma_s = 217 \text{ MPa} \leq k_3 \cdot f_yk = 0,8 \cdot 30 \text{ MPa} = 400 \text{ MPa}$
Mzu,min=5956 kNm > Mzd=4729 kNm > Mzu,max=-5956 kNm	
VYHOVUJE	VYHOVUJE
$V_{Ed,y}$	$V_{Ed,z}$
944kN	2855kN
$V_{Rd,c,y}$	$V_{Rd,c,z}$
884,23,41kN	1275,62kN
$V_{Rd,y}$	$V_{Rd,y}$
$V_{Rd,y}; V_{Rd,y} \leq V_{Ed,y}$	$V_{Rd,z}; V_{Rd,z} \leq V_{Ed,z}$
VYHOVUJE	VYHOVUJE

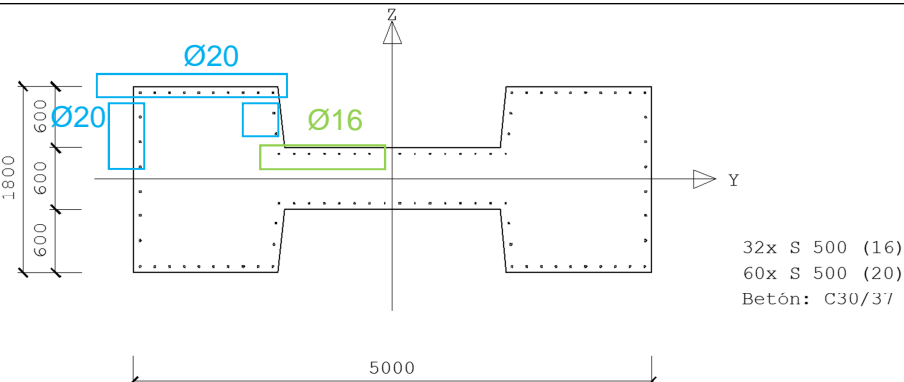
13.2.1 Rez -nad PŠ

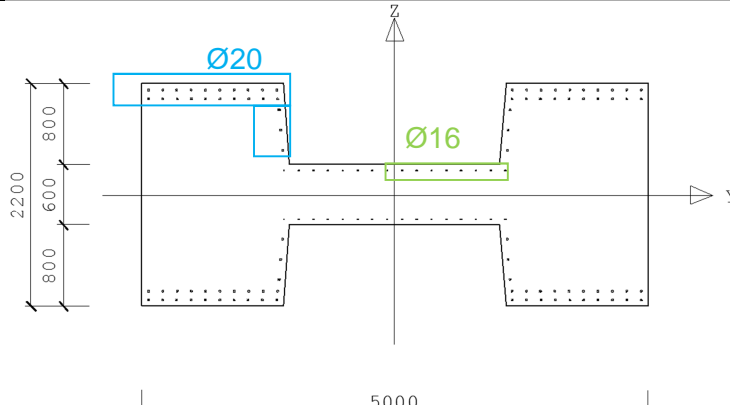
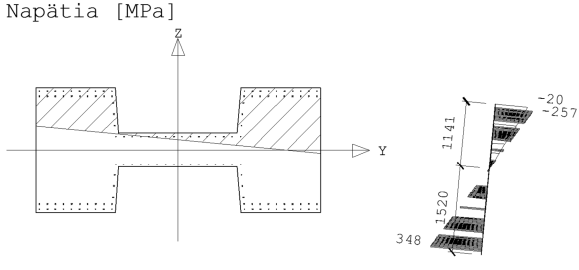
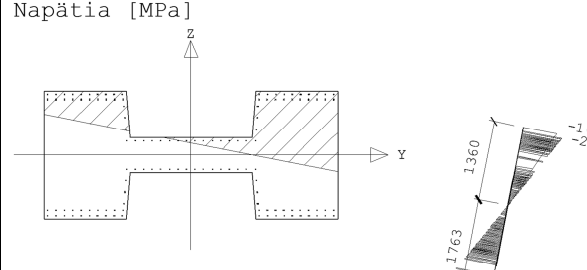
Podpery	4,6,14,16
1800/5000	
MSU - päta piliera	MSP – päta piliera
<p>Napäcia [MPa]</p> <p>Kótovanie je vynesené v smere spádovej priamky roviny pretvorenia [mm]</p>	<p>Napäcia [MPa]</p> <p>Kótovanie je vynesené v smere spádovej priamky roviny pretvorenia [mm]</p>
<p>Nu,min=-6000 kN = Nd=-6000 kN = Nu,max=-6000 kN</p> <p>Myu,min=11353kNm > Myd=8000kNm > Myu,max=-11352kNm</p> <p>Mzu,min=12772 kNm > Mzd=9000 kNm > Mzu,max=-12772 kNm</p>	<p>$\sigma_c = 6 \text{ MPa} \leq k_1 \cdot f_{ck} = 0,6 \cdot 30 \text{ MPa} = 18 \text{ MPa}$</p> <p>$\sigma_s = 38 \text{ MPa} \leq k_3 \cdot f_yk = 0,8 \cdot 30 \text{ MPa} = 400 \text{ MPa}$</p>
VYHOVUJE	VYHOVUJE

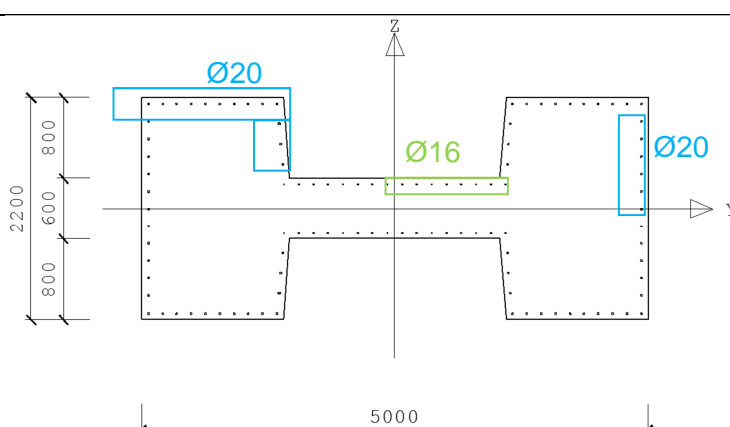
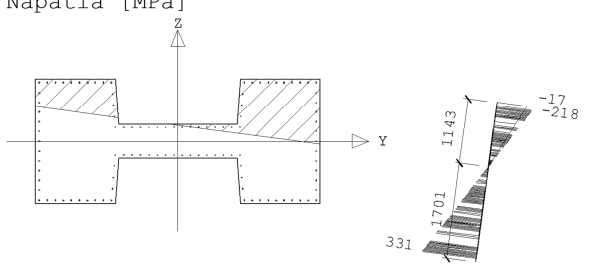
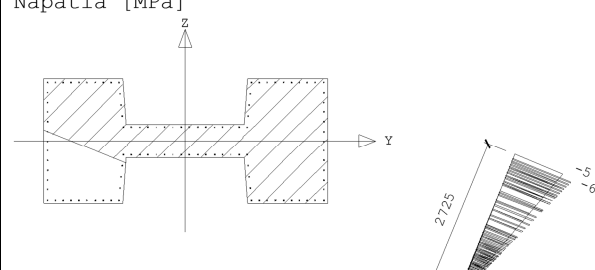
Podpery	20
1800/5000	
 <p style="text-align: center;">5000</p>	
MSU - päta piliera	MSP – päta piliera
<p>Napäťia [MPa]</p>  <p>Kótovanie je vynesené v smere spádovej priamky roviny pretvorenia [mm]</p>	<p>Napäťia [MPa]</p>  <p>Kótovanie je vynesené v smere spádovej priamky roviny pretvorenia [mm]</p>
Nu,min=-20000kN = Nd=-20000kN = Nu,max=-20000kN Myu,min=21191kNm > Myd=17000kNm > Myu,max=21191kNm Mzu,min=14958kNm > Mzd=12000kNm > Mzu,max=-14958kNm	$\sigma_c = 6 \text{ MPa} \leq k_1 \cdot f_{ck} = 0,6 \cdot 30 \text{ MPa} = 18 \text{ MPa}$ $\sigma_s = 50 \text{ MPa} \leq k_3 \cdot f_{yk} = 0,8 \cdot 30 \text{ MPa} = 40 \text{ MPa}$
VYHOVUJE	VYHOVUJE

Podpery	8
1800/5000	
MSU - päta piliera	MSP – päta piliera
<p>Napäcia [MPa]</p> <p>Kótovanie je vynesené v smere spádovej priamky roviny pretvorenia [mm]</p>	<p>Napäcia [MPa]</p> <p>Kótovanie je vynesené v smere spádovej priamky roviny pretvorenia [mm]</p>
$N_{u,min} = -19500 \text{ kN} = N_d = -19500 \text{ kN} = N_{u,max} = -19500 \text{ kN}$ $M_{y,u,min} = 22814 \text{ kNm} > M_{y,d} = 18300 \text{ kNm} > M_{y,u,max} = -22814 \text{ kNm}$ $M_{z,u,min} = 17453 \text{ kNm} > M_{z,d} = 14000 \text{ kNm} \quad M_{z,u,max} = -17453 \text{ kNm}$	$\sigma_c = 5 \text{ MPa} \leq k_1 f_{ck} = 0,6 \cdot 30 \text{ MPa} = 18 \text{ MPa}$ $\sigma_s = 97 \text{ MPa} \leq k_3 f_{yk} = 0,8 \cdot 30 \text{ MPa} = 400 \text{ MPa}$
VYHOUVUJE	VYHOUVUJE

Podpery	3,5,11,13
1800/5000	
 <p>32x S 500 (16) 60x S 500 (20) Betón: C30/37</p>	
MSU - päta piliera	MSP – päta piliera
 <p>Napäcia [MPa]</p> <p>Kótovanie je vynesené v smere spádovej priamky roviny pretvorenia [mm]</p>	 <p>Napäcia [MPa]</p> <p>Kótovanie je vynesené v smere spádovej priamky roviny pretvorenia [mm]</p>
Nu,min=-20000 kN = Nd=-20000 kN = Nu,max=-20000 kN Myu,min=17706 kNm > Myd=11600 kNm > Myu,max=-17706 kNm Mzu,min=17706 kNm > Mzd=11600 kNm > Mzu,max=-17706 kNm	$\sigma_c = 6 \text{ MPa} \leq k_1 \cdot f_{ck} = 0,6 \cdot 30 \text{ MPa} = 18 \text{ MPa}$ $\sigma_s = 5 \text{ MPa} \leq k_3 \cdot f_{yk} = 0,8 \cdot 30 \text{ MPa} = 400 \text{ MPa}$
VYHOVUJE	VYHOVUJE

Podpery	17
1800/5000	
 <p>1800 600 600 5000 Ø20 Ø16 32x S 500 (16) 60x S 500 (20) Betón: C30/37</p>	
MSU - päta piliera	MSP – päta piliera
<p>Napäťia [MPa]</p> <p>Kótovanie je vynesené v smere spádovej priamky roviny pretvorenia [mm]</p>	<p>Napäťia [MPa]</p> <p>Kótovanie je vynesené v smere spádovej priamky roviny pretvorenia [mm]</p>
<p>$N_{u,min} = -20600 \text{ kN} = N_d = -20600 \text{ kN} = N_{u,max} = -20600 \text{ kN}$</p> <p>$M_{y,u,min} = 22505 \text{ kNm} > M_{y,d} = 18700 \text{ kNm} > M_{y,u,max} = -22505 \text{ kNm}$</p> <p>$M_{z,u,min} = 6498 \text{ kNm} > M_{z,d} = 5400 \text{ kNm} > M_{z,u,max} = -6498 \text{ kNm}$</p>	<p>$\sigma_c = 5 \text{ MPa} \leq k_1 f_{ck} = 0,6 \cdot 30 \text{ MPa} = 18 \text{ MPa}$</p> <p>$\sigma_s = 21 \text{ MPa} \leq k_3 f_{yk} = 0,8 \cdot 30 \text{ MPa} = 400 \text{ MPa}$</p>
VYHOVUJE	VYHOVUJE

Podpery	7,9,10,12
2200/5000	
	
MSU - päta piliera	MSP – päta piliera
<p>Napäcia [MPa]</p>  <p>Kótovanie je vynesené v smere spádovej priamky roviny pretvorenia [mm]</p>	<p>Napäcia [MPa]</p>  <p>Kótovanie je vynesené v smere spádovej priamky roviny pretvorenia [mm]</p>
Nu,min=-20000 kN = Nd=-20000 kN = Nu,max=-20000 kN Myu,min=29889 kNm > Myd=23000 kNm > Myu,max=-29889 kNm Mzu,min=21702 kNm > Mzd=16700 kNm > Mzu,max=-21702 kNm	$\sigma_c = 16 \text{ MPa} \leq k_1 \cdot f_{ck} = 0,6 \cdot 30 \text{ MPa} = 18 \text{ MPa}$ $\sigma_s = 263 \text{ MPa} \leq k_3 \cdot f_{yk} = 0,8 \cdot 30 \text{ MPa} = 400 \text{ MPa}$
VYHOVUJE	VYHOVUJE

Podpery – rez 11m	15, 18
2200/5000	
 <p>32x S 500 (16) 74x S 500 (20) Betón: C35/45</p>	
MSU - päta piliera MSP – päta piliera	
<p>Napäťia [MPa]</p>  <p>Kótovanie je vynesené v smere priamky roviny pretvorenia [mm]</p>	<p>Napäťia [MPa]</p>  <p>Kótovanie je vynesené v smere priamky roviny pretvorenia [mm]</p>
Nu,min=-24808kN < Nd=-13700kN < Nu,max=6022kN Myu,min=28068kNm > Myd=15500kNm > Myu,max=-6813kNm Mzu,min=32595kNm > Mzd=18000kNm > Mzu,max=-7912kNm	$\sigma_c = 5 \text{ MPa} \leq k_1 \cdot f_{ck} = 0,6 \cdot 30 \text{ MPa} = 18 \text{ MPa}$ $\sigma_s = 29 \text{ MPa} \leq k_3 \cdot f_{yk} = 0,8 \cdot 30 \text{ MPa} = 400 \text{ MPa}$
VYHOVUJE	VYHOVUJE

13.3 Posúdenie opory

13.3.1 Zaťaženie opory – počas výstavby

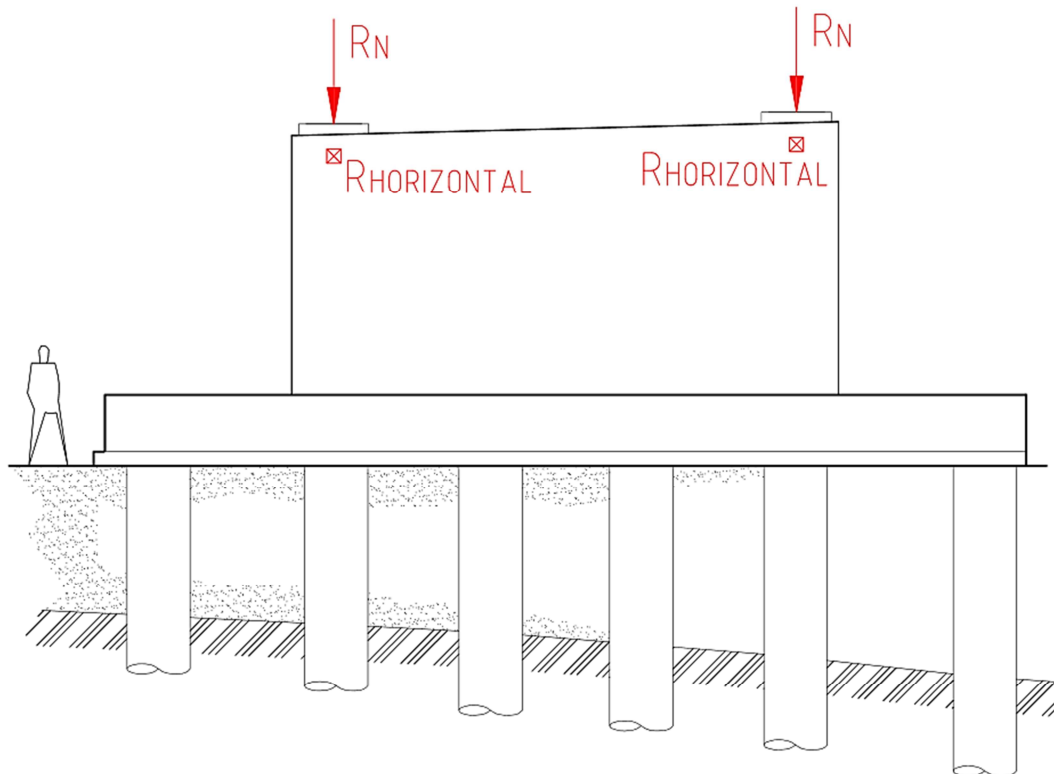
- Vlastná tiaž opory
- Reakcie z nosnej konštrukcie (tiaž nosnej konštrukcie, montážne zaťaženia)
- Reakcie z výsuvnej skruže

13.3.1.1 Vlastná tiaž opory

Vlastná tiaž je počítaná z geometrie opory, s uvažovaním objemovej tiaže betónu $25,0 \text{ kN/m}^3$.

13.3.1.2 Reakcie z nosnej konštrukcie počas výstavby

Zaťaženie prenášané cez ložiská z nosnej konštrukcie do opory. Za návrhové sily sú považované sily počas výstavby na pravom moste na opore č. 2 (Tab. 7).

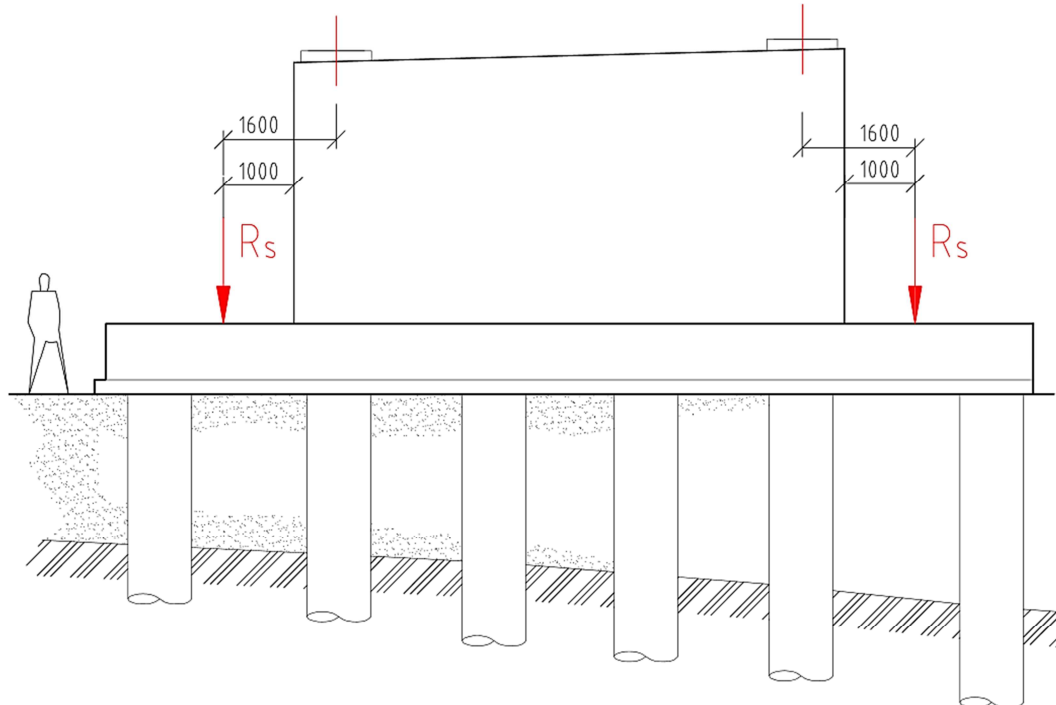


Tab. 7 Návrhové sily počas výstavby od nosnej konštrukcie

Etapa	RN		RHORIZONTAL	
	Výsun (kN)	Betonáž (kN)	Výsun (kN)	Betonáž (kN)
Výstavba 2 poľa	3340	2595	582	535
Výstavba 3 poľa	2630	2520	942	490
Výstavba 4 poľa	2820	2570	547	937
...				

13.3.1.3 Reakcie z výsuvnej skruže

Zaťaženie od skruže prenášané cez dvojicu lisov o tlakovej sile 3920kN. Pod lisom je uvažovaná oceľová roznásacia platňa o rozmeroch 500x500mm.



13.3.2 Zaťaženie opory - konečné užívanie

- Vlastná tiaž opory
- Zemný tlak zásypu za oporou
- Zvyšenie zemného tlaku od prítaženia dopravou za oporou
- Reakcie z nosnej konštrukcie
- Zaťaženie opory priamo kolesom na závernom múriku

13.3.2.1 Vlastná tiaž opory

Vlastná tiaž je počítaná z geometrie opory, s uvažovaním objemovej tiaže betónu 25,0kN/m³.

13.3.2.2 Zaťaženie zemným tlakom za oporou

Ako zaťaženie zemným tlakom sa uvažovalo zaťaženie tlakom zeminy v pokoji.

Charakteristicky zeminy v násype:

$$\gamma'_k = 20,0 \text{ kN/m}^3 \quad (\text{efektívna objemová tiaž – charakteristická hodnota})$$

$$\varphi'_k = 30^\circ \quad (\text{efektívny uhol vnútorného trenia – charakteristická hodnota})$$

$$c'_k = 0 \quad (\text{efektívna súdržnosť – charakteristická hodnota})$$

Pri návrhu sa uvažuje pôsobenie zemného tlaku s veľkosťou medzi tlakom v pokoji a aktívnym tlakom, pričom sa použije schéma pre aktívny tlak s redukovanými parametrami koeficientu zemného tlaku a uhlu šmykového trenia, ktorý sa uvažoval na styku:

- zemina – opora $\delta = \varphi/3$

- zemina – zemina

$$\delta = \varphi/2$$

Zvislý tlak

$$\sigma_{z,k} = \gamma'_k \cdot h \quad (\text{charakteristická hodnota})$$

Vodorovný tlak

$$\sigma_{0,k} = \sigma_{z,k} \cdot K_{0a}$$

$$K_0 = 1 - \sin\varphi'_k = 0,5$$

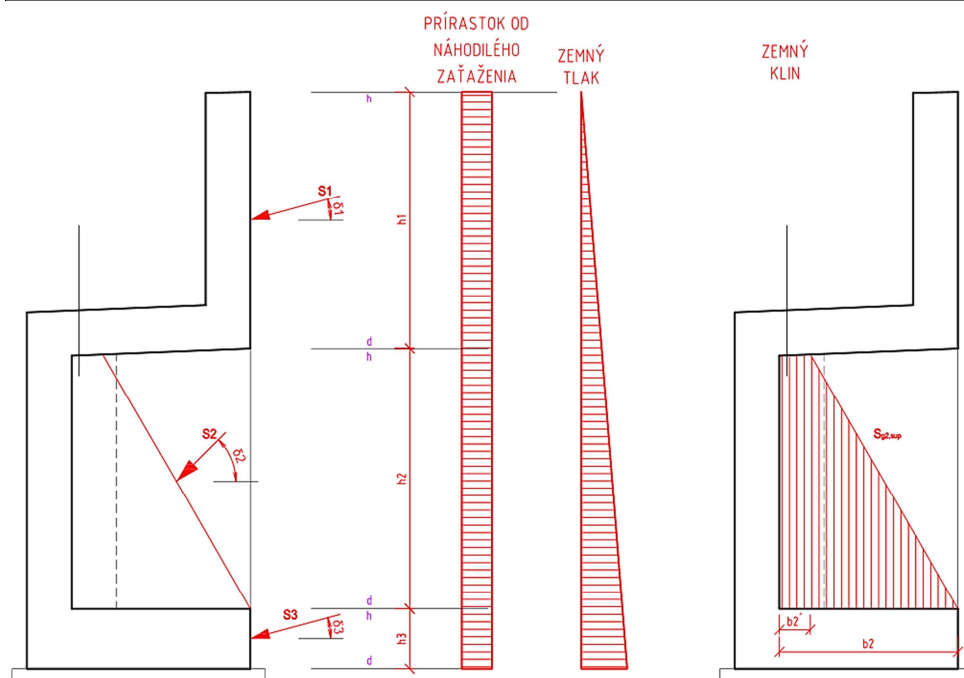
$$K_a = \tan^2 \left(45^\circ - \frac{\varphi'_k}{2} \right) = 0,333$$

$$K_{0a} = \frac{K_0 + K_a}{2} = \frac{5}{12} = 0,416$$

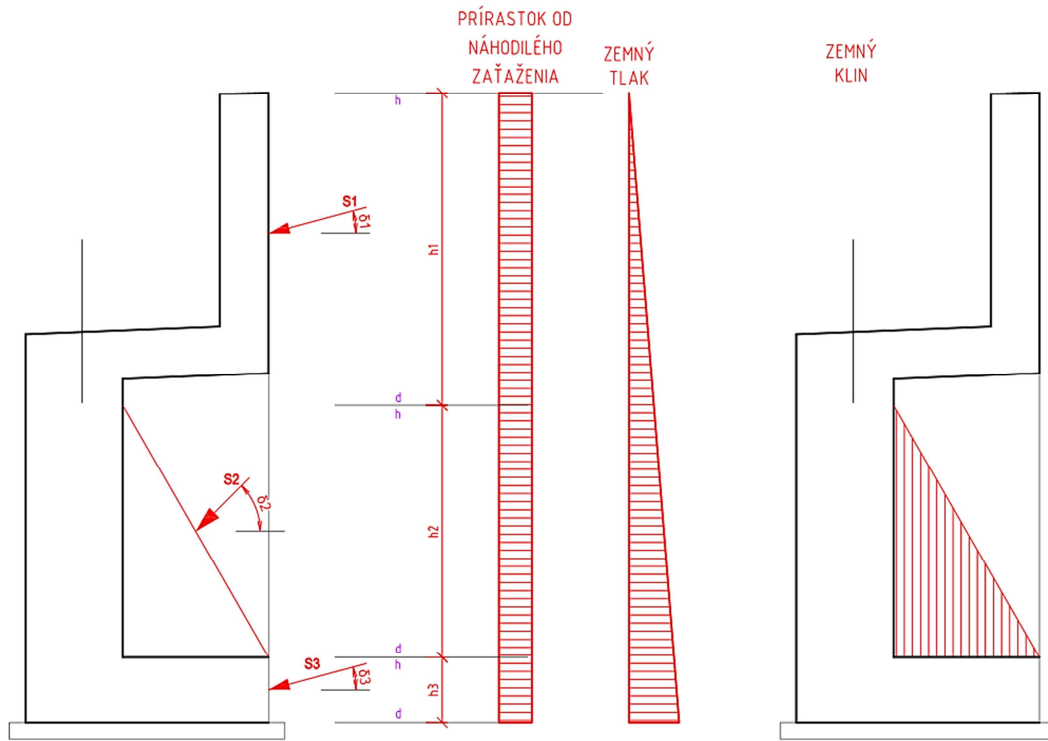
Zemný klin

$$\alpha_{as} = 45^\circ + \frac{\varphi'_k}{2} = 60^\circ$$

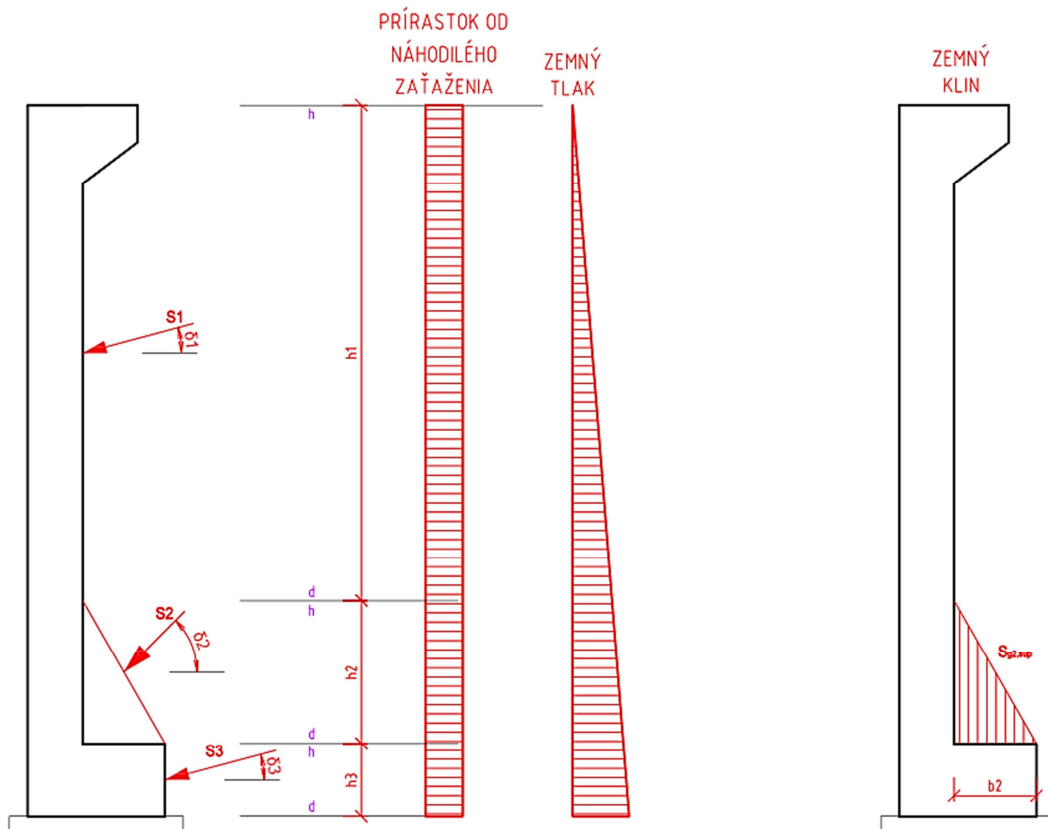
	h _i	δ _i	horizontálne		Vertikálne	
			q _h	q _d	q _h	q _d
	(m)	(°)	(kN/m ²)	(kN/m ²)	(kN/m ²)	(kN/m ²)
"A"	h ₁	3,5	10	0,00	28,72	0,00
	h ₂	3,5	10	28,72	57,45	5,09
	h ₃	0,8	10	57,45	64,01	10,18
"B"	h ₁	3,8	10	0,00	31,19	0,00
	h ₂	3,2	45	22,39	41,25	24,87
	h ₃	0,8	10	57,45	64,01	10,18
"C"	h ₁	5,4	10	0,00	44,32	0,00
	h ₂	1,6	45	31,82	41,25	35,34
	h ₃	0,8	10	57,45	64,01	10,18
						11,34



Obr. 6 Zaťaženie - oblasť "A"



Obr. 7 Zaťaženie - oblasť "B"



Obr. 8 Zaťaženie - oblasť "C" krídlo opory

13.3.2.3 Prírastok zemného tlaku od zaťaženia za oporou

Ako zaťaženie za oporu bol uvažovaný zaťažovací model LM1, na celej šírke vozovky ako trojica dvojnáprav spoločne s príslušným spojitým zaťažením.

Opora je opatrená prechodovou doskou, ktorá má výrazne vyššiu tuhost' ako zemina zásypu a roznáša časť zaťaženia priamo na oporu a časť do väčšej vzdialenosťi za rub opory. Pôsobenie prechodovej dosky je zohľadnené tak, že pôsobiace zaťaženie sa rozloží na konštantné spojité zaťaženie na celej ploche dosky.

Rozmery prechodovej dosky:

Dĺžka: $l=6,0\text{m}$

Šírka: $b=11,2\text{m}$

$$q_{eq,k} = \frac{\sum(2 \cdot \alpha_{Qi} \cdot Q_{ik} + w_i \cdot \alpha_{qi} \cdot q_{ik} \cdot l)}{b \cdot l}$$

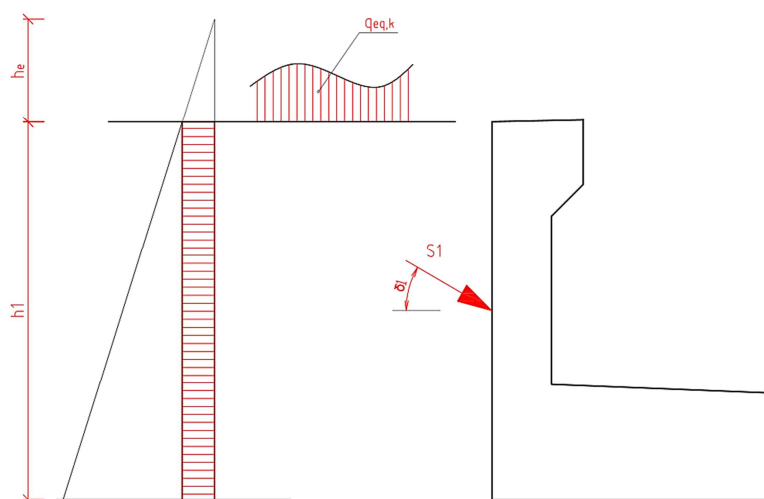
$$q_{eq,k} = \frac{(2.300\text{kN} + 2.200\text{kN} + 2.100\text{kN}) + (6\text{m} \cdot 3\text{m}) \cdot (9,0\text{kNm}^{-2} + 2,5\text{kNm}^{-2} + 2,5\text{kNm}^{-2}) + 6\text{m} \cdot 2,2\text{m} \cdot 2,5\text{kNm}^{-2}}{6,0\text{m} \cdot 11,2\text{m}}$$

$$q_{eq,k} = 22,10\text{kN.m}^{-2}$$

Prírastok vodorovného tlaku od prítaženia za oporu

Náhradná výška zeminy od prítaženia dopravou

$$h_{eq} = \frac{q_{eq,k}}{\gamma'_q} = \frac{22,10\text{kN.m}^{-2}}{20\text{kN.m}^3} = 1,105\text{m}$$



$$\Delta\sigma_{0,k} = q_{eq,k} \cdot K_{0a} = 9,20\text{kN.m}^{-2}$$

Pritaženie dopravou	h_i (m)	δ_i (°)	horizontálne		Vertikálne	
			q_h (kN/m ²)	q_d (kN/m ²)	q_h (kN/m ²)	q_d (kN/m ²)
"A"	h_1 3,5	10	9,07	9,07	1,61	1,61
	h_2 3,5	45	6,51	6,51	7,23	7,23
	h_3 0,8	10	9,07	9,07	1,61	1,61
"B"	h_1 3,8	10	9,07	9,07	1,61	1,61
	h_2 3,2	45	6,51	6,51	7,23	7,23
	h_3 0,8	10	9,07	9,07	1,61	1,61
"C"	h_1 5,4	10	9,07	9,07	1,61	1,61
	h_2 1,6	45	6,51	6,51	7,23	7,23
	h_3 0,8	10	9,07	9,07	1,61	1,61

13.3.2.4 Reakcie z hornej stavby

Charakteristické hodnoty zaťaženia sú uvedené v tabuľke.

13.3.2.4.1 Lavý most

Load Case	Node	5479 (OUT)			5480 (IN)		
Node	Reaction	FX (kN)	FY (kN)	FZ (kN)	FX (kN)	FY (kN)	FZ (kN)
Nerovnomerny_pokles_podpier_-_Settl(SM:max)							
5479 (OUT)	FX(kN)	0,00	0,00	0,00	0,00	0,00	0,00
	FY(kN)	0,00	0,00	0,00	0,00	0,00	0,00
	FZ(kN)	0,00	0,00	116,39	0,00	1,41	116,88
5480 (IN)	FX(kN)	0,00	0,00	0,00	0,00	0,00	0,00
	FY(kN)	0,00	0,00	116,39	0,00	1,41	116,88
	FZ(kN)	0,00	0,00	116,39	0,00	1,41	116,88

Load Case	Node	5479 (OUT)			5480 (IN)		
Node	Reaction	FX (kN)	FY (kN)	FZ (kN)	FX (kN)	FY (kN)	FZ (kN)
LM1_A_NoPsi(MV:max)							
5479 (OUT)	FX(kN)	0,00	0,00	443,55	0,00	-13,43	97,15
	FY(kN)	0,00	0,00	443,55	0,00	-13,43	97,15
	FZ(kN)	0,00	0,00	1535,89	0,00	13,41	307,46
5480 (IN)	FX(kN)	0,00	0,00	443,55	0,00	-13,43	97,15
	FY(kN)	0,00	0,00	567,13	0,00	122,93	805,33
	FZ(kN)	0,00	0,00	627,57	0,00	97,30	1032,47

Load Case	Node	5479 (OUT)			5480 (IN)		
Node	Reaction	FX (kN)	FY (kN)	FZ (kN)	FX (kN)	FY (kN)	FZ (kN)
LM1_B_NoPsi(MV:max)							
5479 (OUT)	FX(kN)	0,00	0,00	135,56	0,00	-7,79	374,21
	FY(kN)	0,00	0,00	135,56	0,00	-7,79	374,21
	FZ(kN)	0,00	0,00	922,82	0,00	69,21	611,53
5480 (IN)	FX(kN)	0,00	0,00	135,56	0,00	-7,79	374,21
	FY(kN)	0,00	0,00	640,04	0,00	120,13	637,11
	FZ(kN)	0,00	0,00	384,46	0,00	3,40	1426,14

Load Case	Node	5479 (OUT)			5480 (IN)		
Node	Reaction	FX (kN)	FY (kN)	FZ (kN)	FX (kN)	FY (kN)	FZ (kN)
Premenná zložka stáleho zaťaženia krytu vozovky (MV:max)							
5479 (OUT)	FX(kN)	0,00	0,00	0,00	0,00	0,00	0,00
	FY(kN)	0,00	0,00	0,00	0,00	0,00	0,00
	FZ(kN)	0,00	0,00	126,21	0,00	4,58	105,29
5480 (IN)	FX(kN)	0,00	0,00	0,00	0,00	0,00	0,00
	FY(kN)	0,00	0,00	102,24	0,00	7,31	85,91
	FZ(kN)	0,00	0,00	125,89	0,00	4,92	105,51

Node	Load	FX (kN)	FY (kN)	FZ (kN)
5479 (OUT)	Zvrsok	0,00	0,00	166,36
	Self_weight	0,00	0,00	1268,74
5480 (IN)	Zvrsok	0,00	-116,10	424,46
	Self_weight	0,00	-1,99	1268,01

13.3.2.4.2 Pravý most

Load Case	Node	1793 (IN)			1794 (OUT)		
Node	Reaction	FX (kN)	FY (kN)	FZ (kN)	FX (kN)	FY (kN)	FZ (kN)
Nerovnomerny_pokles_podpier_-_Settl(SM:max)							
1793 (IN)	FX(kN)	0,0	0,0	0,0	0,0	0,0	0,0
	FY(kN)	0,0	0,0	0,0	0,0	0,0	0,0
	FZ(kN)	0,0	0,0	34,2	0,0	0,2	34,3
1794 (OUT)	FX(kN)	0,0	0,0	0,0	0,0	0,0	0,0
	FY(kN)	0,0	0,0	34,2	0,0	0,2	34,3
	FZ(kN)	0,0	0,0	34,2	0,0	0,2	34,3

Load Case	Node	1793 (IN)			1794 (OUT)		
Node	Reaction	FX (kN)	FY (kN)	FZ (kN)	FX (kN)	FY (kN)	FZ (kN)
LM1_A_NoPsi(MV:max)							
1793 (IN)	FX(kN)	0,0	0,0	713,1	0,0	-8,4	-48,3
	FY(kN)	0,0	0,0	713,1	0,0	-8,4	-48,3
	FZ(kN)	0,0	0,0	2044,8	0,0	-8,4	-144,0
1794 (OUT)	FX(kN)	0,0	0,0	713,1	0,0	-8,4	-48,3
	FY(kN)	0,0	0,0	221,9	0,0	43,0	115,9
	FZ(kN)	0,0	0,0	856,7	0,0	8,9	883,2

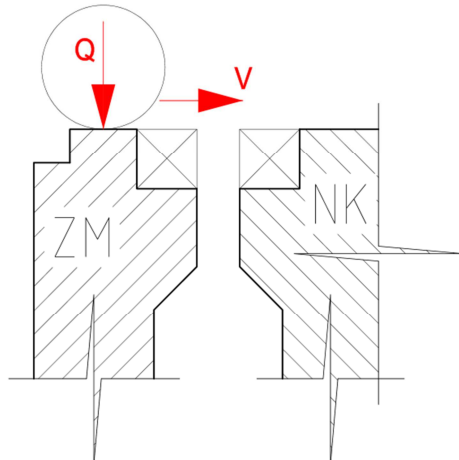
Load Case	Node	1793			1794		
Node	Reaction	FX (kN)	FY (kN)	FZ (kN)	FX (kN)	FY (kN)	FZ (kN)
LM1_B_NoPsi(MV:max)							
1793 (IN)	FX(kN)	0,0	0,0	57,2	0,0	2,1	607,6
	FY(kN)	0,0	0,0	57,2	0,0	2,1	607,6
	FZ(kN)	0,0	0,0	988,9	0,0	-6,7	691,4
1794 (OUT)	FX(kN)	0,0	0,0	57,2	0,0	2,1	607,6
	FY(kN)	0,0	0,0	-40,2	0,0	49,8	356,1
	FZ(kN)	0,0	0,0	53,4	0,0	2,8	1908,8

Load Case	Node	1793			1794		
Node	Reaction	FX (kN)	FY (kN)	FZ (kN)	FX (kN)	FY (kN)	FZ (kN)
g13_sup-inf(MV:max)							
1793 (IN)	FX(kN)	0,0	0,0	0,0	0,0	0,0	0,0
	FY(kN)	0,0	0,0	0,0	0,0	0,0	0,0
	FZ(kN)	0,0	0,0	356,4	0,0	-5,4	47,9
1794 (OUT)	FX(kN)	0,0	0,0	0,0	0,0	0,0	0,0
	FY(kN)	0,0	0,0	136,7	0,0	17,4	88,8
	FZ(kN)	0,0	0,0	4,8	0,0	6,5	291,8

Node	Load	FX (kN)	FY (kN)	FZ (kN)
1793 (IN)	Zvrsok	0,0	0,0	113,8
	Self_weight	0,0	0,0	2007,5
1794 (OUT)	Zvrsok	0,0	-0,1	612,0
	Self_weight	0,0	-8,6	2003,0

13.3.2.5 Zaťaženie opory priamo kolesom na závernom múriku

Pri zaťažení na záverny múrik sa uvažuje so zaťažením jednej nápravy zo zostavy zaťažovacieho modelu LM1 a s brzdnou silou 60% tejto sily. Pri tomto zaťažení sa neuvažuje so súčasným pôsobením zaťažení na násyp (STN EN 1991-2, čl. 4.9.2).



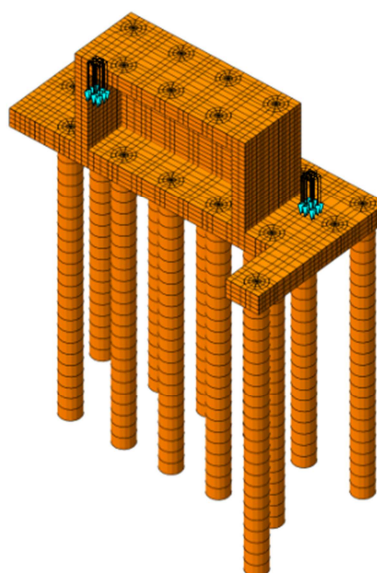
$$Q = Q_w = \frac{\alpha_{Qi} \cdot Q_{1k}}{m}$$

$$V = V_w = 0,6 \cdot Q_w$$

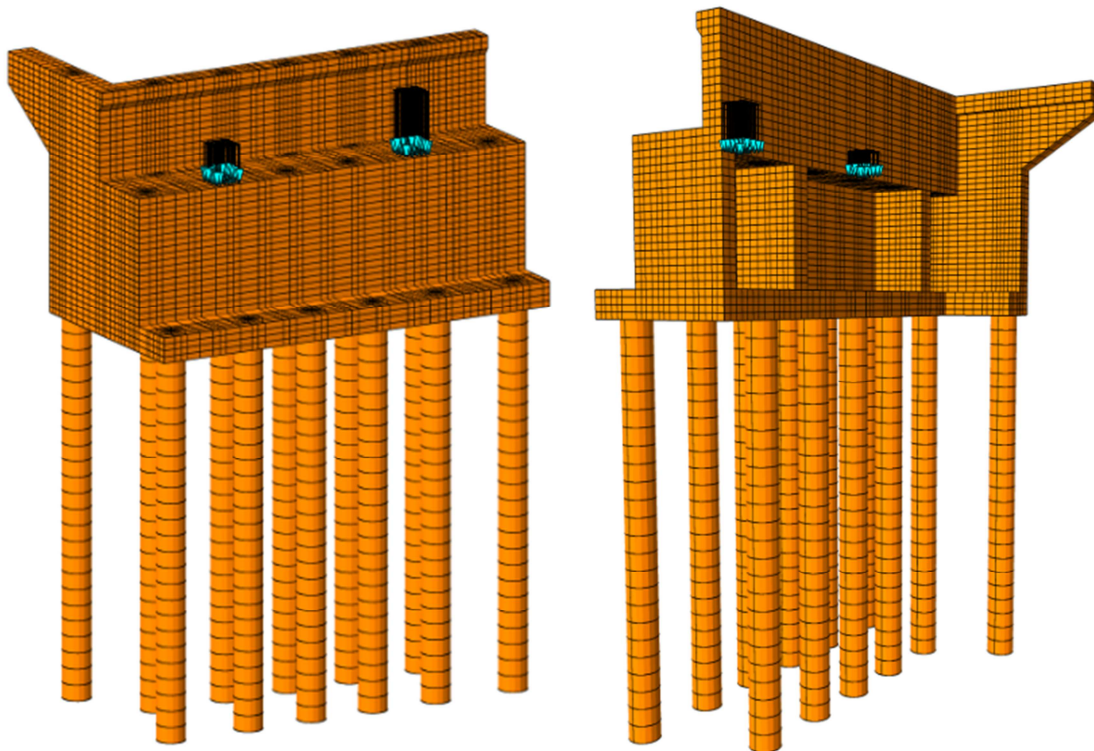
Most	Opora	m	Q	V
	(č.)	(m)	(kN.m ⁻¹)	(kN.m ⁻¹)
LM	1	11,25	26,67	16,0
	19	11,25	26,67	16,0
PM	2	13,25	22,64	13,59
	22	11,25	26,67	16,0

13.3.2.6 Model

Model konštrukcie bol vytvorený v programe Midas Civil. Konštrukcia opory bola namodelovaná z 3D elementov (solid). Samotná opora je uložená na veľkopriemerových pilótach priemeru.



Obr. 9 Etapa 1, zaťaženie v mieste hydraulických lisov



Obr. 10 Etapa 2, zaťaženie v mieste ložísk od hornej stavby

13.3.3 Posúdenie pilót pod oporou

Pilóty sa namodelovali ako prútové elementy s plášťovým trením, ktoré je namodelované ako poddajné uloženie (pružiny). Tuhosť pružín vychádzala z geologického profilu v danom mieste.

13.3.3.1 Návrhový postup

Pre výber návrhových postupov sa použije návrhový postup 2 a pre posudzovanie celkovej stability a numerické metódy návrhový postup 3 (STN 1997-1/NA, čl.NA.2.12).

Návrhový postup 2:

A1+M1+R2

Návrhový postup 3:

(A1 alebo A2)“+“M2“+“R3

Parciálne súčinitele zaťažení (γ_F), alebo účin kov zaťažení (γ_E) (STN EN1990, tab. A2.4(B)).

Vlastná tiaž základu $\gamma_{G,sup} = 1,35$ $\gamma_{G,inf} = 1,00$

Tiaž zeminy (zvislý tlak) $\gamma_{G,sup} = 1,35$ $\gamma_{G,inf} = 1,00$

Vodorovný zemný tlak $\gamma_{G,sup} = 1,35$ $\gamma_{G,inf} = 1,00$

Stále zaťaženie z NK $\gamma_{G,sup} = 1,35$ $\gamma_{G,inf} = 1,00$

Zaťaženie dopravou z NK $\gamma_Q = 1,35$ (nepriaznivo) $\gamma_Q = 1,00$ (priaznivo)

Premenná časť vodorovného zemného tlaku od príťaženia dopravou

$\gamma_Q = 1,50$ (nepriaznivo) $\gamma_Q = 1,00$ (priaznivo)

Parciálne súčinitele zaťažení (γ_F), alebo účinkov zaťaženia (γ_E)

Zaťaženia		Symbol	Skupina	
			A1	A2
Trvalé	Nepriaznivé	γ_G	1,35	1,00
	Priaznivé		1,00	1,00
Premenné	Nepriaznivé	γ_Q	1,50	1,30
	Priaznivé		0,00	0,00

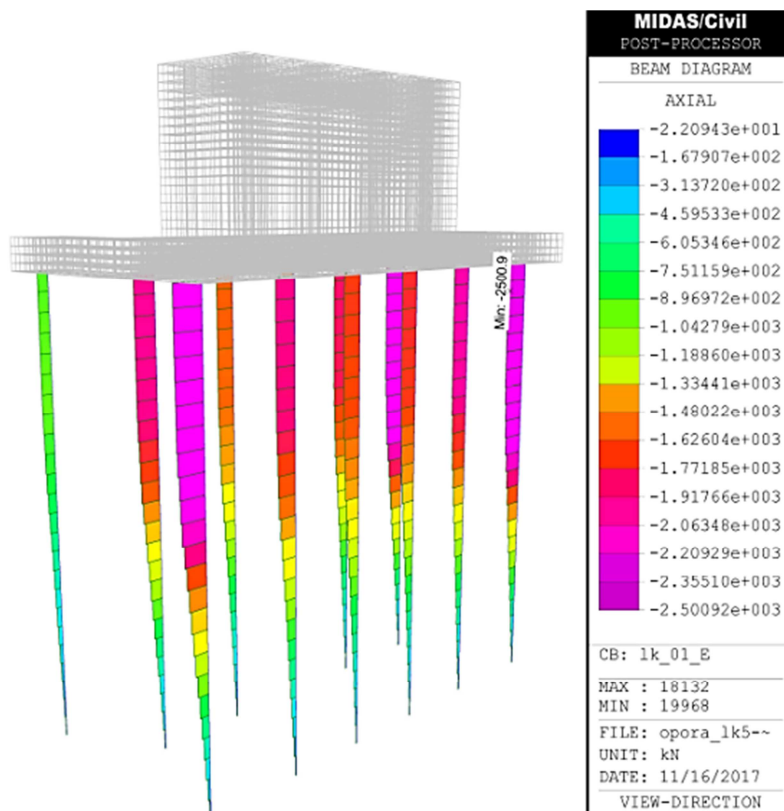
Parciálne súčinitele parametrov zemín (γ_M)

Parameter zeminy		Skupina	
		M1	M2
Uhол vnútorného trenia ^a	γ_ϕ	1,0	1,25
Efektívna súdržnosť	γ_c	1,0	1,25
Šmyková pevnosť za neodvodnených podmienok	γ_{cu}	1,0	1,40
Jednoosová pevnosť	γ_{qu}	1,0	1,40
Objemová tiaž	γ_y	1,0	1,00

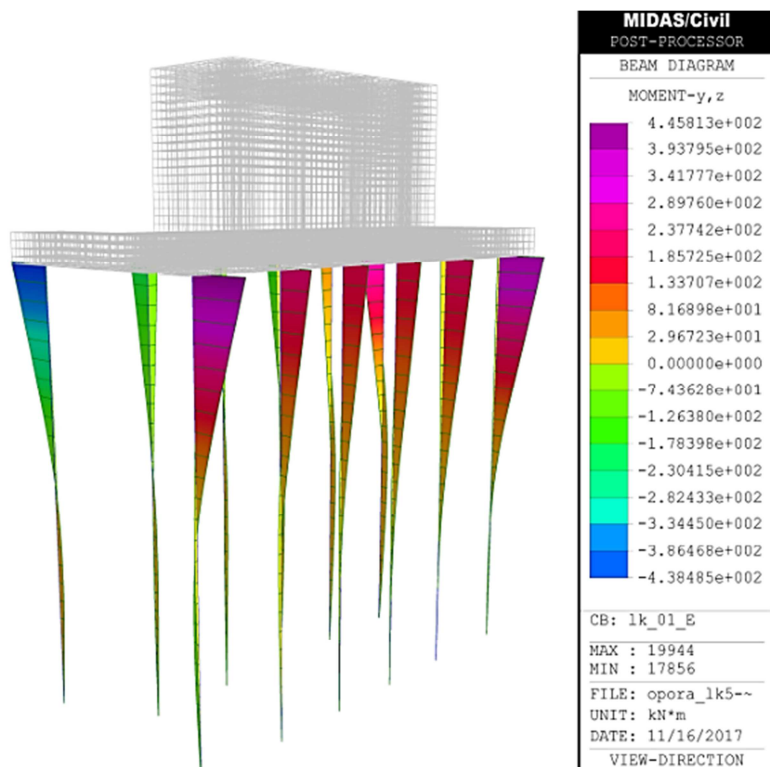
^a tento súčinieľ sa aplikuje na $\tan \phi'$

13.3.3.2 Návrhové sily – Etapa 1 – štadíum vysúvania a betonáže

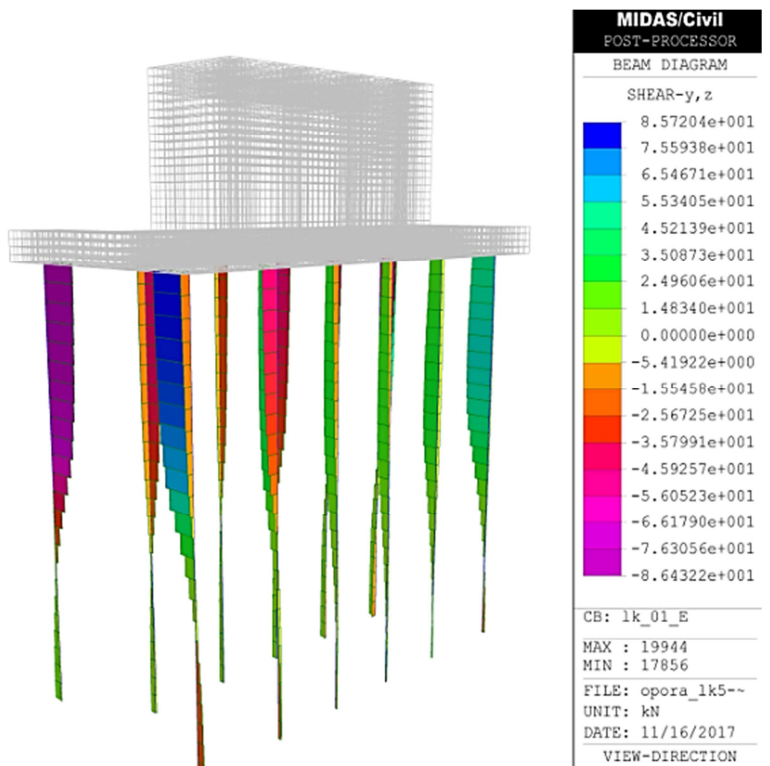
13.3.3.2.1 Obálka maximálnych osových síl (kN)



13.3.3.2.2 Obálka maximálnych ohybových momentov (kNm)

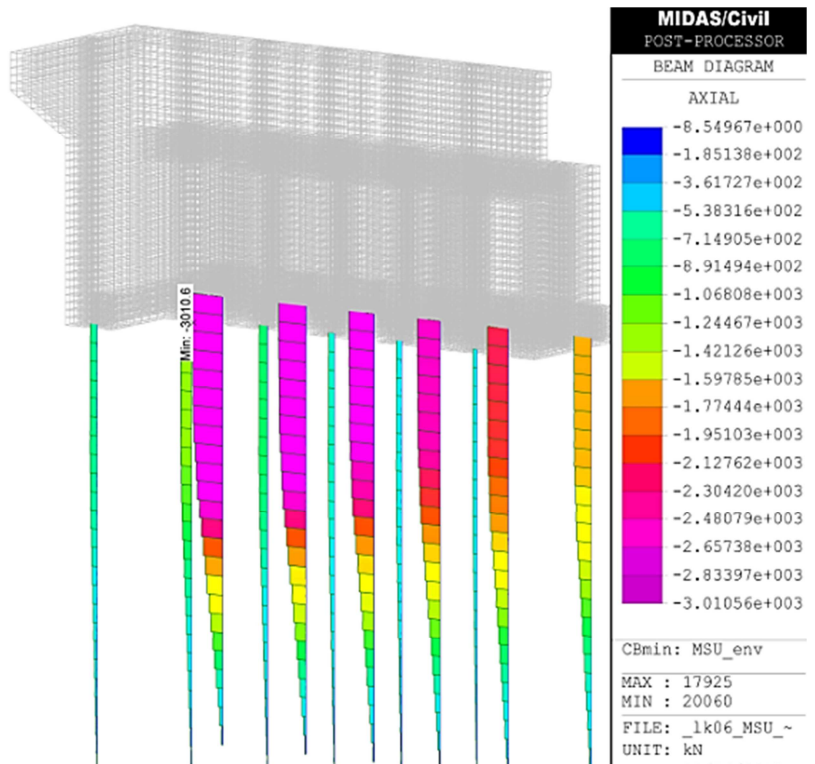


13.3.3.2.3 Obálka maximálnych posúvajúcich síl (kN)

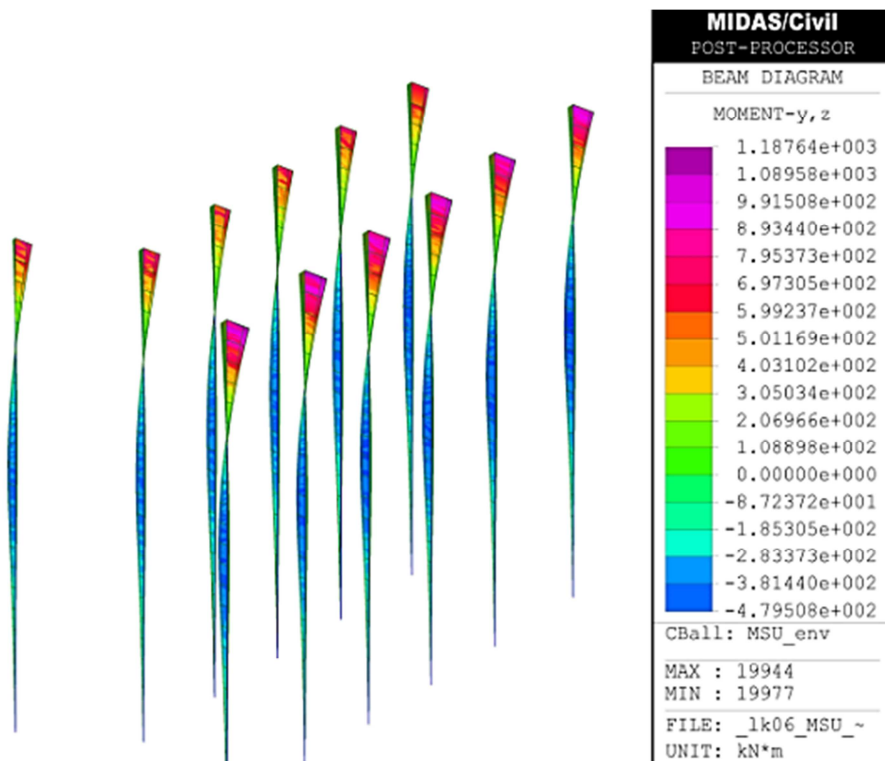


13.3.3.3 Návrhové sily – Etapa 2 – štadium užívania

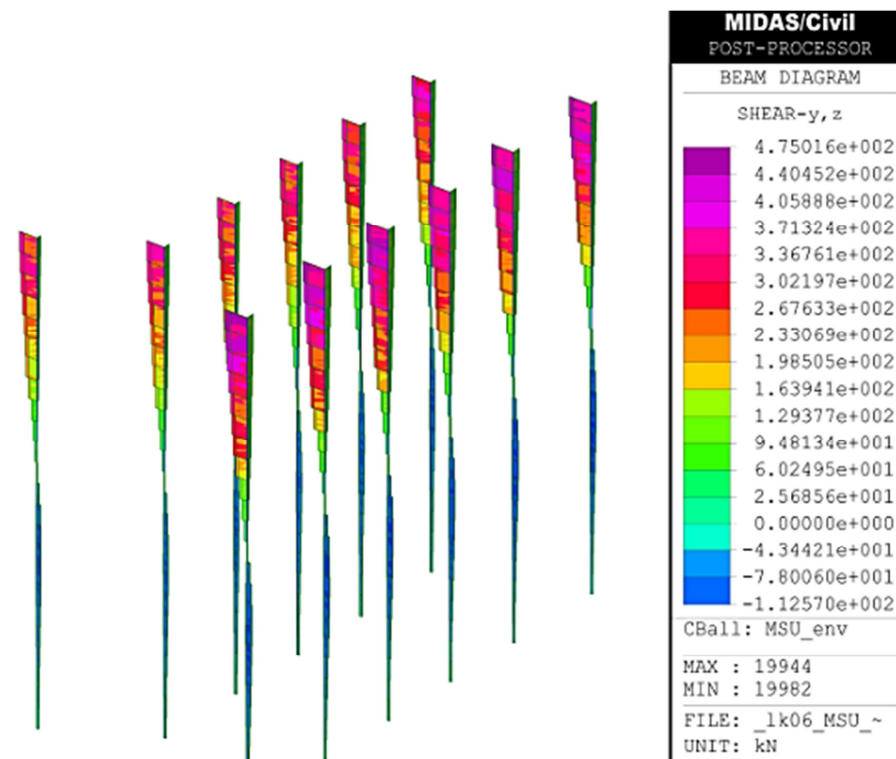
13.3.3.3.1 Obálka maximálnych osových síl (kN)



13.3.3.3.2 Obálka maximálnych ohybových momentov (kNm)

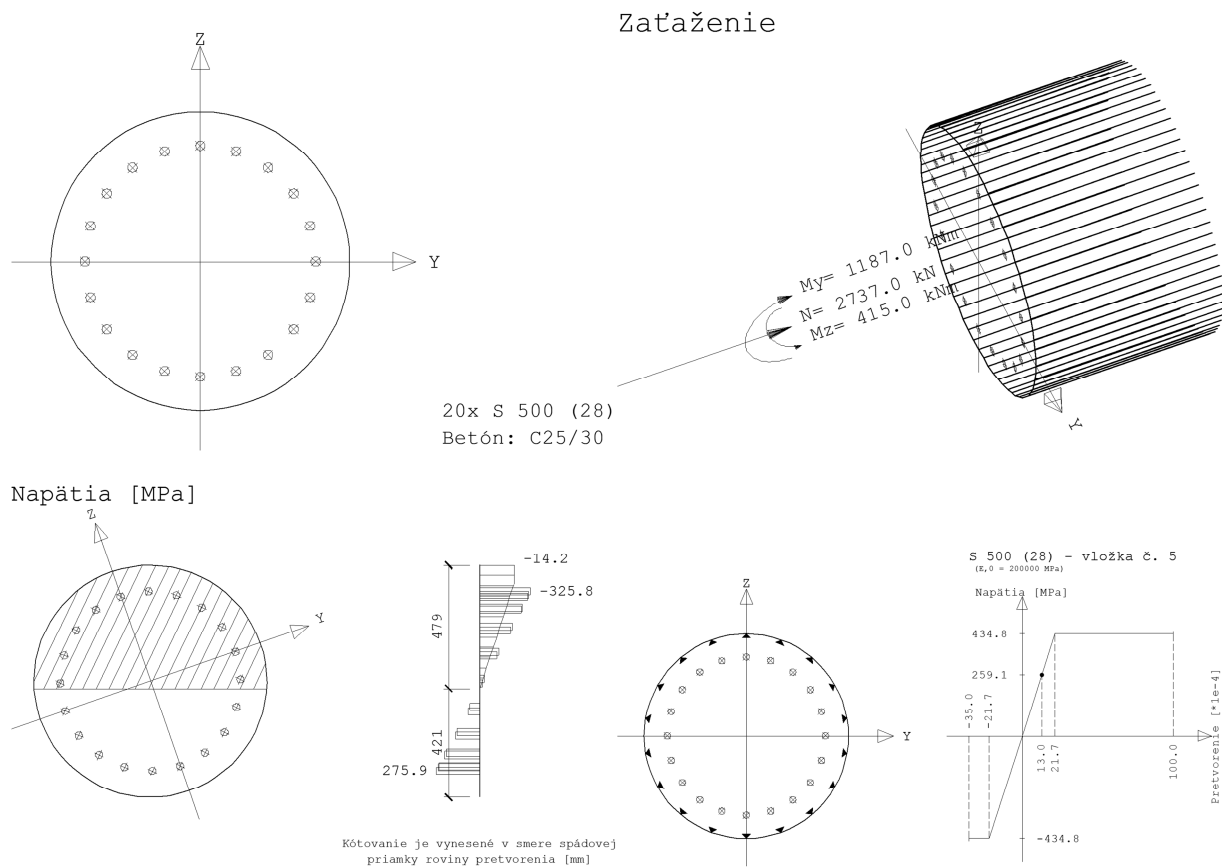


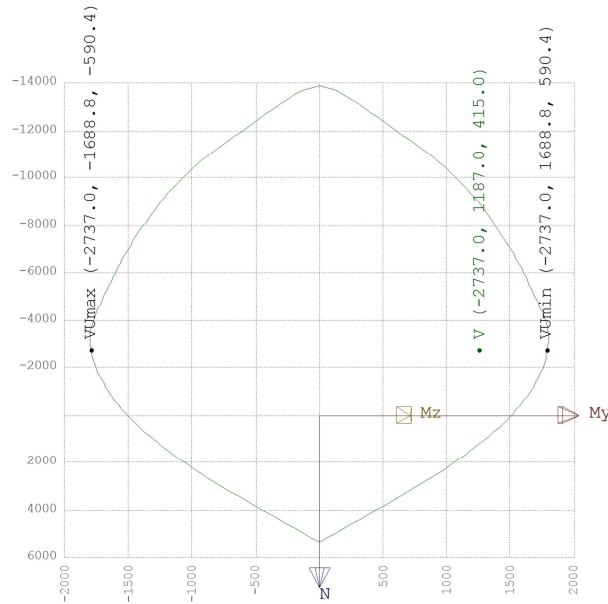
13.3.3.3.3 Obálka maximálnych posúvajúcich síl (kN)



13.3.3.4 Posúdenie prierezu najviac namáhanej pilóty.

Pri posúdení prierezu je uvažované aj s účinkami zosuvu v oblasti opôr č.1 2.





Nu,min=-2737.0000 kN
 Myu,min=1688.7906 kNm
 Mzu,min=590.4365 kNm

= Nd=-2737.0000 kN
 > Myd=1187.0000 kNm
 > Mzd=415.0000 kNm

= Nu,max=-2737.0000 kN
 > Myu,max=-1688.7906 kNm
 > Mzu,max=-590

VYHOVUJE

tr.betónu	C 30/37	
act	mosty	
fctd	1,333	Mpa
η ₁	dobré podmienky	
η ₂	Ø≤32mm	
fbd	3	MPa

Základná kotevná dĺžka

σ sd	276	MPa
Ø	Ø28	mm
I b, rqd	644	mm

Návrhová kotevná dĺžka

	ťah	tlak
α 1	1	1
α 2	1	1
α 3	1	1
α 4	1	1
α 5	1	1

Minimálna kotevná dĺžka

	lb, min
kotvenie v ťahu	280
kotvenie v tlaku	386

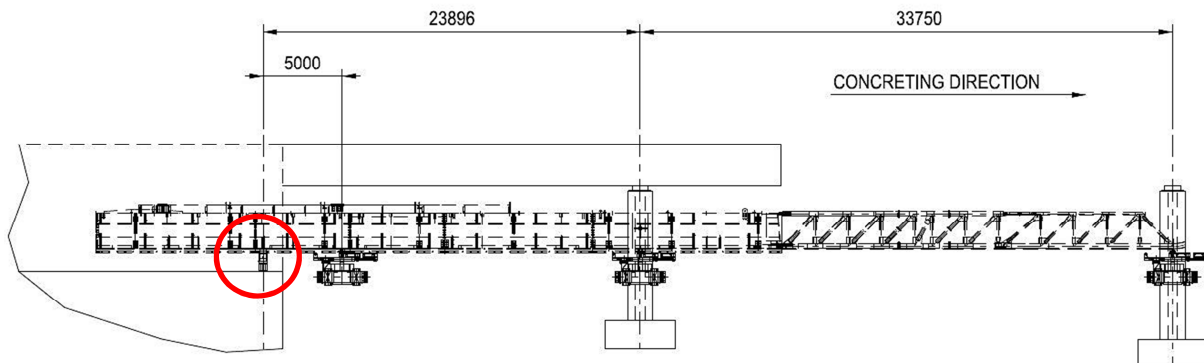
Návrhová kotevná dĺžka, I bd

kotvenie v ťahu	644	mm
kotvenie v tlaku	644	mm

13.3.4 Posúdenie prierezov na opore

13.3.4.1 Štadium výstavby

13.3.4.1.1 Lokálne podopretie lisu na základovom páse „jack“



$$a = 0,5m$$

$$F=4,0MN$$

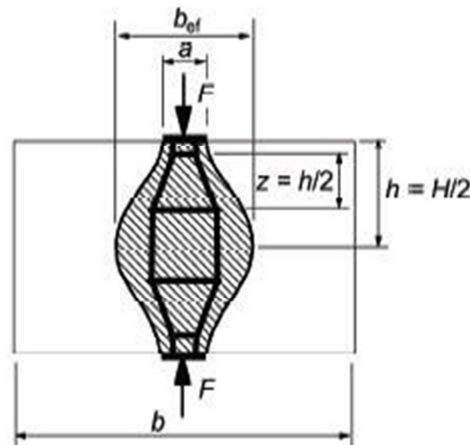
$$H=0,8m$$

$$b_{\text{eff}}=0,725m$$

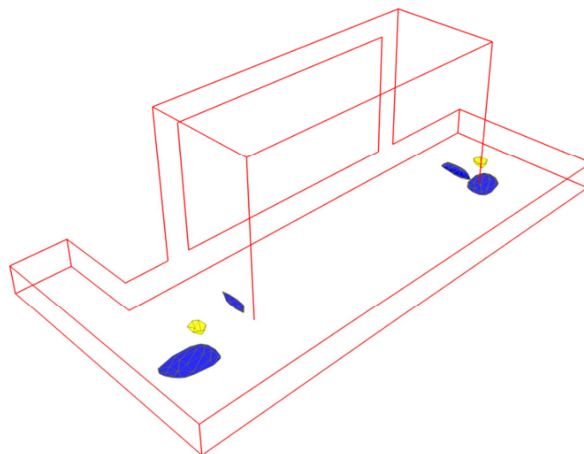
$$T=562,5kN$$

$$5\varnothing 20/\text{á}150\text{mm}$$

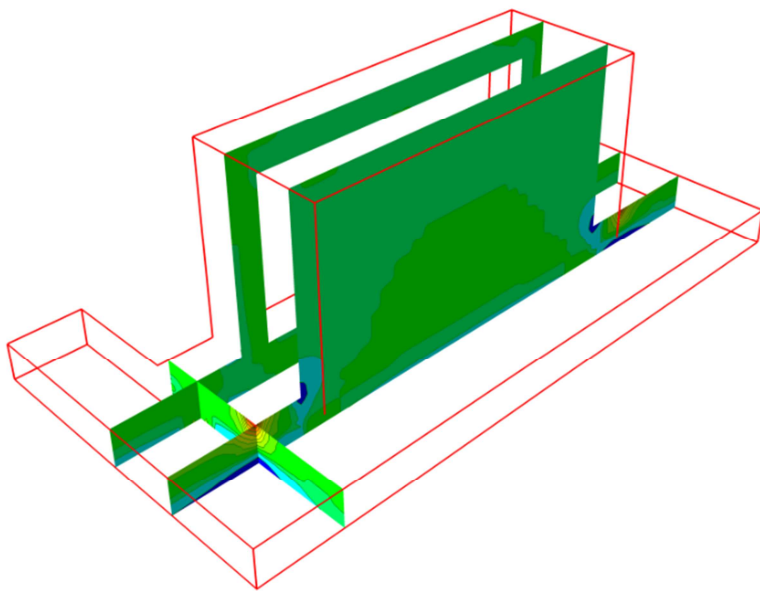
VYHOVUJE



13.3.4.1.2 Najviac namáhané prierezy na opore v štadiu výstavby



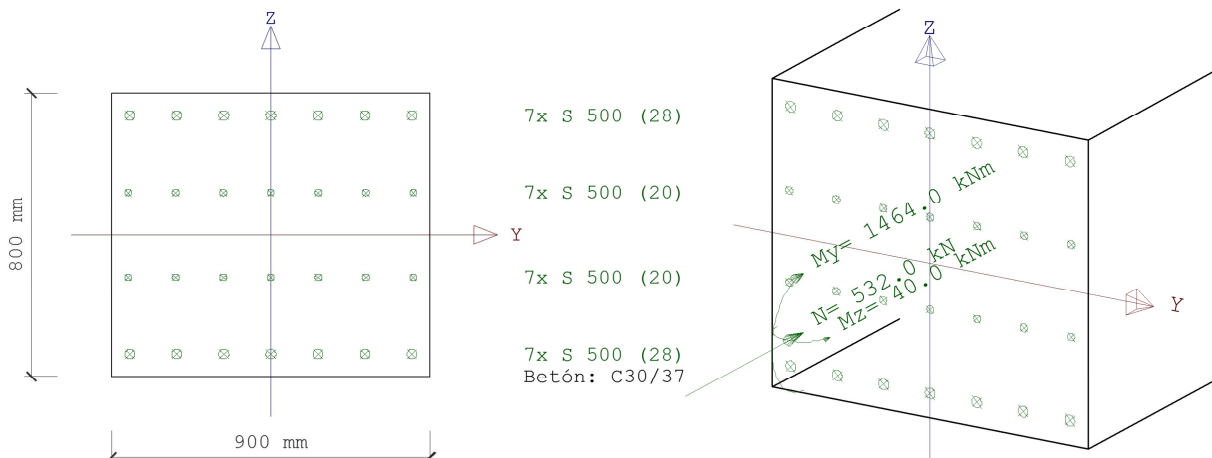
Obr. 11 Najviac namáhané oblasti na opore v štadiu výstavby



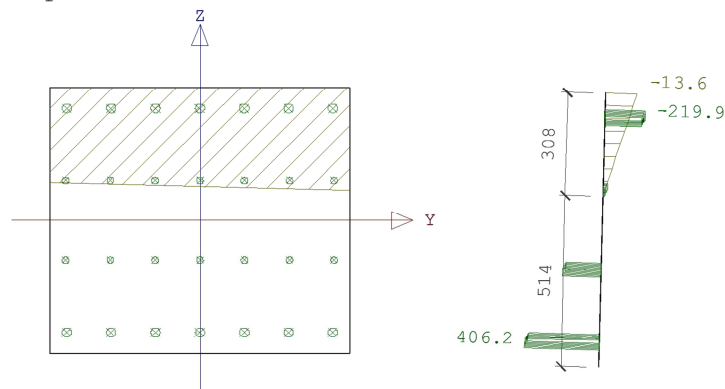
13.3.4.1.3 Základový pás - podopretie lisu na základovom páse „jack“

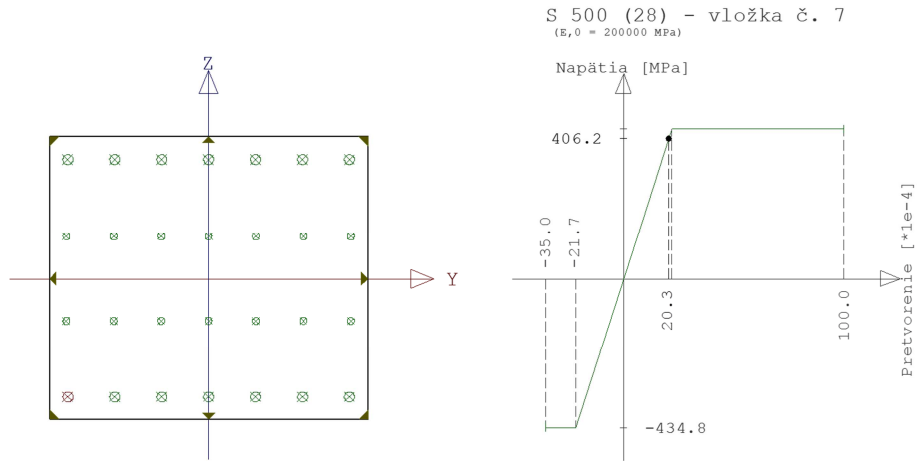
Smer yy

Zaťaženie



Napäcia [MPa]





$\text{Nu,min}=-532.0000 \text{ kN}$
 $\text{Myu,min}=1987.4443 \text{ kNm}$
 $\text{Mzu,min}=54.3018 \text{ kNm}$

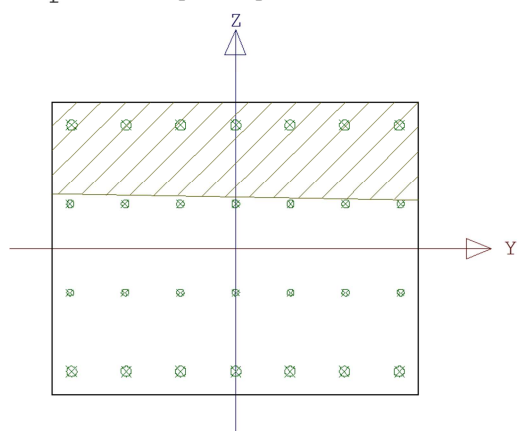
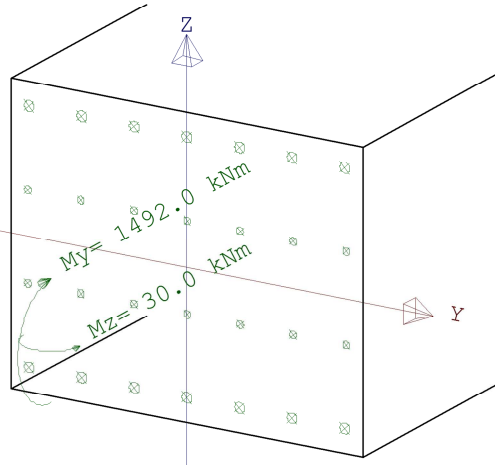
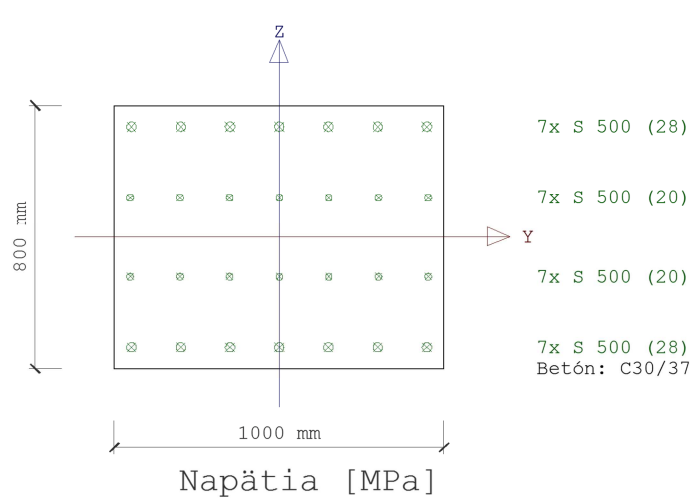
$= \text{Nd}=-532.0000 \text{ kN}$
 $> \text{Myd}=1464.0000 \text{ kNm}$
 $> \text{Mzd}=40.0000 \text{ kNm}$

$= \text{Nu,max}=-532.0000 \text{ kN}$
 $> \text{Myu,max}=-1987.4443 \text{ kNm}$
 $> \text{Mzu,max}=-54.3018 \text{ kNm}$

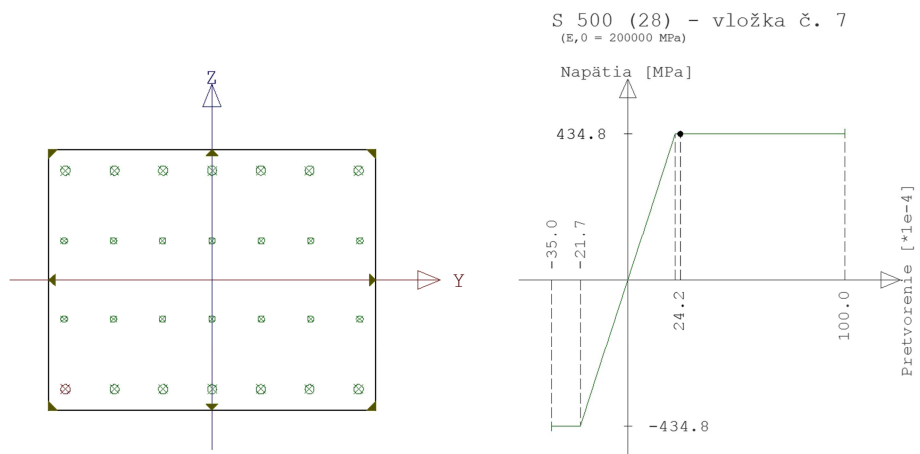
VYHOVUJE

Smer xx

Zatáčenie

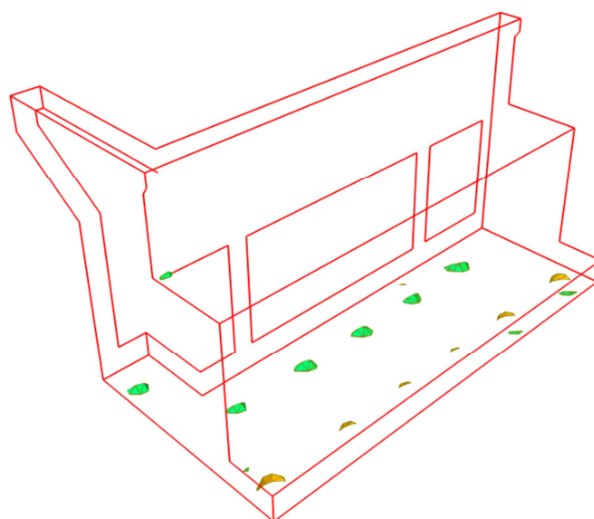


Kótovanie je vynesené v smere spádovej
priamky roviny pretvorenia [mm]



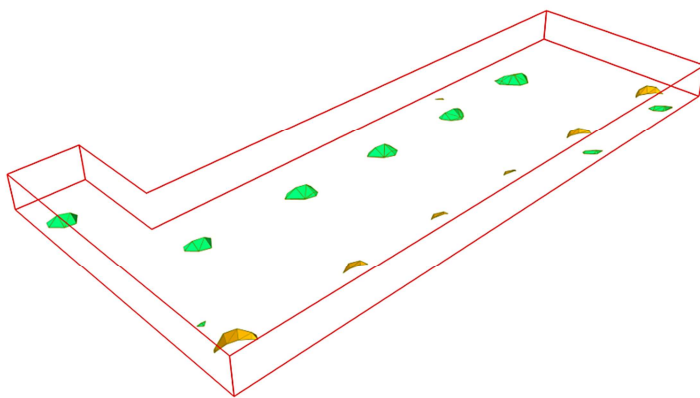
$N_{u,min}=0.0000 \text{ kN} = N_d=0.0000 \text{ kN}$
 $M_{y,u,min}=1871.7158 \text{ kNm} > M_{y,d}=1492.0000 \text{ kNm}$
 $M_{z,u,min}=37.6350 \text{ kNm} > M_{z,d}=30.0000 \text{ kNm}$
VYHOVUJE

13.3.4.2 Štádium užívania

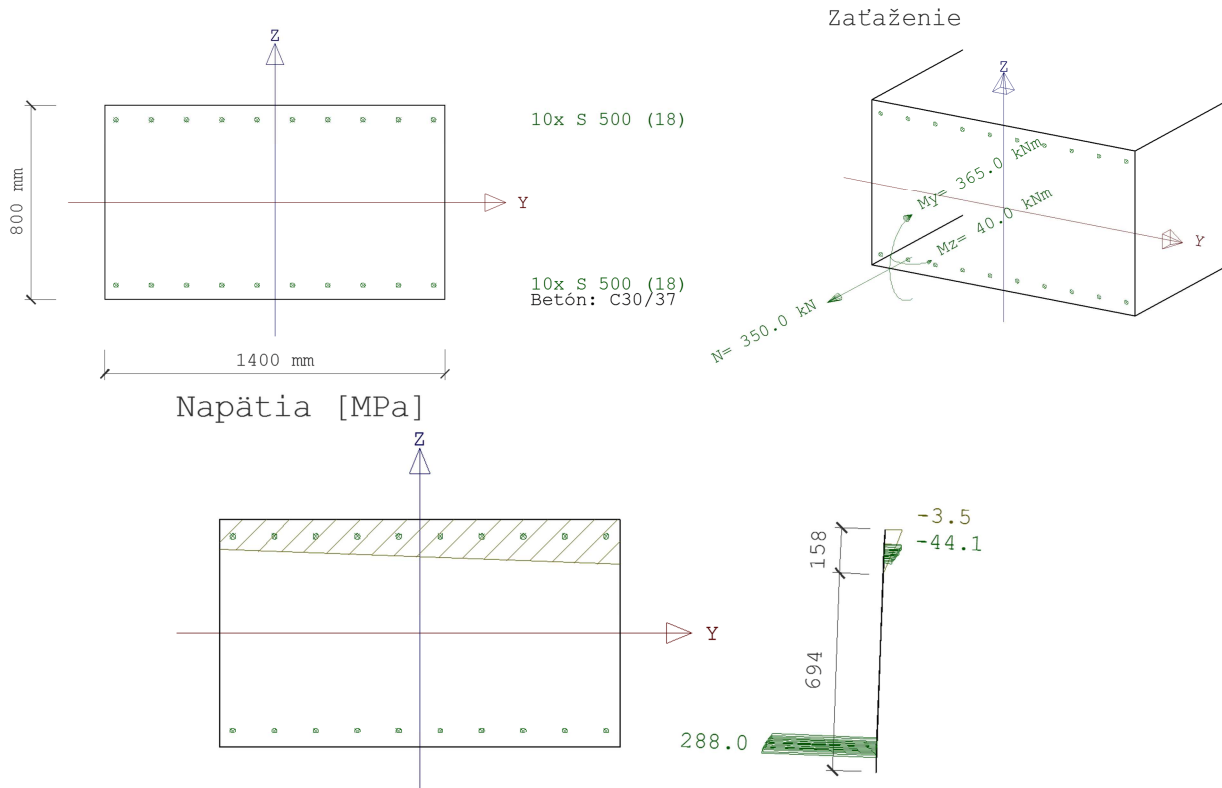


Obr. 12 Najviac namáhané oblasti na opore v štádiu užívania

13.3.4.2.1 Základový pás

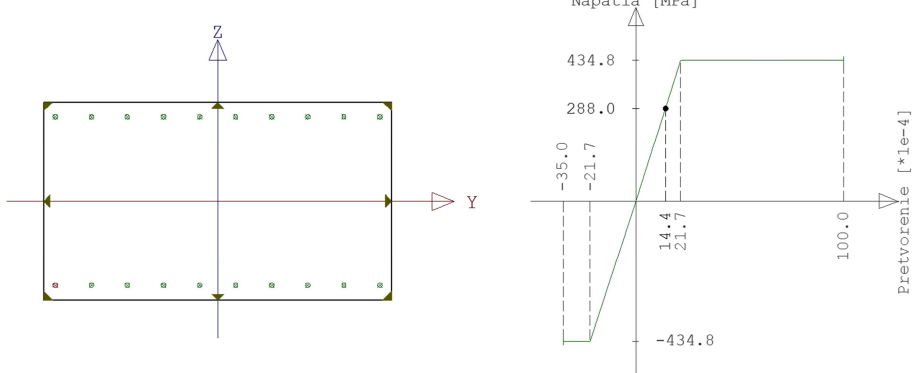


Obr. 13 Najviac namáhané oblasti na základovom páse v štádiu užívania

Smer yy – základový pas


Kótovanie je vynesené v smere spádovej priamky roviny pretvorenia [mm]

S 500 (18) – vložka č. 10
 $(E_r, 0 = 200000 \text{ MPa})$



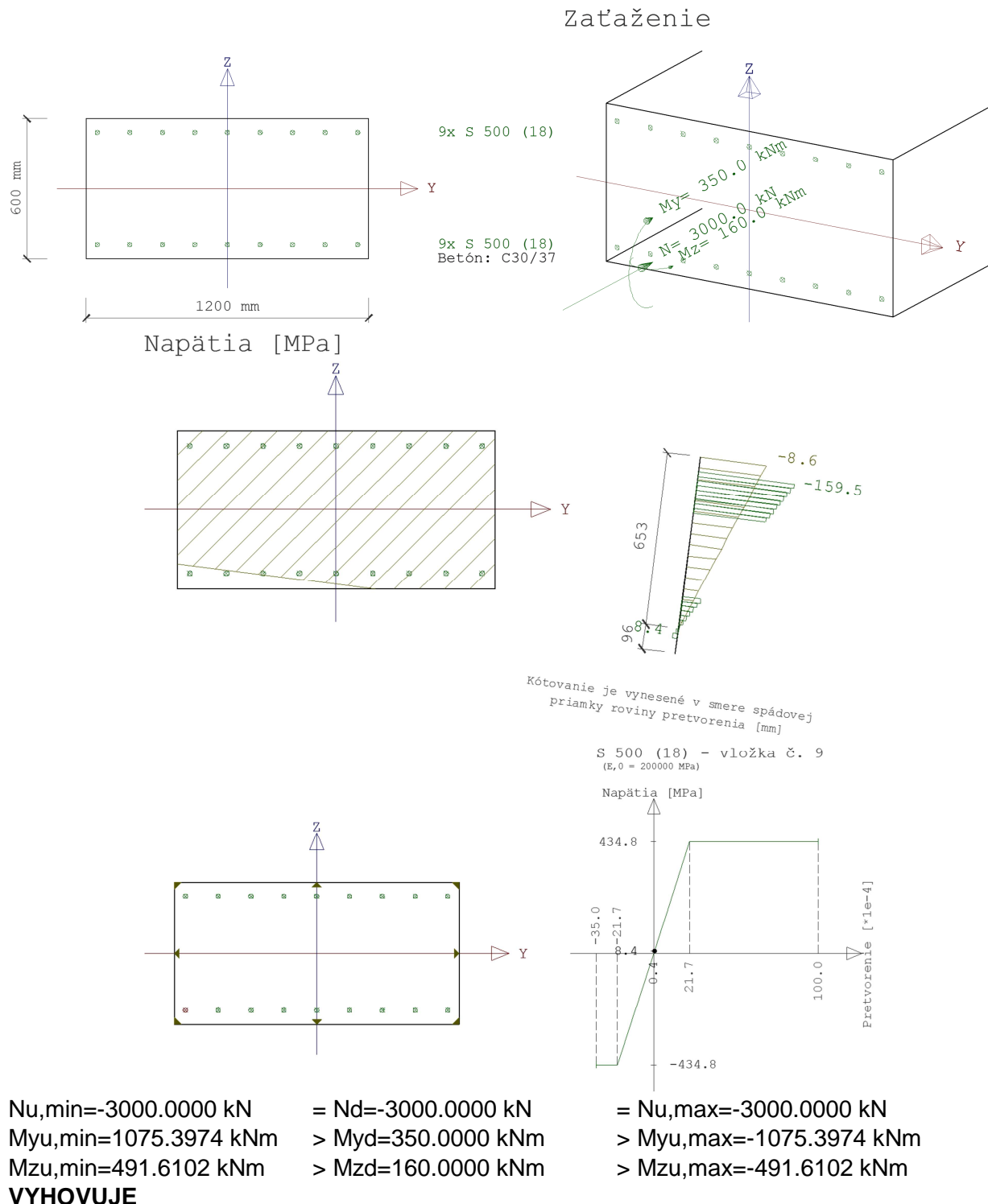
$$\begin{aligned} \text{Nu,min} &= 350.0000 \text{ kN} \\ \text{Myu,min} &= 653.9603 \text{ kNm} \\ \text{Mzu,min} &= 71.6669 \text{ kNm} \end{aligned}$$

$$\begin{aligned} &= \text{Nd} = 350.0000 \text{ kN} \\ &> \text{Myd} = 365.0000 \text{ kNm} \\ &> \text{Mzd} = 40.0000 \text{ kNm} \end{aligned}$$

VYHOVUJE

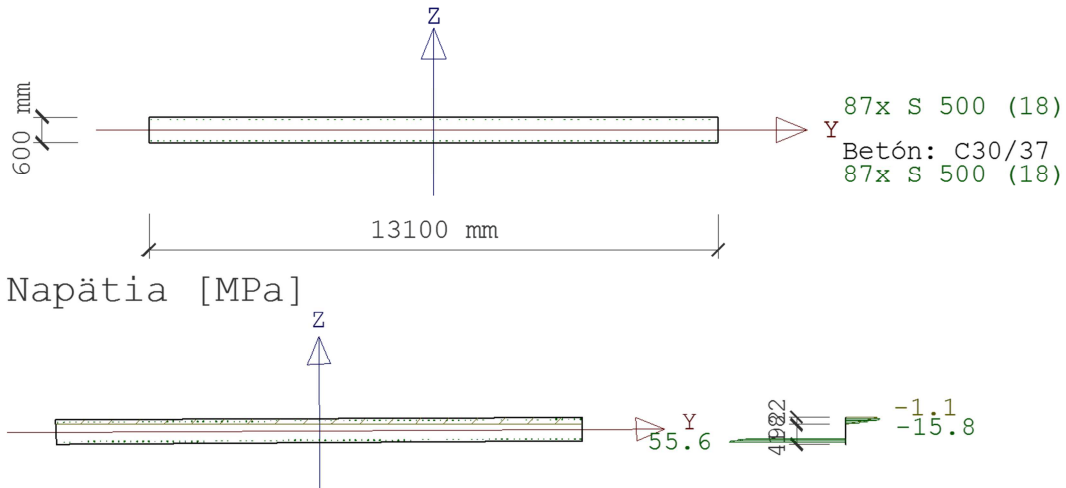
$$\begin{aligned} &= \text{Nu,max} = 350.0000 \text{ kN} \\ &> \text{Myu,max} = -653.9603 \text{ kNm} \\ &> \text{Mzu,max} = -71.6669 \text{ kNm} \end{aligned}$$

Zvislá stena - opora



13.3.4.3 Stav užívania

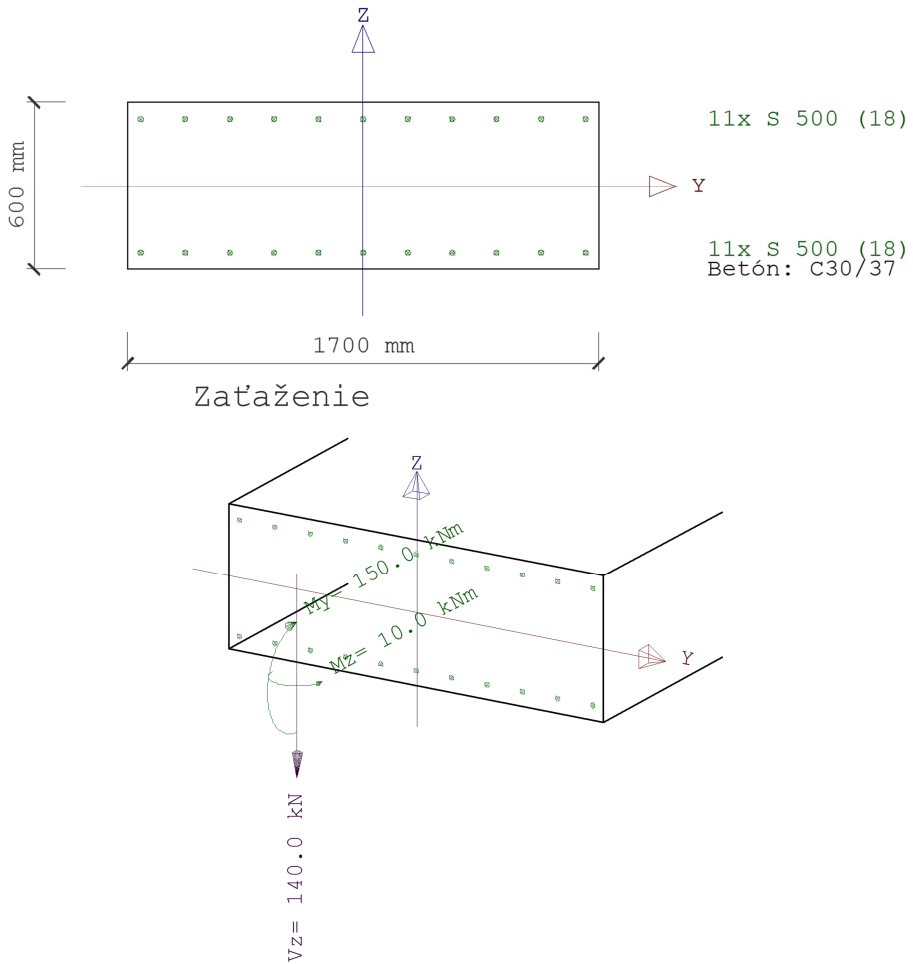
13.3.4.4 Záverny múrik

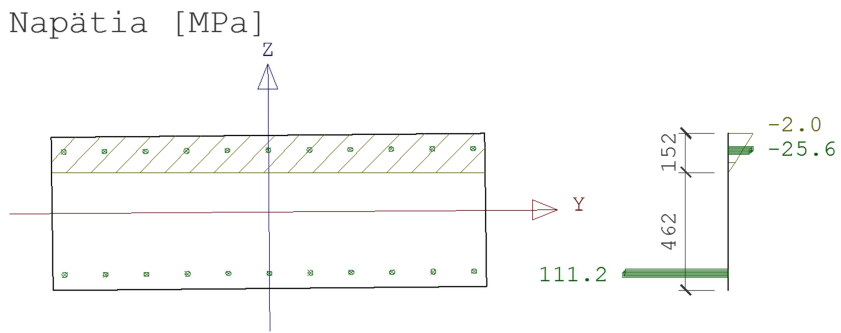


Myu,min=4602.1800 kNm > Myd=550.0000 kNm
 Mzu,min=11965.6680 kNm > Mzd=1430.0000 kNm

VYHOVUJE

Najviac namáhaný prierez





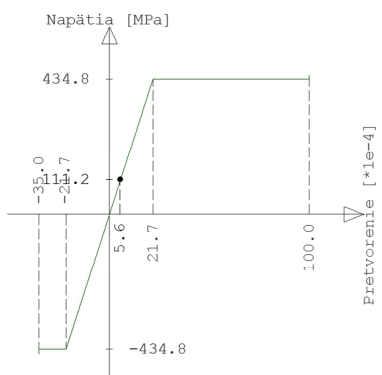
$$My_{u,\min} = 619.6939 \text{ kNm} \quad > My_d = 150.0000 \text{ kNm}$$

$$Mz_{u,\min} = 41.3129 \text{ kNm} \quad > Mz_d = 10.0000 \text{ kNm}$$

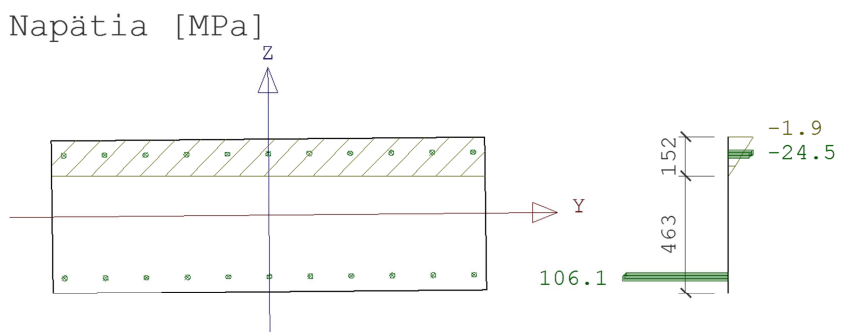
VYHOUVUJE

Kótovanie je vynesené v smere spádovej

priamky roviny pretvorenia [mm]
 S 500 (18) - vložka č. 11
 $(E_s, 0 = 20000 \text{ MPa})$



Obmedzenie napäťí



$$|min. \sigma_{h,d}| < k_1 \cdot f_{ck}(t)$$

$$|min. \sigma_{h,d}| < 0,630,0 \text{ MPa}$$

$$|-1,9| < 18 \text{ MPa}$$

VYHOUVUJE

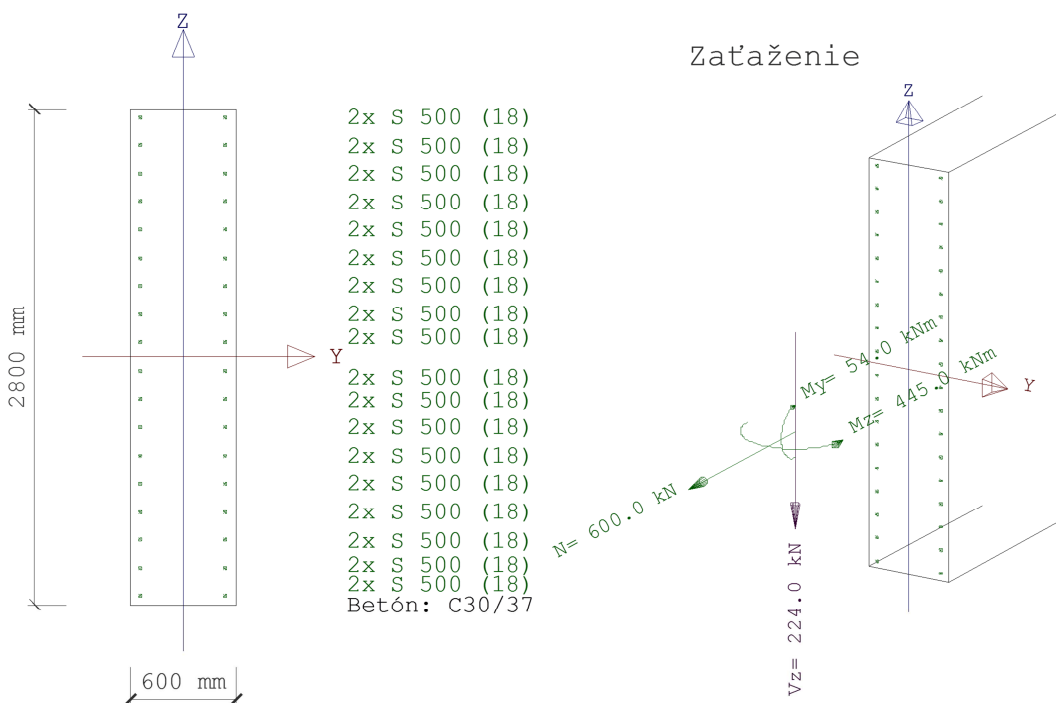
$$\sigma_s < k_3 \cdot f_y$$

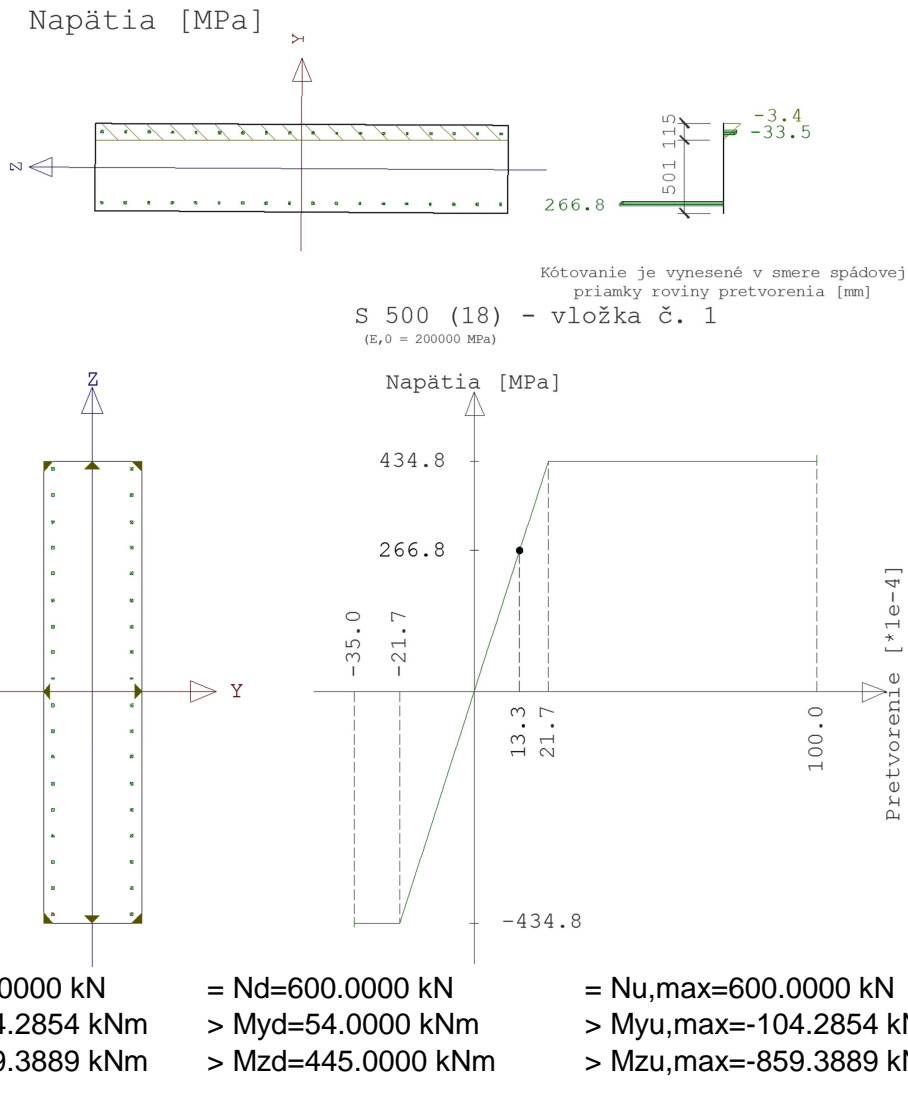
$$\sigma_s < 0,8500 \text{ MPa}$$

$$|106,1 \text{ MPa}| < 400 \text{ MPa}$$

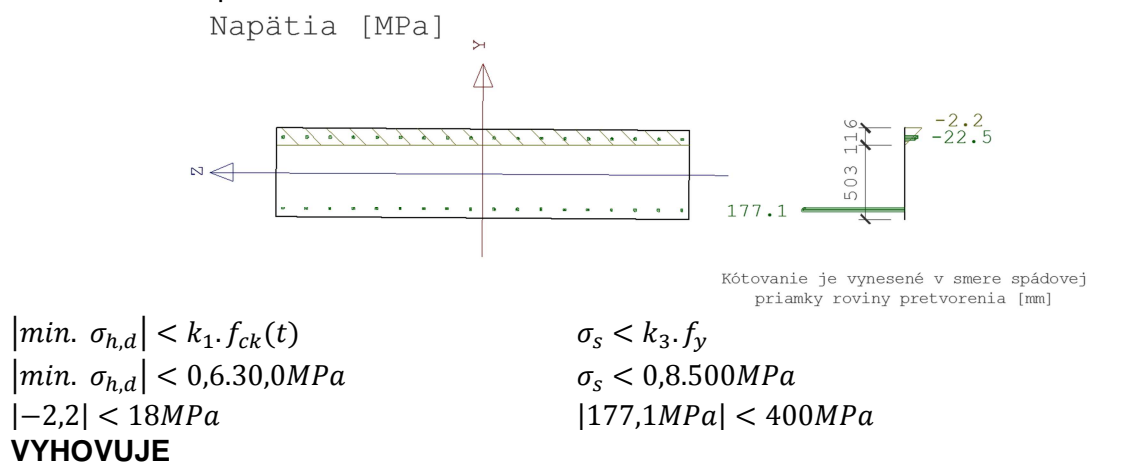
Posúdenie na posúvajúce sily

Prierez	poznamka		poznamka
Ac= 1,02 m ²		A _{s1} = 2,80E-03 m ²	Vždy zadaj plochu!!
b= 1,7 m		k _s = 11	Ø 18
h= 0,6 m			▼
tr. Betónu			
f _{ck} = 30000 kPa	C 30/37		▼
f _{cd} = 17000 kPa	acc = 0,85 MOSTY		▼
f _{ctd} = 1 333 kPa			
Výstuž		B 500 B	
f _{yd} = 434 783 kPa			
V _{ed} = 140 kN	Návrhová posúvajúca sila		
b _w = 1,7 m	Najmenšia šírka prierezu v ťahanej oblasti (6.2.2; STN EN 1992-1-1)		
C _{rd,c} = trvalá situácia	Súčinítel závislý na návrhovej situácii		
d= 0,45 m	Účinná výška prierezu		
Θ	39°		**
k= 1,667	Súčinítel výšky prierezu d(mm)		
p ₁ = 0,0037			
N _{ed} = 0 kN	Osová sila v priereze od predpäťia ***		
σ _{cp} = 0,000 Mpa			
v _{min} = 0,412	Min. ekvivalentná šmyková pevnosť		
V _{rd,c} = 340,03 kN	Návrhová hodnota šmykovej odolnosti		
V _{rd,c,min} = 315,55 kN	Minimálna návrhová hodnota šmykovej odolnosti		
V _{rd,c} = 340,03 kN	Ak nie je potrebné navrhnuť šmykovú výstuž-stačí dodržať konštrukčné zásady		

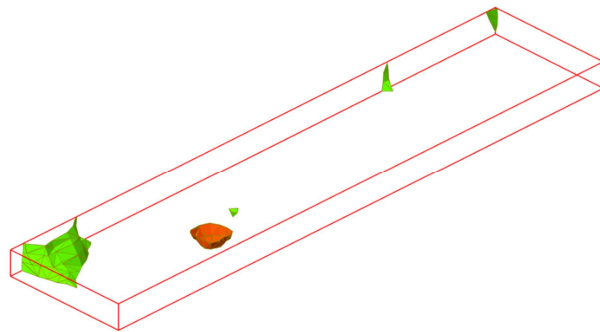




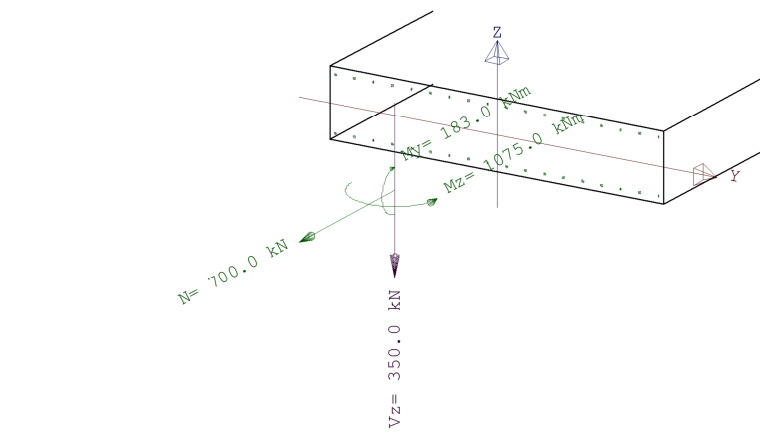
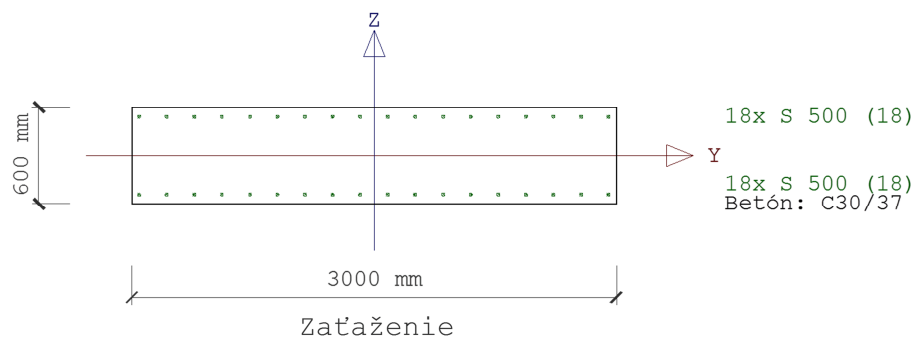
Obmedzenie napäťí



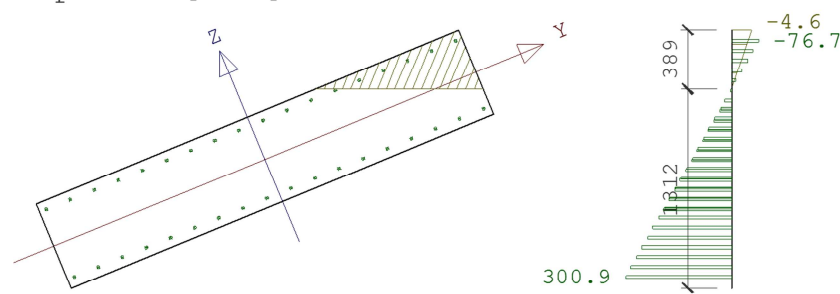
13.3.4.5 Úložný prah



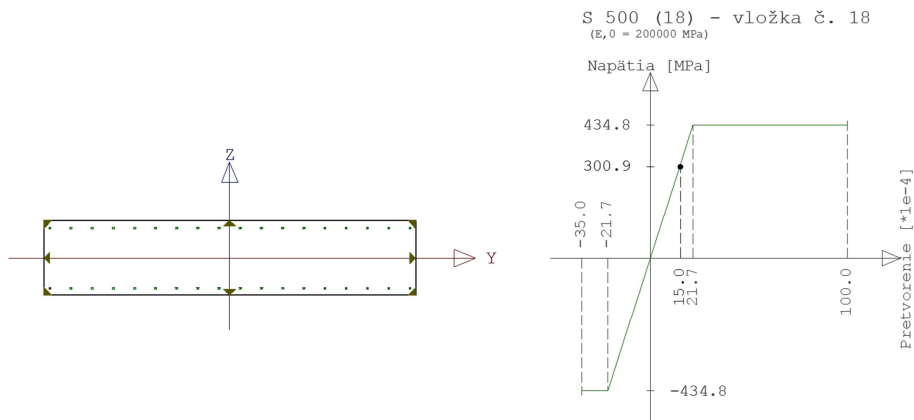
Obr. 14 Najviac namáhané oblasti na úložnom prahu



Napäcia [MPa]



Kótovanie je vynesené v smere spádovej
 priamky roviny pretvorenia [mm]

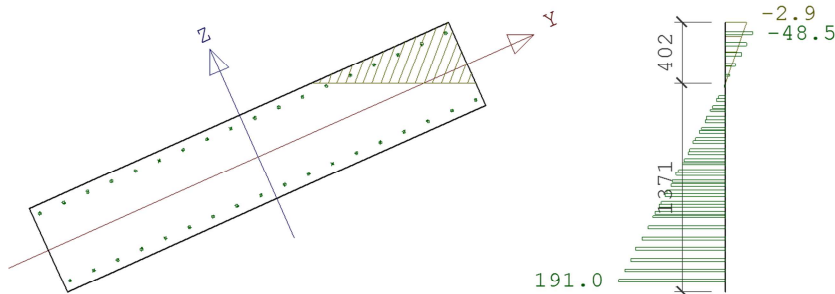


$N_{u,min} = 700.0000 \text{ kN}$ $= N_d = 700.0000 \text{ kN}$ $= N_{u,max} = 700.0000 \text{ kN}$
 $M_{y,u,min} = 639.5347 \text{ kNm}$ $> M_{y,d} = 183.0000 \text{ kNm}$ $> M_{y,u,max} = -639.5347 \text{ kNm}$
 $M_{z,u,min} = 3756.8295 \text{ kNm}$ $> M_{z,d} = 1075.0000 \text{ kNm}$ $> M_{z,u,max} = -3756.8295 \text{ kNm}$

VYHOVUJE

Obmedzenie napätií

Napäcia [MPa]



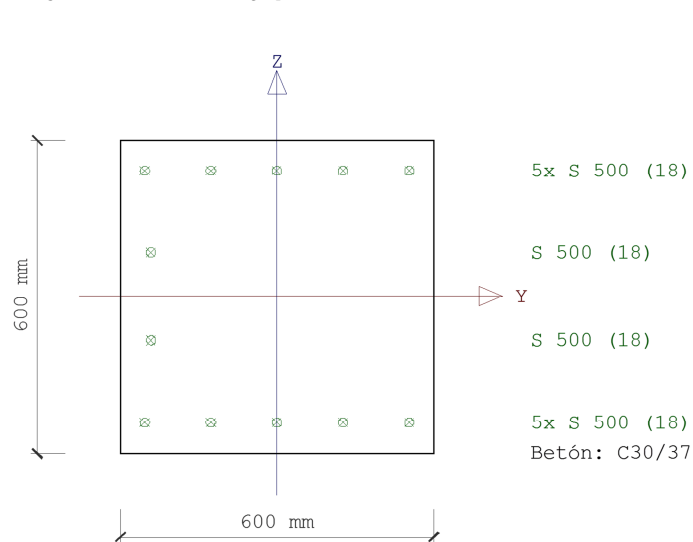
Kótovanie je vynesené v smere spádovej
 priamky roviny pretvorenia [mm]

$$\begin{aligned} |min. \sigma_{h,d}| &< k_1 \cdot f_{ck}(t) \\ |min. \sigma_{h,d}| &< 0,630,0 \text{ MPa} \\ |-2,9| &< 18 \text{ MPa} \end{aligned}$$

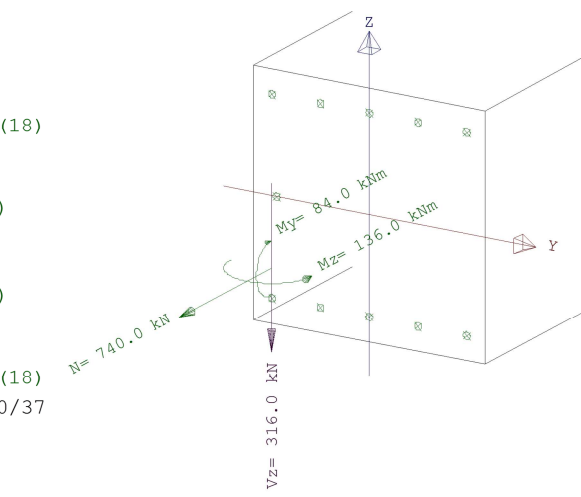
$$\begin{aligned} \sigma_s &< k_3 \cdot f_y \\ \sigma_s &< 0,8500 \text{ MPa} \\ |191,0 \text{ MPa}| &< 400 \text{ MPa} \end{aligned}$$

VYHOVUJE

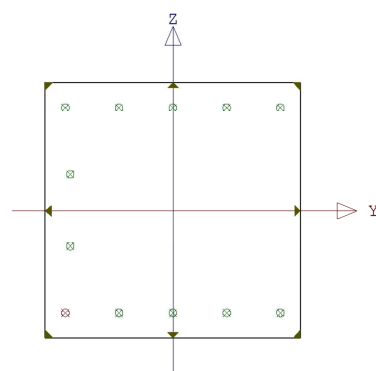
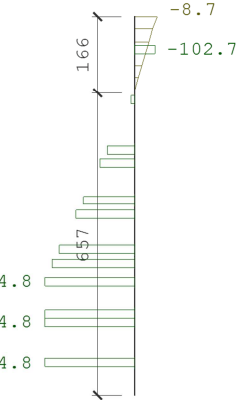
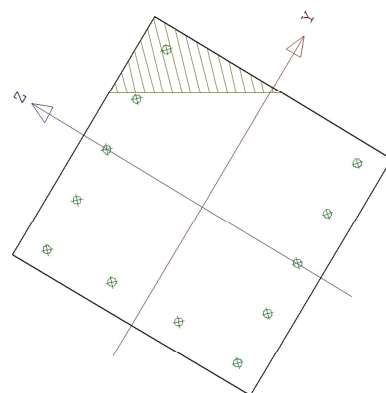
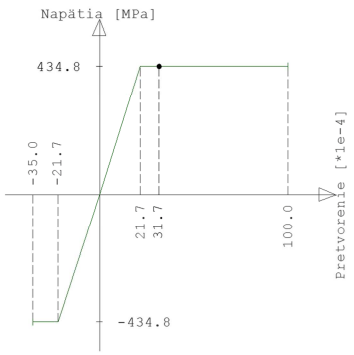
Najviac namáhaný prierez



Zaťaženie



Napäťia [MPa]


Kótovanie je vynesené v smere spádovej
priamky roviny pretvorenia [mm]
S 500 (18) – vložka č. 5
($E_0 = 200000 \text{ MPa}$)


$$Nu_{min} = 740.0000 \text{ kN}$$

$$= Nd = 740.0000 \text{ kN}$$

$$Myu_{min} = 87.7686 \text{ kNm}$$

$$> Myd = 84.0000 \text{ kNm}$$

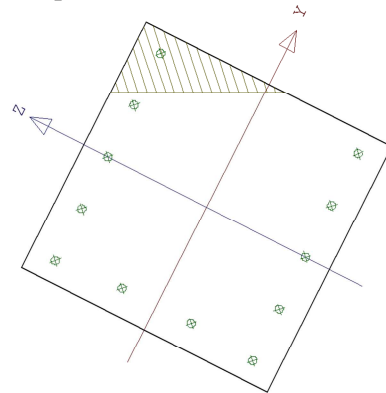
$$Mzu_{min} = 142.1015 \text{ kNm}$$

$$> Mzd = 136.0000 \text{ kNm}$$

VYHOVUJE

Obmedzenie napäťí

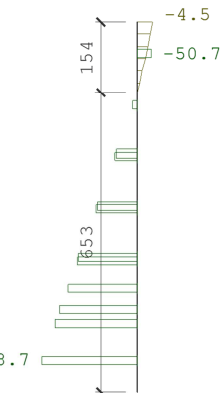
Napäťia [MPa]



$$= Nu_{max} = 740.0000 \text{ kN}$$

$$> Myu_{max} = -56.5334 \text{ kNm}$$

$$> Mzu_{max} = -91.5303 \text{ kNm}$$


Kótovanie je vynesené v smere spádovej
priamky roviny pretvorenia [mm]

$$|min. \sigma_{h,d}| < k_1 \cdot f_{ck}(t)$$

$$\sigma_s < k_3 \cdot f_y$$

$$|min. \sigma_{h,d}| < 0,630,0 \text{ MPa}$$

$$\sigma_s < 0,8500 \text{ MPa}$$

$$|-4,5| < 18 \text{ MPa}$$

$$|348,7 \text{ MPa}| < 400 \text{ MPa}$$

VYHOVUJE

Posúdenie na posúvajúce sily

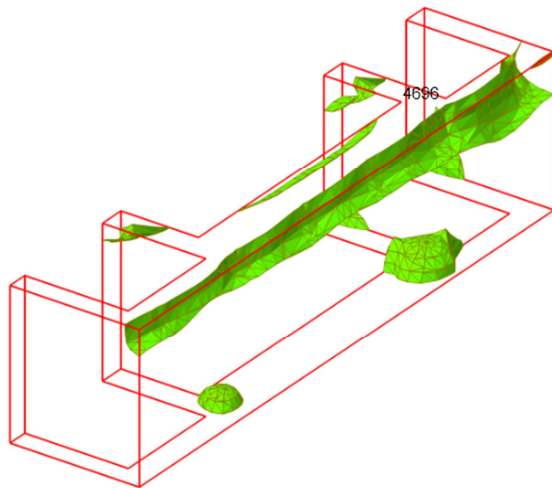
Prierez	poznamka		poznamka
A _c = 0,36 m ²		A _{s1} = 1,27E-03 m ²	Vždy zadaj plochu!!
b= 0,6 m		k _s = 5	Φ 18
h= 0,6 m			
tr. Betónu			C 30/37
f _{ck} = 30000 kPa			
f _{cd} = 17000 kPa		acc = 0,85 MOSTY	
f _{cld} = 1 333 kPa			
Výstuž			B 500 B
f _{yd} = 434 783 kPa			
V _{ed} = 316 kN	Návrhová posúvajúca sila		
b _w = 0,6 m	Najmenšia šírka prierezu v ťahanej oblasti (6.2.2; STN EN 1992-1-1)		
C _{d,c} = trvalá situácia	Súčinieľ závislý na návrhovej situácii		
d= 0,5 m	Účinná výška prierezu		
Θ 39°		**	
k= 1,632	Súčinieľ výšky prierezu d(mm)		
ρ _i = 0,0042			
N _{ed} = 0 kN	Osová sila v priereze od predpäťia ***		
σ _{cp} = 0,000 Mpa			
V _{min} = 0,400	Min. ekvivalentná šmyková pevnosť		
V _{Rd,c} = 137,20 kN	Návrhová hodnota šmykovej odolnosti		
V _{Rd,c,min} = 119,95 kN	Minimálna návrhová hodnota šmykovej odolnosti		
V _{Rd,c} = 137,20 kN	Ak nie je potrebné navrhnuť šmykovú výstuž (riadok dolje) tak táto hodnota je návrhová hodnota šmykovej odolnosti		
JE POTREBNÉ NAVRHODAŤ ŠMYKOVÚ VÝSTUŽ			

Strmene		
n= 2	Počet strihov, strmeň	
f _{ywd} = 434 782,6 kPa		
z= 0,45 m	Rameno vnútorných síl	
Φ 18	Profil strmeňa	
s= 0,15 m	Osová vzdialenosť strmenov	
A _{sw} = 5,089E-04 m ²	Plocha šmykovej výstuve strmeňa	
α= 90 °	Uhol medzi šmykovou výstužou a osou nosníka α <45;90>	
b _w = 0,6 m	Minimálna šírka medzi ťahajúcim a tlačeným pásmom (6.2.3; STN)	
α _{cw} = 1,00	Súčinieľ zohľadňujúci napäťostný stav v tlačenom páse	
v=v ₁ = 0,528	Súčinieľ redukcie pevnosti betónu s trhlinami v šmyku	
Šmyková odolnosť		
V _{Rd,s} = 819,76 kN	Únosnosť strmienkov	
V _{Rd,max} = 1 185,28 kN	Únosnosť tlakových diagonál	
V _{Rd} = 819,76 kN	Šmyková odolnosť	
V _{Rd} ≥ 819,76	V _{ed} ≥ 316,00	
VYHOUVJE		

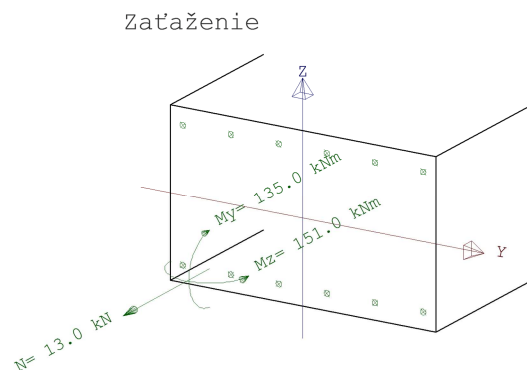
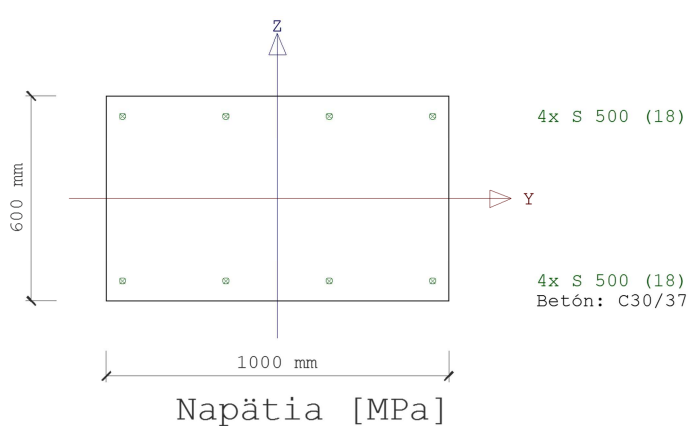
Stupeň vystuženia		
ρ _{w,min} = 0,00088	Minimálny stupeň vystuženia	
ρ _w = 0,00565	Stupeň vystuženia	
Vyhovuje na minimálny stupeň vystuženia		
A _{sw,max} = 9,290E-04 m ²	Maximálna možná plocha výstuže, s ktorou možno uvažovať výpočte	
	Plocha šmykovej výstuve vo výpočte je postačujúca	
ρ _{w,min} = 0,00088	Hodnota min. stupna vystuženia pre nosníky (9,5N)	
Vyhovuje na minimálny stupeň vystuženia pre nosník		
0,01	Overenie duktility	
0,01032	Overenie duktility	
v= 0,528	Redukčný súčinieľ pevnosti betónu s trhlinami (6,6N)	
Vyhovuje na dostatočné pretvorenie-duktilitu		

Overenie konštrukčných zásad		
S _{l,max} = 0,375 m	Maximálna pozdižina osovej vzdialenosť strmienkov	
	Vzdialenosť strmeňov postačuje	
S _{t,max} = 0,375 m	Priečna osova vzdialenosť vetiev strmienka	

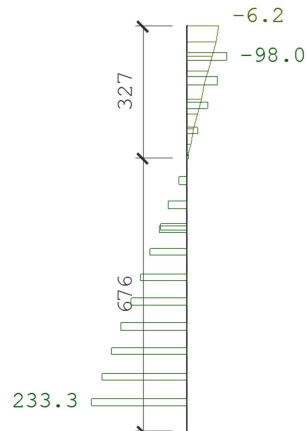
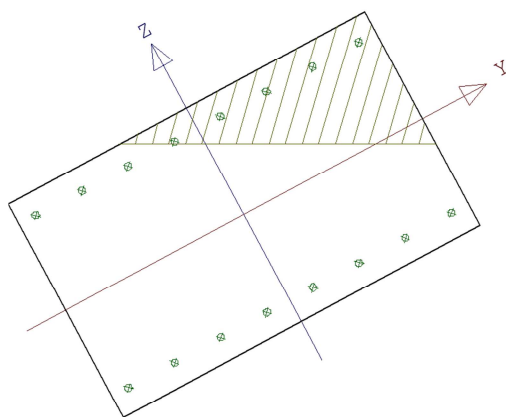
13.3.4.6 Zvislé steny opory



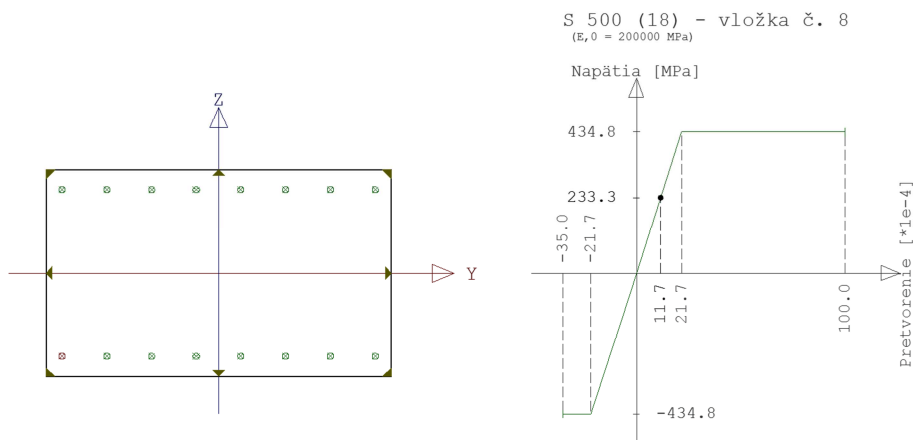
Zvislé steny opory Rovina X-Y



Napäcia [MPa]



Kótovanie je vynesené v smere spádovej priamky roviny pretvorenia [mm]



$$\text{Nu,min} = 13.0000 \text{ kN}$$

$$= \text{Nd} = 13.0000 \text{ kN}$$

$$= \text{Nu,max} = 13.0000 \text{ kN}$$

$$\text{Myu,min} = 386.5977 \text{ kNm}$$

$$> \text{Myd} = 135.0000 \text{ kNm}$$

$$> \text{Myu,max} = -386.5977 \text{ kNm}$$

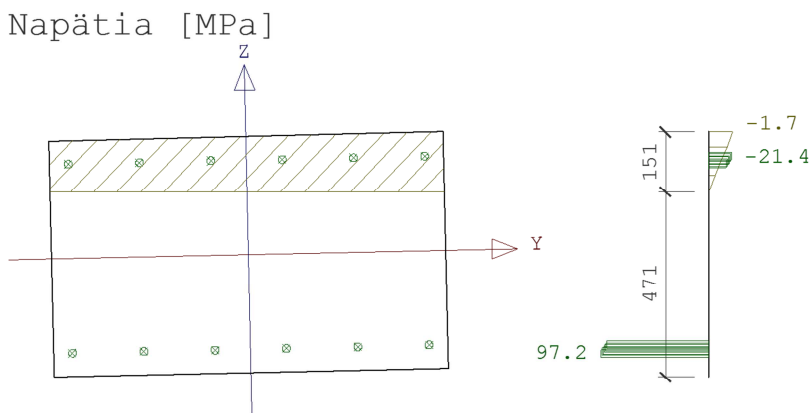
$$\text{Mzu,min} = 432.4167 \text{ kNm}$$

$$> \text{Mzd} = 151.0000 \text{ kNm}$$

$$> \text{Mzu,max} = -432.4167 \text{ kNm}$$

VYHOUVUJE

Obmedzenie napätií



Kótovanie je vynesené v smere spádovej priamky roviny pretvorenia [mm]

$$|\text{min. } \sigma_{h,d}| < k_1 \cdot f_{ck}(t)$$

$$\sigma_s < k_3 \cdot f_y$$

$$|\text{min. } \sigma_{h,d}| < 0,630,0 \text{ MPa}$$

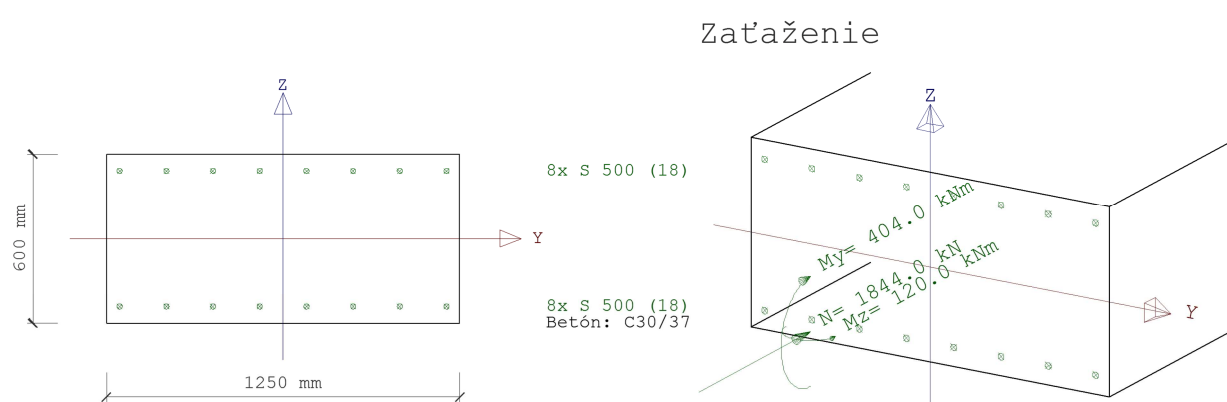
$$\sigma_s < 0,8500 \text{ MPa}$$

$$|-1,7| < 18 \text{ MPa}$$

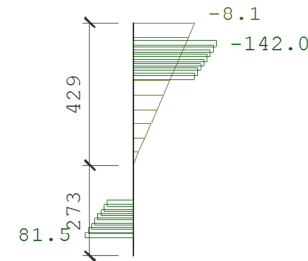
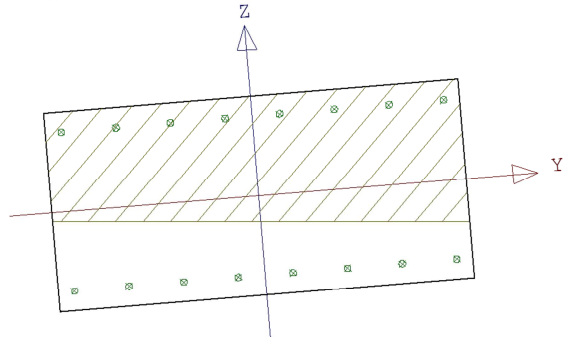
$$|97,2 \text{ MPa}| < 400 \text{ MPa}$$

VYHOUVUJE

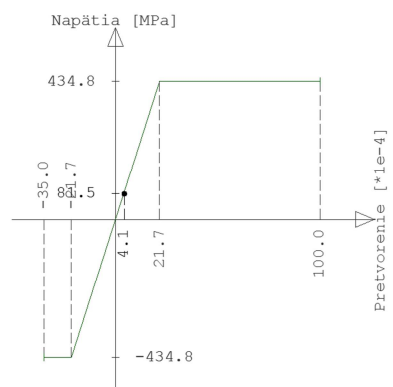
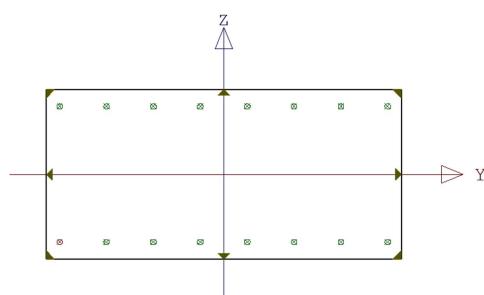
Prierez II



Napäcia [MPa]



Kótovanie je vynesené v smere spádovej
 priamky roviny pretvorenia [mm]
 S 500 (20) – vložka č. 8
 $(E_0 = 20000 \text{ MPa})$



$$\begin{aligned} \text{Nu,min} &= -1844.0000 \text{ kN} \\ \text{Myu,min} &= 958.5504 \text{ kNm} \\ \text{Mzu,min} &= 284.7179 \text{ kNm} \end{aligned}$$

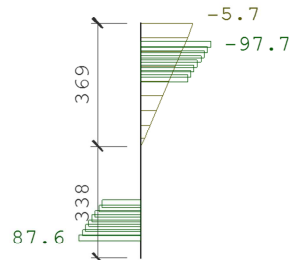
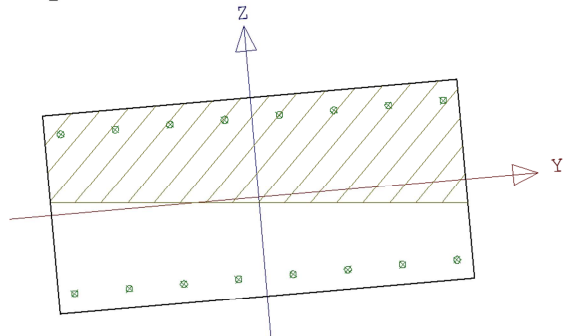
$$\begin{aligned} &= \text{Nd} = -1844.0000 \text{ kN} \\ &> \text{Myd} = 404.0000 \text{ kNm} \\ &> \text{Mzd} = 120.0000 \text{ kNm} \end{aligned}$$

$$\begin{aligned} &= \text{Nu,max} = -1844.0000 \text{ kN} \\ &> \text{Myu,max} = -958.5504 \text{ kNm} \\ &> \text{Mzu,max} = -284.7179 \text{ kNm} \end{aligned}$$

VYHOUVUJE

Obmedzenie napätií

Napäcia [MPa]



Kótovanie je vynesené v smere spádovej
 priamky roviny pretvorenia [mm]

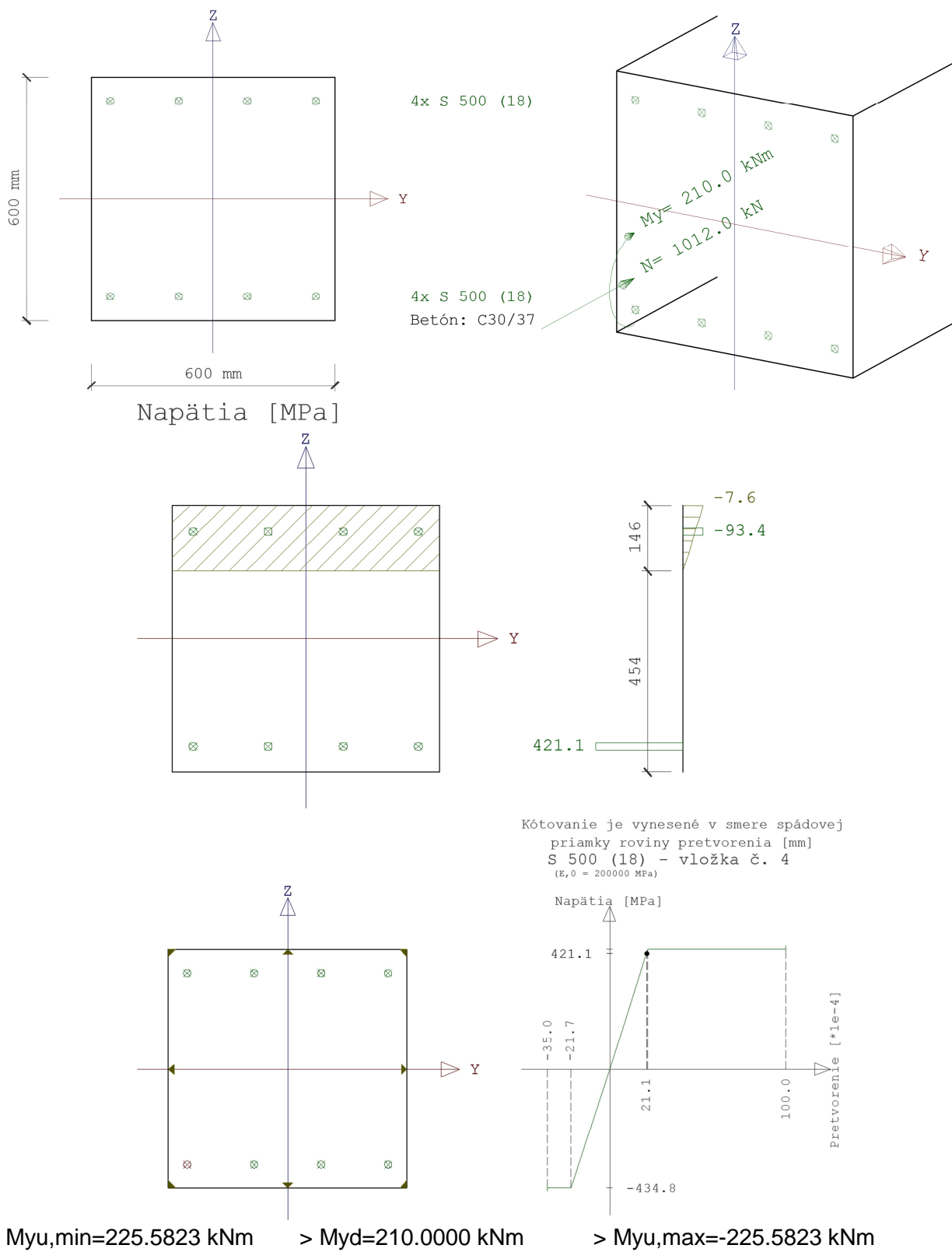
$$\begin{aligned} |\min. \sigma_{h,d}| &< k_1 \cdot f_{ck}(t) \\ |\min. \sigma_{h,d}| &< 0,630,0 \text{ MPa} \\ |-5,7| &< 18 \text{ MPa} \end{aligned}$$

$$\begin{aligned} \sigma_s &< k_3 \cdot f_y \\ \sigma_s &< 0,8500 \text{ MPa} \\ |-97,7 \text{ MPa}| &< 400 \text{ MPa} \end{aligned}$$

VYHOUVUJE

Prierez III

Zaťaženie



$My_{\min} = 225.5823 \text{ kNm}$

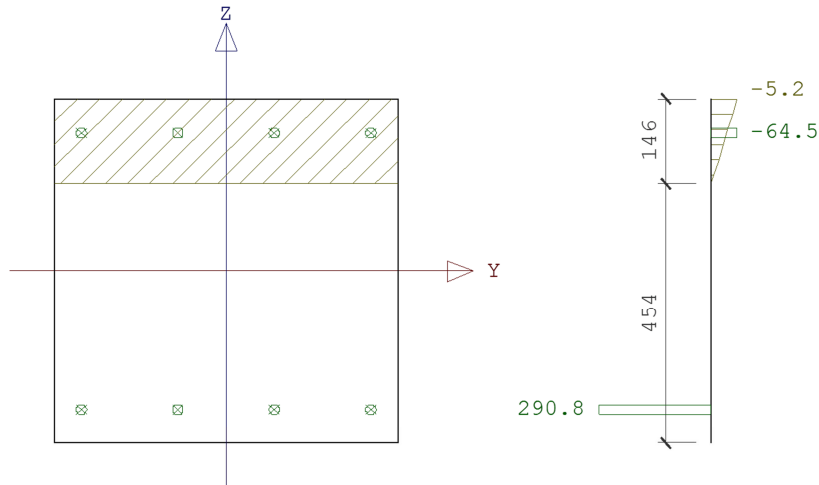
$> My_d = 210.0000 \text{ kNm}$

$> My_{\max} = -225.5823 \text{ kNm}$

VYHOUVUJE

Obmedzenie napäťí

Napäcia [MPa]



Kótovanie je vynesené v smere spádovej
priamky roviny pretvorenia [mm]

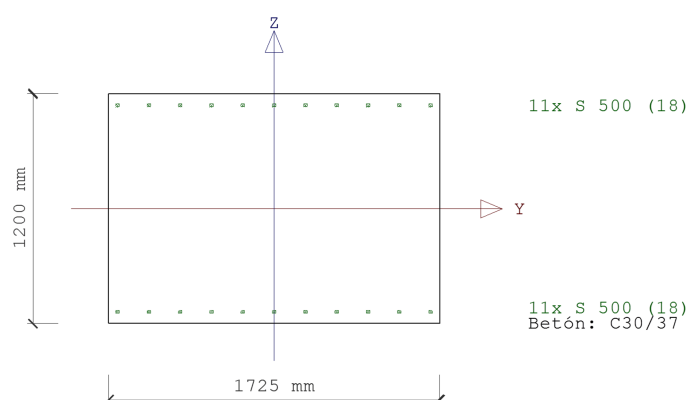
$$\begin{aligned} |min. \sigma_{h,d}| &< k_1 \cdot f_{ck}(t) \\ |min. \sigma_{h,d}| &< 0,6 \cdot 30,0 \text{ MPa} \\ |-5,2| &< 18 \text{ MPa} \end{aligned}$$

$$\begin{aligned} \sigma_s &< k_3 \cdot f_y \\ \sigma_s &< 0,8 \cdot 500 \text{ MPa} \\ |290,8 \text{ MPa}| &< 400 \text{ MPa} \end{aligned}$$

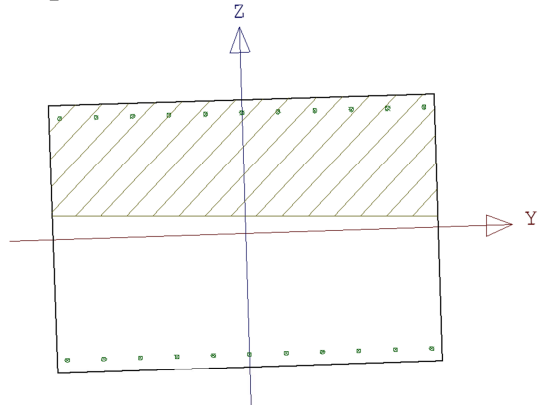
VYHOVUJE

Prierez IV

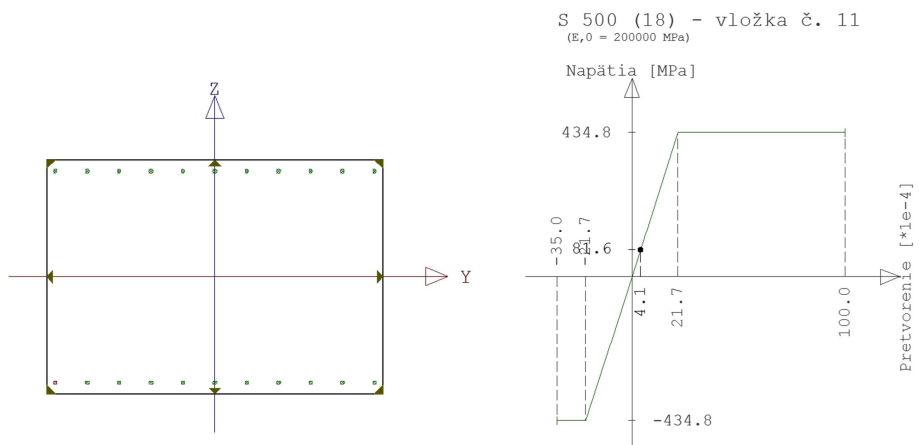
Zaťaženie



Napäcia [MPa]



Kótovanie je vynesené v smere spádovej
priamky roviny pretvorenia [mm]



$$Nu_{min} = -1383.0000 \text{ kN}$$

$$= Nd = -1383.0000 \text{ kN}$$

$$= Nu_{max} = -1383.0000 \text{ kN}$$

$$Myu_{min} = 2073.5626 \text{ kNm}$$

$$> Myd = 820.0000 \text{ kNm}$$

$$> Myu_{max} = -2073.5626 \text{ kNm}$$

$$Mzu_{min} = 126.4367 \text{ kNm}$$

$$> Mzd = 50.0000 \text{ kNm}$$

$$> Mzu_{max} = -126.4367 \text{ kNm}$$

VYHOVUJE

Stupeň vystuženia

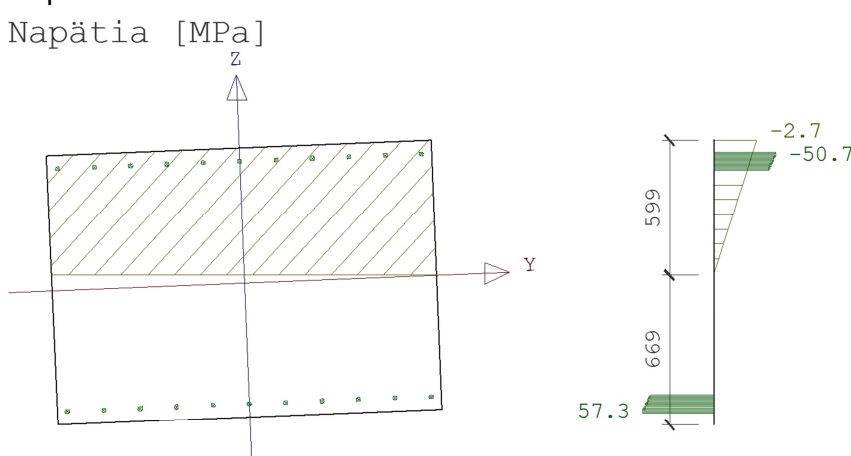
STN EN 1992-1-1, čl.9.2.1.1

Geometria prierezu			
bt=	1,725 m		
h=	1,2 m	C 30/37	
d=	1,1 m		

Minimálna plocha výstuže			
As,min=	2861,43 mm ²		
Ø 18		ks=	11,5
As=	2926,39 mm ²		
Asmax=	82800 mm ²		

VYHOVUJE

Obmedzenie napätií



Kótovanie je vynesené v smere spádovej
priamky roviny pretvorenia [mm]

$$|min. \sigma_{h,d}| < k_1 \cdot f_{ck}(t)$$

$$\sigma_s < k_3 \cdot f_y$$

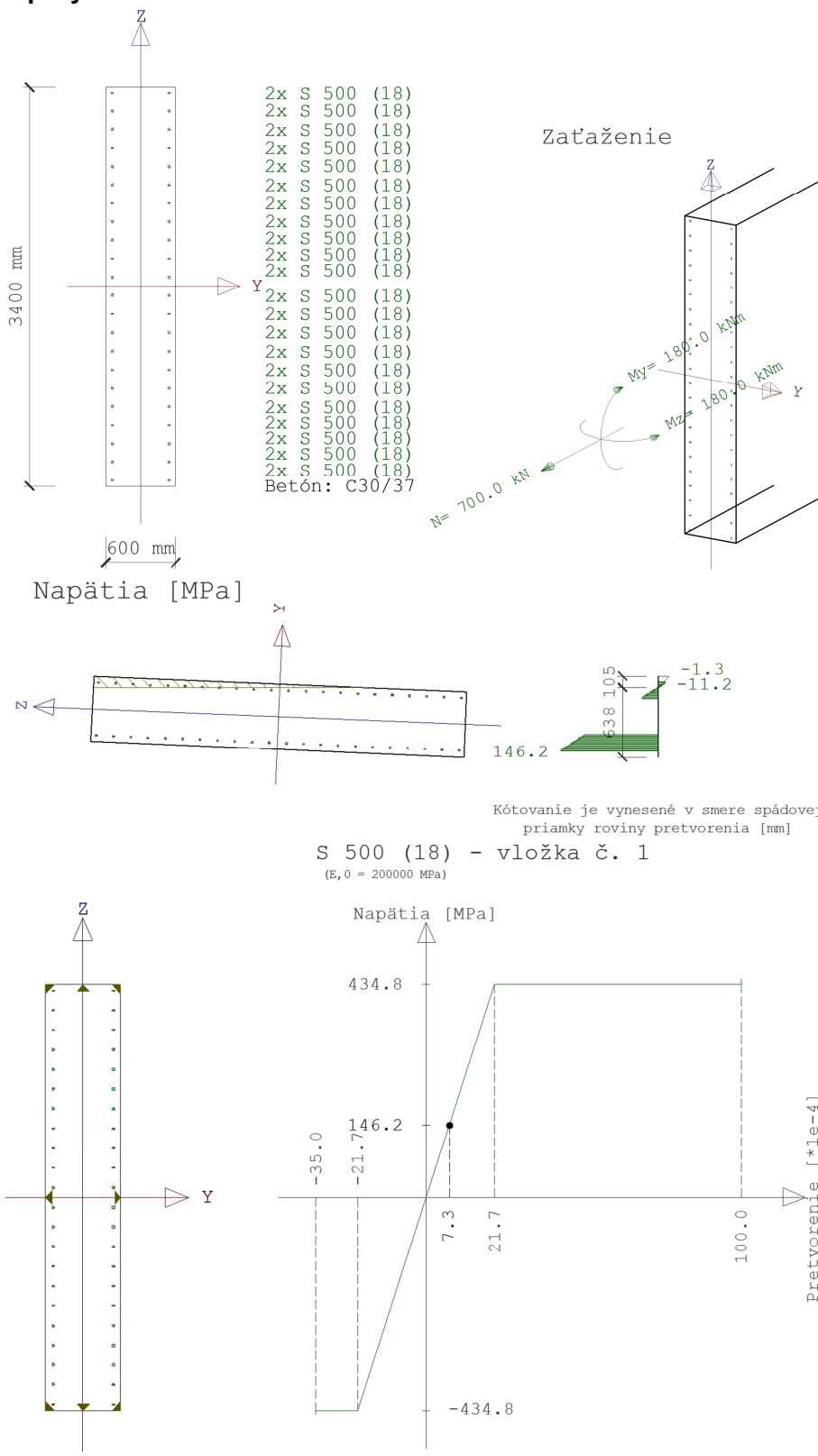
$$|min. \sigma_{h,d}| < 0,6 \cdot 30,0 \text{ MPa}$$

$$\sigma_s < 0,8 \cdot 500 \text{ MPa}$$

$$|-2,7| < 18 \text{ MPa}$$

$$|57,3 \text{ MPa}| < 400 \text{ MPa}$$

VYHOVUJE

Zvislé steny opory Rovina Y-Z


$$\begin{aligned} \text{Nu,min} &= 700.0000 \text{ kN} \\ \text{Myu,min} &= 1039.5436 \text{ kNm} \\ \text{Mzu,min} &= 1039.5436 \text{ kNm} \end{aligned}$$

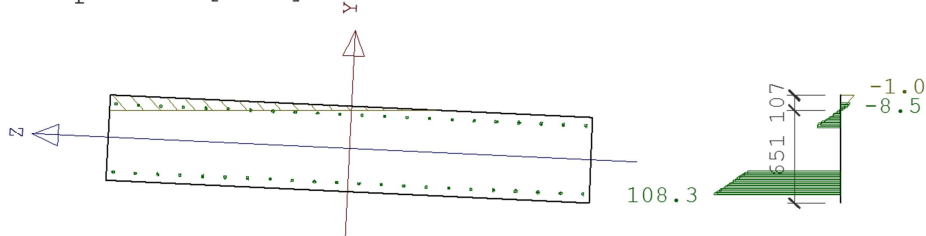
$$\begin{aligned} &= \text{Nd} = 700.0000 \text{ kN} \\ &> \text{Myd} = 180.0000 \text{ kNm} \\ &> \text{Mzd} = 180.0000 \text{ kNm} \end{aligned}$$

$$\begin{aligned} &= \text{Nu,max} = 700.0000 \text{ kN} \\ &> \text{Myu,max} = -1039.5436 \text{ kNm} \\ &> \text{Mzu,max} = -1039.5436 \text{ kNm} \end{aligned}$$

VYHOUVUJE

Obmedzenie napäťí

Napäťia [MPa]



Kótovanie je vynesené v smere spádovej priamky roviny pretvorenia [mm]

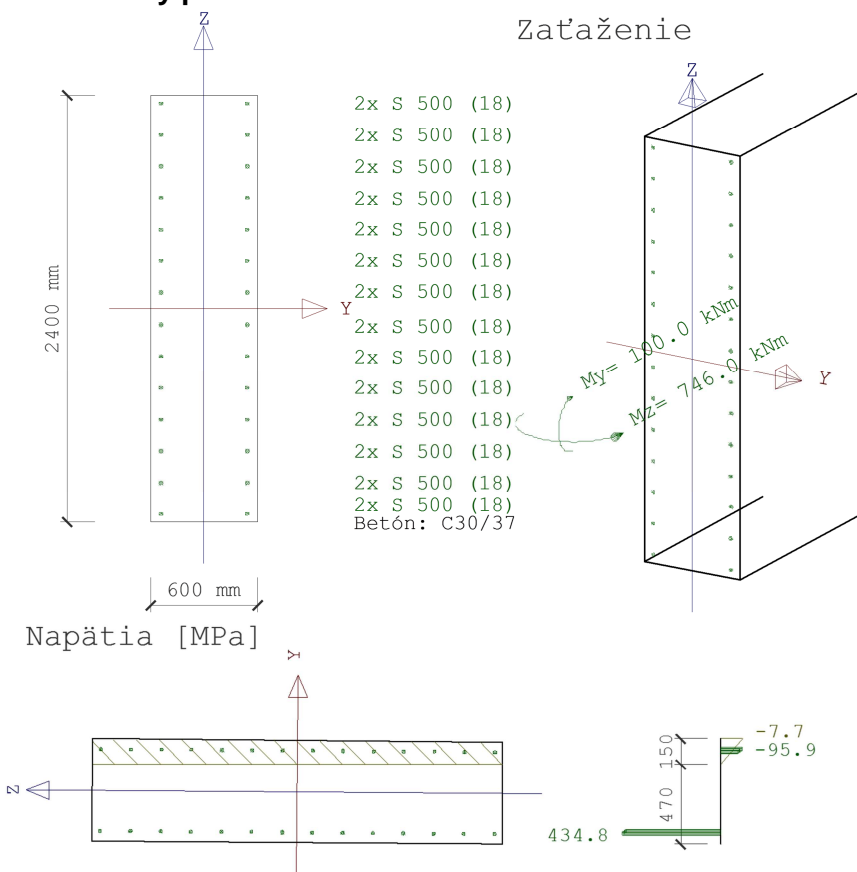
$$\begin{aligned} |\min. \sigma_{h,d}| &< k_1 \cdot f_{ck}(t) \\ |\min. \sigma_{h,d}| &< 0,630,0 \text{ MPa} \\ |-1,0| &< 18 \text{ MPa} \end{aligned}$$

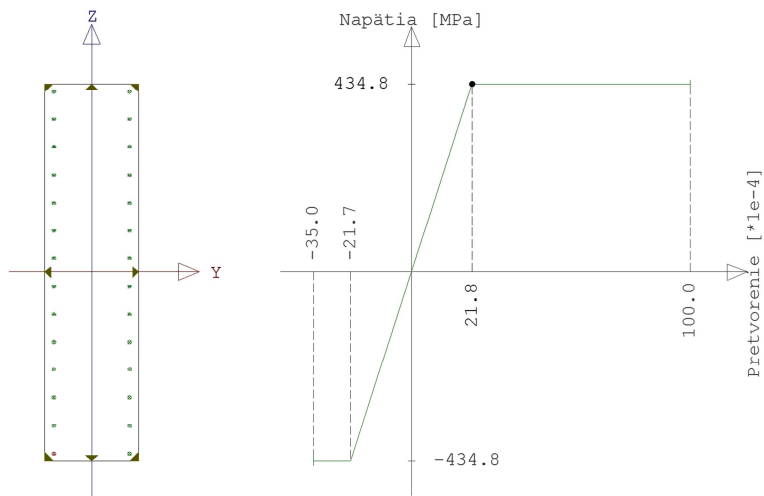
$$\begin{aligned} \sigma_s &< k_3 \cdot f_y \\ \sigma_s &< 0,8500 \text{ MPa} \\ |108,3 \text{ MPa}| &< 400 \text{ MPa} \end{aligned}$$

VYHOVUJE

13.3.4.7 Krídlo opory

Krídlo opory – základový pás



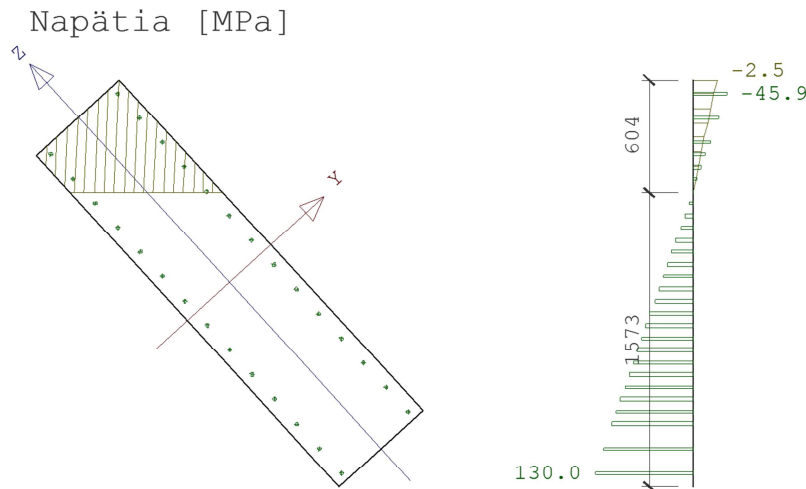
S 500 (18) – vložka č. 1
($E_0 = 200000 \text{ MPa}$)

Myu,min=105.8874 kNm
Mzu,min=789.9200 kNm

> Myd=100.0000 kNm
> Mzd=746.0000 kNm

> Myu,max=-105.8874 kNm
> Mzu,max=-789.9200 kNm

VYHOVUJE

Obmedzenie napäti


Kótovanie je vynesené v smere spádovej
priamky roviny pretvorenia [mm]

$$|\min. \sigma_{h,d}| < k_1 \cdot f_{ck}(t)$$

$$\sigma_s < k_3 \cdot f_y$$

$$|\min. \sigma_{h,d}| < 0,6 \cdot 30,0 \text{ MPa}$$

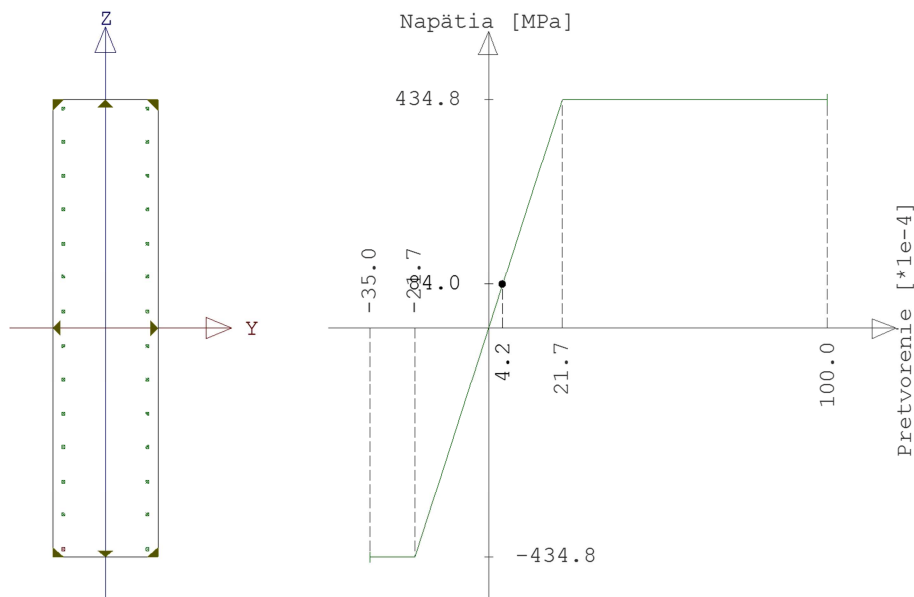
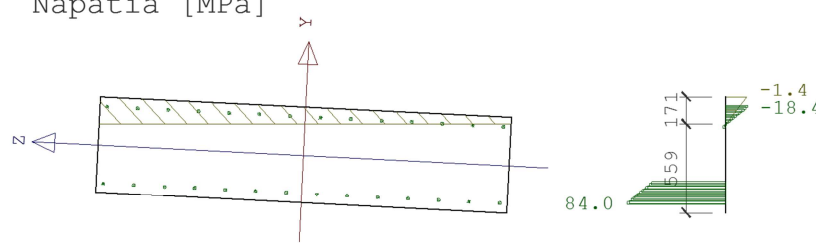
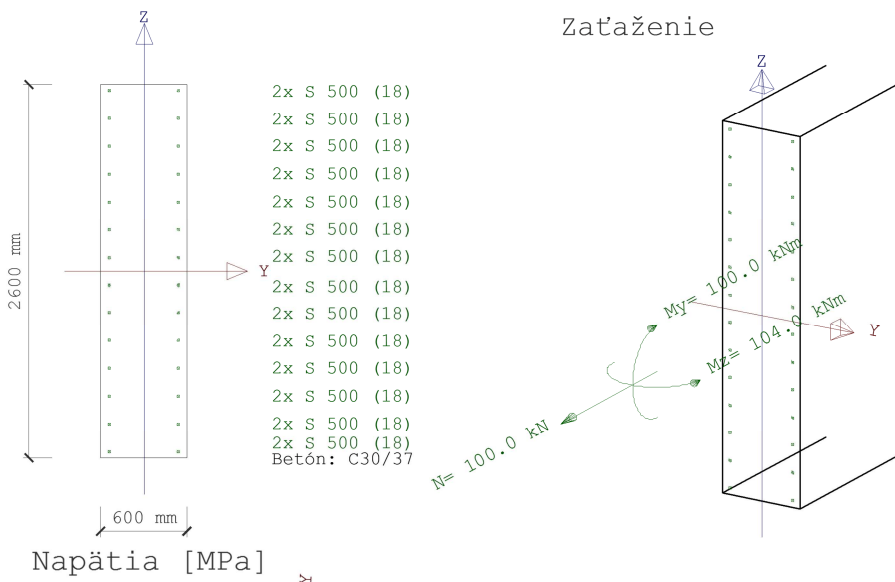
$$\sigma_s < 0,8 \cdot 500 \text{ MPa}$$

$$|-2,5| < 18 \text{ MPa}$$

$$|130,0 \text{ MPa}| < 400 \text{ MPa}$$

VYHOVUJE

Krídlo-krídlo konzola



$$Nu_{min}=100.0000 \text{ kN}$$

$$Myu_{min}=722.3855 \text{ kNm}$$

$$Mzu_{min}=751.2809 \text{ kNm}$$

VYHOVUJE

$$= Nd=100.0000 \text{ kN}$$

$$> Myd=100.0000 \text{ kNm}$$

$$> Mzd=104.0000 \text{ kNm}$$

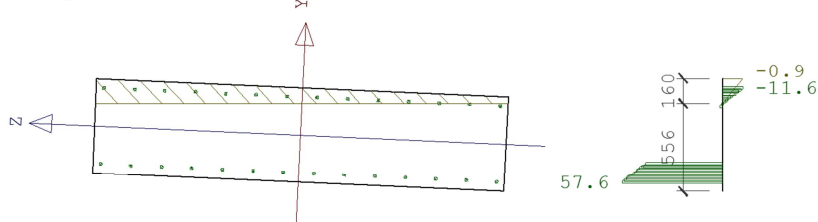
$$= Nu_{max}=100.0000 \text{ kN}$$

$$> Myu_{max}=-722.3855 \text{ kNm}$$

$$> Mzu_{max}=-751.2809 \text{ kNm}$$

Obmedzenie napätií

Napäcia [MPa]



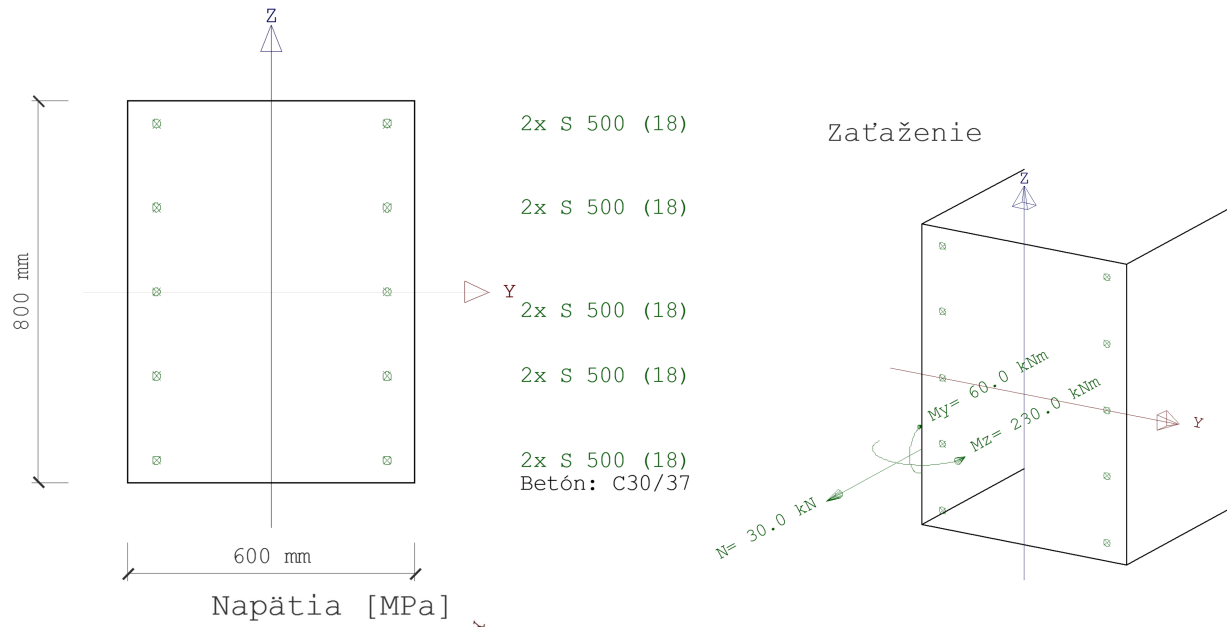
Kótovanie je vynesené v smere spádovej priamky roviny pretvorenia [mm]

$$\begin{aligned} |min. \sigma_{h,d}| &< k_1 \cdot f_{ck}(t) \\ |min. \sigma_{h,d}| &< 0,6 \cdot 30,0 \text{ MPa} \\ |-0,9| &< 18 \text{ MPa} \end{aligned}$$

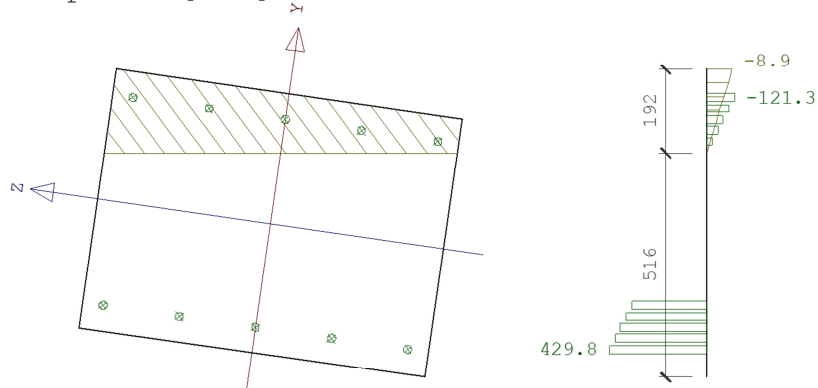
$$\begin{aligned} \sigma_s &< k_3 \cdot f_y \\ \sigma_s &< 0,8500 \text{ MPa} \\ |57,6 \text{ MPa}| &< 400 \text{ MPa} \end{aligned}$$

VYHOUVUJE

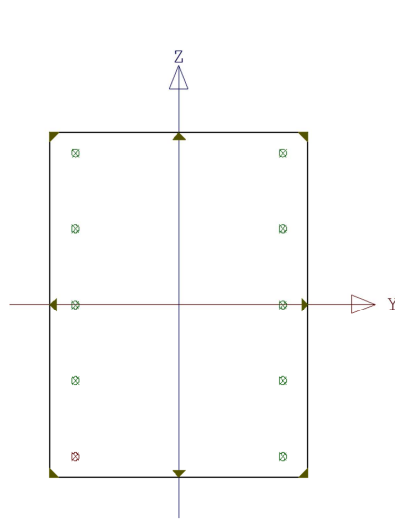
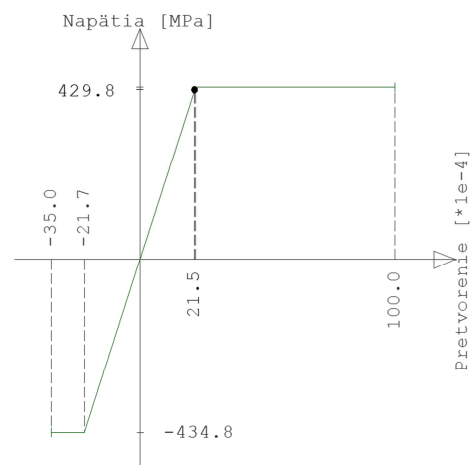
Krídlo-krídlo konzola



Napäcia [MPa]



Kótovanie je vynesené v smere spádovej priamky roviny pretvorenia [mm]

S 500 (18) - vložka č. 1
(E,0 = 200000 MPa)

$$Nu_{min} = 30.0000 \text{ kN} = Nd = 30.0000 \text{ kN}$$

$$My_{u,min} = 71.0683 \text{ kNm} > My_d = 60.0000 \text{ kNm}$$

$$Mz_{u,min} = 272.4283 \text{ kNm} > Mz_d = 230.0000 \text{ kNm}$$

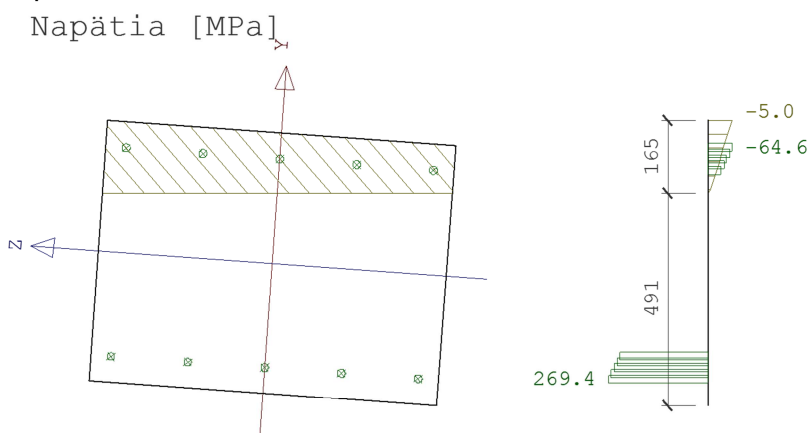
VYHOVUJE

$$= Nu_{max} = 30.0000 \text{ kN}$$

$$> My_{u,max} = -71.0683 \text{ kNm}$$

$$> Mz_{u,max} = -272.4283 \text{ kNm}$$

Obmedzenie napätií



Kótovanie je vynesené v smere spádovej priamky roviny pretvorenia [mm]

$$|min. \sigma_{h,d}| < k_1 \cdot f_{ck}(t)$$

$$\sigma_s < k_3 \cdot f_y$$

$$|min. \sigma_{h,d}| < 0,6 \cdot 30,0 \text{ MPa}$$

$$\sigma_s < 0,8500 \text{ MPa}$$

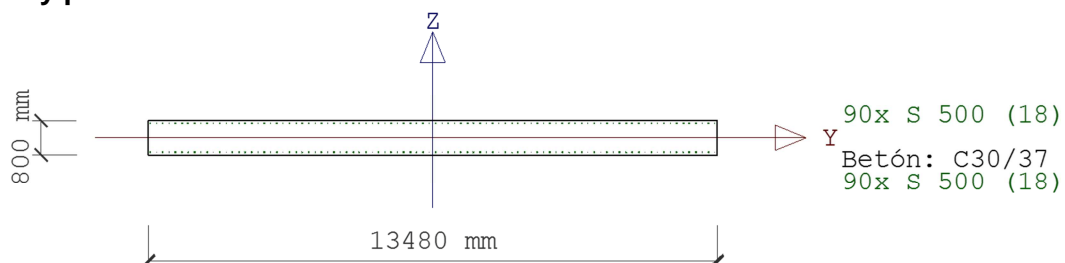
$$|-5,0| < 18 \text{ MPa}$$

$$|269,4 \text{ MPa}| < 400 \text{ MPa}$$

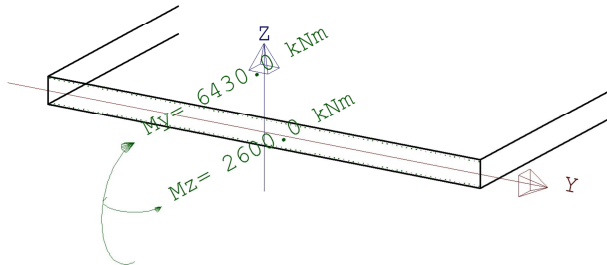
VYHOVUJE

Smer yy

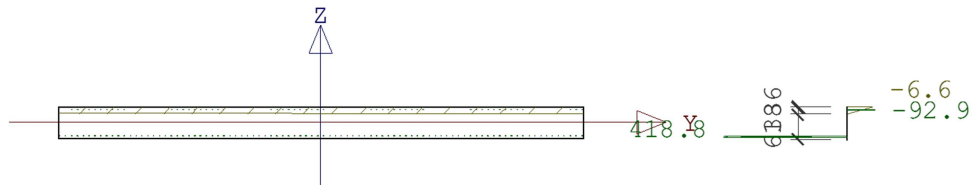
Základový pás



Zaťaženie



Napätia [MPa]



Myu,min=6952.5700 kNm
Mzu,min=2811.3035 kNm

> Myd=6430.0000 kNm
> Mzd=2600.0000 kNm

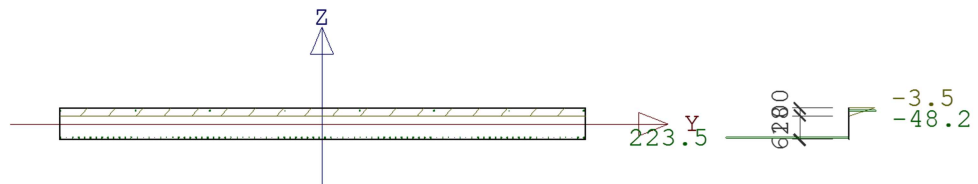
Kótovanie je vynesené v smere spádovej priamky roviny pretvorenia [mm]

> Myu,max=-6952.5700 kNm
> Mzu,max=-2811.3035 kNm

VYHOVUJE

Obmedzenie napäti

Napätia [MPa]



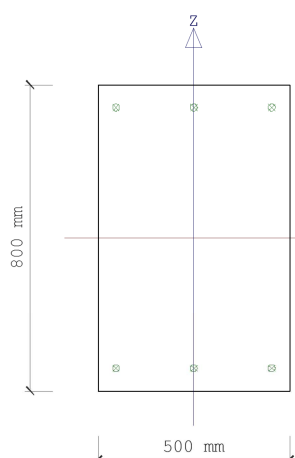
|min. $\sigma_{h,d}$ | < $k_1 \cdot f_{ck}(t)$
|min. $\sigma_{h,d}$ | < 0,630,0 MPa
|-3,5| < 18 MPa

$\sigma_s < k_3 \cdot f_y$
 $\sigma_s < 0,8500 \text{ MPa}$
|223,5 MPa| < 400 MPa

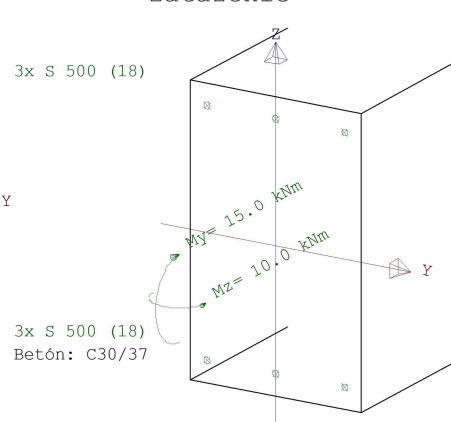
VYHOVUJE

LOKÁLNE POSÚDENIE

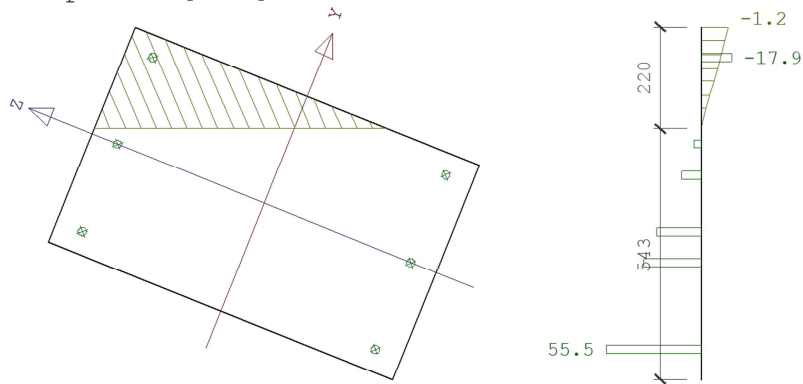
Smer yy



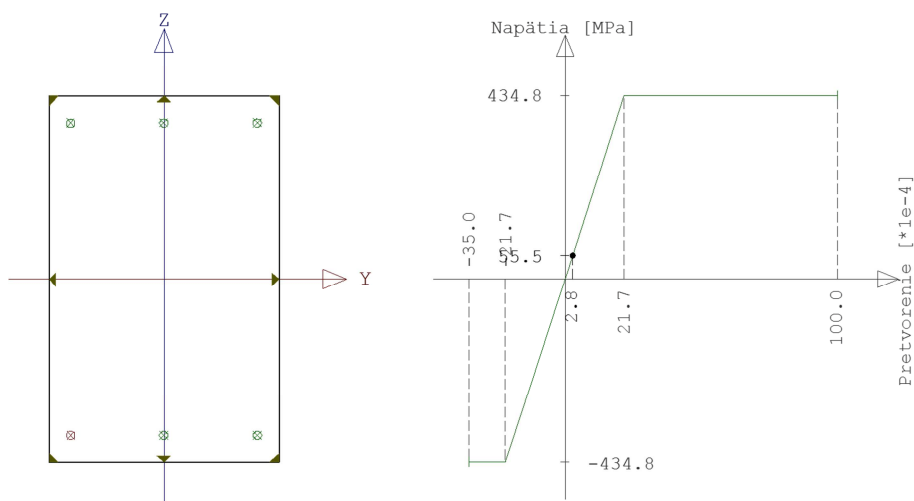
Zaťaženie



Napäťia [MPa]



Kótovanie je vyniesené v smere spádovej
 priamky roviny pretvorenia [mm]
 S 500 (18) – vložka č. 3
 $(E, 0 = 20000 \text{ MPa})$

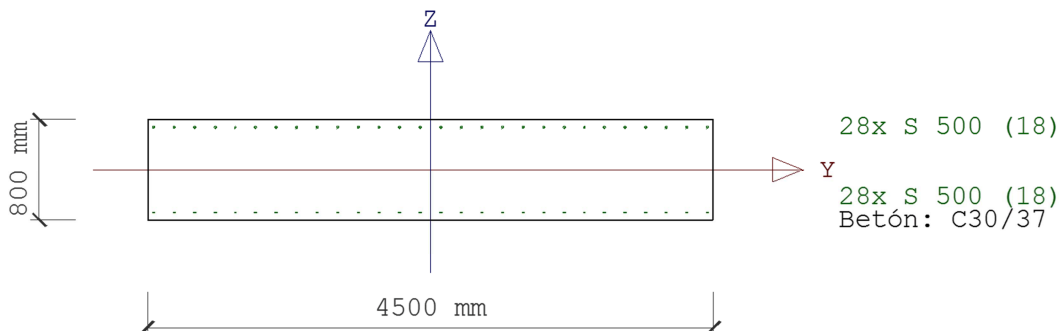


$My_{\text{u,min}}=194.5613 \text{ kNm}$
 $Mz_{\text{u,min}}=129.7075 \text{ kNm}$

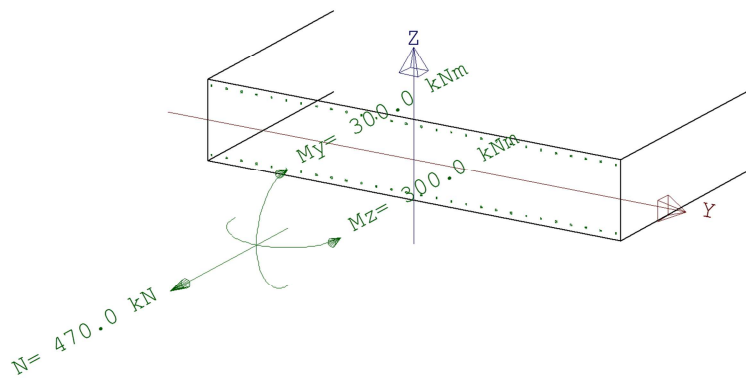
$> My_{\text{d}}=15.0000 \text{ kNm} > My_{\text{u,max}}=-194.5613 \text{ kNm}$
 $> Mz_{\text{d}}=10.0000 \text{ kNm} > Mz_{\text{u,max}}=-129.7075 \text{ kNm}$

VYHOVUJE

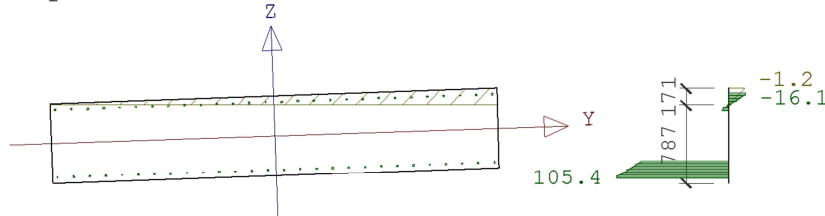
Smer xx



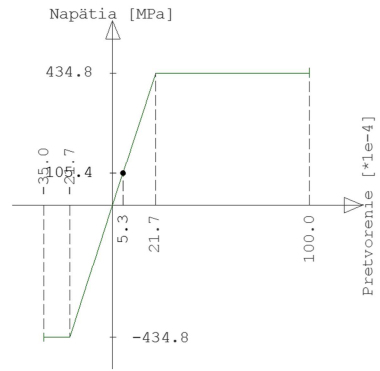
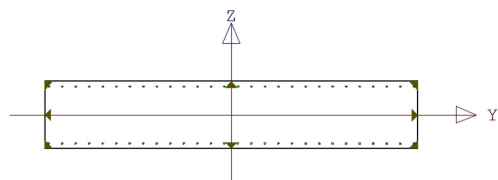
Zaťaženie



Napäcia [MPa]



Kótovanie je vynesené v smere spádovej
priamky roviny pretvorenia [mm]
S 500 (18) – vložka č. 28
(E,0 = 200000 MPa)



$$Nu,min=470.0000 \text{ kN}$$

$$= Nd=470.0000 \text{ kN}$$

$$Myu,min=1978.4421 \text{ kNm}$$

$$> Myd=300.0000 \text{ kNm}$$

$$Mzu,min=1978.4421 \text{ kNm}$$

$$> Mzd=300.0000 \text{ kNm}$$

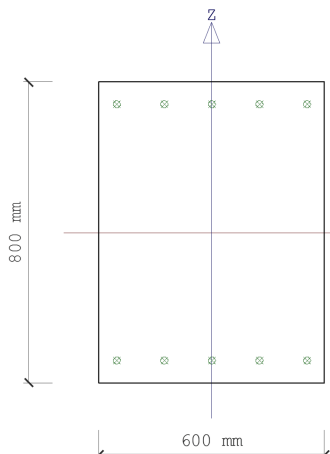
VYHOVUJE

$$= Nu,max=470.0000 \text{ kN}$$

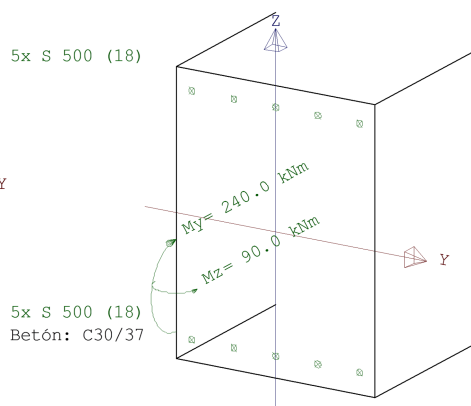
$$> Myu,max=-1978.4421 \text{ kNm}$$

$$> Mzu,max=-1978.4421 \text{ kNm}$$

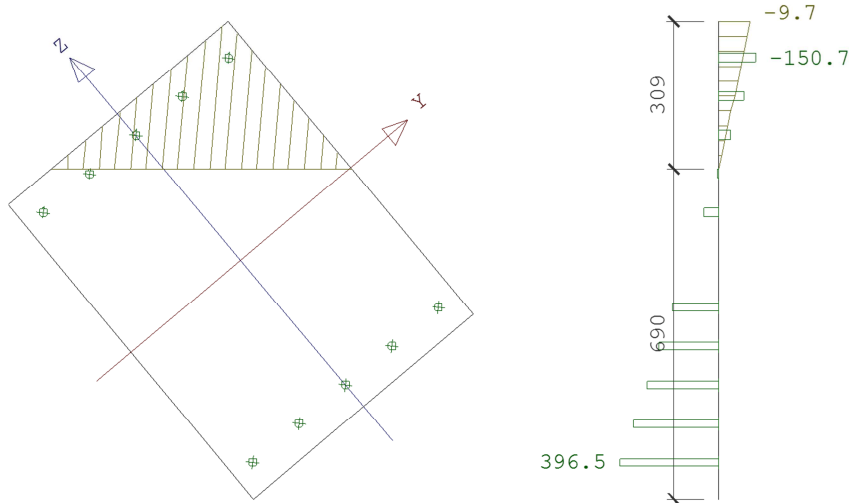
Lokalne



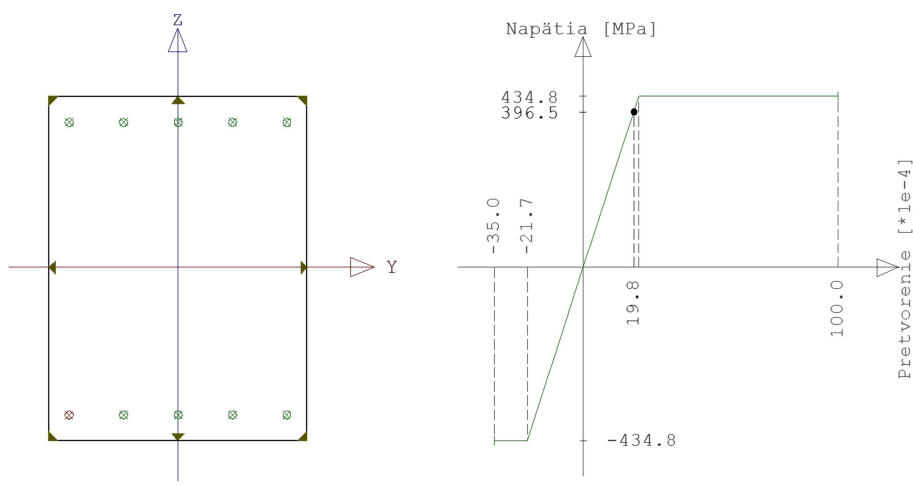
Zaťaženie



Napäcia [MPa]



Kótovanie je vynesené v smere spádovej
 priamky roviny pretvorenia [mm]
 S 500 (18) – vložka č. 5
 $(E, 0 = 200000 \text{ MPa})$



$M_{y,u,\min} = 375.6856 \text{ kNm}$
 $M_{z,u,\min} = 140.8821 \text{ kNm}$

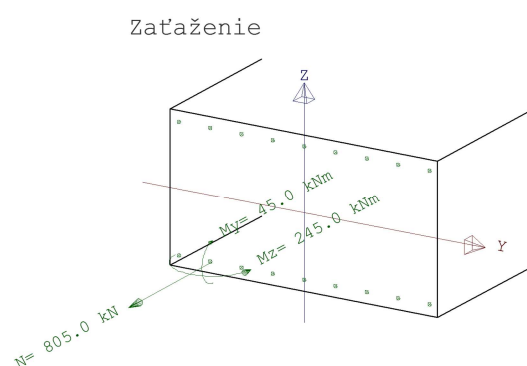
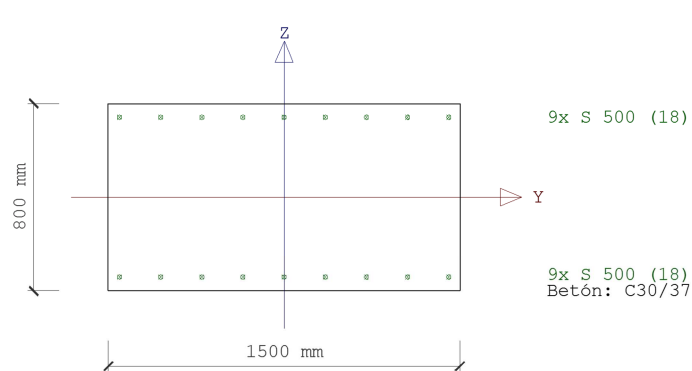
$> M_{y,d} = 240.0000 \text{ kNm}$
 $> M_{z,d} = 90.0000 \text{ kNm}$

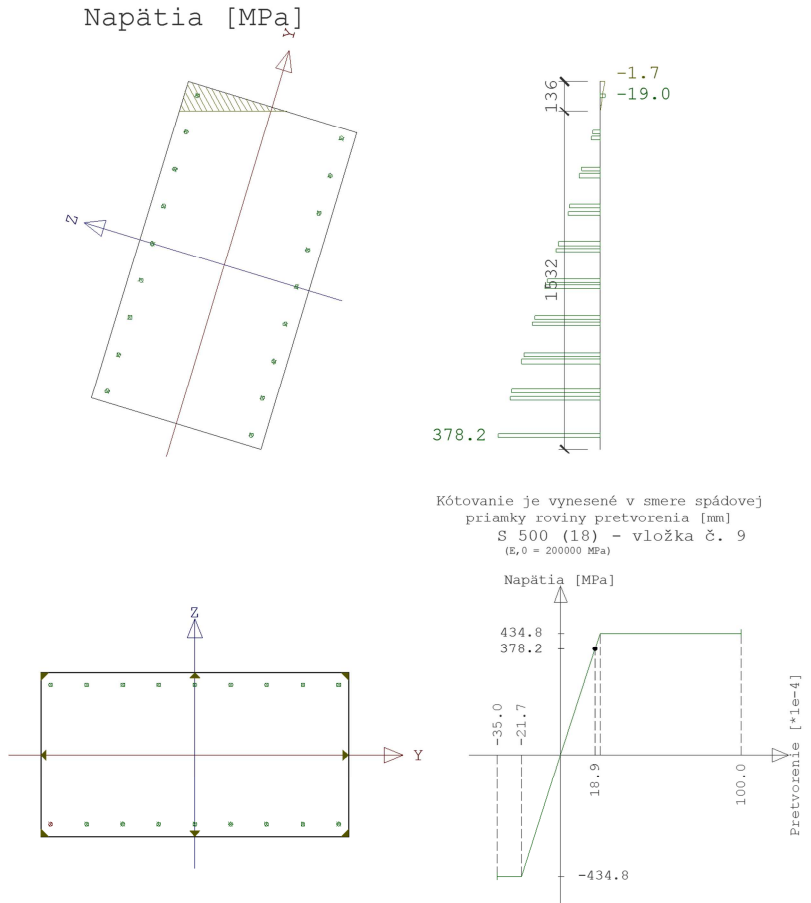
$> M_{y,u,\max} = -375.6856 \text{ kNm}$
 $> M_{z,u,\max} = -140.8821 \text{ kNm}$

VYHOVUJE

Základ pod krídlom

Vz=300kN

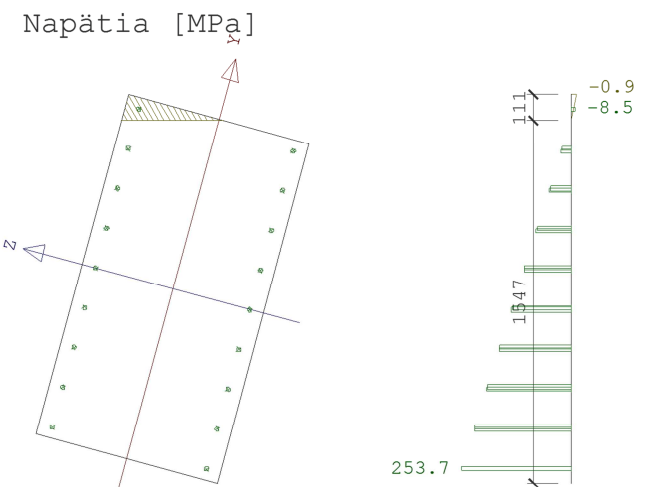




$N_{u,min} = 805.0000 \text{ kN}$
 $M_{y,u,min} = 143.4469 \text{ kNm}$
 $M_{z,u,min} = 780.9886 \text{ kNm}$
VYHOVUJE

$= N_d = 805.0000 \text{ kN} = N_{u,max} = 805.0000 \text{ kN}$
 $> M_{y,d} = 45.0000 \text{ kNm} > M_{y,u,max} = -143.4469 \text{ kNm}$
 $> M_{z,d} = 245.0000 \text{ kNm} > M_{z,u,max} = -780.9886 \text{ kNm}$

Obmedzenie napätií



Kótovanie je vynesené v smere spádovej
priamky roviny pretvorenia [mm]

$|min. \sigma_{h,d}| < k_1 \cdot f_{ck}(t)$
 $|min. \sigma_{h,d}| < 0,630,0 \text{ MPa}$
 $|-0,9| < 18 \text{ MPa}$
VYHOVUJE

$\sigma_s < k_3 \cdot f_y$
 $\sigma_s < 0,8500 \text{ MPa}$
 $|253,7 \text{ MPa}| < 400 \text{ MPa}$

Prierez	poznamka	poznamka
A _c = 1,2 m ²	A _{s1} = 2,29E-03 m ²	Vždy zadaj plochu!!
b= 1,5 m	k _s = 9	Ø 18
h= 0,8 m		
tr. Betónu		
f _{ck} = 30000 kPa	C 30/37	
f _{cd} = 17000 kPa	occ = 0,85 MOSTY	
f _{cte} = 1 333 kPa		
Výstuž B 500 B		
f _{yd} = 434 783 kPa		
V _{ed} = 300 kN	Návrhová posúvajúca sila	
b _w = 0,6 m	Najmenšia šírka prierezu v ťahanej oblasti (6.2.2; STN EN 1992-1-1)	
C _{rd,c} = trvalá situácia	Súčinieľ závislý na návrhovej situácii	
d= 0,64 m	Účinná výška prierezu	
Θ	39°	**
k= 1,559	Súčinieľ výšky prierezu d(mm)	
p ₁ = 0,0060		
N _{ed} = 0 kN	Osová sila v priereze od predpäťia ***	
σ _{cp} = 0,000 Mpa		
V _{min} = 0,373	Min. ekvivalentná šmyková pevnosť	
V _{Rd,c} = 187,90 kN	Návrhová hodnota šmykovej odolnosti	
V _{Rd,c,min} = 143,30 kN	Minimalná návrhová hodnota šmykovej odolnosti	
V _{Rd,c} = 187,90 kN	Ak nie je potrebné navrhnuť šmykovú výstuž (riadok dole) tak táto hodnota je návrhová hodnota šmykovej odolnosti	
JE POTREBNÉ NAVRHVAŤ ŠMYKOVÚ VÝSTUŽ		

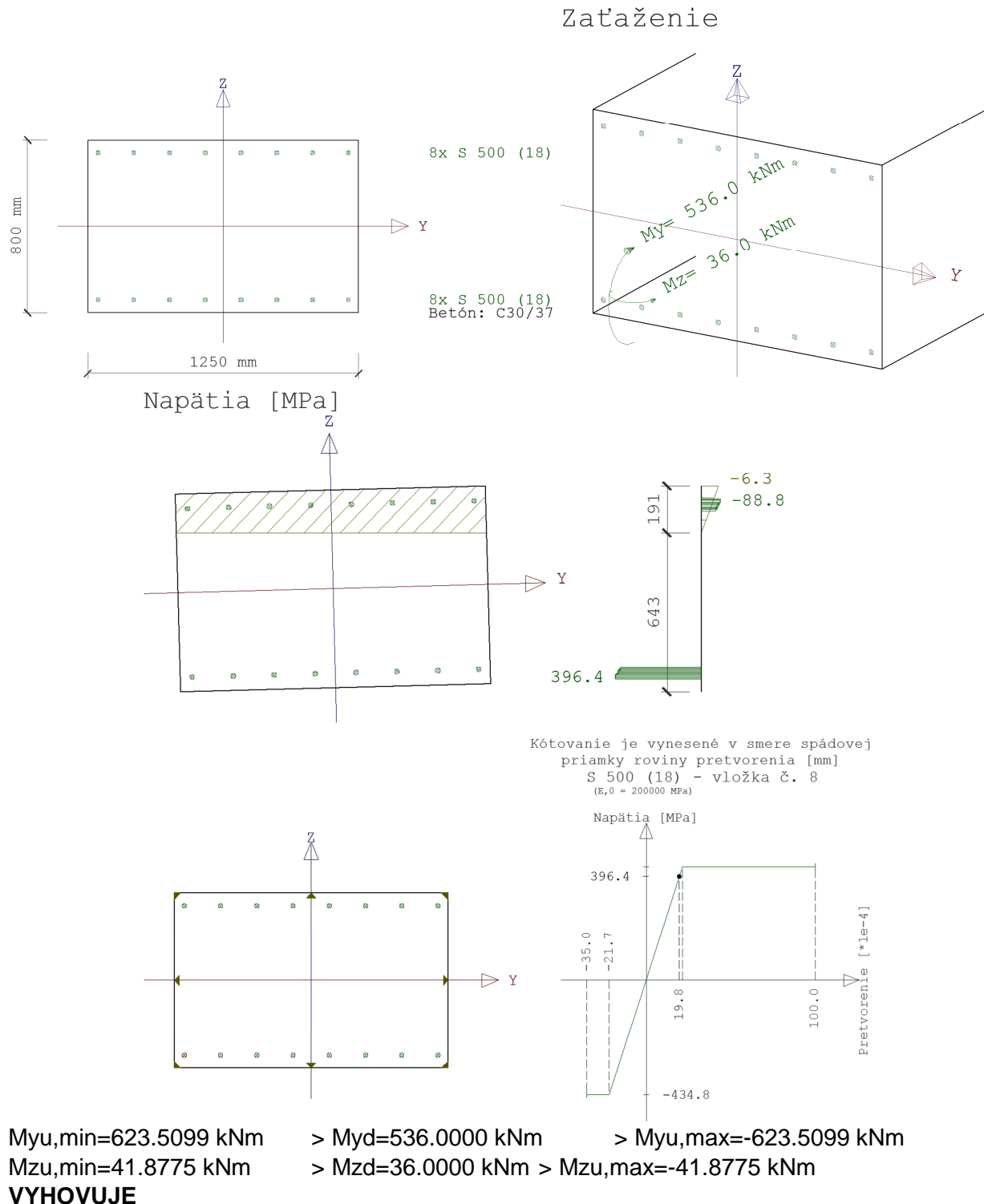
Strmene		
n= 2	Počet strihov, strmeň	
f _{ywd} = 434 782,6 kPa		
z= 0,576 m	Rameno vnútorných sil	
Φ	Ø 18	Profil strmeňa
s= 0,15 m	Osová vzdialenosť strmenov	
A _{sw} = 5,089E-04 m ²	Plocha šmykovej výstuže strmeňa	
α= 90 °	Uhlos medzi šmykovou výstužou a osou nosníka α <45;90>	
b _w = 0,6 m	Minimálna šírka medzi ťahaným a tlačeným pásom (6.2.3; STN)	
α _{cw} = 1,00	Súčinieľ zohľadňujúci napäťostný stav v tlačenom páse	
V=V ₁ = 0,528	Súčinieľ redukcie pevnosti betónu s trhlinami v šmyku	
Šmyková odolnosť		
V _{Rd,s} = 1 049,30 kN	Únosnosť strmienkov	
V _{Rd,max} = 1 517,16 kN	Únosnosť tlakových diagonál	
V _{Rd} = 1 049,30 kN	Šmyková odolnosť	
V _{Rd}	≥	V _{Ed}
1 049,30	≥	300,00
VYHOVUJE		

Stupeň vystuženia		
ρ _{w,min} = 0,00088	Minimálny stupeň vystuženia	
ρ _w = 0,00565	Stupeň vystuženia	
Vyhovuje na minimálny stupeň vystuženia		
A _{sw,max} = 9,290E-04 m ²	Maximálna možná plocha výstuže, s ktorou možno uvažovať výpočte	
Plocha šmykovej výstuže vo výpočte je postačujúca		
ρ _{w,min} = 0,00088	Hodnota min. stupna vystuženia pre nosníky (9.5N)	
Vyhovuje na minimálny stupeň vystuženia pre nosník		
0,01	Overenie ductility	
0,01032	Overenie ductility	
v= 0,528	Redukčný súčinieľ pevnosti betónu s trhlinami (6,6N)	
Vyhovuje na dostatočné pretvorenie-duktilitu		

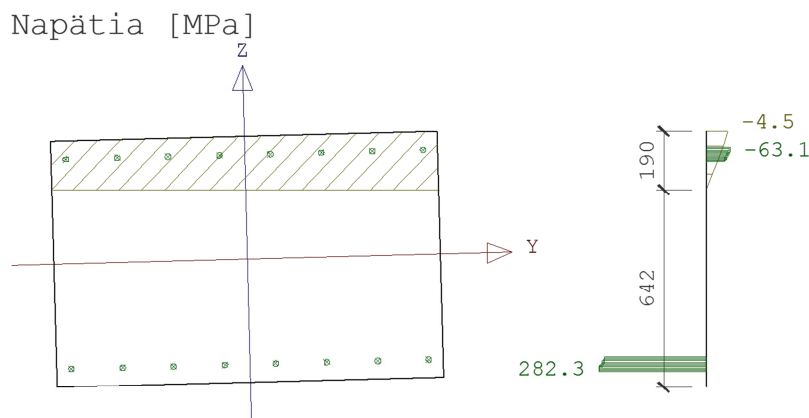
Overenie konštrukčných zásad		
S _{l,max} = 0,4 m	Maximálna pozdižná osová vzdialenosť strmienkov	
Vzdialenosť strmeňov postačuje		
S _{t,max} = 0,48 m	Priečna osová vzdialenosť vetiev strmienka	

13.3.4.8 Predsadenie základu pred oporou

Rovina x-z



Obmedzenie napäťí



$$|min. \sigma_{h,d}| < k_1 \cdot f_{ck}(t)$$

$$\sigma_s < k_3 \cdot f_y$$

$$|min. \sigma_{h,d}| < 0,6 \cdot 30,0 \text{ MPa}$$

$$\sigma_s < 0,8500 \text{ MPa}$$

$$|-4,5| < 18 \text{ MPa}$$

$$|282,3 \text{ MPa}| < 400 \text{ MPa}$$

VYHOVUJE

VEd=2065kN/1025mm

Prierez	poznamka		poznamka
Ac= 1 m ²		As1= 2,04E-03 m ²	Vždy zadaj plochu!!
b= 1,25 m		kS= 8	Φ 18
h= 0,8 m			
tr. Betónu			
fck= 30000 kPa	C 30/37		
fcd= 17000 kPa	acc = 0,85 MOSTY		
fctd= 1 333 kPa			
Výstuž			
fyd= 434 783 kPa			
Veđ= 2065 kN	Návrhová posúvajúca sila		
bw= 1,25 m	Najmenšia šírka prierezu v ťahanej oblasti (6.2.2; STN EN 1992-1-1)		
Crđ,c= trvalá situácia	Súčinatel závislý na návrhovej situácii		
d= 0,675 m	Účinná výška prierezu		
Θ 39°	**		
k= 1,544	Súčinitel výšky prierezu d(mm)		
p1= 0,0024			
Ned= 0 kN	Osová sila v priereze od predpäťia ***		
σcp= 0,000 Mpa	Min. ekvivalentná šmyková pevnosť		
Vmin= 0,368	Návrhová hodnota šmykovej odolnosti		
Vrd,c= 302,47 kN			
Vrd,c,min= 310,42 kN	Minimálna návrhová hodnota šmykovej odolnosti		
Vrd,c= 310,42 kN	Ak nie je potrebné navrhnuť šmykovú výstuž (riadok dole) tak táto hodnota je návrhová hodnota šmykovej odolnosti		
JE POTREBNÉ NAVRHVAŤ ŠMYKOVÚ VÝSTUŽ			

Strmene

n=	4	Počet strihov, strmeň
f _{ywd} =	434 782,6 kPa	
z=	0,6075 m	Rameno vnútorných sil
ϕ	Ø 18	Profil strmeňa
s=	0,15 m	Osová vzdialenosť strmenov
A _{sw} =	1,018E-03 m ²	Plocha šmykovej výstuže strmeňa
α =	90 °	Uhol medzi šmykovou výstužou a osou nosníka $\alpha < 45; 90$
b _w =	1,25 m	Minimálna šírka medzi tahaným a tlačeným pásmom (6.2.3; STN)
a _{cw} =	1,00	Súčinieľ zohľadňujúci napäťostný stav v tlačenom páse
v=v ₁ =	0,528	Súčinieľ redukcie pevnosti betónu s trhlinami v šmyku
Šmyková odolnosť		
V _{Rd,s} =	2 213,36 kN	Únosnosť strmienkov
V _{Rd,max} =	3 333,60 kN	Únosnosť tlakových diagonál
V _{Rd} =	2 213,36 kN	Šmyková odolnosť
V _{Rd}	≥	V _{Ed}
2 213,36	≥	2 065,00
VYHOVUJE		

Stupeň vystuženia

ρ_w,min =	0,00088	Minimálny stupeň vystuženia
ρ_w =	0,00543	Stupeň vystuženia
Vyhovuje na minimálny stupeň vystuženia		
A _{sw,max} =	1,935E-03 m ²	Maximálna možná plocha výstuže, s ktorou možno uvažovať výpočte
Plocha šmykovej výstuže vo výpočte je postačujúca		
ρ_w,min =	0,00088	Hodnota min. stupna vystuženia pre nosníky (9.5N)
Vyhovuje na minimálny stupeň vystuženia pre nosník		
0,01		Overenie duktility
0,01032		Overenie duktility
v=	0,528	Redukčný súčinieľ pevnosti betónu s trhlinami (6.6N)
Vyhovuje na dostatočné pretvorenie-duktilitu		

Overenie konštrukčných zásad

S _{l,max} =	0,4 m	Maximálna pozdĺžna osová vzdialenosť strmienkov
Vzdialenosť strmeňov postačuje		
S _{t,max} =	0,50625 m	Priečna osová vzdialenosť vetiev strmienka

13.3.4.9 Stupeň vystuženia

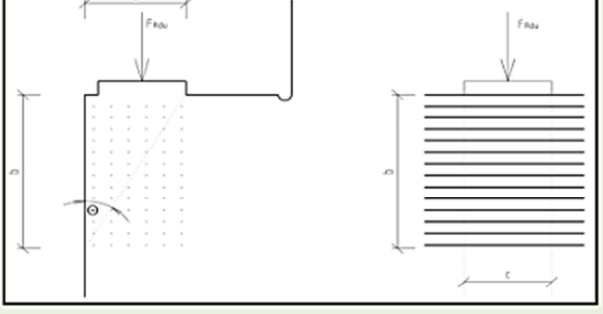
STN EN 1992-1-1, čl.9.2.1.1

Geometria prierezu		
b _t =	1 m	
h=	0,6 m	C 30/37
d=	0,48 m	
Minimálna plocha výstuže		
A _{s,min} =	723,84 mm ²	
ϕ	Ø 18	ks= 6
A _s =	1526,81 mm ²	
A _{s,max} =	24000 mm ²	
VYHOVUJE		

STN EN 1992-1-1, čl.9.2.1.1

Geometria prierezu		
bt=	1 m	
h=	0,8 m	C 30/37
d=	0,64 m	
Minimálna plocha výstuže		
As,min=	965,12 mm ²	
Ø 18		ks= 6
As=	1526,81 mm ²	
Asmax=	32000 mm ²	
VYHOVUJE		

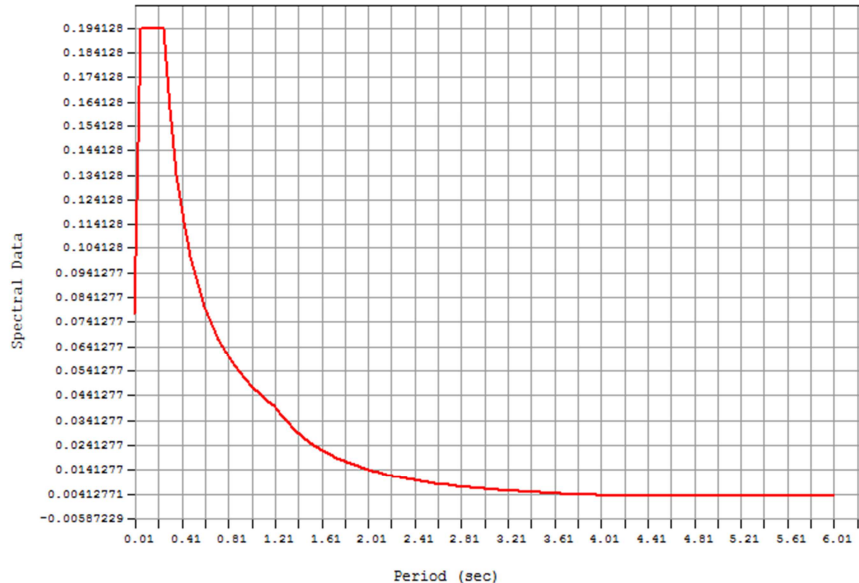
13.3.4.10 Lokálne zaťažené oblasti

Príloha J STN EN 1992-2	
F _{Rdu} =	6500 kN
a =	1,1 m
Θ =	30 °
f _{yq} =	434,78 MPa
b =	0,577 m
$A_v \cdot f_{yq} \geq F_{Rdu}/2$	
A _v ≥	0,0075 m ²
Ø12 =	67 ks
Ø14 =	49 ks
Ø16 =	38 ks
Ø18 =	30 ks
	

14. POSÚDENIE NA ÚČINKY SEIZMICITY

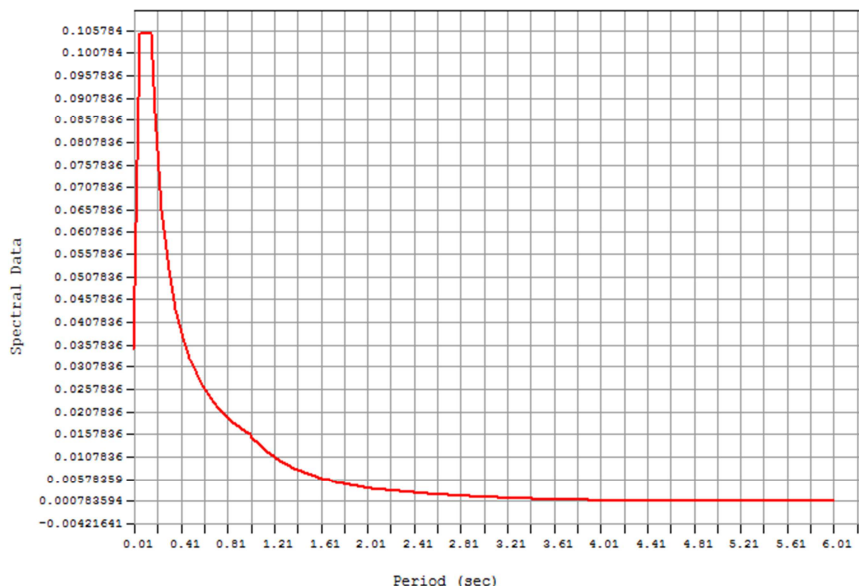
14.1 Spektrá

14.1.1 Spektrum horizontálnej odozvy



Obr. 15 Spektrum horizontálnej odozvy

14.1.2 Spektrum vertikálnej odozvy



Obr. 16 Spektrum vertikálnej odozvy

14.2 Zatáženie a kombinácie zatážení

Návrhové seizmické kombinácie podľa STN EN 1990/A1/AC2

$$G_{kj,sup} + G_{kj,inf} + A_{Ed} + \psi_{2,i} \cdot Q_{k,i}$$

Kombinácie

$$1) \quad A_g + A_p + (A_{Ed,x} + 0,3 \cdot A_{Ed,y} + 0,3 \cdot A_{Ed,z}) + \psi_{2,i} \cdot Q_{k,i}$$

$$A_g + A_p + (A_{Ed,x} + 0,3 \cdot A_{Ed,y} + 0,3 \cdot A_{Ed,z}) + 0 \cdot LM_1$$

$$2) \quad A_g + A_p + (0,3 \cdot A_{Ed,x} + A_{Ed,y} + 0,3 \cdot A_{Ed,z}) + \psi_{2,i} \cdot Q_{k,i}$$

$$A_g + A_p + (0,3 \cdot A_{Ed,x} + A_{Ed,y} + 0,3 \cdot A_{Ed,z}) + 0 \cdot LM_1$$

$$3) \quad A_g + A_p + (0,3 \cdot A_{Ed,x} + 0,3 \cdot A_{Ed,y} + A_{Ed,z}) + \psi_{2,i} \cdot Q_{k,i}$$

$$A_g + A_p + (0,3 \cdot A_{Ed,x} + 0,3 \cdot A_{Ed,y} + A_{Ed,z}) + 0 \cdot LM_1$$

A_g – vlastná tiaž, ostatne stále zaťaženie

A_p – predpätie

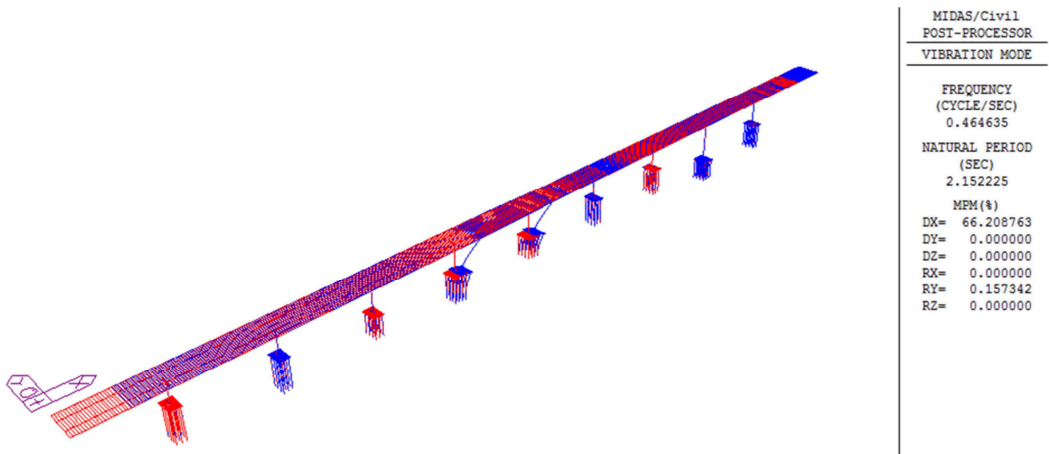
$A_{Ed,x}$ – horizontálne účinky od seizmicity v smere x

$A_{Ed,y}$ – horizontálne účinky od seizmicity v smere y

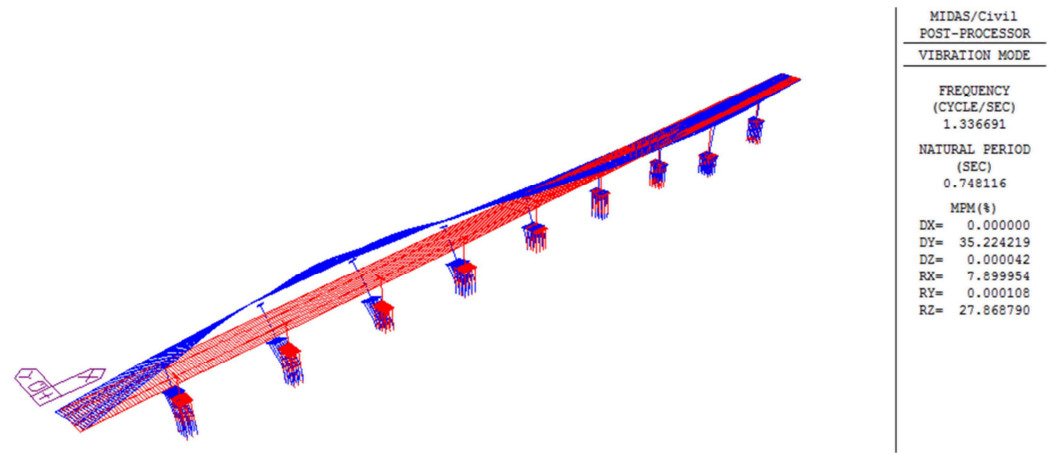
$A_{Ed,z}$ – vertikálne účinky od seizmicity v smere z

14.3 Vlastné tvary

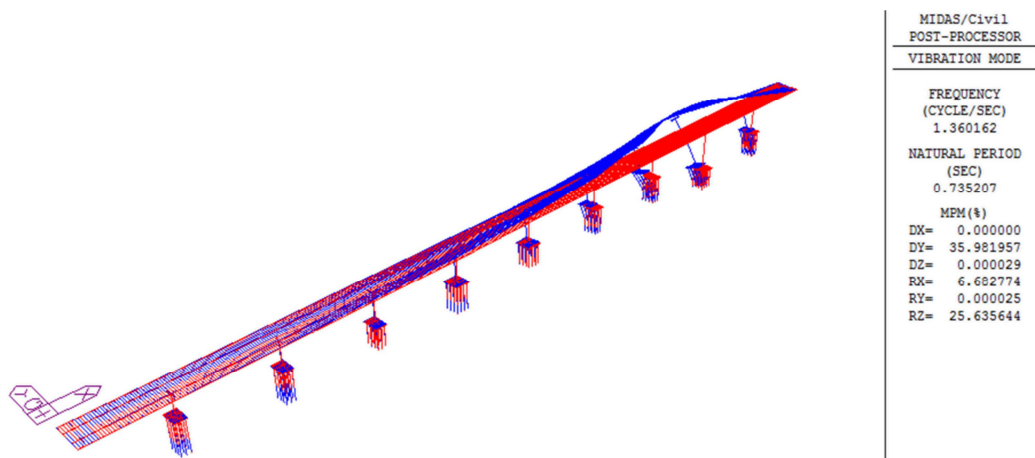
14.3.1 Prvý vlastný tvar



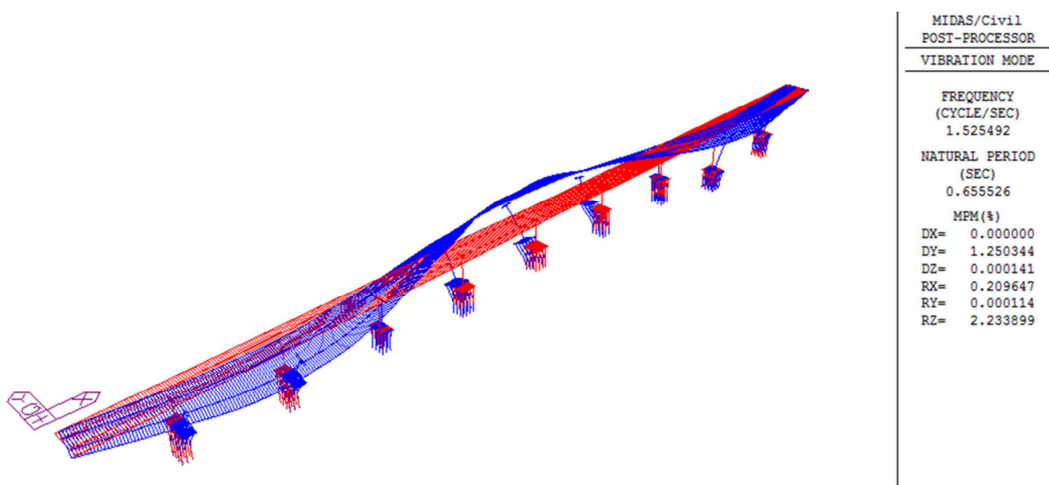
14.3.2 Druhý vlastný tvar



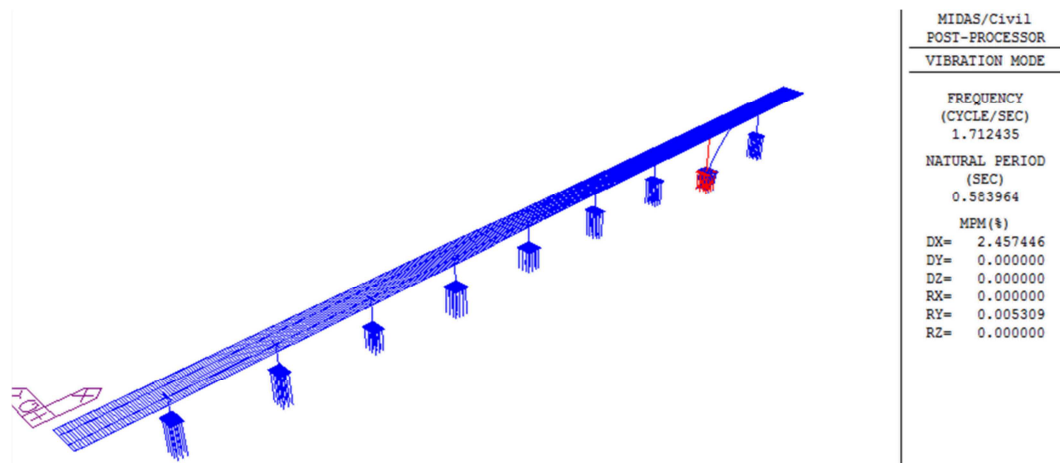
14.3.3 Tretí vlastný tvar



14.3.4 Štvrtý vlastný tvar



14.3.5 Piaty vlastný tvar

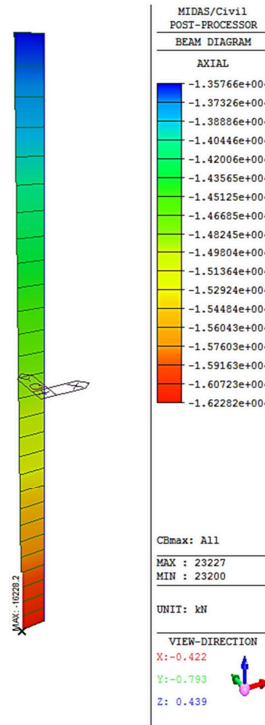


EIGENVALUE ANALYSIS

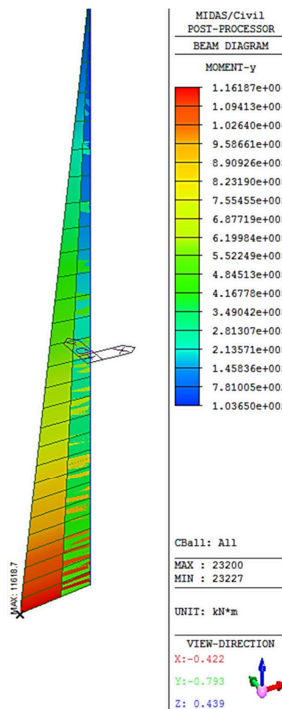
Mode No	Kruhová frekvencia		Vlastná frekvenčia (sec)
	(rad/sec)	(cycle/sec)	
1	2,919	0,465	2,152
2	8,399	1,337	0,748
3	8,546	1,360	0,735
4	9,585	1,525	0,656
5	10,760	1,712	0,584
6	11,324	1,802	0,555
7	13,584	2,162	0,463
8	14,026	2,232	0,448
9	15,012	2,389	0,419
10	16,197	2,578	0,388

14.4 Účinky zatáženia

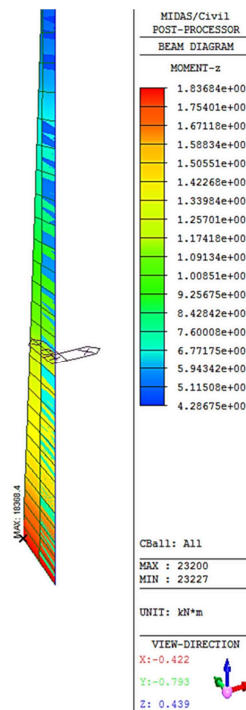
14.4.1 Obálka osových síl – podpera č.10



14.4.2 Obálka ohybových momentov my – podpera č.10

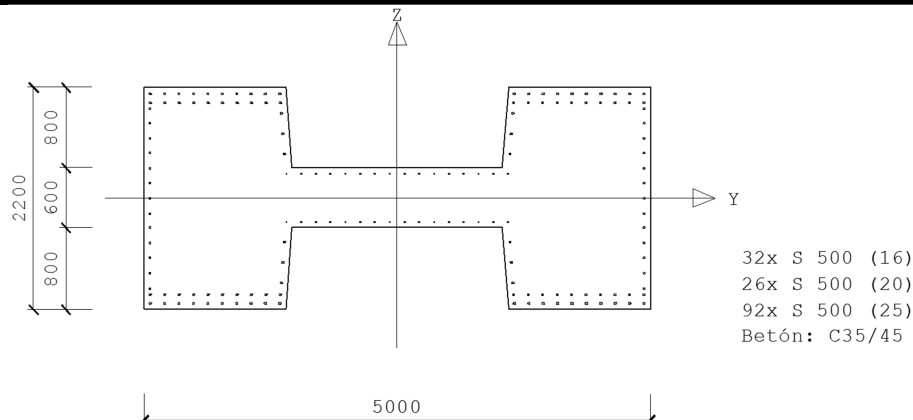


14.4.3 Obálka ohybových momentov mz – podpera č.10

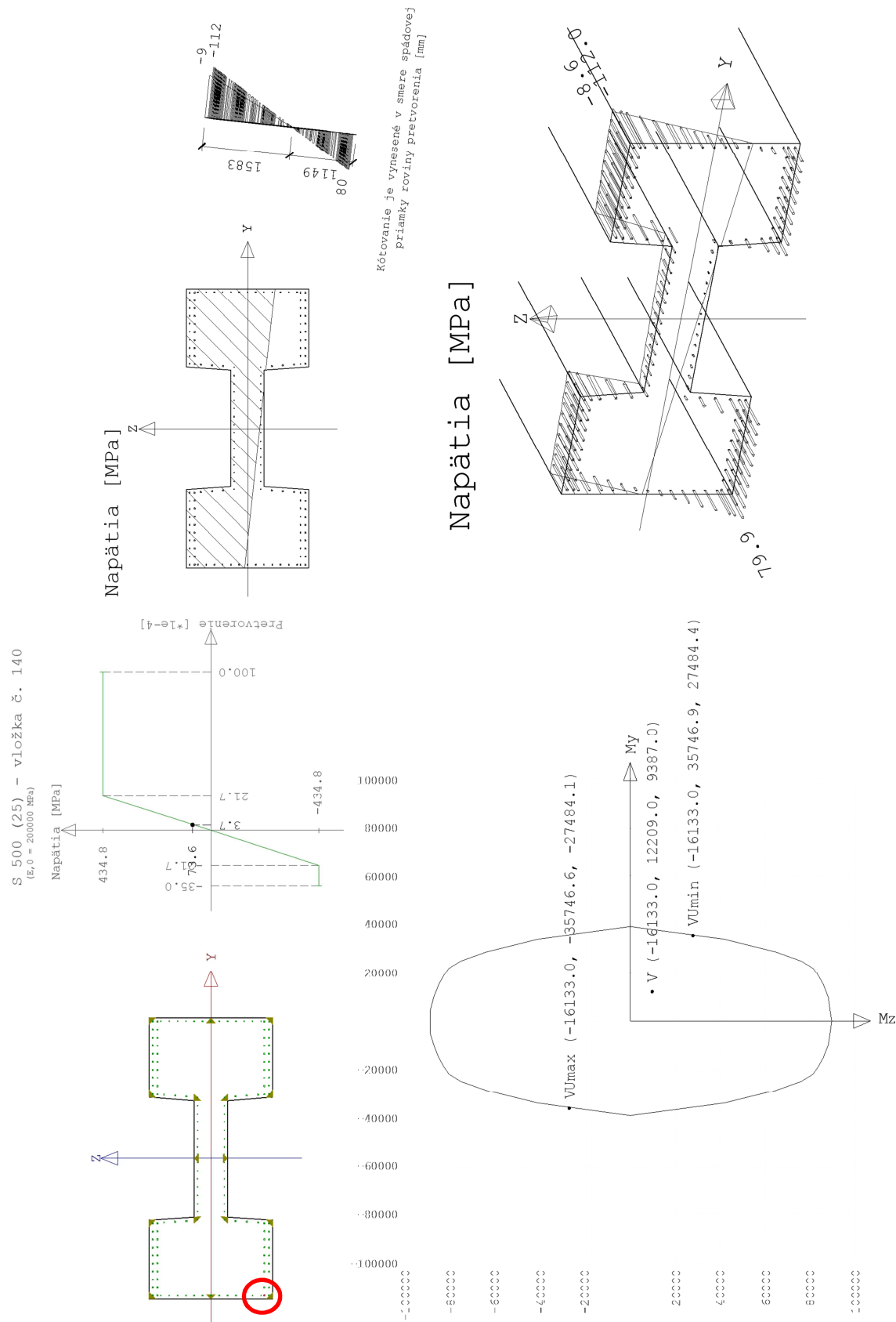


14.5 Posúdenie na účinky seizmického zatáženia v drieku piliera

Elem	Load	Component	Axial (kN)	Shear-y (kN)	Shear-z (kN)	Moment-y (kN*m)	Moment-z (kN*m)
23201	LCB1	Axial	-16133,53	318,41	818,54	11209,3	8387,84
23201	LCB1	Moment-y	-16133,53	318,41	818,54	11209,3	8387,84
23201	LCB1	Moment-z	-16133,53	318,41	818,54	11209,3	8387,84
23201	LCB2	Axial	-16139,84	1021,15	350,6	4812,29	17856,6
23201	LCB2	Moment-y	-16139,84	1021,15	350,6	4812,29	17856,6
23201	LCB2	Moment-z	-16139,84	1021,15	350,6	4812,29	17856,6
23201	LCB3	Axial	-16138,51	318,82	350,62	4812,51	8393,3
23201	LCB3	Moment-y	-16138,51	318,82	350,62	4812,51	8393,3
23201	LCB3	Moment-z	-16138,51	318,82	350,62	4812,51	8393,3



LCB1



Nu,min=-16133 kN

Myu,min=35746 kNm

Mzu,min=27484 kNm

VYHOVUJE

= Nd=-16133 kN

> Myd=12209 kNm

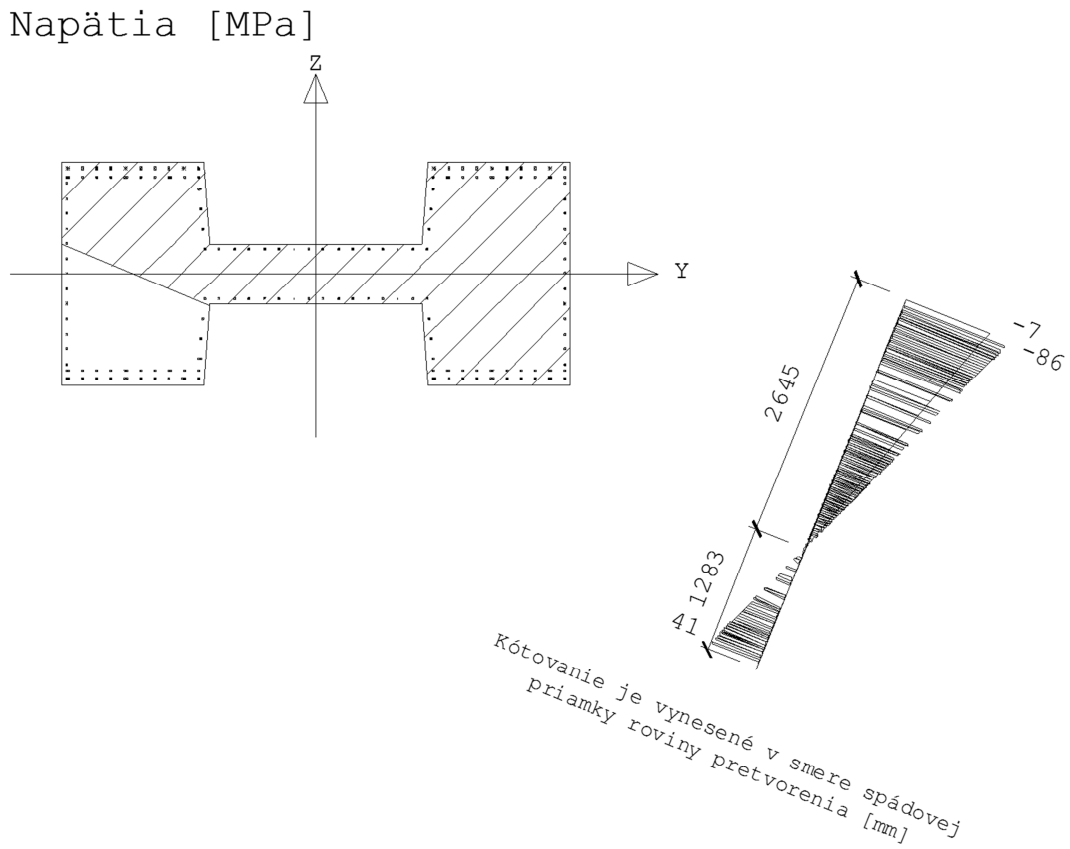
> Mzd=9387 kNm

= Nu,max=-16133 kN

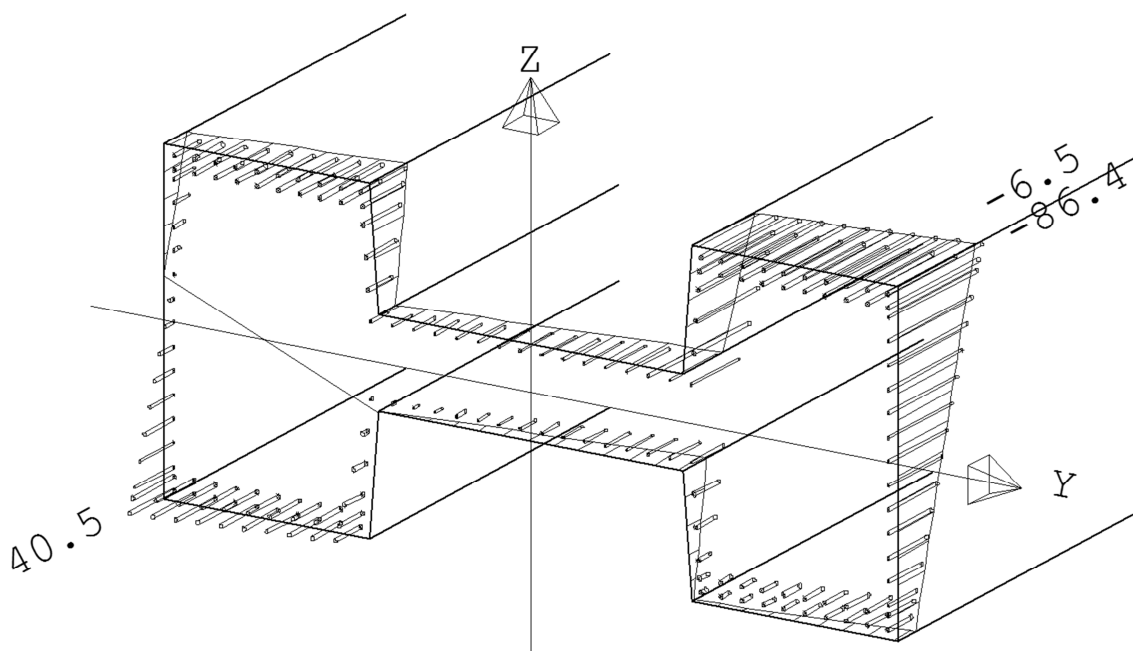
> Myu,max=-35746 kNm

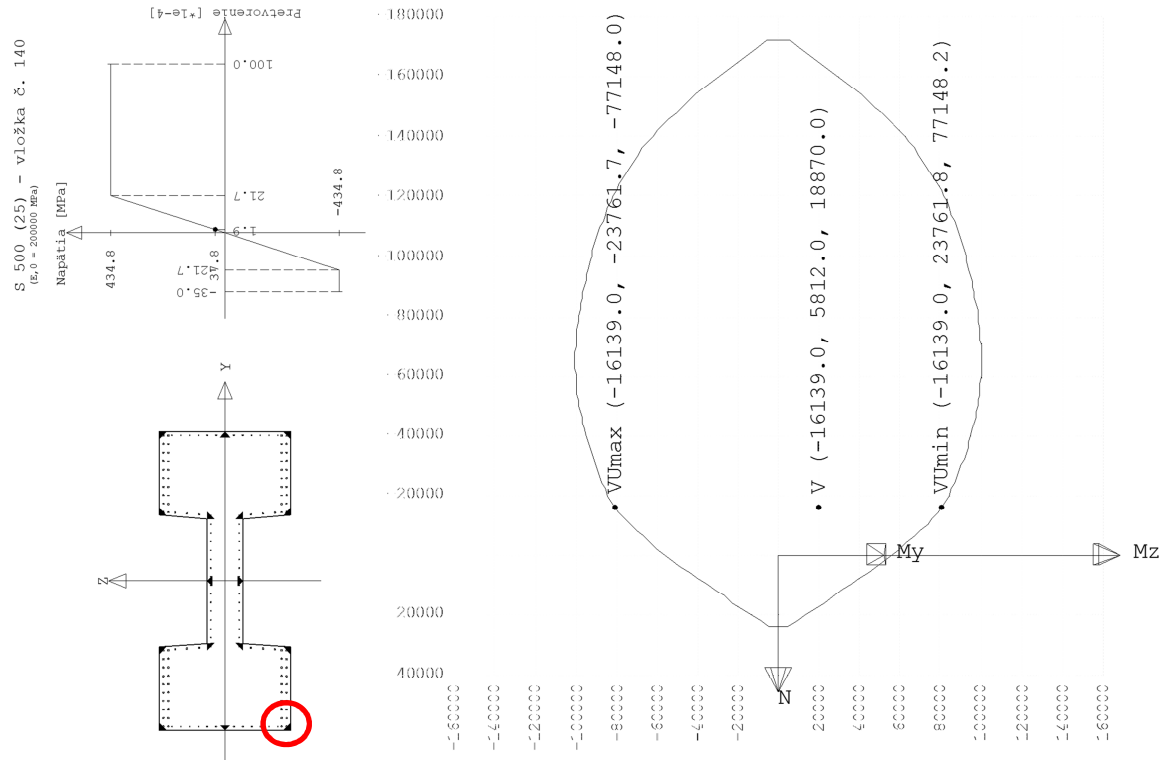
> Mzu,max=-27484 kNm

LCB2



Napäťia [MPa]





$$Nu_{min} = -16139 \text{ kN}$$

$$My_{min} = 23761 \text{ kNm}$$

$$Mz_{min} = 77148 \text{ kNm}$$

VYHOVUJE

$$= Nd = -16139 \text{ kN}$$

$$> Myd = 5812 \text{ kNm}$$

$$> Mzd = 18870 \text{ kNm}$$

$$= Nu_{max} = -16139 \text{ kN}$$

$$> Myu_{max} = -23761 \text{ kNm}$$

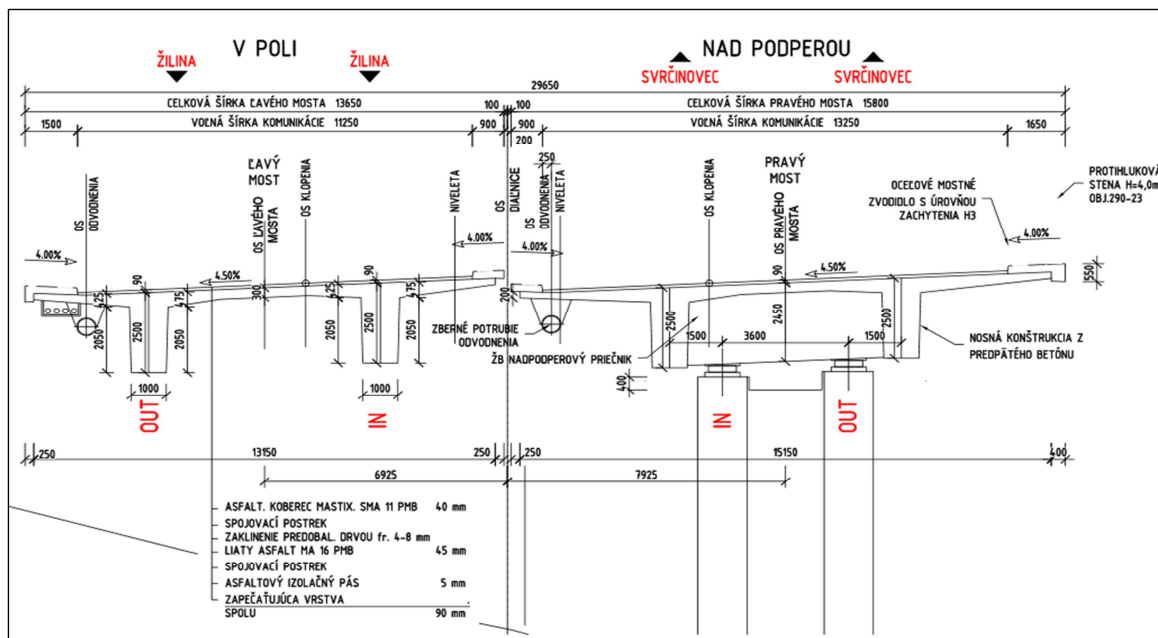
$$> Mzu_{max} = -77147 \text{ kNm}$$

15. NÁVRH LOŽÍSK A MOSTNÝCH ZÁVEROV

15.1 Návrh ložísk

PM	2	4	6	8	10	12	14	16	18	20	22
CS out	6449	18267	18667	18969	18864	17216	16896	16667	16637	15665	5281
CS in	6289	16964	17219	17221	17164	15762	15479	15519	15586	14689	5258

LM	1	3	5	7	9	11	13	15	17	19
CS out	4348	13641	14588	14489	14610	14592	14610	14684	13883	5018
CS in	4427	15946	16594	16514	16350	16262	16270	16380	15288	5176



15.2 Mostné závery

15.2.1 LM opora č. 1

Betón			
tr.	C 35/45	<input type="button" value="▼"/>	
f _{ck} =	35	MPa	Char. valcová pevnosť bet. v tlaku
f _{ck,cube} =	45	MPa	Char. kocková pevnosť bet. v tlaku
f _{cm} =	43	MPa	Stredná hod. valcovej pev. bet. v tlaku
f _{cmo} =	10	MPa	Stredná hodnota pevnosti betónu
E _{cm} =	34	Gpa	Sečnicový modul pružnosti

Prierez			
A _c =	8,94	m ²	Plocha prierezu
u=	21,59	m	Obvod prvku v kontakte s atmosférou
RH ₀ =	100	%	Relatívna vlhkosť 100%
RH=	80	%	<input type="button" value="80% mosty"/> <input type="button" value="▼"/>
t=	36500	dní	Vek bet. v uvažovanom čase
t ₀ =	365	dni	Vek bet. pri začažení
t _s =	10	dni	Vek.bet na začiatku zmrašťovania
σ _c =	5	MPa	konšt. tlakové napätie od veku t ₀

Mostný záver			
L _{dil} =	122	m	Dilatačný úsek k opore s MZ
L ₁ =	32	m	Rozpätie príľahlého poľa
H _{NK} =	2,5	m	Výška nosnej konštrukcie
h _v =	0,09	m	Hrúbka vozovky
l _k =	1	m	Dĺžka NK prečnievajúcej za krajné ložisko
w ₁ =	0,064	m	Max. prieby (odhad)
tgξ=	0,008		Pootočenie ohybovej čiary
ΔL _{w v} =	-20,7	mm	Vodorovný posun čela od priebybu
ΔL _{w z} =	8	mm	Zvislý posun čela NK od priebybu

Súhrn posunov mostného záveru			
$\Delta L_p =$	51,2	mm	Predĺženie nosnej konštrukcie spolu
$\Delta L_s =$	-115,3	mm	Skrátenie nosnej konštrukcie
$\Delta L_{c,zak} =$	166,6	mm	Charakteristický dilatačný pohyb
$\Delta L_c =$	217	mm	Celkový dilatačný pohyb (zväčšený o 30%)
<input style="width: 100px; height: 30px; border: 1px solid black; padding: 5px; margin-right: 10px;" type="button" value="240"/> 			
$f_{min} =$	314	mm	Minimálna šírka škáry
$f_{max} =$	554	mm	Maximálna šírka škáry
$f_c =$	240	mm	VYHOVUJE
Posúdenie mostného záveru pri - základná teplota $T_0 = 10^\circ\text{C}$			
$f_{c10} =$	377	mm	
$f_{c10,min} =$	326	mm	VYHOVUJE
$f_{c10,max} =$	492	mm	VYHOVUJE

Prednastavenie šírky dilatačnej škáry pri zmene teploty o 5°C	
Teplota ($^\circ\text{C}$)	Šírka škáry (mm)
5	383
10	377
15	371
20	365
25	359
30	353
35	346
40	340

15.2.2 LM opora č. 19

Mostný záver			
$L_{dil} =$	213	m	Dilatačný úsek k opore s MZ
$L_1 =$	33	m	Rozpätie príľahlého poľa
$H_{NK} =$	2,5	m	Výška nosnej konštrukcie
$h_v =$	0,09	m	Hrúbka vozovky
$l_k =$	1	m	Dĺžka NK prečnievajúcej za krajné ložisko
$w_1 =$	0,066	m	Max. prieby (odhad)
$t g \xi =$	0,008		Pootočenie ohybovej čiary
$\Delta L_{w,v} =$	-20,7	mm	Vodorovný posun čela od priebybu
$\Delta L_{w,z} =$	8	mm	Zvislý posun čela NK od priebybu

Súhrn posunov mostného záveru			
$\Delta L_p =$	89,5	mm	Predĺženie nosnej konštrukcie spolu
$\Delta L_s =$	-185,9	mm	Skrátenie nosnej konštrukcie
$\Delta L_c,zakl =$	275,4	mm	Charakteristický dilatačný pohyb
$\Delta L_c =$	358	mm	Celkový dilatačný pohyb (zväčšený o 30%)
400			
$f_{min} =$	490	mm	Minimálna šírka škáry
$f_{max} =$	890	mm	Maximálna šírka škáry
$f_c =$	400	mm	VYHOVUJE
Posúdenie mostného záveru pri - základná teplota $T_0 = 10^\circ\text{C}$			
$f_{c10} =$	600	mm	
$f_{c10,min} =$	511	mm	VYHOVUJE
$f_{c10,max} =$	786	mm	VYHOVUJE

Prednastavenie šírky dilatačnej škáry pri zmene teploty o 5°C	
Teplota ($^\circ\text{C}$)	Šírka škáry (mm)
5	611
10	600
15	590
20	579
25	569
30	558
35	547
40	537

15.2.3 PM opora č.2

Prierez			
$A_c =$	9,591	m^2	Plocha prierezu
$u =$	23,584	m	Obvod prvku v kontakte s atmosférou
$RH_0 =$	100	%	Relatívna vlhkosť 100%
$RH =$	80	%	80% mosty
$t =$	36500	dní	Vek bet. v uvažovanom čase
$t_0 =$	365	dni	Vek bet. pri zaťažení
$t_s =$	10	dni	Vek.bet na začiatku zmrašťovania
$\sigma_c =$	5	MPa	konšt. tlakové napätie od veku t_0

Mostný záver			
Ldil=	172	m	Dilatačný úsek k opore s MZ
L1=	37	m	Rozpätie priľahlého poľa
HNK=	2,5	m	Výška nosnej konštrukcie
hv=	0,09	m	Hrúbka vozovky
lk=	1	m	Dĺžka NK prečnievajúcej za krajné ložisko
w1=	0,074	m	Max. priehyb (odhad)
tgξ=	0,008		Pootočenie ohybovej čiary
ΔLw v=	-20,7	mm	Vodorovný posun čela od priehybu
ΔLw z=	8	mm	Zvislý posun čela NK od priehybu

Súhrn posunov mostného záveru			
ΔLp=	72,2	mm	Predĺženie nosnej konštrukcie spolu
ΔLs=	-154,2	mm	Skrátenie nosnej konštrukcie
ΔLc,zak=	226,4	mm	Charakteristický dilatačný pohyb
ΔLc=	294	mm	Celkový dilatačný pohyb (zväčšený o 30%)
320			
fmin=	402	mm	Minimálna šírka škáry
fmax=	722	mm	Maximálna šírka škáry
fc=	320	mm	VYHOVUJE
Posúdenie mostného záveru pri - základná teplota T ₀ =10°C			
fc10=	487	mm	
fc10,min=	415	mm	VYHOVUJE
fc10,max=	641	mm	VYHOVUJE

Prednastavenie šírky dilatačnej škáry pri zmene teploty o 5°C	
Teplota (°C)	Šírka škáry (mm)
5	496
10	487
15	478
20	470
25	461
30	453
35	444
40	435

15.2.4 PM opora č.22

Prierez			
A _c =	8,94	m ²	Plocha prierezu
u=	21,59	m	Obvod prvku v kontakte s atmosférou
RH ₀ =	100	%	Relatívna vlhkosť 100%
RH=	80	%	80% mosty
t=	36500	dní	Vek bet. v uvažovanom čase
t ₀ =	365	dni	Vek bet. pri začažení
t _s =	10	dni	Vek.bet na začiatku zmrašťovania
σ _c =	5	MPa	konšt. tlakové napätie od veku t ₀

Mostný záver			
L _{dil} =	213	m	Dilatačný úsek k opore s MZ
L ₁ =	33	m	Rozpätie príľahlého poľa
H _{NK} =	2,5	m	Výška nosnej konštrukcie
h _v =	0,09	m	Hrúbka vozovky
l _k =	1	m	Dĺžka NK prečnievajúcej za krajné ložisko
w ₁ =	0,066	m	Max. prieby (odhad)
tgξ=	0,008		Pootočenie ohybovej čiary
ΔL _{wv} =	-20,7	mm	Vodorovný posun čela od priebybu
ΔL _{wz} =	8	mm	Zvislý posun čela NK od priebybu

Súhrn posunov mostného záveru			
ΔL _p =	89,5	mm	Predĺženie nosnej konštrukcie spolu
ΔL _s =	-185,9	mm	Skrátenie nosnej konštrukcie
ΔL _{c,zakl} =	275,4	mm	Charakteristický dilatačný pohyb
ΔL _c =	358	mm	Celkový dilatačný pohyb (zväčšený o 30%)
<input type="button" value="400"/>			
f _{min} =	490	mm	Minimálna šírka škáry
f _{max} =	890	mm	Maximálna šírka škáry
f _c =	400	mm	VYHOVUJE
Posúdenie mostného záveru pri - základná teplota T ₀ =10°C			
f _{c10} =	600	mm	
f _{c10,min} =	511	mm	VYHOVUJE
f _{c10,max} =	786	mm	VYHOVUJE

Prednastavenie šírky dilatačnej škáry pri zmene teploty o 5°C	
Teplota (°C)	Šírka škáry (mm)
5	611
10	600
15	590
20	579
25	569
30	558
35	547
40	537